

# Statische analyse van vaste scheepsschroeven met behulp van de elementenmethode

**Citation for published version (APA):**

Klingen, J. (1976). *Statische analyse van vaste scheepsschroeven met behulp van de elementenmethode*. (DCT rapporten; Vol. 1976.017). Technische Hogeschool Eindhoven.

**Document status and date:**

Gepubliceerd: 01/01/1976

**Document Version:**

Uitgevers PDF, ook bekend als Version of Record

**Please check the document version of this publication:**

- A submitted manuscript is the version of the article upon submission and before peer-review. There can be important differences between the submitted version and the official published version of record. People interested in the research are advised to contact the author for the final version of the publication, or visit the DOI to the publisher's website.
- The final author version and the galley proof are versions of the publication after peer review.
- The final published version features the final layout of the paper including the volume, issue and page numbers.

[Link to publication](#)

**General rights**

Copyright and moral rights for the publications made accessible in the public portal are retained by the authors and/or other copyright owners and it is a condition of accessing publications that users recognise and abide by the legal requirements associated with these rights.

- Users may download and print one copy of any publication from the public portal for the purpose of private study or research.
- You may not further distribute the material or use it for any profit-making activity or commercial gain
- You may freely distribute the URL identifying the publication in the public portal.

If the publication is distributed under the terms of Article 25fa of the Dutch Copyright Act, indicated by the "Taverne" license above, please follow below link for the End User Agreement:

[www.tue.nl/taverne](http://www.tue.nl/taverne)

**Take down policy**

If you believe that this document breaches copyright please contact us at:

[openaccess@tue.nl](mailto:openaccess@tue.nl)

providing details and we will investigate your claim.

STATISCHE ANALYSE VAN VASTE SCHEEPSSCHROEVEN  
MET BEHULP VAN DE ELEMENTENMETHODE

J. Kligen  
augustus 1976  
vakgroep Technische Mechanika  
Technische Hogeschool Eindhoven

WE 76.17

<u>INHOUDSOPGAVE</u>	pag.
1. <u>Inleiding</u>	1.1
1.1 Schroeftekening	1.1
1.2 De belasting	1.1
1.3 De meshgenerator	1.3
1.4 Andere onderzoeken	1.3
2. <u>Opbouw van de geometrie</u>	
2.1 Het profiel	2.1
2.2 De gestrekte doorsnede	2.2
2.3 Spoed, rake en afronding aan de naaf	2.4
2.4 Samenvatting	2.5
3. <u>De elementverdeling</u>	
3.1 Inleiding	3.1
3.2 Symmetrie, substrukturering	3.1
3.3 Grensvlakken	3.4
3.4 De gekozen verdeling	3.7
4. <u>De belasting</u>	
4.1 Inleiding	4.1
4.2 De krimpverbinding	4.1
4.3 De hydrodynamische belasting	4.9
4.4 De massakrachten	4.11
5. <u>Het ASKA-programma</u>	
5.1 Uit te voeren analyses	5.1
5.2 De ingeklemde versie	5.1
5.3 De volledige versie, inleiding	5.7
5.4 Run I	5.7
5.5 Run II	5.11



6. <u>Programmabeschrijving inputgenerator</u>	
6.1 Inleiding	6.1
6.2 Bladprogramma	6.1
6.3 Naafprogramma	6.23
6.4 Asprogramma	6.33
6.5 <u>Samenvatting</u>	6.36
7. <u>Resultaten</u>	
7.1 Overzicht	7.1
7.2 Details	
7.3 Konklusies, suggesties	

## Literatuurverwijzing

- [1] ASKA Users Reference Manuel, ISD, 1971 Stuttgart
- [2] Inleiding in het gebruik van ASKA, THE-Mechanica, 1971
- [3] van Manen, Fundamentals of ship resistance and propulsion, publikatie NSMB no. 132a, Wageningen.
- [4] ASKA report UM 205, Application of distributed loads
- [5] ASKA report UM 214, Thick Shell elements
- [6] Stresses in marine propellers, James H. Ma, Journal of ship research, vol. 18, dec 74.
- [7] A practical stress analysis procedure for marine propellers using curved finite elements, P. Atkinson, S.N.A.M.E., New York, 1975

## Appendices

- A. Een bijzondere spline funktie.
- B. Details uit het ASKA-programmasysteem.
- C. Rekursieve substrukturering.
- D. Koppelen HEXEC 27 aan QUABC 9.
- E. Verdeelde belasting in ASKA.
- F. Overwegingen bij de keuze van drie-dimensionale elementen in ASKA.
- G. Verslag assemblage test.
- H. Listing van blad-, naaf- en asprogramma.
- I. Overzicht toegepaste knooppuntsnummering in de volledige versie.

## VOORWOORD

Als doel voor het hier beschreven onderzoek kan worden opgegeven: het inzicht krijgen in de mogelijkheden en de moeilijkheden bij het statisch analyseren van vaste schepsschroeven met behulp van de elementenmethode. Dit afstudeerwerk kwam tot stand in overleg met Lips Drunen B.V.

Er zijn analytische en numerieke methoden beschikbaar voor het analyseren van een, ter plaatse van de naaf ingeklemd schroefblad. Hieruit resulteren de volgende vragen:

- hoe kan de eindige stijfheid van de naaf in een analyse betrokken worden en wat is daarvan de invloed op de spanningsverdeling in de schroefbladen?
- wat is de spanningsverdeling in de naaf?

Deze problemen overdenkend komen wij tot de volgende konklusies:

- wegens de komplekse geometrie en belasting lijkt een analyse via de elementenmethode de aangewezen weg
- teneinde niet opnieuw op grote problemen m.b.t. randvoorwaarden te stuiten dient ook een deel van de schroefas in de analyse betrokken te worden.

De lezer zal ontdekken dat het toepassen van de elementenmethode in echte drie-dimensionale konstrukties een aantal typerende problemen van inzichtelijke, organisatorische en economische aard oplevert. Om deze redenen is grote voorzichtigheid geboden.

In principe is het mogelijk om, in één berekeningsslag, op de gestelde vragen alleszins bevredigende antwoorden te verkrijgen; praktisch zal dat echter leiden tot onakseptabele investeringen in mankracht en rekenkosten. Het uitgevoerde onderzoek wil dan ook niet méér zijn dan een eerste berekeningsslag. De resultaten daarvan zullen verdergaande analyses dienen te sturen. De elementenmethode vraagt een grote hoeveelheid invoergegevens. De konstruktie wordt (denkbeeldig) verdeeld in een groot aantal stukken van betrekkelijk eenvoudige geometrie: de elementen. De geometrie van elk element wordt vastgelegd met een aantal diskrete punten in de konstruktie: de knooppunten. Van elk element dienen de relevante knooppunten te worden opgegeven; van de knooppunten moeten de koördinaten in een geschikt assenstelsel worden opgegeven. De belasting van de konstruktie dient gegeven te worden door middel van belastingsgrootheden in de knooppunten.

Het direkt samenstellen van deze invoergegevens, uitgaande van de schroeftekening en het hydrodynamisch belastingsmodel, is ondoenlijk. Het hoofdbestanddeel van het afstudeerwerk was dan ook het ontwikkelen van een "inputgenerator" voor in principe alle vormen van vaste schepsschroeven. Dit is een komputerprogramma met als invoer: (een honderdtal) parameters die de geometrie en de belasting van een bepaalde schroef vastleggen. De inputgenerator bestaat uit twee stukken:

- een meshgenerator, welke als uitvoer een verdeling van de schroef in drie-dimensionale elementen levert.
- een belastinggenerator, welke als uitvoer de belastingsgrootheden in de knooppunten van de elementverdeling levert.

De uitvoer van de inputgenerator is geschikt als invoer voor het programma-systeem op basis van de elementenmethode ASKA (Automatic System for Kinematics Analysis).

Om snel een indruk te krijgen van de opbouw van het afstudeerverslag verwijzen wij naar de inhoudsopgave.

Van een afstudeerverslag mag men verwachten, dat niet alleen de ter zake kundige specialist, maar vooral ook de vanuit een raakgebied geïnteresseerde lezer de tekst bevredigend kan volgen.

Dit verslag poogt derhalve minstens twee heren te dienen, te weten de mechanika-mensen enig inzicht te geven in de opbouw van sloopsschroeven en een mogelijke aanpak van het drie-dimensionale probleem, en de hydrodynamici enigszins vertrouwd te doen raken met de eindige elementenmethode, toegepast op "hun" schroef.

## 1. Inleiding

Het woord vast in de titel van dit verslag slaat op het feit, dat de bladen van de schroef niet verstelbaar zijn, ze vormen één (gegoten) geheel met de naaf. Vaste scheepsschroeven worden in tal van variaties gemaakt. Het zijn voornamelijk de diameter, het aantal bladen, het spoed-, dikte-, welving-, skew- en rake- verloop in het blad, en de naafafmetingen die de geometrie van de schroef bepalen.

Bij het ontwerpen van een schip zijn de eisen die aan de schroef gesteld worden een gevolg van de primaire wensen: de transportcapaciteit en de snelheid van het schip. Een schroevenfabrikant kan uitgaan van de volgende gegevens:

- snelheid van het schip
- daarvoor benodigde vermogen
- informatie over het zgn. volgstroomveld: het stromingspatroon bij het achterschip.

Na de nodige globale eerste berekeningen is er vaak terugkoppeling: de vorm van het achterschip bijvoorbeeld kan worden aangepast aan de vorm en de gewenste bedrijfsomstandigheden van de schroef.

### 1.1 De schroeftekening

Figuur 1 en 2 tonen afdrukken van 2 schroeftekeningen, de eerste die van een ~~min of meer klassiek ontwerp van Lips~~ <sup>maar voor een zeer groot vermogen</sup>, klassiek ontwerp (uit de B-serie, ontwikkeld in het Nederlands Scheepsbouw Proefstation, Wageningen), de tweede die van een ~~geavanceerd ontwerp van Lips~~ <sup>ontwerp met geavanceerde bladvorm</sup>.

De belangrijkste informatie krijgen we uit de basis van het ontwerp, de zgn. gestrekte doorsnede van het blad. Hierin zijn enkele profielen getekend, die de plaatselijke dikte aangeven. De werkelijke vorm van het blad ontstaat nu door een aantal suksessieve transformaties uit te voeren op de vorm van de gestrekte doorsnede.

Verder laat de tekening o.a. de afmetingen van de naaf zien, het spoedverloop en het dikteverloop (een fiktieve dwarsdoorsnede van het blad, inclusief (fiktieve) afgeronde aanhechting aan de naaf).

### 1.2 Belasting

De bevestiging van de as aan de naaf bestaat uit een krimpverbinding op een conusvlak ( $\approx 1:20$ ), aan de achterzijde geborgd door een moer. De bevestiging is tegenwoordig meestal spieloos; de krimpverbinding wordt met behulp van een oliefilm op het contactvlak tot stand gebracht.

De hydrodynamische belasting levert de stuwkracht: aan de voorzijde van het blad ontstaat een onderdruk (de bolle zijde van het profiel), aan de achterzijde overdruk (de holle of minder bolle zijde).



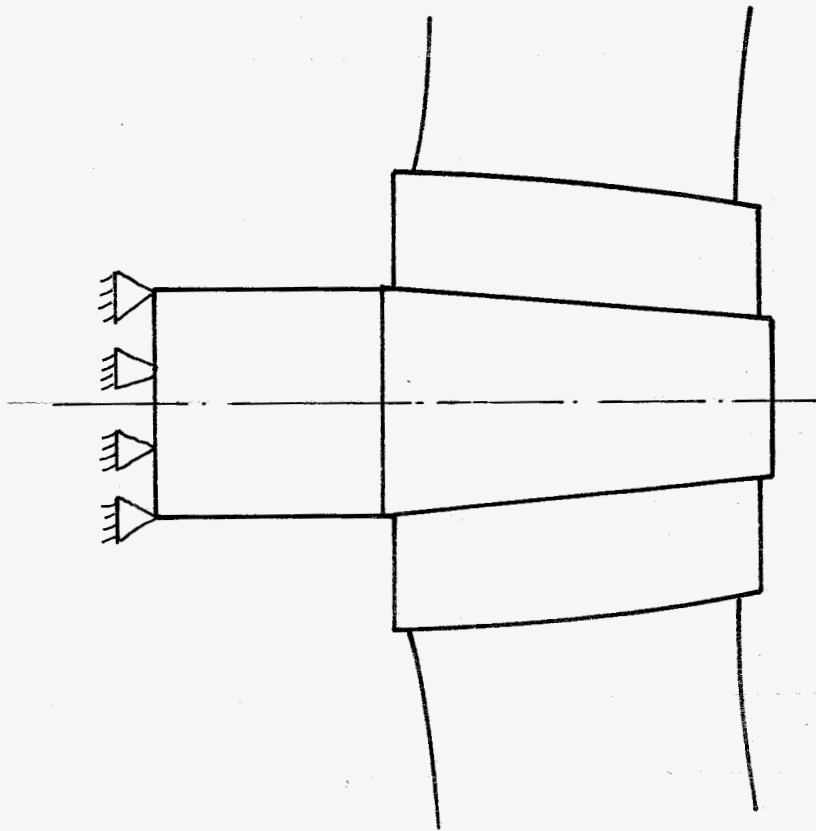


fig. 4

Het blijkt dat in een gebied aan de voorzijde <sup>Van het conus vlak</sup> inderdaad slipverschijnselen optreden, zelfs onder niet extreme omstandigheden.

- In het geavanceerde ontwerp van figuur 2 is er sprake van een "highly skewed" schroef; de bladen zijn a.h.w. in het vlak van rotatie naar achteren gebogen. Een konsekwentie hiervan is een sterke toename van het torsiemoment aan de voet van het <sup>blad</sup> ~~vlak~~, waardoor dat gebied meer dan ooit belangrijk wordt voor spanningsanalyse, en waarbij de naaf ongetwijfeld een rol speelt.

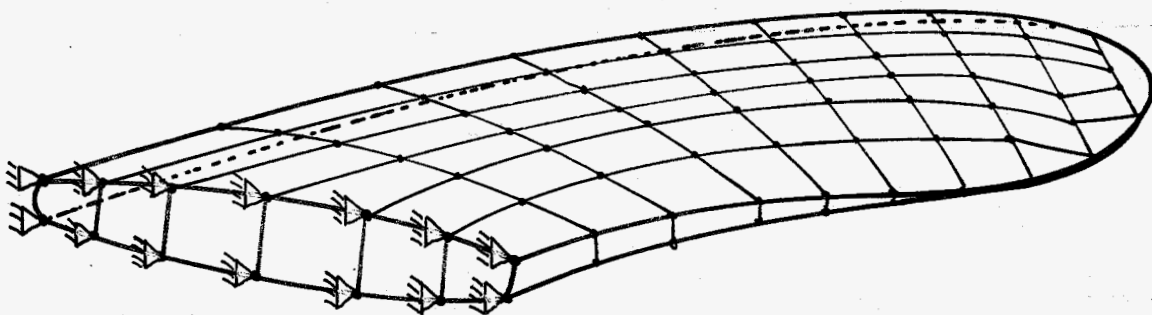
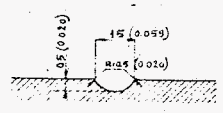
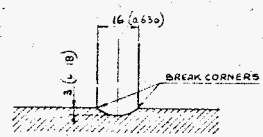
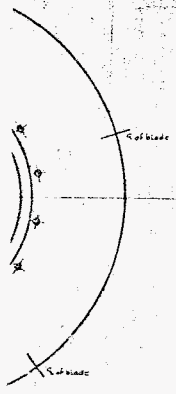
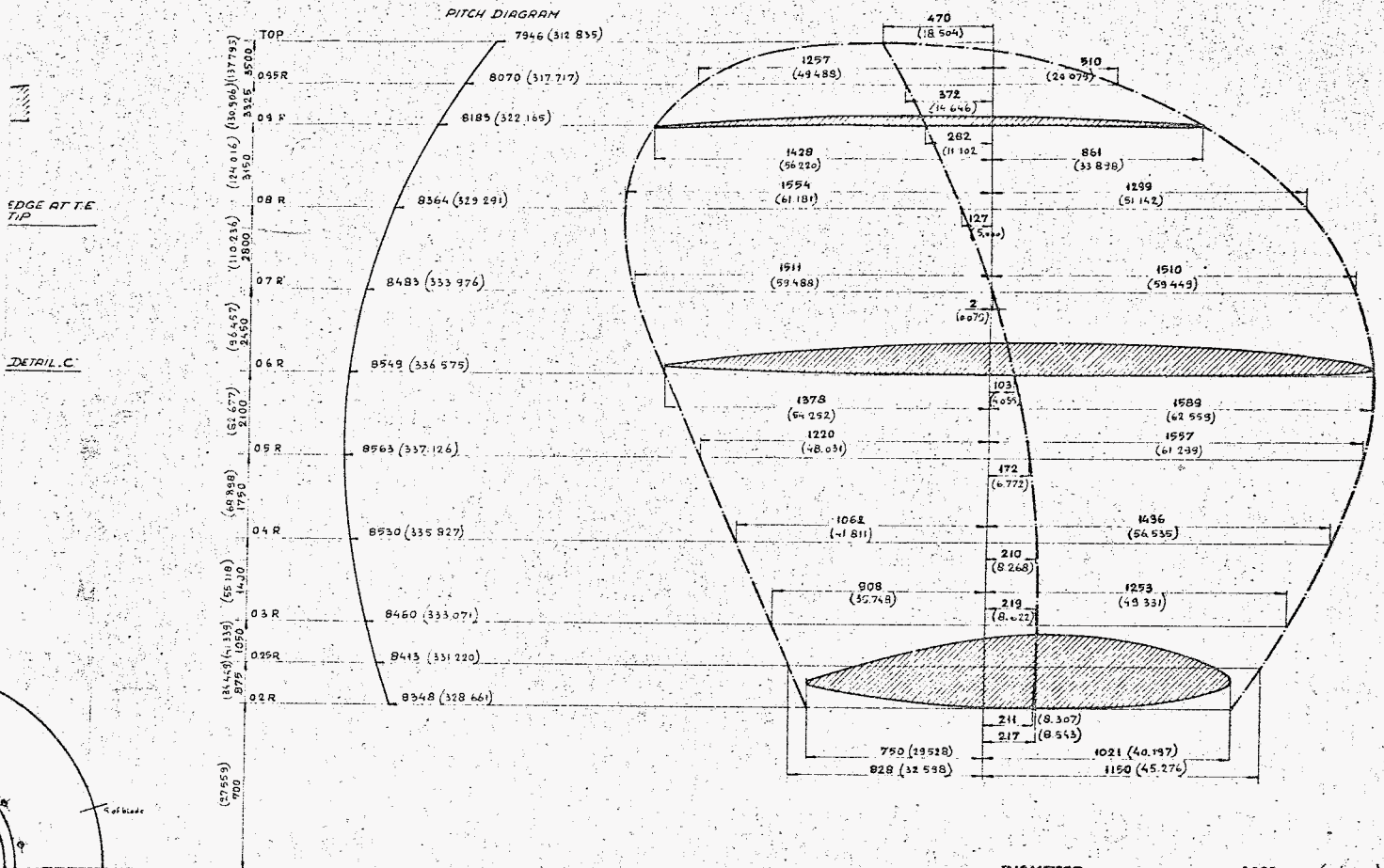


fig. 3



DIAMETER	7000 mm (275.591)
PITCH, mean	8573 mm (337.500)
NUMBER OF BLADES	5
DIRECTION OF TURNING	RIGHT and LEFT-HANDED
BLADE AREA RATIO	0.89
MATERIAL	CUNIAL BRONZE
MIN. TENSILE STRENGTH	86 kg/mm <sup>2</sup>
MIN. ELONGATION	20%
WEIGHT	approx. 47000 kg
W/D <sub>2</sub> in air	402000 kg/m <sup>2</sup>
CLASSIFICATION	A.B.S.
TURBINE OUTPUT	2 x 60000 S.H.P. at 155 R.P.M.

PROPELLER HAS BEEN DRAWN RIGHT-HANDED

MEASURES IN PARENTHESIS IN INCHES

CUNIAL-BRONZE PROPELLERS  
 SL 7 TYPE - CONTAINER SHIPS  
 FOR SEA-LAND SERVICE INC.

LIPS N.V. - DRUNEN - HOLLAND

115341-012 A

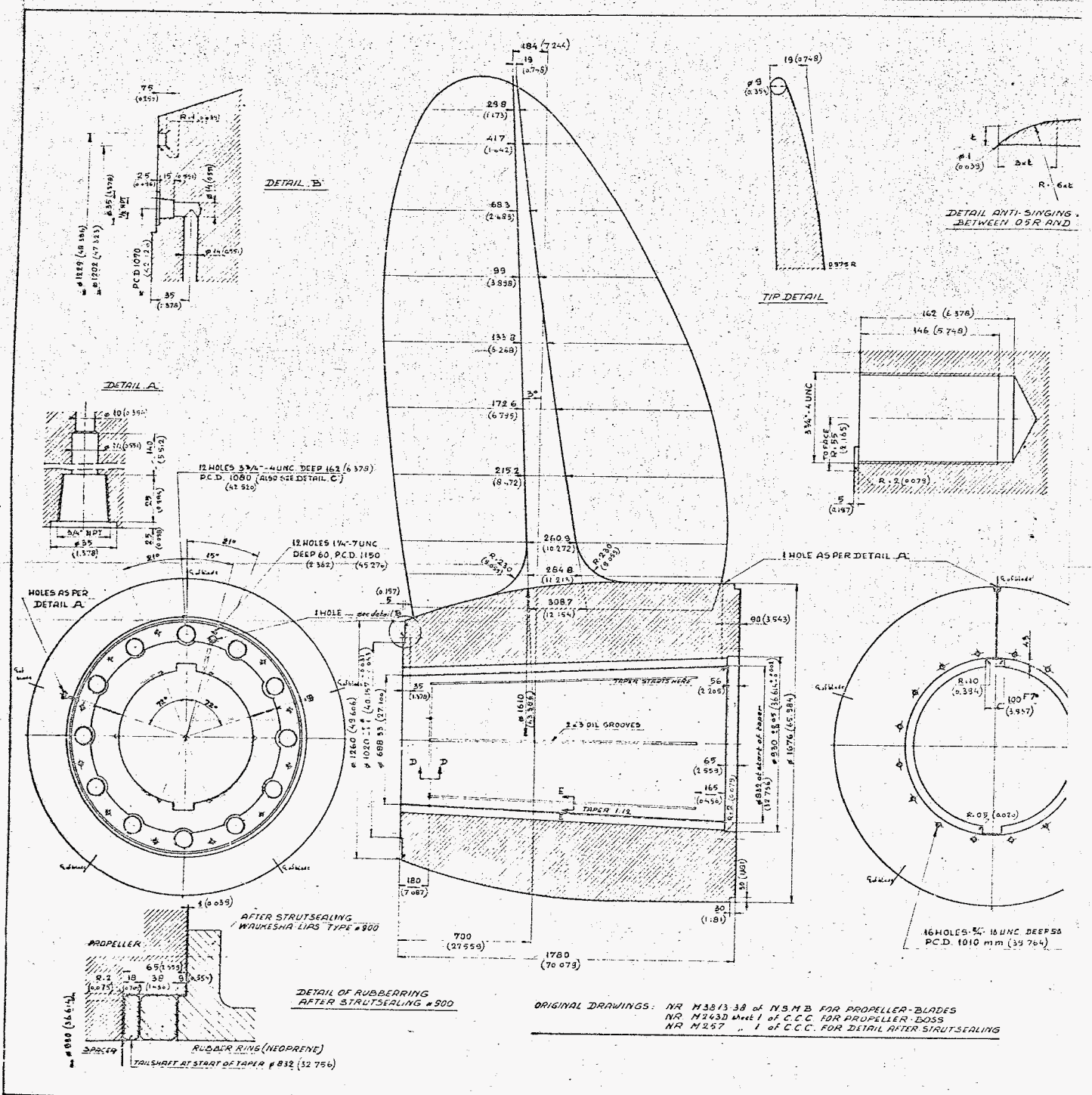


fig 1

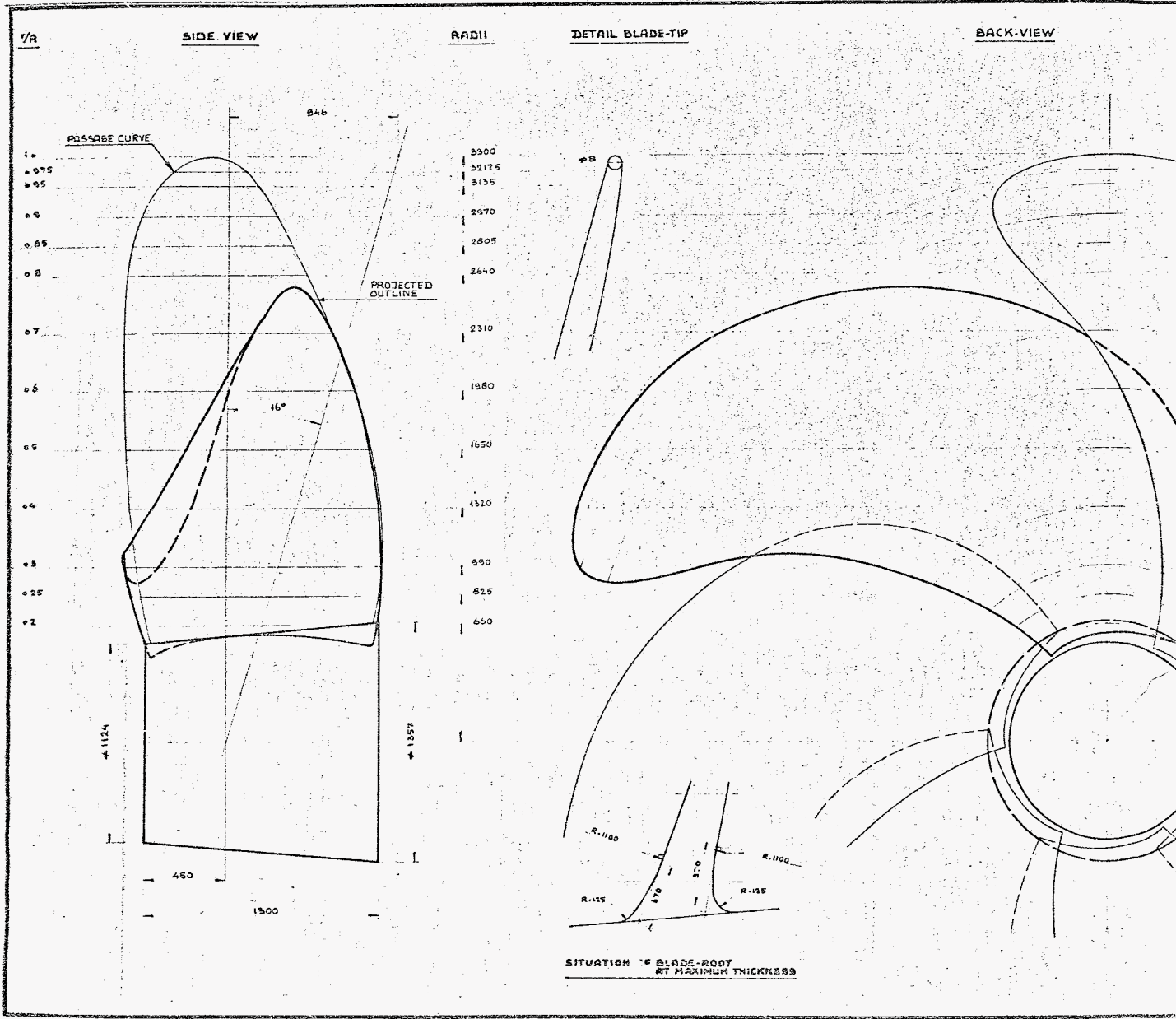
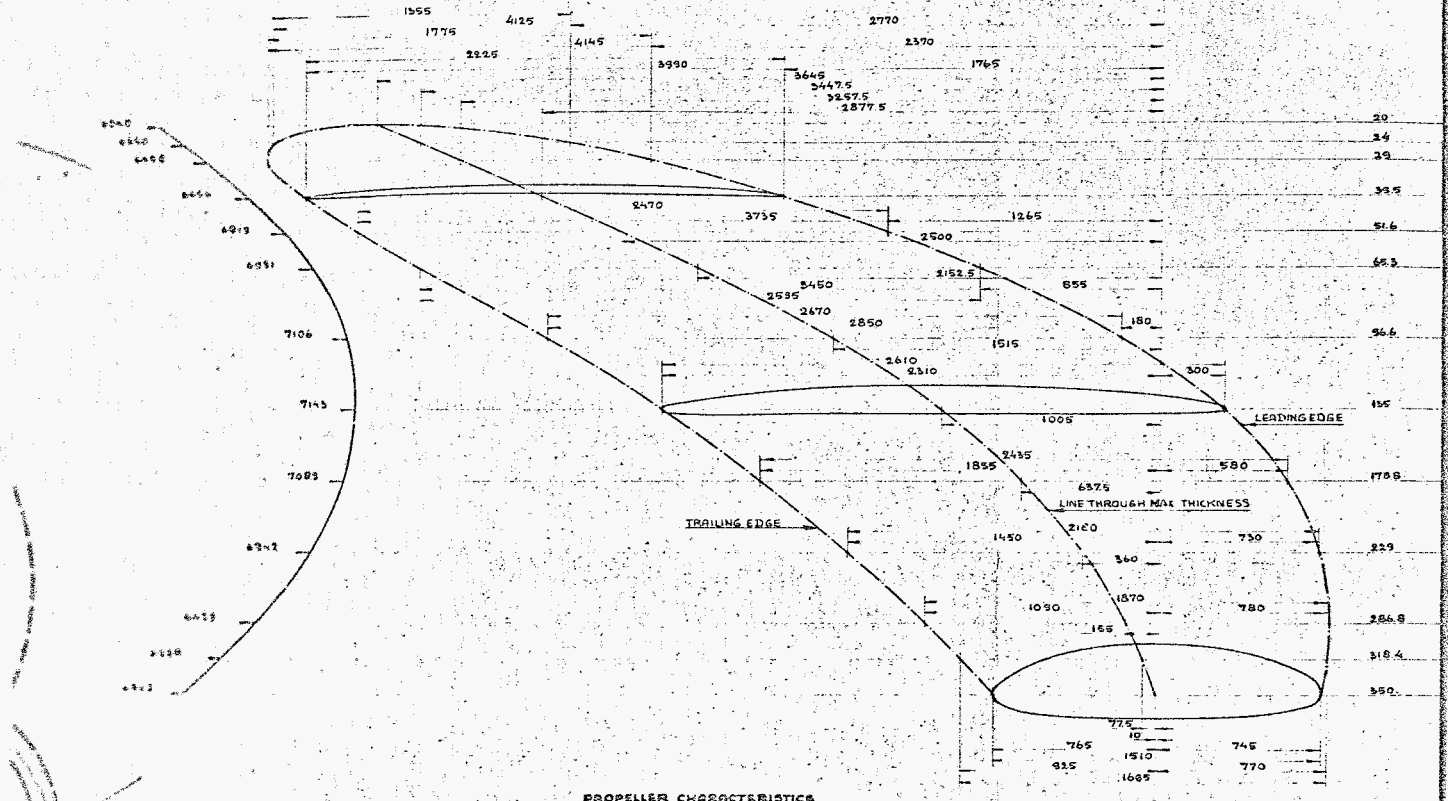


fig 2

**PITCH DIAGRAM**

**EXPANDED BLADE**

**THICKNESS**



**PROPELLER CHARACTERISTICS**

- DIAMETER : 6600 mm
- PITCH mean : 6254 mm
- NUMBER OF BLADES : 6
- DIRECTION OF TURNING : RIGHT-HANDED
- BLADE AREA RATIO : 1.048
- MATERIAL : CUNIAL-BRONZE
- MIN. TENSILE STRENGTH : 62 kg/mm<sup>2</sup>
- MIN. ELONGATION : 20 %
- WEIGHT : 41000 Kg
- W.D. : 370500 kgm<sup>2</sup>
- CLASSIFICATION : ABS 4 B.V.
- TURBINE OUTPUT : 38000 S.H.P. (metric) at 120 R.P.M.

Cs = 0.7863  
Cn = 0.0383

PROPELLER FOR CONTAINER-SHIP EN 1450/145	
LPS BY DRUNEN - HOLLAND	PROPELLER FOR CONTAINER-SHIP EN 1450/145
1:10	1:10
11-533-01	

De derde komponent van de belasting wordt gevormd door de massakrachten t.g.v. de rotatie. In ons model van de belasting verwaarlozen we zodoende de volgende facetten:

- eigengewicht van de schroef
- versnellingskrachten t.g.v. oneenparigheid in de rotatie en translatie van de schroef
- vloeistof wrijving
- inhomogeniteit van het volgstroomveld, en de daaruit voortvloeiende belastingsfluctuaties.

### 1.3 De meshgenerator

Bij de opzet van de meshgenerator is optimaal gebruik gemaakt van de periodiciteit in de geometrie: bij een vijfbladschroef, bijvoorbeeld, zijn vijf identieke delen aan te wijzen. Elk deel nu, wordt op dezelfde wijze in elementen verdeeld. De snedes door de naaf zijn zo gemaakt, dat elk deel ook precies één heel blad omvat.

### 1.4 Andere onderzoeken

In tegenstelling tot het meest gebruikelijke eindige elementenonderzoek aan scheepsschroeven, te weten de analyse van alleen het blad, is bij deze modelvorming de gehele schroef en een deel van de bijbehorende as meegenomen, en wel om de volgende redenen:

- De randvoorwaarden bij de analyse van alleen het blad zijn uiterst vaag: het lijkt niet realistisch om de naaf oneindig stijf te beschouwen (zie fig. 3). Ter oriëntatie: de grootste dikte van het (niet afgeronde) blad ter plaatse van de naaf, de zgn. bladwortel is van dezelfde orde van grootte als de radiale dikte van de naaf. Om het randvoorwaardenprobleem echt te elimineren, is het derhalve nodig om de inklemming van de constructie voldoende ver buiten de invloedsfeer van de schroef te brengen. De ervaring doet vermoeden dat de bladwortel en mogelijk ook de naaf overgedimensioneerd zijn. Optimalisatie van de geometrie daar ter plaatse is slechts mogelijk na een verantwoorde analyse van de bladwortel en de naaf. Zie fig. 4
- De gebezigde opzet biedt de mogelijkheid om de krimpverbinding as-naaf te onderzoeken. Konstruktief gezien is de perspassing voor het doorleiden van een koppel een onding: de torsieslappe as "ontmoet" de torsiestijve bus, het koppel wordt overgedragen via het contactvlak; het koppel in de as is aan de voorzijde maximaal (evt. tot slippen toe), min of meer geleidelijk naar nul lopend tot aan de achterzijde.

## 2. De opbouw van de geometrie

### 2.1 Het profiel

De eerste keuze die de ontwerper maakt is die van het type profiel. Een profiel wordt opgebracht langs de neus-staartlijn (de koorde) en wel m.b.v. de skeletlijn (camberline), die de middellijn vormt tussen boven- en onderkontour. Zie figuur 6.

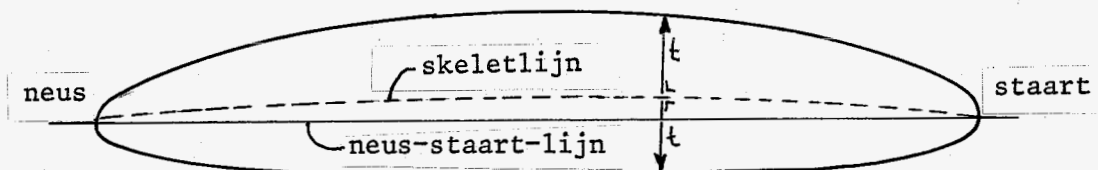


fig. 6 Opbouw van het profiel

Bij een zogenaamde stootvrije aanstroming is de liftkracht slechts afhankelijk van de welving, dat is de (maximale) afwijking van de skeletlijn t.o.v. de koorde. Is de welving nul, dan wordt de liftkracht bepaald door de aanstroombloek.

Boven een bepaalde positieve invalshoek (of onder een bepaalde negatieve invalshoek) wordt het profiel overtrokken, waardoor de quasi-laminaire stroming wordt verstoord en de liftkracht sterk afneemt.

De normale dikte van het profiel wordt voornamelijk bepaald door sterkte overwegingen van het blad, terwijl uit hydrodynamisch oogpunt de dikte theoretisch nul zou mogen zijn.

Lips Drunen maakt bij de profielkeuze gebruik van de zgn. Arnoldus-standaardprofielen: een aantal in eigen huis ontwikkelde vormen, afgeleid van de NACA profielvormen. Een AR-profiel wordt volledig bepaald door de lengte, de maximale dikte en de welving zoals boven omschreven. Deze drie grootheden worden op de tekening aangegeven als functie van de zgn. tekeningstralen, ongeveer op elk tiende deel van de grootste straal van de schroef.

Er is keuze uit de serie 1 en de serie 2 profielen:

serie 2: een symmetrisch profiel met de grootste dikte op 50% van de koorde

serie 1: een profiel, waarbij de plaats van de maximale dikte een functie is van de maximale dikte zelf.

We komen hierop terug bij de bespreking van de rekenprocedure "profiel".

## 2.2 De gestrekte doorsnede

De informatie over de profielen per tekeningstraal wordt op de tekening verwerkt in de zgn. gestrekte doorsnede, te beschouwen als een platgeslagen en langs horizontale lijnen afgewikkelde versie van de werkelijke bladvorm. Deze laatste transformaties worden in de ontwerpfase echter in tegenovergestelde richting doorlopen: eerst ontstaat de gestrekte doorsnede, dan wordt o.a. de spoed (= de mate van verdraaiing rond een verticale as, de zgn. trekker) geïntroduceerd en vervolgens wordt elke horizontale doorsnede gekromd t.o.v. de as van rotatie. Zie figuur 7.

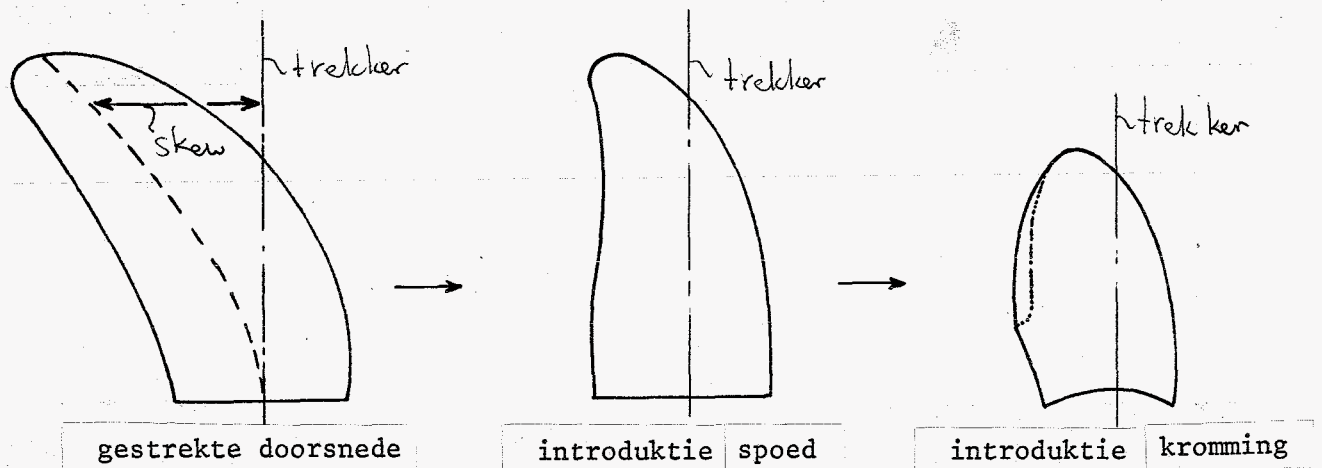


fig. 7 Zij-aanzicht blad

In de gestrekte doorsnede moet de ontwerper een dusdanig oppervlak creëren dat, gegeven een per blad vereiste stuwkracht, de lokale druknivo's onder bedrijfsomstandigheden niet tot ontoelaatbare vormen van cavitatie leiden. Duidelijk is in figuur 1 en 2 te zien, dat de voorzijde zodanig is ontworpen dat een geleidelijker contact met het niet homogene stromingsveld is bereikt, vooral bij de high-skew schroef. We lichten dit als volgt toe:

De schroef roteert achter het schip in een vertikaal vlak. Om praktische redenen (aan de grond lopen, dokken) zitten de schroef en het roer altijd "boven het vlak" d.w.z. het laagste punt van de schroef ligt hoger dan de scheepsbodem (of beter: de basislijn). Zie figuur 8.



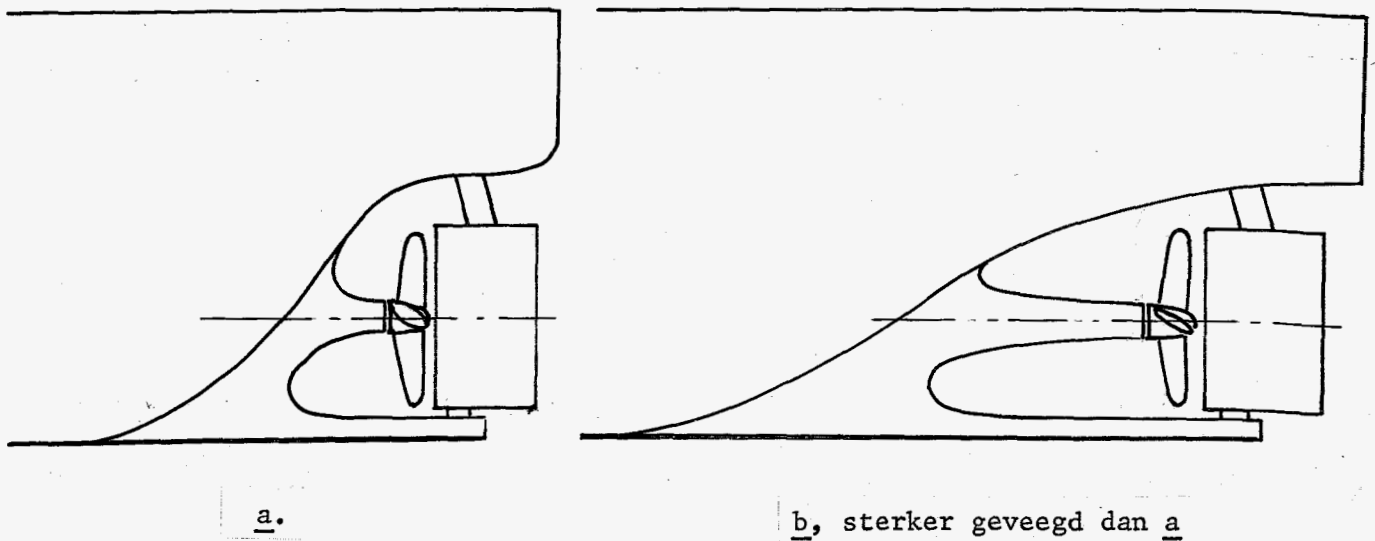


fig. 8.

Dit impliceert dat de aanstroming van de schroef bij vooruit varen verre van homogeen is: een schroefblad "ontmoet" gedurende een omwenteling het water met een snelheid die in grootte en richting varieert. In figuur 9 zien we dat de aanstroomvektor van een profieldoorsnede (bij benadering) is opgebouwd uit twee vectoren, te weten die t.g.v. de konstante rotatie en die t.g.v. de aanstroming van het water.

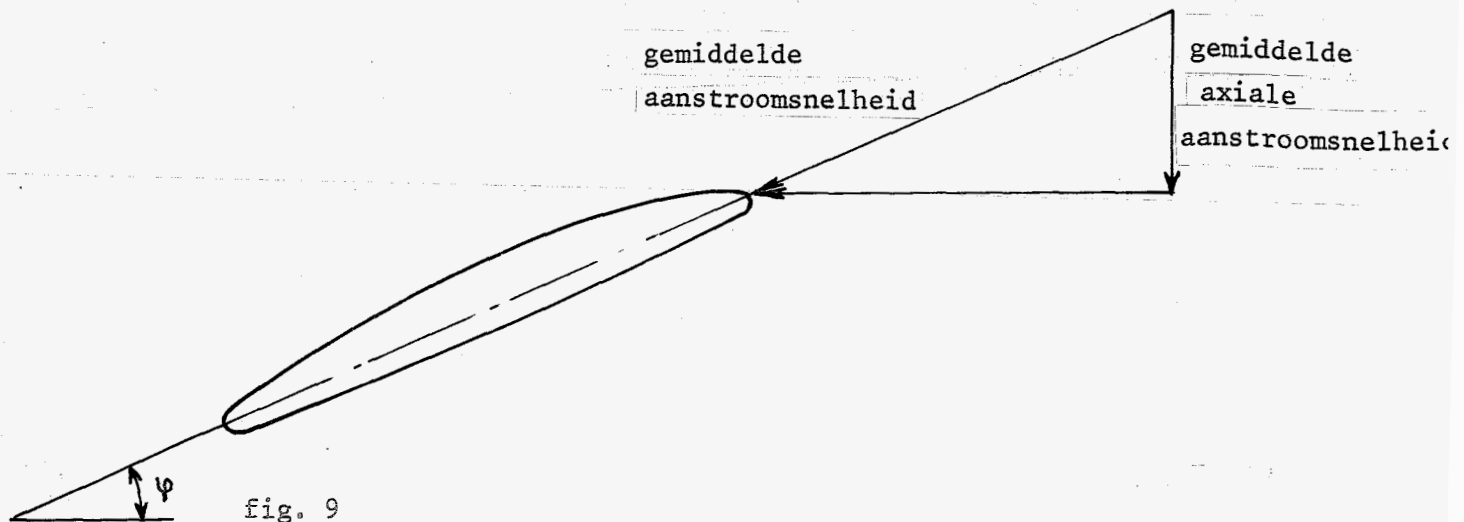


fig. 9

(Deze laatste component is gemiddeld gelijk aan de scheepssnelheid maal de gemiddelde lokale volgstroombestandfactor).

De resultante varieert derhalve rond de zgn. gemiddelde aanstroomrichting. Deze fluktuaties in de hydrodynamische condities resulteren in een verandering in de mechanische belasting van het blad, een trillingsbron met een frekwentie gelijk aan het toerental maal het aantal bladen.

Het is gebleken dat in sommige gevallen de inhomogeniteit van het stromingsveld van dien aard is, dat (radiaal gezien) een wat geleidelijkere konfrontatie van het blad met het aanstromende water de fluktuaties in de mechanische belasting wat afvlakt en het trillen vermindert.

*voor het schip*

Bij de ontwikkeling van snellere enkelschroefs vrachtschepen (met name in het containervervoer) is het probleem van het inhomogene volgstroomveld steeds nijpender geworden.

Om een nettere aanstroming te krijgen kan men het onderwaterschip aanpassen (meer "vegen") maar dit stuit al snel op financiële bezwaren (minder laadruimte, dure bouw). Zie figuur 8.

Blijft over: het schroefontwerp aanpassen en met name door vergroting van de skew, dit is de afstand (in de gestrekte doorsnede) van het midden van het blad tot aan de trekker, de verticale referentie as. Zie figuur 7.

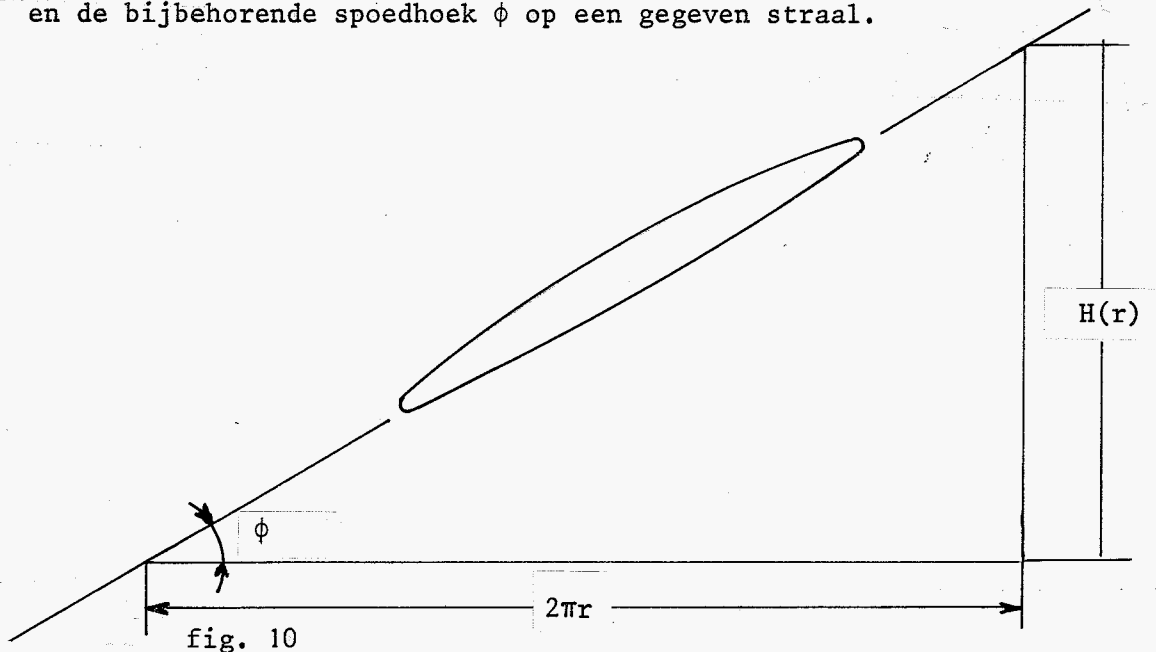
Deze werkwijze wordt de laatste jaren frekwenter toegepast en de resultaten blijken vaak bevredigend. Maar zoals gezegd, treden bij toename van de skew belangrijke veranderingen op in de spanningsverdeling aan de bladwortel.

### 2.3 Spoed, rake en afronding aan de naaf

De spoed van een schroef kan opgevat worden als de axiale verplaatsing van de schroef over 1 omwenteling, slipvrij draaiend in een stilstaand medium.

De spoed heeft een grootte orde van die van de diameter.

Om een aantal hydrodynamische redenen is de spoed echter eveneens een functie van de straal. Figuur 10 laat het verband zien tussen de spoed  $H$  en de bijbehorende spoedhoek  $\phi$  op een gegeven straal.



Het spoedverloop is op de tekening terug te vinden, evenals de rake, dit is de maat die aangeeft hoever de trekker afwijkt van het verticale vlak van rotatie.

De rake is meestal een lineaire functie van de straal, en wordt opgegeven in booggraden. Bij high-skew schroeven zien we een negatieve rake, d.w.z. dat de trekker naar voren wijst. Dit is nodig ter compensatie van de sterk achterlijke positie van de bladtop t.g.v. de grote skew. Bovenaanzicht figuur 11 probeert dit te verduidelijken.

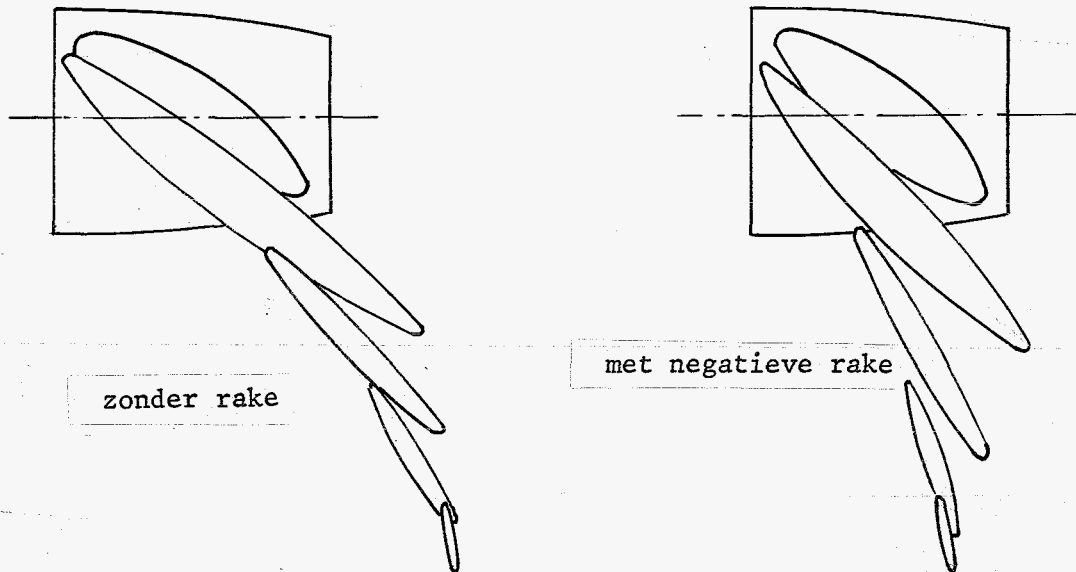


fig. 11 Bovenaanzicht van high-skew blad op diverse doorsnedes

In de schroeftekening tenslotte wordt de afronding naar de bladwortel aangegeven. Het is een fiktieve doorsnede van het blad, ter plaatse van de grootste dikte, getekend aan de naaf met spoed nul: het blad staat in het vlak van rotatie. De getekende afrondingen zijn de maximum afrondingsmaten aan de bladwortel, ter plaatse van de grootste profieldikte. Langs de wortel loopt de afronding naar neus en staart geleidelijk naar nul.

#### 2.4 Samenvatting

Een punt  $p$ , bv aan het rugvlak van het blad, aan te wijzen op de gestrekte doorsnede, is als volgt te vinden in de werkelijke geometrie:

- gegeven: straal  $r_p$ , afstand tot de trekker  $y_p$ ,  $p$  op rugzijde
- bepaal profielvorm op  $r = r_p$  (d.m.v. lengte, dikte, welving)
- bepaald hierop  $p$ : ( $y_p$  bekend, rugzijde)  $\rightarrow r_p, y_p, x_p$
- introduceer de spoed: rotatie ter grootte  $\phi$  rond trekker ( $x=0, y=0$ )  
 $\rightarrow y_p', x_p', r_p$  ( $y_p'$  nieuwe positie van  $y_p$ , etc.)
- introduceer de rake: translatie in  $x$ -richting:  $x_p' \rightarrow x_p'' = x_p' + a \cdot r_p$   
 geeft:  $y_p', x_p'', r_p$ .
- krom de doorsnede en wel op de volgende manier: booglengte ( $r_p \beta$ ) =  $y_p'''$ .  
 waarbij het vlak door de  $x$ -as en de trekker als referentie dient.

Figuur 12 wil dit verduidelijken.

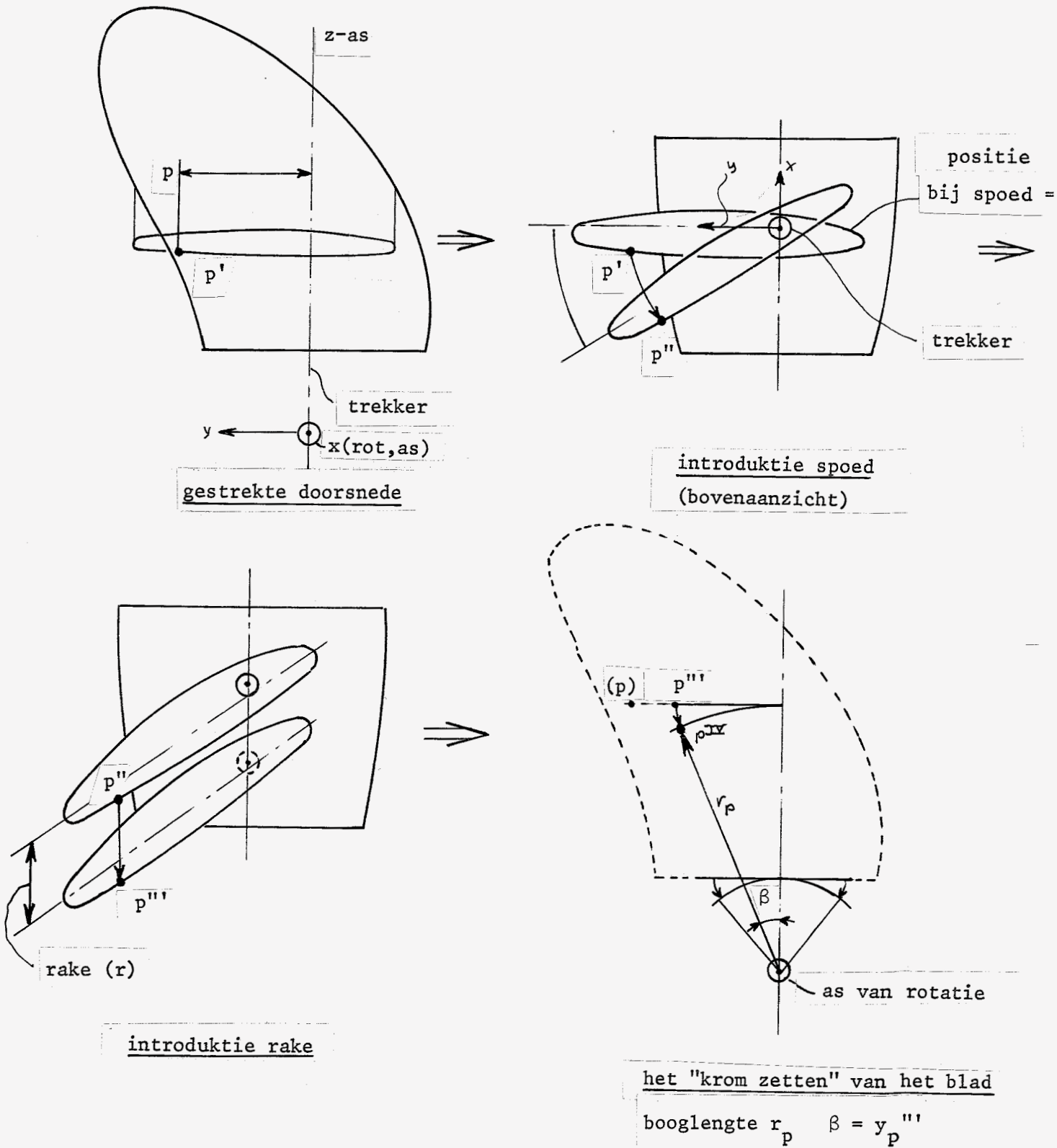


fig. 12 Transformaties bij de totstandkoming van de werkelijke bladeometrie

### 3. De elementenverdeling

#### 3.1 Inleiding

De keuze van het te gebruiken programmasysteem hangt vaak af van factoren van organisatorische aard. Ook in dit geval waarbij

- de THE beschikt over de mogelijkheid tot gebruik van ASKA, met rekenfaciliteit op de TH-Delft en op het Philips Rekencentrum,
- de vakgroep mechanika van de THE beschikt over enige ervaring in het gebruik van ASKA voor middelgrote 3-D-problemen.

Daarnaast blijkt ASKA steeds meer geschikt te raken voor min of meer uitzonderlijke probleemgegevens, zoals verderop zal blijken.

Op basis van overwegingen, die te vinden zijn in Appendix F, hebben we voor ons probleem gekozen voor toepassing van elementen uit de HEXE familie, zuivere volume-elementen, met per knooppunt drie verplaatsingsvrijheden, u, v en w. De hier gebruikte versies zijn de typen HEXEC 27 en PENTAC 18, met respectievelijk 81 en 54 graden van vrijheid. (zie figuur 13).

De ribben van beide elementen mogen 2e graads krommen zijn, het verplaatsingsveld wordt beschreven door een onvolledig vierdegraads polynoom.

Men is bij het "opvullen" van de konstruktie om rekentechnische redenen beperkt in de vorm van de te gebruiken elementen: de afwijkingen van de ideale vorm (bij de HEXEC's een zuivere kubus) mogen niet te extreem zijn.

In dat licht bezien, is gebleken dat de bladtop te dun is voor het zinnig gebruik van HEXEC en/of PENTAC elementen. Daarom is daar een zgn. dikwandig schaal-elementtype gebruikt, in ASKA genaamd QUABC 9. Zie figuur 13.

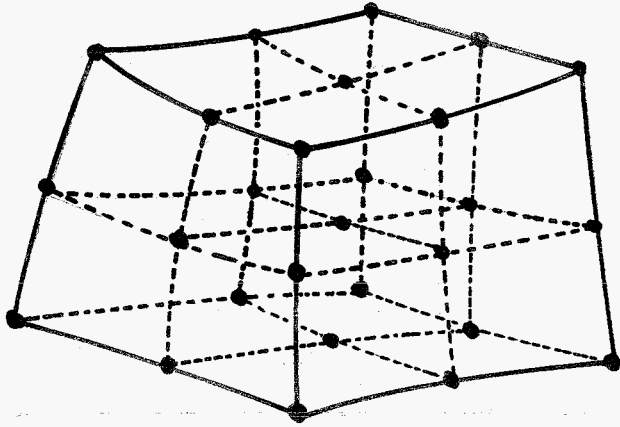
Dit element bevat 9 knooppunten, in het middenvlak van de schaal, elk met 5 vrijheden, te weten 3 translaties u, v en w en twee rotaties,  $\alpha$  en  $\beta$ . Deze vrijheden zijn gerelateerd aan een voor elk knooppunt afzonderlijk gedefinieerd lokaal assenstelsel.

Howel de sets vrijheidsgraden van de HEXE 27 respectievelijk QUABC 9 elementen niet overeenkomen, is er toch een mogelijkheid gevonden om beide typen te koppelen en dus samen in een konstruktie te gebruiken. Zie hiervoor Appendix D.

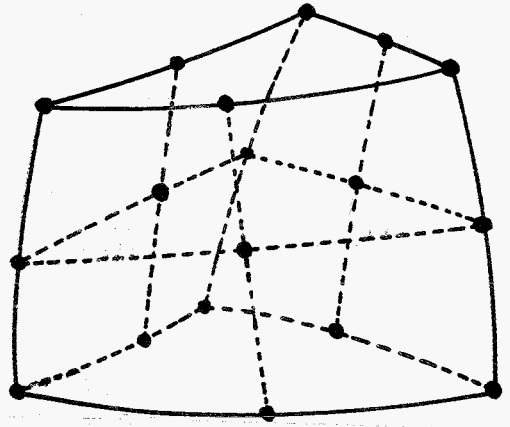
#### 3.2 Symmetrie, substrukturering

In ASKA is het mogelijk om de globale structuur te splitsen in substructuren. Zie hiervoor Appendix C. Door het periodieke karakter van de geometrie leek het in ieder geval zinvol om een substructuur te maken van een aantal malen terugkerend gedeelte.

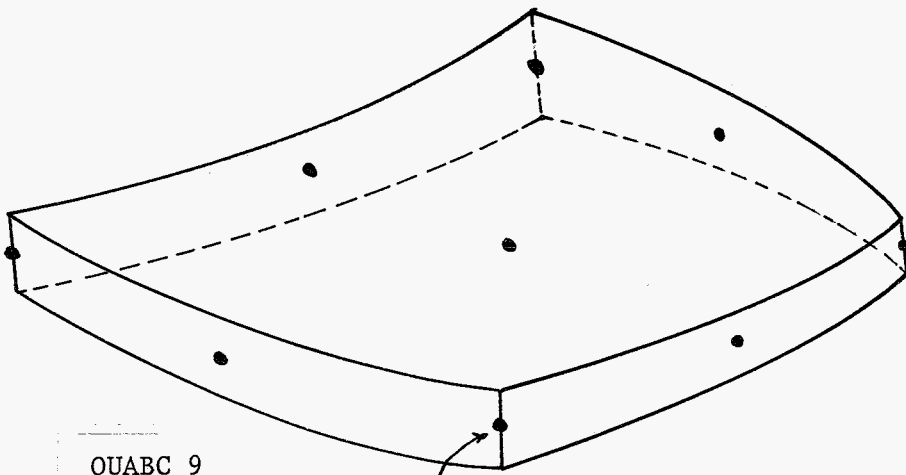
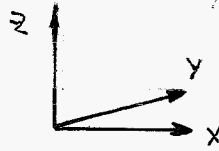
We beschouwen een vierbladsschroef. Door de naaf zijn nu vier doorsnijdingen te maken, die vier identieke kwarten van de hele schroef opleveren, en wel zo



HEXEC 27



PENTAC 18



QUABC 9

$P_i$

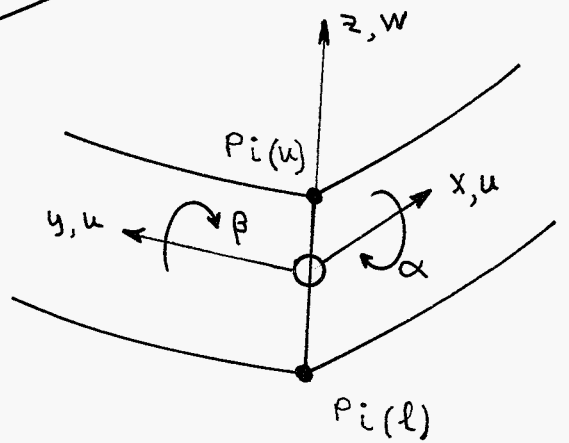


fig. 13

dat elk kwart van de naaf nog vastzit aan één geheel blad. Dit gebeurt door het snedevlak te kiezen tussen twee bladwortels. Zie figuur 14.

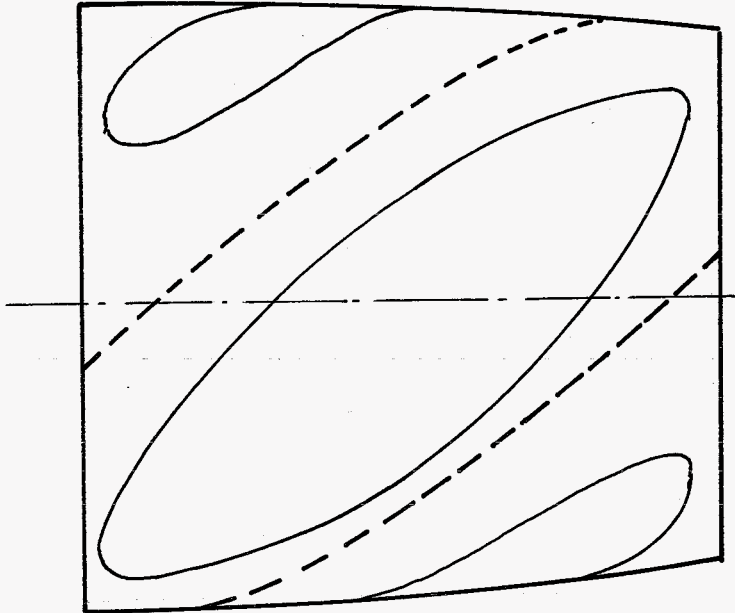


fig. 14 Aanzicht naaf zonder bladen, met snedevlakken tussen de bladwortels.

Zo ook met de bijbehorende as: de schroefvlak-vormige doorsnijing van de naaf trekken we door tot aan het hart van de as. Zie figuur 15.

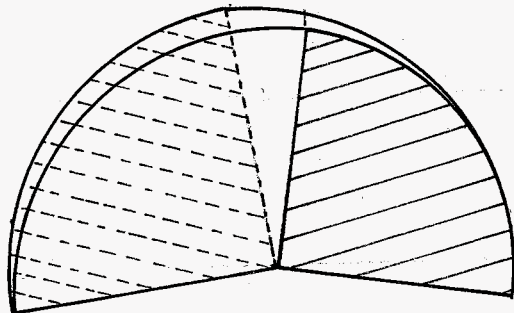


fig. 15 Achteraanzicht kwart van de as

Een verdere onderverdeling van het kwartgedeelte in substructuren ligt voor de hand:

- de assektor ①
- de naafsektor ⑫
- het bladgedeelte gevormd door hexe-elementen ⑬
- het bladgedeelte, de top, gevormd door QUABC 9-elementen. ⑭

We hebben hiermee substrukturering op verschillende nivo's geïntroduceerd. ASKA beschouwt de elementen zelf als substructuren van het laagste nivo (1). We krijgen het schema van fig.16a, waarbij 101 bestaat uit de substructuren 11, 12, 13, en 14, en waarbij 102 t/m 104 ontstaan uit het kopiëren van 101. Net 1001 bevat dan de gehele schroef en het in de analyse meegenomen gedeelte van de schroefas.

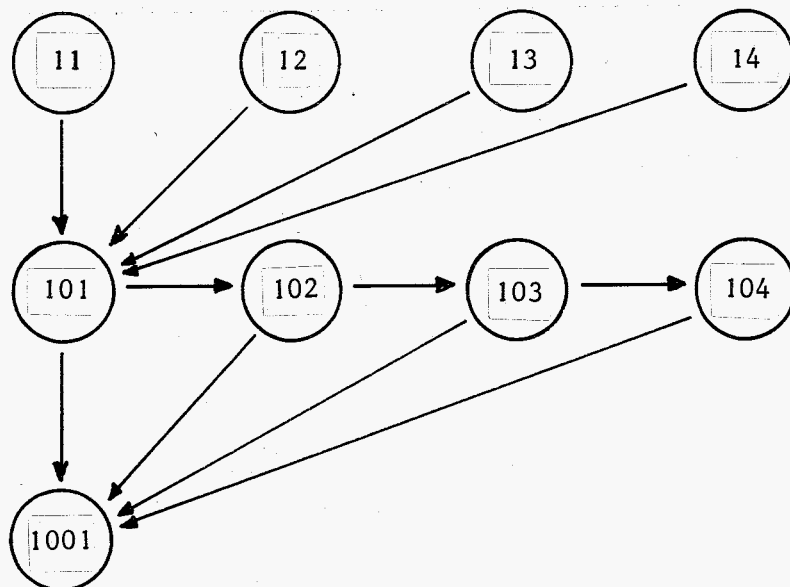


fig. 16a Schema substrukturering

### 3.3 Grensvlakken

De elementenmethode is gebaseerd op de diskretisering van de constructie in knooppunten, de elementen kunnen alleen via de knooppunten krachtgrootheden op elkaar uitoefenen. Dit houdt in, dat bij korrekte koppeling van elementen op het grensvlak elk knooppunt wordt gekoppeld. Zie figuur 17.



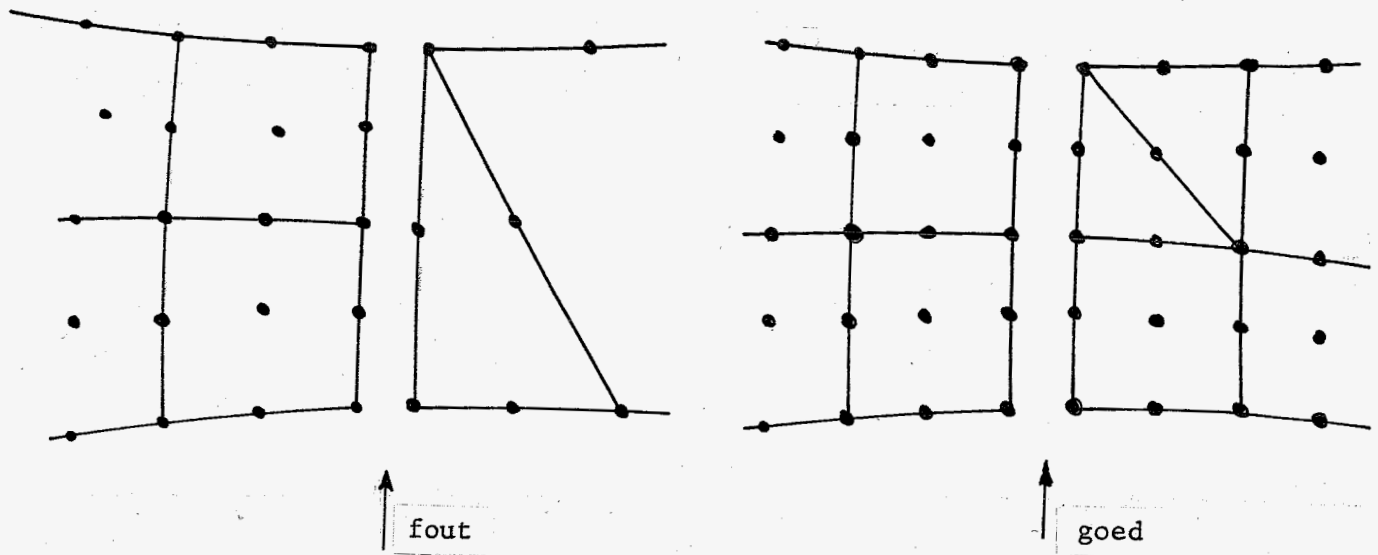


fig. 17 Koppelingsvoorbeeld

Bij de toegepaste substrukturering levert dit voor de grensvlakken de volgende kondities (zie ook figuur 18).

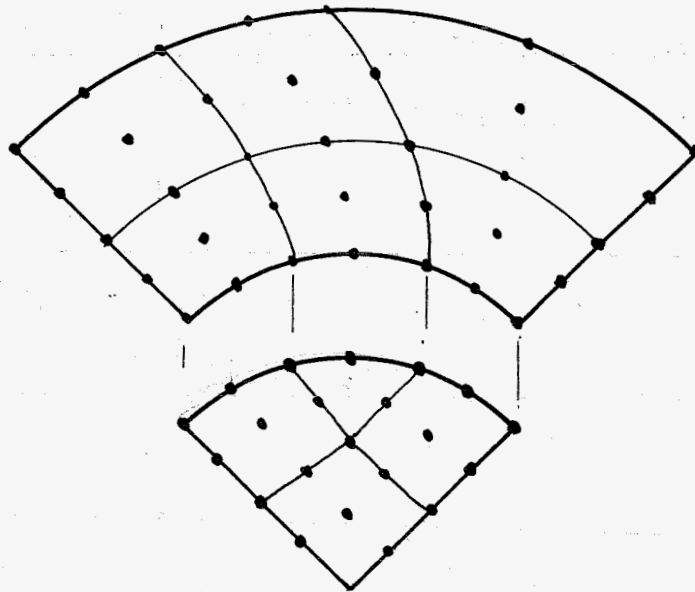


fig. 18

- op de twee zijvlakken van het kwart van de naaf moeten de knooppuntenkonfiguraties identiek zijn.
- idem voor de twee zijvlakken van het asgedeelte.
- op het conusvlakgedeelte van de naaf moet de verdeling analoog zijn aan die van het bijbehorende asgedeelte.
- idem voor het grensvlak tussen naafdeel en blad
- voor het grensvlak in het blad, waar de hexe-achtigen gepaard worden aan de QUABC 9-schaalelementen gelden speciale koppelvoorschriften. Zie hiervoor Appendix D.

Bij het gebruik van HEXEC 27 en PENTAC 18 bestaan de grensvlakken uit (kromlijnige) driehoeken, vierhoeken, of een combinatie van beiden.

NB.

De werkelijk toegepaste rekursieve substructurering verschilt van de in figuur 16a getekende in zoverre, dat niet net 102 t/m 104 wordt gedeclareerd, maar net 1001 wordt gevormd door slechts de zijvlakken van net 101 te koppelen. Zie figuur 16b.

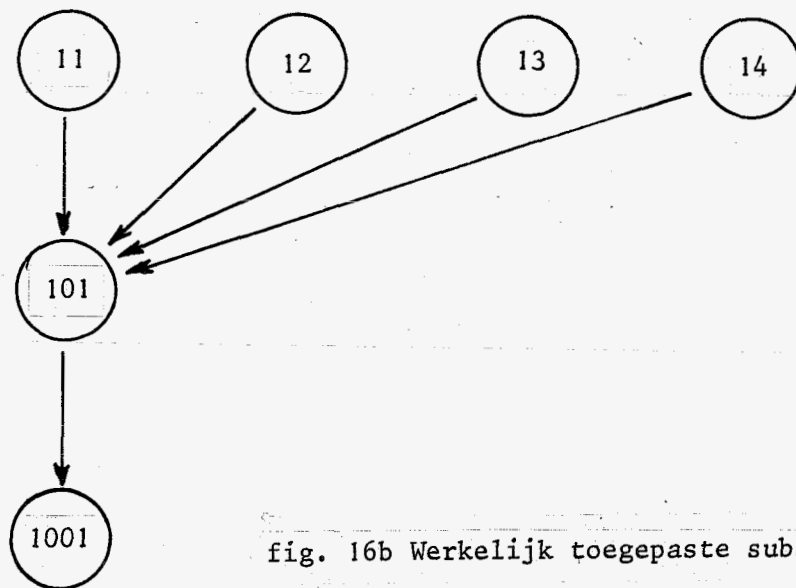


fig. 16b Werkelijk toegepaste substructurering

De achtergrond hiervan is de volgende:

De te verdelen constructie bezit geometrische periodiciteit en tevens kiezen we ons belastingmodel periodiek, d.w.z. elk blad wordt hetzelfde belast (zie hiervoor par. 4). Deze twee gegevens samen impliceren periodiciteit in de verplaatsingen (en dus spanningen) op de snedevlakken. Het deklarereren van hoofdnet 1001 bestaat derhalve slechts uit het koppelen van het rechterzijvlak van een kwart van de schroef met het linkerzijvlak. Dit kan in ASKA o.a. dankzij het ROTATED BASIS concept, waarin lokale assenstelsels gedeclareerd kunnen worden. Dit optimaal gebruik van de periodiciteit en de toepassing ervan in ASKA wordt uitvoerig beschreven in Appendix C.

### 3.4 De gekozen verdeling

Om het volume van de diverse substructuren zo goed mogelijk op te vullen met niet teveel elementen, lijken veel verdelingen mogelijk. Wij vonden echter, dat i.h.a. lokaal geldt, dat de combinatie van PENTAC en HEXEC slechts in één (zelf te kiezen) richting mogelijk is. Een doorsnede loodrecht op die richting levert een 2-D verdeling in driehoeken en vierhoeken. In de gerealiseerde verdeling is deze beperking in te zien, figuur 18 e.v. De keuze van het aantal elementen in een elementverdeling t.b.v. het analyseren van een constructie leidt in het algemeen tot een kompromis. Argumenten voor een fijne elementverdeling (veel relatief kleine elementen) zijn:

- met kleine elementen kunnen gekompliceerde geometriën nauwkeurig beschreven worden

- bij het fijner worden van de verdeling convergeert de gevonden oplossing naar de (binnen het analysemodel) exakte oplossing van het probleem.

De argumenten voor een <sup>v</sup>grote verdeling (weinig relatief grote elementen) zijn van economische aard:

- een grove verdeling vergt i.h.a. minder manuren en rekentijd voor het samenstellen van de invoergegevens van het elementenmethodeprogramma.
- de rekentijd voor het oplossen van het probleem is direkt en indirect afhankelijk van het aantal elementen.

Direkt: voor elk element moet de stijfheidsmatrix opgesteld worden. Voor de hier gekozen elementen vergt dat een niet te verwaarlozen rekentijd, door er over het volume van het element een numeriek integratieproces uitgevoerd wordt. Uit de stijfheidsmatrices van de afzonderlijke elementen wordt de stijfheidsmatrix van de constructie gevormd, welke laatste bij een verstandig gekozen nummering van de knooppunten i.h.a. een bandmatrix is.

Indirekt: de rekentijd voor het oplossingsproces wordt hoofdzakelijk bepaald door de rekentijd nodig voor het dekomponeren van de grote stijfheidsmatrix, en is evenredig met  $av * b^2$ , waarin

$av$  = aantal vrijheidsgraden van de constructie

$b$  = de bandbreedte van de stijfheidsmatrix van de constructie.

Het aantal vrijheidsgraden  $av$  wordt in het algemeen in hoofdzaak bepaald door het aantal knooppunten  $np$  van de constructie, waarbij  $av < np * \text{aantal vrijheidsgraden per knooppunt}$  (Een aantal vrijheden zal onderdrukt zijn, waardoor de beweging als star lichaam wordt verhinderd).

~~De bandbreedte  $b \approx 2 * \text{het maximale verschil in knooppuntnummers van de tot één element behorende knooppunten.}$~~

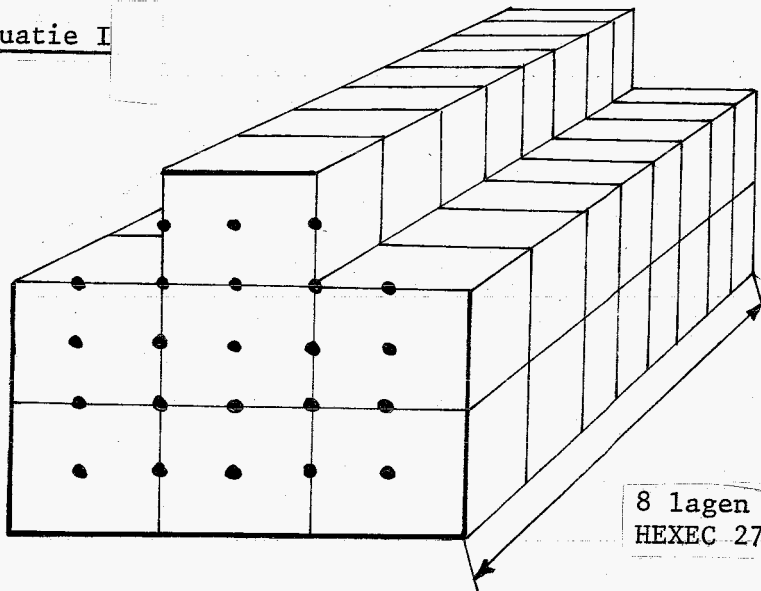
Indien de konstruktie uit  $n_e$ -elementen is samengesteld en het maximale verschil in de knooppuntnummers van element  $e$  bedraagt  $v_e$ , dan is (een bovengrens voor) de bandbreedte:

$$b = \max(v_1, v_2, \dots, v_{n_e}) \times \text{aantal vrijheden per knooppunt.}$$

Een voorbeeld ter verduidelijking:

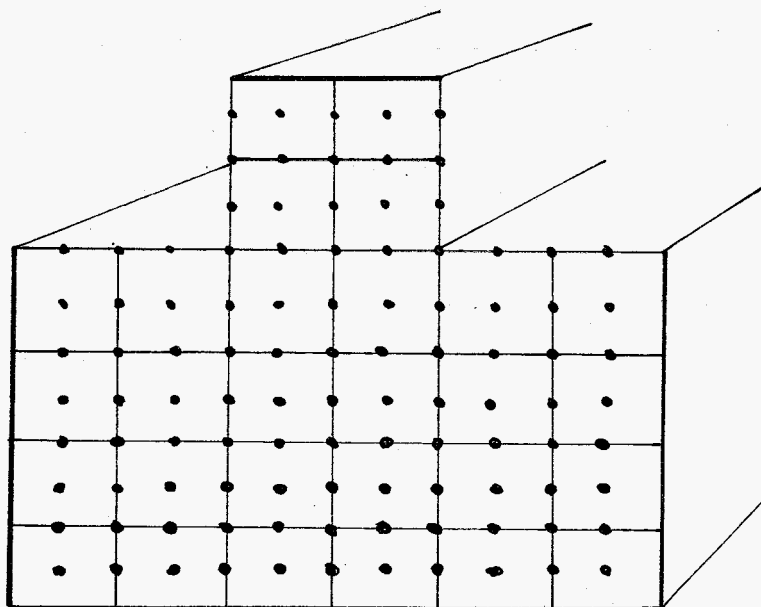
De gekozen elementverdeling voor het naafgedeelte ziet er topologisch ongeveer als volgt uit:

Situatie I



De knooppunten op de (dik getekende) grensvlakken doen niet mee (op dit nivo van berekenen) voor de bepaling van de bandbreedte.

Situatie II



$$\begin{aligned}
 av_I &= (2 \times 8 + 1) \times 23 = 391 & b_I &= 3 \times 2 \times 23 \\
 av_{II} &= (2 \times 16 + 1) \times 103 = 3399 & b_{II} &= 3 \times 2 \times 103 \\
 & & & \uparrow \\
 & & & \text{vrijheden } u,v,w
 \end{aligned}$$

$$\frac{av_{II} \times b_{II}^2}{av_I \times b_I^2} = \frac{3399}{391} \times \left(\frac{103}{23}\right)^2 = 175$$

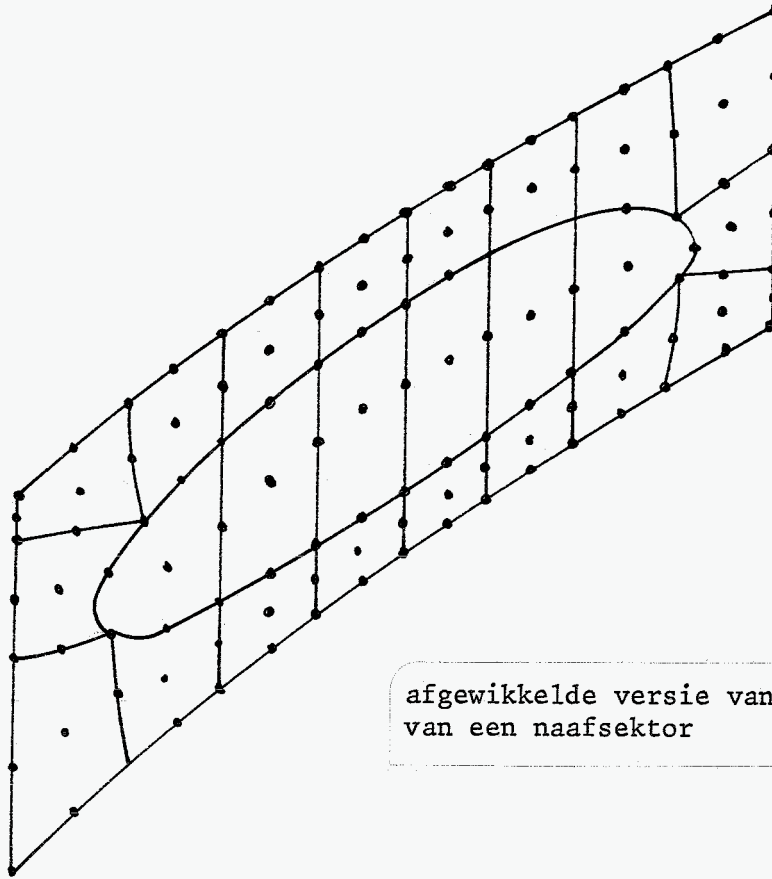
De rekentijd nodig voor het opstellen van de stijfheidsmatrix is in geval II een faktor 8 groter (evenredig met het aantal elementen). De rekentijd voor het dekomponeren van de stijfheidsmatrix neemt met een faktor 175 toe!

Uit het voorgaande mag blijken, dat bij elementverdelingen bestaande uit 3-D-elementen met relatief veel knooppunten (zoals HEXEC 27 en PENTAC 18) bij een toenemend aantal elementen het aantal vrijheidsgraden en de bandbreedte, en derhalve de rekentijd zeer snel toenemen. De strategie bij de keuze van het aantal elementen voor de verdeling van de schroef is dan ook gebaseerd op zo klein mogelijk aantal elementen, maar wel zo dat de geometrie op verantwoorde wijze kan worden beschreven.

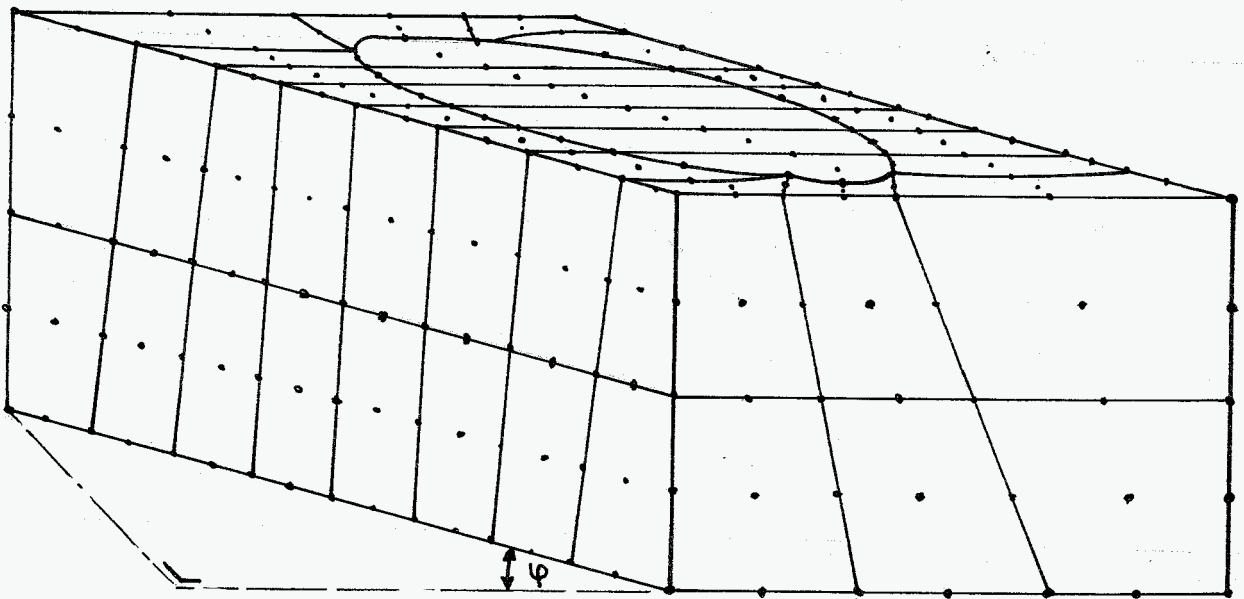
In de assektor is het gebruik van de hexec en de pentac-elementen op de getekende wijze voor de hand liggend, met links en rechts dezelfde knooppuntenkonfiguratie. Hiermee ligt de verdeling op het conusvlak vast (dus ook die voor de naafsektor), en bestaat deze uit vierhoeken.

Als we bovendien akseptereren dat we een bladprofiel beschrijven met behulp van (6) vierhoeken (met gekromde randen), met weglating van de (scherpe) neus en staart, dan zal ook het naafoppervlak bestaan uit vierhoeken. Bij een dergelijke wijze van verdeling lijken 2 lagen van hexec's in radiale richting in de naaf nodig en voldoende. Het geheel wordt dan zoals figuur 18 en 19 schetsen.

De grens van de substructuren blad en naafsektor is gekozen op die hoogte van het blad waar de afronding van de wortel eindigt. Zie fig. 20.



afgewikkelde versie van bovenzijde  
van een naafsektor



zij-aanzicht gestrekte versie van de  
naafsektor

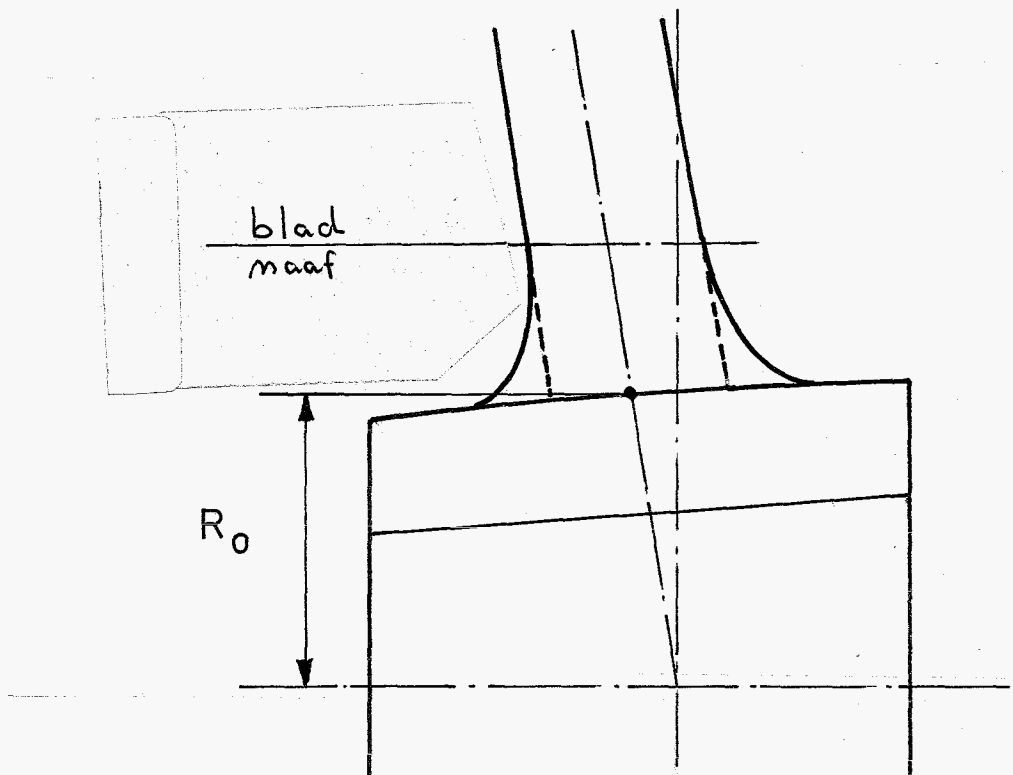


fig. 20 Grensvlak tussen blad en naaf:  
net boven de afronding

De zes elementen die de bladwortel beschrijven worden aan de onderzijde aangepast om de te scherpe hoeken op het raakvlak met de naaf te vermijden. Zie fig. 21.

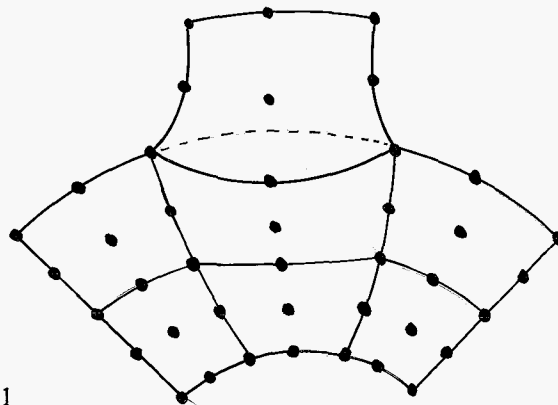


fig. 21

Hiermee ligt de topologie van de assektor en naafsektor vast, en is derhalve onafhankelijk van bijvoorbeeld het aantal bladen. De assektor bevat voorlijk van de naaf een viertal lagen elementen met een totale axiale lengte gelijk aan de helft van de naaflengte. De naafsektor bevat in deze configuratie  $6+2 \times 3 \times 8$  Hexec-elementen met 673 knooppunten. De assektor bestaat uit  $8+4$  PENTAC's en  $3 \times 12$  HEXEC's, met 550 knooppunten.

De grootste variatie in schroefontwerpen is gelegen in de bladvorm. In een meshgenerator die zowel de klassieke als de high-skew schroef akseptabel kan verdelen, is de topologie van het blad dan ook onvermijdelijk een

funktie van de bladvorm. Een eerste poging tot het verdelen van het gehele blad in hexec en pentac-elementen, zoals in figuur 22, strandde op twee facetten:

- bij high-skew schroeven werd de verdeling in de top hoogst ongelukkig
- de bladtop is werkelijk te dun om met volume-elementen te beschrijven: door de te respekteren lengte-breedte-dikte-verhoudingen zou het aantal elementen ter plaatse onaantrekkelijk groot worden (voor het spanningsonderzoek is die plaats niet van primaire interesse).

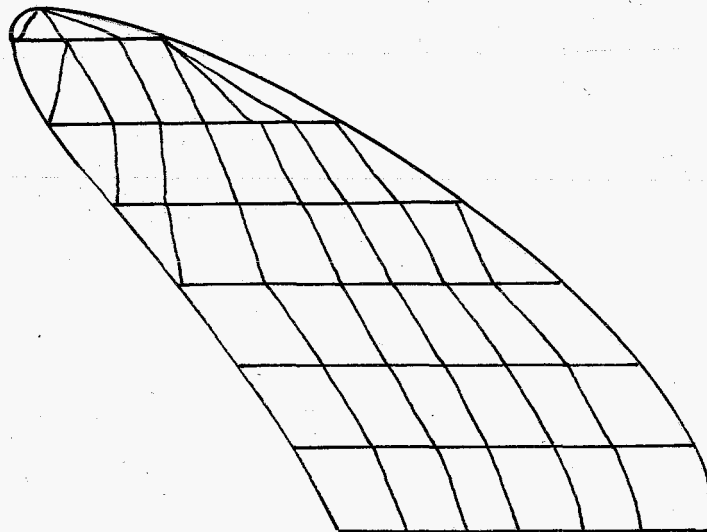


fig. 22

Gedurende het onderzoek is aan de ASKA-elementtype-verzameling het dikwandige schaalement QUABC9 toegevoegd. Het koppelen van HEXEC aan QUABC 9 levert in principe problemen door het ongelijk zijn van de respektievelijke sets vrijheidsgraden. Door enige (geteste) kunstgrepen is dit probleem echter redelijk opgelost. Zie hiervoor Appendix D.

De daardoor mogelijke uitgangspunten bij de bladverdeling werden als volgt:

- Vanaf het grensvlak met de naaf komen rijen van zes hexec-elementen
- Op een per schroef te kiezen plaats in het blad wordt overgegaan op QUABC 9-elementen, vol te houden t/m de top
- Het aantal rijen HEXEC en QUABC 9 moet instelbaar zijn
- De lagen komen ongeveer loodrecht op de lijn van de grootste dikte.

In figuur 23 zijn enkele voorbeelden getekend. Tot zover de globale opzet van de meshgenerator.



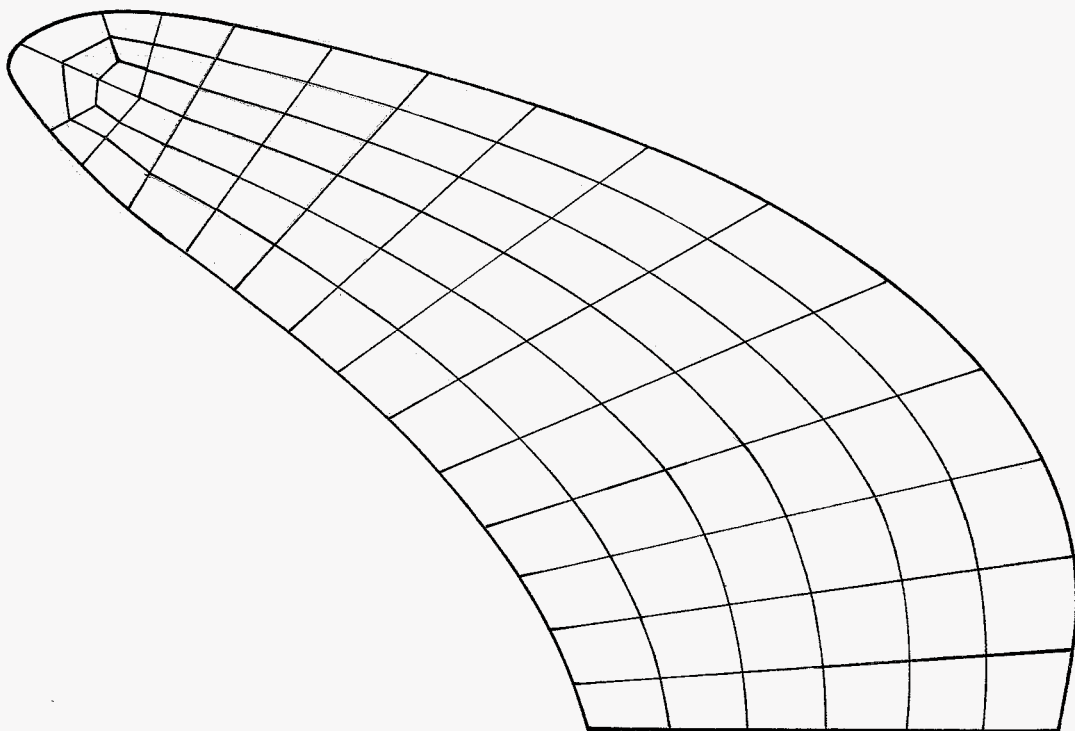
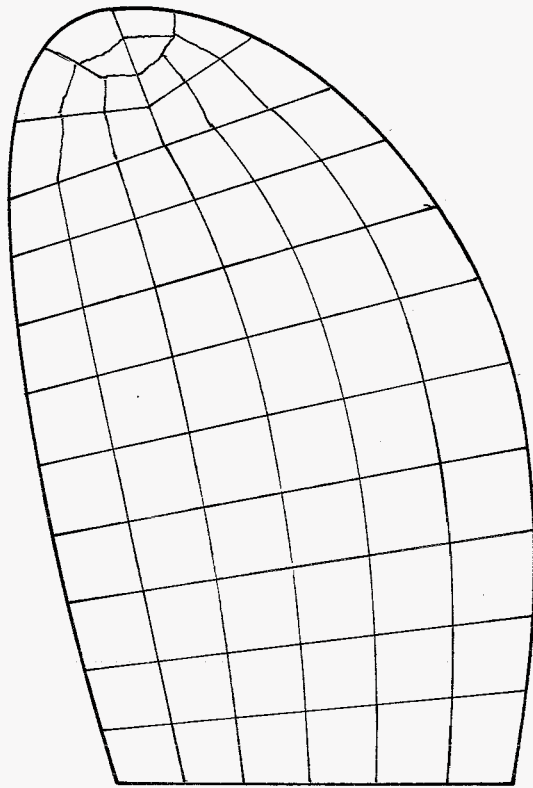


fig. 23

#### 4. De belasting

##### 4.1 Inleiding

De totale belasting van de schroef valt uiteen in drie componenten:

1. initiële spanningen t.g.v. de krimpverbinding
2. hydrodynamische belasting
3. massakrachten t.g.v. rotatie

Zoals reeds gezegd in de inleiding (1.2) verwaarlozen we in dit kader andere bijdragen, zoals eigengewicht, trillingen, vloeistofwrijving etc. Om inzicht te krijgen in de respektievelijke bijdrage van elk van deze drie facetten tot het totale spanningsbeeld worden ze tot ver in het rekenproces gescheiden gehouden.

##### 4.2 De krimpverbinding

De krimpverbinding komt als volgt tot stand: Op het conusvlak van de naaf is in het brons een ondiepe, spiraalvormige groef gedraaid, beginnend een stuk van de voorzijde en eindigend vóór de achterzijde van de naaf. Radiaal in de naaf zijn 2 of 3 dunne gaten geboord, in verbinding met de groef. Bij de montage wordt olie onder hoge druk (tegen de montagekracht in) in de blinde groef geperst, de naaf wordt opgeblazen, en "drijft" op de oliefilm "de as op. Zie fig. 24.

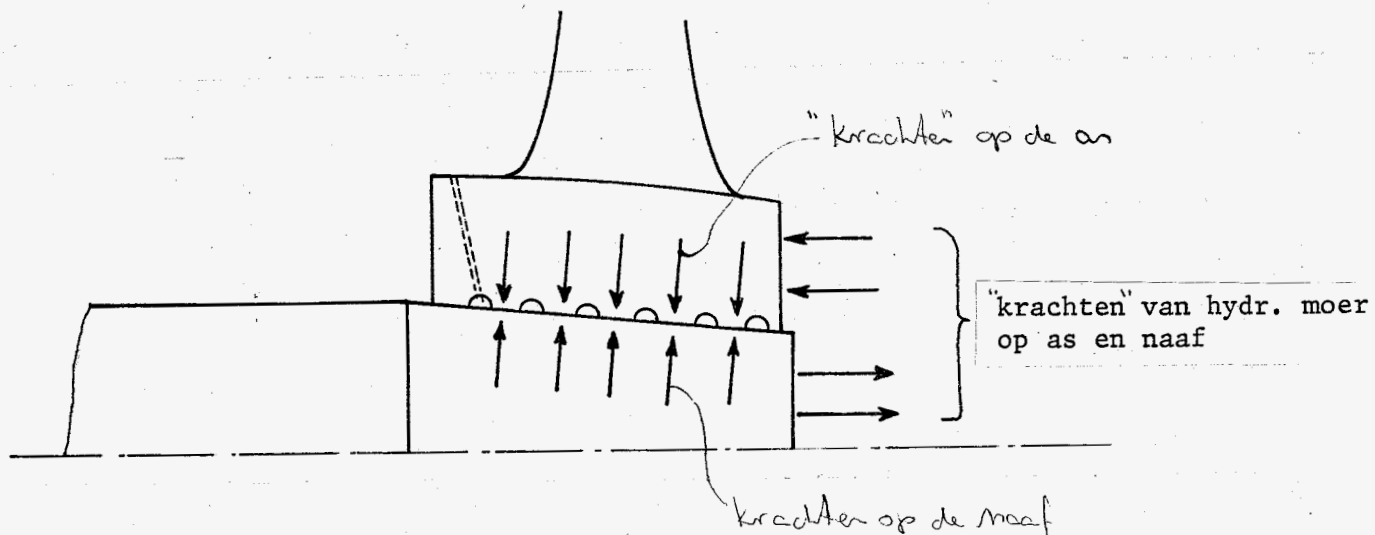


fig. 24

De axiale stuwkracht wordt geleverd door een zgn. hydraulische moer, welke zodanig is gedimensioneerd, dat bij gelijke oliedruk in moer en naaf de stuwkracht van de moer en de axiale reactiekracht van de olie-film min of meer evenwicht maken (Achtergrond hiervan is, dat men dan min of meer zeker is van een complete oliefilm op het grensvlak).

De beginpositie en de door de klassifikatieburo's geëiste oprijfweg worden als volgt bereikt. Bij de assenblage test wordt de bijbehorende as in verticale stand in de schroef neergelaten, en wordt de oprijfkracht geleverd door het eigengewicht van de as plus een lichte initiële oliedruk in de hydraulische moer, zonder gebruik van olie op het conusvlak. Aan de hand van deze positie wordt de uiteindelijke positie van bijvoorbeeld het voorvlak van de naaf vastgesteld. Appendix E bevat de rapportage van een assemblagetest.

Hoe kunnen we nu de spanningen in de as en de schroef, die optreden ten gevolge van de krimpverbinding zo goed mogelijk bepalen?

Er zijn minstens twee deelproblemen te onderscheiden:

1. De geometrie van de schroef is niet rotatie-symmetrisch. Dit houdt in, dat de stijfheid tegen radiale expansie een functie is van de drie poolcoördinaten  $r$ ,  $x$  en  $\phi$ . Zie figuur 25. Anders gezegd: ter plaatse van de bladwortels is de naaf stijver, het na montage aanwezige verplaatsingsveld (en dus spanningsveld) zal minstens daardoor, niet homogeen zijn over de omtrek.

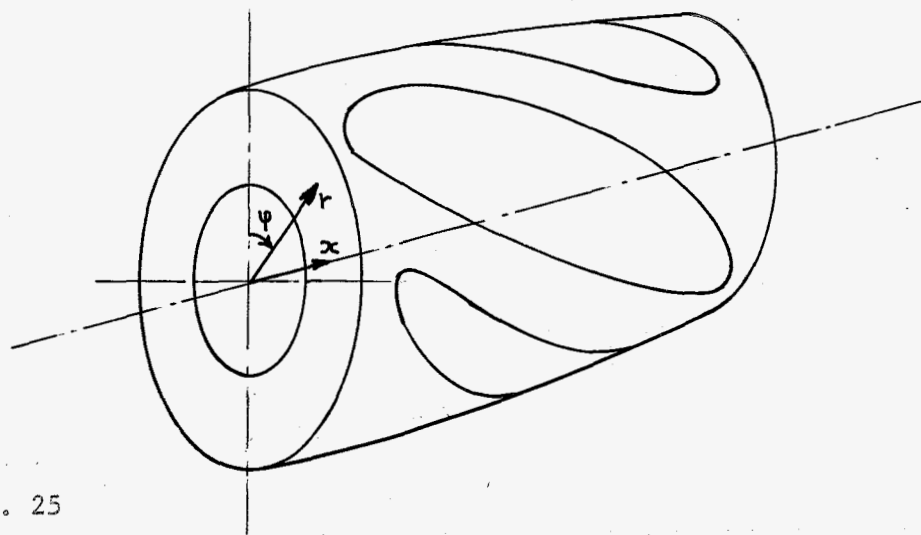


fig. 25

2. Het krachtenspel op het grensvlak tussen as en naaf is vaag, met name is niet duidelijk hoe de schuifspanningen zijn verdeeld over het oppervlak. Het enige dat we weten is, dat (zonder sluitmoer) de schroef op de as blijft zitten, en dat er derhalve dan axiaal evenwicht is.

Deelprobleem 1. vraagt om een elementenmethode-aanpak, en wel een drie-dimensionale. Net zo min als de analytische benadering met de "dikke-buizen-formules" toereikend is, kunnen we hier niet volstaan met een verdeling in ringelementen.

Om de initiële spanningen te kunnen berekenen, gaan we nu een theoretische weg volgen, die we aan de hand van een voorbeeld duidelijk maken.

Essentieel is, dat de uiteindelijke situatie tot stand komt door het superponeren van twee geforceerde situaties. Stel we hebben een bus en een overmaatse pen met een maatverschil  $\delta$ , zie figuur 26.

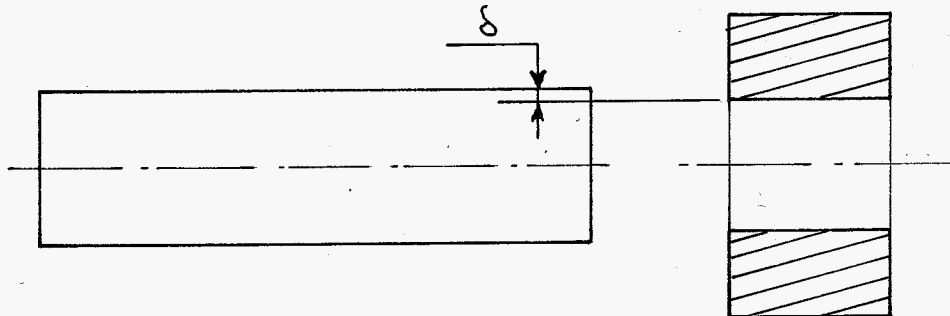


fig. 26

We zoeken nu de spanningen in de pen en de bus na de montage. (We beschouwen daarbij alleen de spanningen die ontstaan t.g.v. het maatverschil, en niet tevens de eventuele extra spanningen t.g.v. de gevolgde montagemethode, resulterende in extra axiale wrijvingskrachten. \*)

In de elementenmethode (althans die welke gebaseerd is op de verplaatsingsmethode) is het zoeken naar spanningen terug te brengen op het zoeken naar het verplaatsingsveld.

beter gezegd:

aangenomen dat de wrijvingscoëfficiënt nul is

We creëren nu:

Situatie I: Schrijf dusdanige verplaatsingen voor aan de betrokken knooppunten van het asoppervlak, dat de nieuwe asmaat gelijk wordt aan de binnenmaat van de bus. Zie figuur 27. Hiervoor is nodig per knooppunt  $i$ : de kracht  $F_i$ , te berekenen met bijvoorbeeld ASKA (tevens berekenen we de daardoor in de as ontstane spanningen, te noemen  $\sigma_{as,I}$ ; die hebben we later nodig).

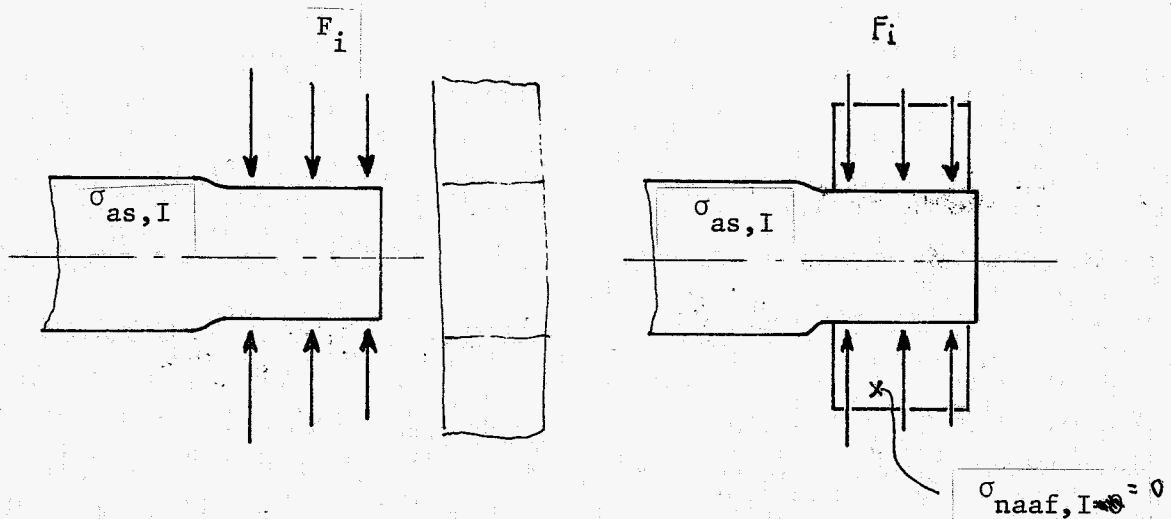


fig. 27 Situatie I

We monteren de bus op de  $n^u$  passende as en "lijmen" de bus op de as. In elementenmethode-termen is dit het koppelen van de respectievelijke knooppunten van bus en as.

In werkelijkheid zijn de krachten  $F_i$  niet aanwezig op het grensvlak. Daarom zetten we nu op de gekoppelde knooppunten krachten, evengroot maar tegengesteld aan  $F_i$ , te noemen  $-F_i$ . Dit noemen we situatie II. Hierdoor treden spanningen op in de naaf. Zie fig. 27a. De in werkelijkheid optredende spanningen in naaf en as zijn nu te vinden uit het superponeren van de respectievelijke spanningen in situatie I en II.

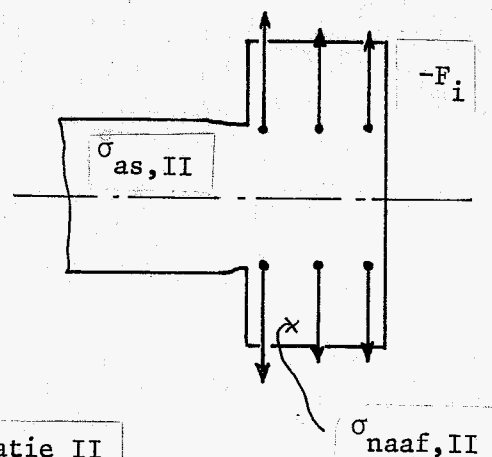


fig. 27.a Situatie II

$\sigma_{naaf,II}$

en de as

Derhalve:  $\sigma_{as} = \sigma_{as,I} + \sigma_{as,II}$

en  $\sigma_{naaf} = \sigma_{naaf,I} + \sigma_{naaf,II} = \sigma_{naaf,II}$

De gevolgde weg is in ASKA op de volgende manier te doorlopen:

ASKA-run I | net 1 , de as :

in: voorgeschreven verplaatsing,  $\delta$   
 uit: knoop.p.krachten grensvlak,  $F_i$   
 uit: spanningen gehele as,  $\sigma_{as,I}$

ASKA-run II net 1 , de as

net 2 , de bus

net 12 :

net 12 , de gekombineerde konstruktie

in: uitw.belasting -  $F_i$  op koppelpunten  
 uit: spanningen net 1 ,  $\sigma_{as,II}$   
 uit: spanningen net 2 ,  $\sigma_{naaf,II}$

Daarna  $\sigma_{as} = \sigma_{as,I} + \sigma_{as,II}$

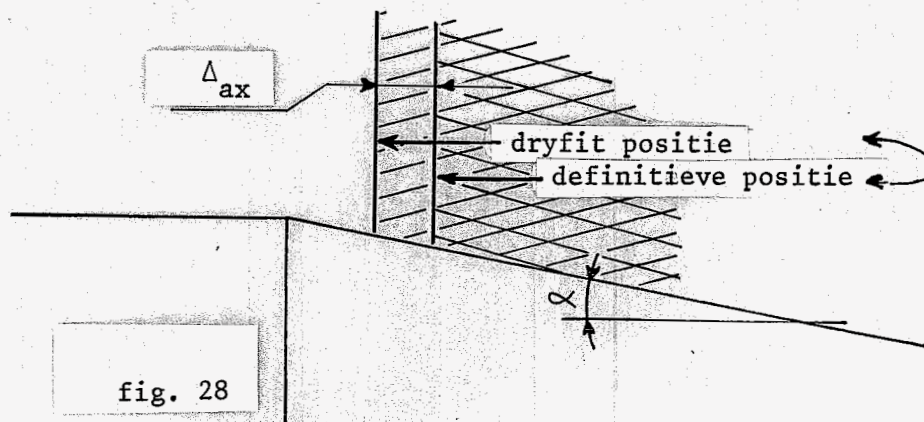
✱

Voor onze conische krimpverbinding is de situatie enigszins gekompliceerder, tengevolge van de onvermijdelijke (en onmisbare) wrijving op het grensvlak. De toegepaste modelvorming en de daarbij gehanteerde overwegingen zijn als volgt:

1. We nemen de op de klok gemeten axiale verplaatsing  $\Delta_{ax}$  van de schroef t.o.v. de as (van de initiële dry-fit positie naar de definitieve positie) als ingangsgrootheid voor de situatie I. En wel als volgt:

$$\Delta_{rad,sit I} = \Delta_{ax} \times \tan \alpha$$

waarbij  $\alpha$  de hellingshoek van de conus is. Zie figuur 28.



✱ Essentieel is, dat in beide runs de ondersteuning van de as gelijk is.

We schrijven derhalve in situatie I een radiale verplaatsing voor.

2. Het koppelen van knooppunten in ASKA bestaat in feite uit het koppelen van de respektievelijke vrijheidsgraden per knooppunt. Niet alle vrijheidsgraden hoeven gekoppeld te worden. Bij het koppelen op het grensveld as-naaf hebben we bijvoorbeeld de keuze uit (zie figuur 29):
  - a. koppelen van de verplaatsingen in  $y$ -richting, normaal op het conusvlak
  - b. koppelen in  $y'$ -richting, loodrecht op het hart van de as
  - c. koppelen van alle verplaatsingen

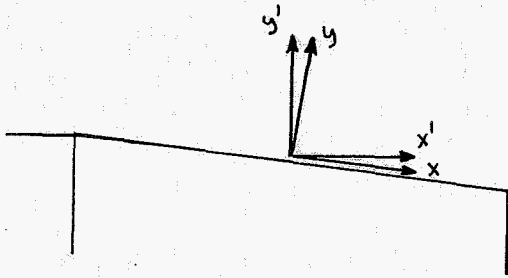


fig. 29

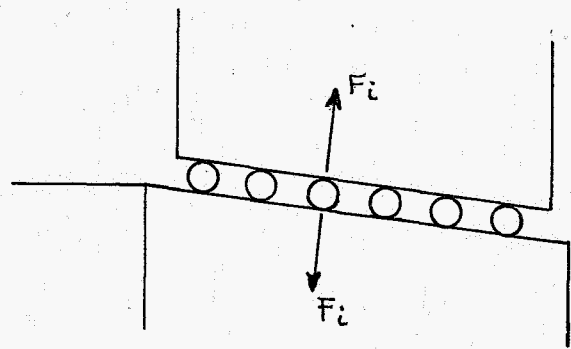


fig. 30

(NB het definiëren van een nieuw, gedraaid assenstelsel is in ASKA mogelijk in het zgn. ROTATED BASIS-concept)

#### Ad a

Het koppelen in normale richting. Zie figuur 30, waarbij zij opgemerkt, dat de krachten  $F_i$ , van de kogel op de twee delen ook negatief kan zijn. Dit lijkt geen realistisch model en wel om de volgende redenen: bij bijvoorbeeld expansie van de as moet er axiaal evenwicht blijven, en dit kan alleen als er krachten  $F_i < 0$  zijn. In werkelijkheid kan  $F_i$  in de hier beschreven richting natuurlijk nooit negatief worden.

#### ad b

Koppelen in radiale richting. Zie fig. 31. Hier is één argument voor te bedenken: in alle mogelijke verdelingen van de krachten  $F_i$  is er altijd axiaal evenwicht, de bijdrage van elke  $F_i$  is nul. Sterk argument tegen dit model is echter: in axiale richting zijn de verplaatsingen van de respektievelijke knooppunten onafhankelijk. De twee series verplaatsingscomponenten in axiale richting die uit de <sup>be)</sup>rekening rollen, zullen derhalve zeer waarschijnlijk verschillen, hetgeen evenmin realistisch is.

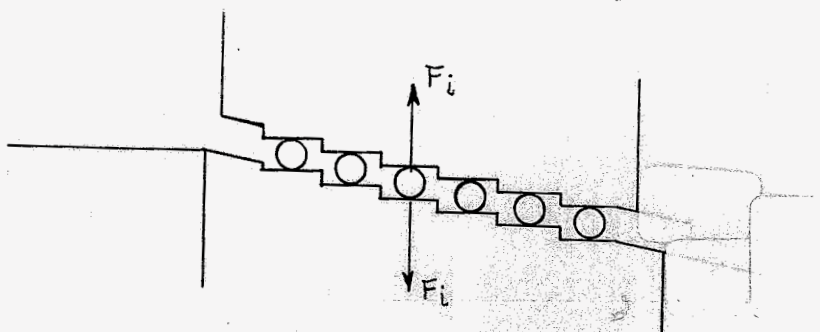


fig. 31

Ad c

Het koppelen van de verplaatsingen in alle drie de richtingen. Deze aanpak veronderstelt dat er bij de overgang van situatie I naar situatie II geen enkele slip optreedt. We hebben dit model toegepast en wel om de volgende redenen:

- we weten niet echt wat er gebeurt op het grensvlak. Zelfs het gegeven van het axiale evenwicht brengt ons niet verder. We hebben te doen met een kontaktprobleem in combinatie met wrijving. Model c lijkt echter niet bezwaard te zijn met een tegenargument zoals a en b.
- voor elke belasting kan model c wel dienen als startwaarde voor een iteratief rekenproces, dat leidt tot een spanningsverdeling op het grensvlak, overeenkomend met voorgeschreven wrijvingskondities.

Stel namelijk dat bij een bepaald belastingsgeval er bij gebruik van model c, we een verzameling knooppuntskrachten vinden op het grensvlak, waarvan een deel een kleinere hoek maakt met het normaalvlak ter plaatse, dan de wrijvingshoek  $\varphi$ . Zie fig. 32. Dan kunnen we voor al die punten nieuwe krachten voorschrijven met een richting, gebaseerd op de maximale wrijvingskracht.

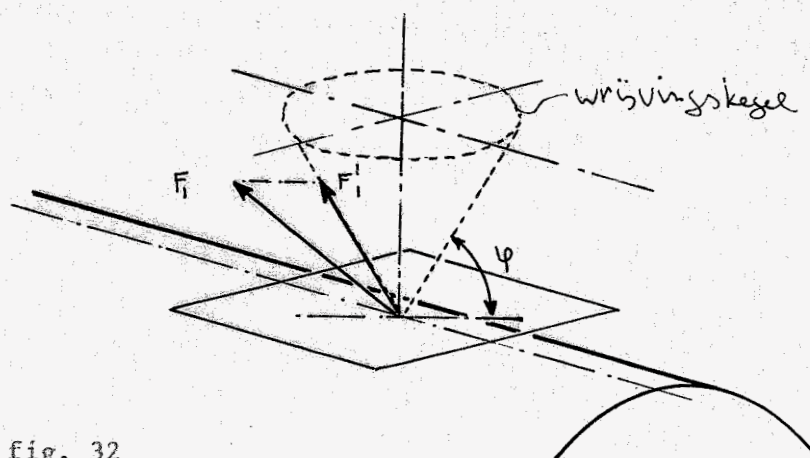


fig. 32

Het meest interessante belastingsgeval, waarbij deze methode gebruikt kan worden is die waarbij onder bedrijfsomstandigheden slip optreedt aan de voorzijde van de naaf. Deze slip ontstaat vooral door de overgang as-naaf waar duidelijk een sprong in stijfheid tegen rotatie zit.



De manier van berekenen is dan dus als volgt:

- 1e berekening, gebaseerd op "perfekte lijm"-situatie, resulterend in krachten  $F_i$  aan de voorzijde van het conusvlak, die te veel wrijving suggereren. Deze  $F_i$  omzetten in  $F_i'$ 's zoals in figuur 32.
- 2e berekening met op de betreffende knooppunten voorgeschreven knooppuntskrachten  $F_i'$ , en *ontkoppeling van verplaatsingen in het vlak.*

Hieruit rolt een nieuwe verzameling die weer moet worden gecorrigeerd etc.

In berekeningen met realistische invoergegevens, gebaseerd op of vergeleken met bestaande as-schroefkombinaties, zal dit proces convergeren.

Derhalve: Voor de krimpverbinding passen we de truck toe met de twee fasen, en tellen de resultaten van die twee fasen op. We schrijven in de eerste fase verplaatsingen voor, gebaseerd op de opdrijfstand en gebruiken de knooppuntskrachten van het grensvlak in de tweede run als invoer. Ook in de tweede run kunnen tevens de spanningscomponenten  $\sigma_{as\ I}$ ,  $\sigma_{as\ II}$  worden opgeteld. En verder koppelen we alle vrijheden van de grensvlakknooppunten van de as en de naaf. We passen ROTATED BASIS toe op de grensvlakknooppunten op de volgende manier en om de volgende reden:

per punt: de x-as in de richting van de top van de kegel, de z-as normaal op het oppervlak ter plaatse en de y-as tangentiaal (gekozen: rechtson, d.w.z. naar voren gezien). Zie figuur 33. Dit vergemakkelijkt de invoer van de voorgeschreven verplaatsingen en maakt de uitvoer makkelijker leesbaar: we zijn geïnteresseerd in de componenten in het vlak en loodrecht er op.

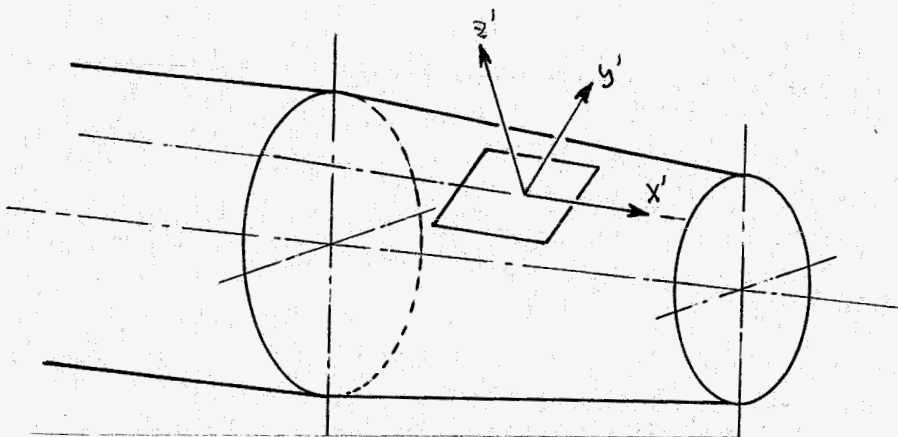


fig. 33. ROTATED BASIS voor de conus-punten

We komen hierop terug bij de bespreking van het ASKA-programma.

#### 4.3 De hydrodynamische belasting

Het paradoxale van dit onderzoek schuilt voornamelijk in de restrikties die we hebben gemaakt t.a.v. het hydrodynamische belastingmodel. Immers er is interesse in het spanningsveld van met name high-skew schroeven, die hun ontstaan te danken (te wijten?) hebben aan het dynamisch karakter van de hydrodynamische belasting. Wij beperken ons hier echter tot het effect van een statische drukverdeling over het blad, als mogelijk eerste aanzet tot een dynamische analyse, ook m.b.v. de elementenmethode, waarbij de gemaakte elementverdeling ook zeker bruikbaar zal blijken. De simplificaties van deze belastingkomponent leiden tot het volgende model:

- a. er wordt alleen hydrodynamische belasting beschouwd in net 13 en 14 dus het gebied boven de afronding van de bladwortel.
- b. de plaatselijke druk kan opgebouwd worden uit minstens 4 componenten:
  - druk t.g.v. de dikte van het profiel
  - druk t.g.v. de welving
  - druk t.g.v. niet stootvrije aanstroming
  - statische druk t.g.v. diepte onder de zeespiegel

Voor de werkelijke stuwkracht (en de daaruit voortvloeiende spanningen) zijn slechts van belang:

- het drukverschil t.g.v. de welving
- het eventuele drukverschil t.g.v. de niet-stootvrije aanstroming

In de hydrodynamische wereld wordt het in figuur 34 geschetste drukverloop t.g.v. deze twee componenten voorlopig akseptabel geacht voor onderzoeken als deze. We zien een gelijkmatige druk tot 80% van de koorde-lengte, daarna een lineaire afname naar nul. De hoogte van het gelijkmatige deel wordt dan bepaald door de welving en de relatieve aanstroomhoek, terwijl de plaats van overgang naar het afnemende gebied een functie is van het gekozen profieltype. Bij de beide Arnoldus 1 en 2 profielen bedraagt dit 80%.

- c. Het onder b. gevonden drukverschilverloop wordt geprojecteerd op de drukzijde van het blad.

ASKA biedt bij de elementen HEXEC 27 en QUABC 9 de mogelijkheid tot het invoeren van verdeelde belasting. Per betrokken knooppunt (in fig. 35 dus de 13 knooppunten op de drukzijde) moet de lokale druk worden opgegeven. We nemen hiervoor de bij de x-koördinaat van het knooppunt horende druk. Mede gegeven de verdeling in elementen zoals getekend in figuur 35 (voor het argument daarvoor zie 3.4) maken we bij deze opzet minstens de volgende fouten:

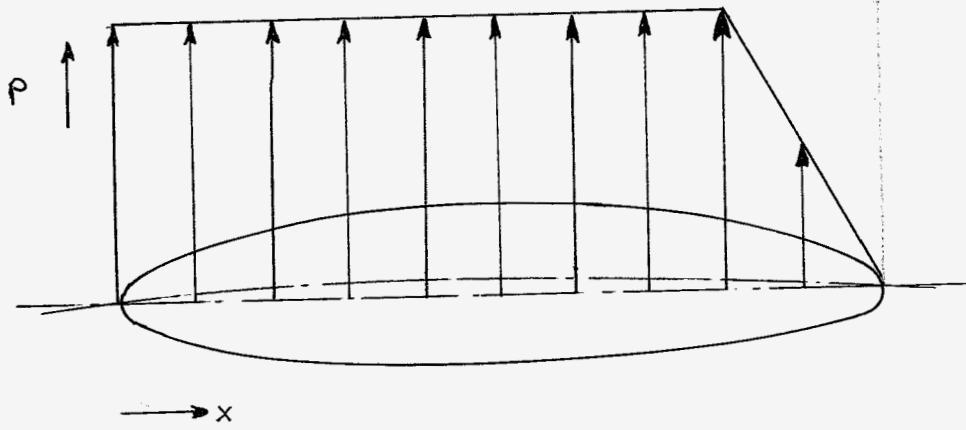


fig. 34

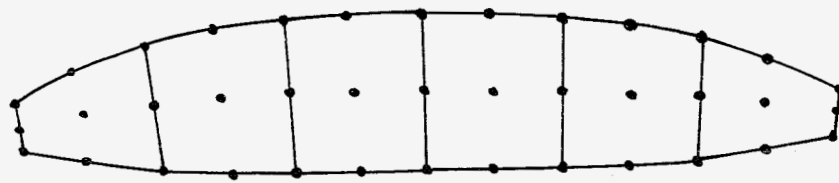


fig. 35

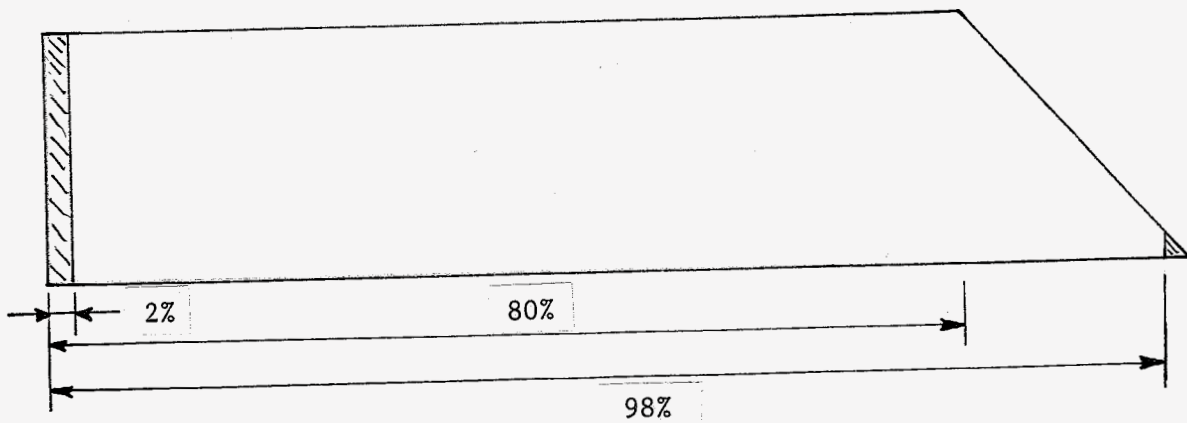


fig. 36

- We snijden ongeveer  $2 \times 2\%$  af van de werkelijke lengte van het profiel, daardoor negeren we met name aan de voorzijde een deel van de drukbelasting. Zie fig. 36, waarin de juiste verhoudingen (80%, 2%) zijn uitgezet.
- De bij elk knooppunt opgegeven druk wordt geacht loodrecht op het raakvlak te staan, maar wordt in werkelijkheid bepaald uit het drukverschilverloop, geprojecteerd op de neus-staartlijn.

Deze fout lijkt, gezien de profielvormen in de gestrekte doorsnede zeer bescheiden en beide fouten lijken gezien het globale karakter van het drukverdelingsmodel, akseptabel.

### Konklusie

We bepalen de druk ter plaatse van knooppunt p op de rugzijde van het blad als volgt:

- gegeven in de gestrekte doorsnede  $x_p$ ,  $y_p$  en  $z_p$ ;
- op hoogte  $y_p$  is bekend: welving, relatieve aanstroomhoek (en daarmee de grootte van het drukverloop) alsmede de x-positie van punt p in het oorspronkelijke profiel
- bij een "80%-profiel" is de druk  $p$  dan bekend.

### 4.4 De massakrachten

Ook t.a.v. de massakrachten t.g.v. de rotatie worden alleen de bladen beschouwd. De toegestane maximum rotatiesnelheid wordt voornamelijk beperkt door de kans op cavitatieverschijnselen, die o.a. een functie is van de aanstroomsnelheid, welke laatste voor een deel bepaald wordt door de rotatie.

Een globale waarde voor de maximale bladtipsnelheid is  $30 \text{ [m/s]}$ .

Ter afschatting van het effect van bladen op de naaf kunnen de twee volgende modellen dienen:

1. Een zuiver radiaal op de naaf bevestigde strip. Zie figuur 29.

Een redelijke waarde voor de verhouding naafdiameter - schroefdiameter is 1:5. De spanning in oppervlakje A is:

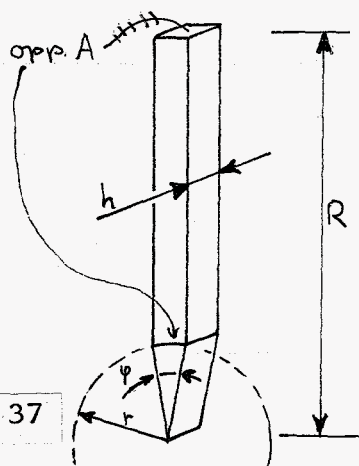


fig. 37

$$\begin{aligned}
 F_{\text{centr, strip}} &= \frac{1}{2} \rho \phi h \omega^2 r (R^2 - r^2) \\
 \text{opp A} &= h \phi r \\
 \therefore \sigma &= \frac{1}{2} \rho \omega^2 (R^2 - r^2) \\
 R &= 5 \cdot r \\
 \omega \cdot R &= 30 \text{ [m.s}^{-1}\text{]} \\
 \rho &= 8000 \text{ [kg.m}^{-3}\text{]} \\
 \therefore \sigma &= 3.5 \text{ [N.mm}^{-2}\text{]}
 \end{aligned}$$

2. Is de strip gebogen, bijvoorbeeld in het vlak van rotatie, dan treedt de volgende situatie op. Figuur 38. We nemen daarbij een naar buiten dunner wordende strip.

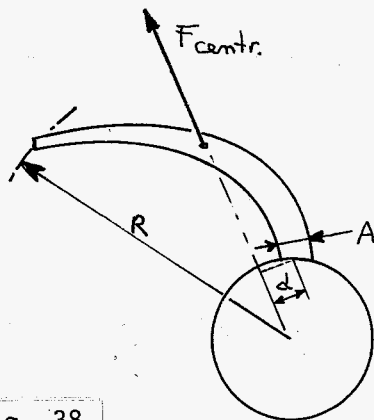


fig. 38

Per eenheid van lengte in axiale richting is nu:

volume van de strip  $\frac{1}{2} R \cdot A$

zwaartepunt t.o.v. as van rotatie  $\frac{1}{3} R$

$$F_{\text{centr,strip}} = \frac{1}{6} \rho A R^2 \omega^2$$

Op de doorsnede op de voet werkt derhalve een moment  $M = \frac{1}{6} \rho \cdot A \cdot R^2 \cdot \omega^2 d$

en een trekkracht  $F = \frac{1}{6} \rho \cdot A \cdot R^2 \cdot \omega^2$

Nemen we voor  $A = 0.1 R$   
 $\omega \cdot R = 30 \text{ [m.s}^{-1}\text{]}$   
 $d = 0.2 R$   
 $\rho = 8000 \text{ [kg.m}^{-3}\text{]}$ , dan worden

$$\begin{cases} M = R^2 & 2.4 & 10^4 & \text{[Nm/m]} \\ F = R & 1.2 & 10^5 & \text{[N/m]} \end{cases}$$

Op de doorsnede op de voet geeft dit een  $\sigma_{\text{max}} = 15.6 \text{ [N.mm}^{-2}\text{.]}$

Beide modellen suggereren dat de spanningen die optreden t.g.v. de rotatie zeer bescheiden zijn. Echter vooral model 2 kan een te gunstige voorstelling van zaken zijn bij high-skew schroeven, de offset uit de zuivere radiale richting (en met name de verdraaiing in het blad ten behoeve van de spoed) hebben een moeilijk voorspelbaar effect op het spanningsverloop.

Zoals gezegd worden de spanningen van elk belastinggeval in ASKA in principe afzonderlijk uitgevoerd. Massakrachten zoals in dit model voorkomen kunnen voor een (zich uitbreidend) aantal elementtypen op zeer eenvoudige wijze in ASKA worden geïntroduceerd.

Er wordt (wel bij HEXEC, maar nog niet bij QUABC 9) per element een zgn. volumematrix aangemaakt, die met een per knooppunt in te lezen <sup>verdeelde belasting</sup> ~~krachtvektor~~, knooppuntskrachten oplevert die ~~een maat zijn~~ <sup>vervangend zijn</sup> voor de massakracht op het element.

De in te lezen vektor heeft een grootte evenredig met de afstand knooppunt - as van rotatie ( $\rho \omega^2 r$ ), en een richting loodrecht op en weg van de as van rotatie.

Knooppunten die behoren tot meer dan één element "krijgen" van elk van die elementen een bijdrage.

Voor de massakrachten van de QUABC 9-elementen hebben we zelf een procedure geschreven, gebaseerd op een zeer eenvoudige numerieke integratie ter bepaling van het volume van delen van het element. Zie bijlage E.

## 5. Het ASKA programma

### 5.1 Uit te voeren analyses

Als een van de argumenten om de gehele schroef inclusief een deel van de as door te rekenen, is de veronderstelling aangevoerd dat de eindige stijfheid van de naaf (en de as) de spanningsverdeling in het blad beïnvloeden.

De onderverdeling in de substructuren is zodanig gedaan, dat wij in staat zijn, om die veronderstelling te verifiëren. Immers we kunnen een berekening uitvoeren waarin alleen het blad (net 13 en 14) is opgenomen en het blad aan de wortel is ingeklemd en de resultaten vergelijken met die van de berekening van de gehele schroef met het asgedeelte.

Deze twee berekeningen zijn uitgevoerd, wij nemen als naam voor de programma's: de ingeklemde versie respectievelijk de volledige versie.

De opbouw van het ASKA-programma voor de ingeklemde versie is betrekkelijk eenvoudig, en kan dienen als inleiding op de beschrijving van de volledige versie.

Zoals uit [1] en [2] blijkt, is de voor het ASKA-programma in te voeren informatie te scheiden in vier blokken, waarvan alleen de eerste voor ons van minder belang is, n.l. de Job-Control. Blijven over:

1. de ASKA Processor Control, verder te noemen APC
2. de topologische beschrijving, te noemen TOPOLOGY
3. de numerieke probleemgegevens, het DATA-blok.

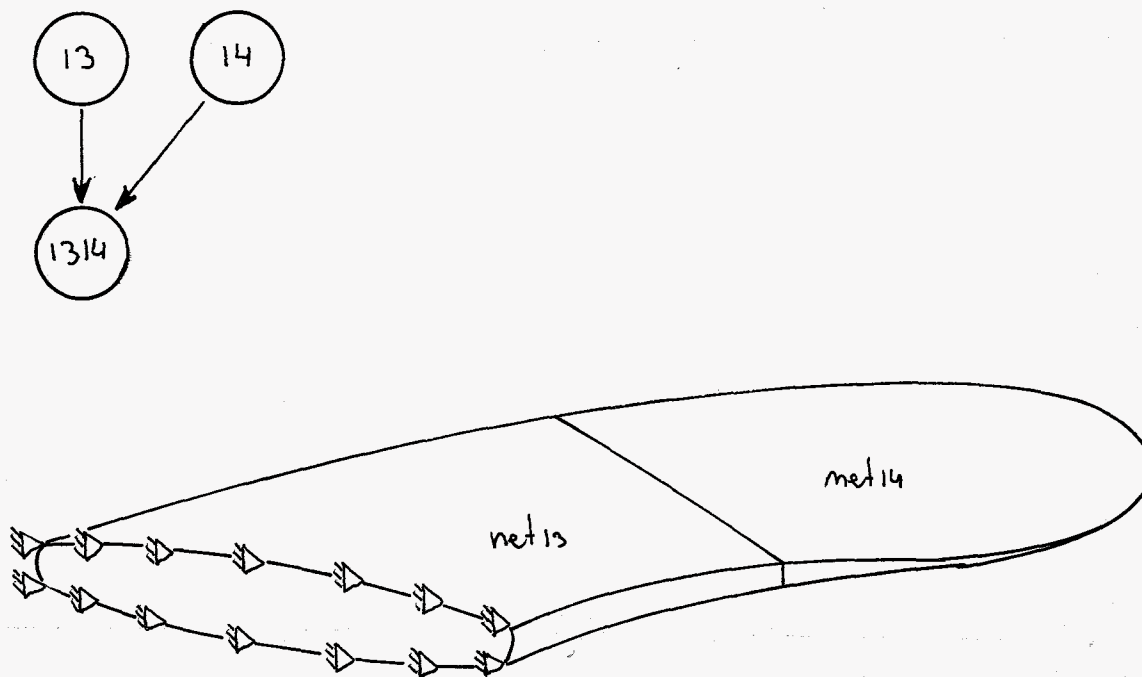
Wij zullen deze blokken, zoals ze zijn gevuld in de twee problemen afzonderlijk behandelen.

Voor de beschrijving van enkele min of meer buitensporige bewerkingen toegepast in een of beide versies, wordt verwezen naar Appendix B.

## 5.2 De ingeklemde versie

### 5.2.1 Inleiding

We nemen de netten 13 en 14, zoals beschreven in Hoofdstuk 3, koppelen de bovenlaag HEXEC aan de onderlaag QUAB-elementen en onderdrukken alle verplaatsingen op het ondervlak van net 13. Het daaruit te vormen hoofdnet noemen we net 1314.



#### de ingeklemde versie

De belasting wordt opgebouwd uit twee componenten

- belasting-geval 1: de hydrodynamische belasting
- belasting-geval 2: de massakrachten

Een deel van het ASKA proces wordt voor elk belastingsgeval afzonderlijk uitgevoerd. Het is in principe mogelijk om de per belastinggeval ontstane spanningen (per component) achteraf te superponeren. Veel aantrekkelijker (en niet erg tijdrovend) is het om een derde belastinggeval te introduceren waarin beide componenten tegelijk worden toegepast:

- belasting-geval 3: de hydrodynamische belasting en de massakrachten samen.

#### 5.2.2 De APC

In de APC zijn vier delen te onderscheiden: (zie ook de lijsting op blz 5.3 e.v.)

1. Opbouw substructuur net 13, waaronder: (globaal)
  - inlezen topologie, opbouw assemblagematrix (SA),
  - inlezen data (DATIN)
  - opbouwen elementmatrices (SK) en de grote matrix (BK),
  - triangulariseren (TRIA),
  - verwerken van de belasting (BQ: t.b.v. verdeelde belasting; BR: totaal)
  - enkele bewerkingen specifiek voor substructuren (REDUC), o.a. opstellen gereduceerde stijfheidsmatrix
2. Opbouw net 14, analoog aan 13.
3. Genereren net 1314.
  - inlezen koppelgegevens, opbouw nieuwe assemblagematrix (SA),
  - opstellen gereduceerde stijfheidsmatrix (BK),



- verwerken van belasting,
  - triangulariseren en oplossen van de vergelijkingen (TRIA, <sup>SOLV</sup>~~REDUC~~)
4. "de terugweg":
- terug naar nivo 13 (en 14), de processoren SPM en SRLC
  - \* berekenen van de uiteindelijke verplaatsingen voor elk knooppunt op basis van de verplaatsingen van de koppelpunten
  - We kunnen de verplaatsingen per knooppunt uitvoeren (DATEX, USR)
  - Voor de berekening van spanningen per knooppunt gebruiken wij SP en ST.
  - Ze zijn uit te voeren met CALL SIGEX.
  - Bekend feit van de gevolgde (verplaatsings-)methode is, dat de spanningen die in één knooppunt, waar verschillende elementen samenkomen, berekend zijn, per element verschillen.
  - De processor NPST berekent de gemiddelde spanningen per knooppunt, alsmede de vergelijkingsspanningen op basis van het criterium van Huber-Hencky.

In de APC wordt dus het gehele programma gedirigeerd. In diverse stadia zijn controles uit te voeren (of worden automatisch verricht), zodat naast een (uitgebreid) waarschuwingssysteem binnen ASKA ook de gebruiker de ingelezen informatie kan controleren.

Voorbeeld: INFCOP geeft na deklaratie van het hoofdnet een overzicht van de gekoppelde punten.

### 5.2.3 Topology

In de topologie wordt de samenstelling van de netten opgegeven. Op het laagste nivo behelst dit de deklaratie van de elementen en de bij elk element behorende knooppunten.

Verder wordt opgave gedaan van de knooppunten die

- op een hoger nivo worden gekoppeld (EXTERNAL),
  - voorgeschreven verplaatsingen hebben in (opgegeven) richting (PRESCRIBED),
  - gedefinieerd worden t.o.v. een nieuw assenstelsel (ROTATED BASIS), of
  - waarvan de verplaatsingen in (opgegeven) richting onderdrukt wordt (SUPPRESS), of
- (enkele toegestane) combinaties van de vier mogelijkheden.

Op hoger dan elementnivo worden eventuele EXTERNALS gekoppeld m.b.v. het INSERT NET statement.

5.2.4 Het DATA blok

Hier worden gedeclareerd (per net, per element of per knooppunt):

1. de knooppuntskoördinaten (NPCO)
2. de materiaalkonstanten (EMOD)
3. eventuele uitwendige belasting per knooppunt (NPBR)
4. eventuele verdeelde belasting per element (BQIN)
5. eventuele beschrijving nieuw assenstelsel (ROTB)
6. eventuele voorgeschreven verplaatsingen (USRP).

In de ingeklemde versie hebben wij:

- twee blokken NPCO (net 13, net 14)
- twee blokken EMOD
- twee blokken ROTB (i.v.m. koppelen HEXEC aan QUAB)
- twee blokken NPBR (massakrachten QUAB, belastinggeval 2 en 3)
- zes blokken BQIN, en wel:
  - ./ belastinggeval 1: hydrodynamische belasting net 13 en 14
  - ./ belastinggeval 2: massakrachten net 13
  - ./ belastinggeval 3: die van 1 en 2 samen.

5.2.5 Listing invoergegevens ingeklemde versie

```

C CCCCCCCCCCCCCCCCCCCCCCCCCCCCCCCCCCCCCCCCCCCCCCCCCCCCCCCCC
C CCCCCCCCCC INKLEM-JOB VAN BLAD CCCCCCCCCC
C CCCCCCCCCCCCCCCCCCCCCCCCCCCCCCCCCCCCCCCCCCCCCCCCCCCCCCCCC
C
  CALL START(3,1)
  CALL SETSHL(4HIFRD,1)
  CALL SET(4HDIAS,15)
  CALL SET(4HTEST,,TRUE.)
C ← comment-regel
C NET 13 EN 14
C
  DO 10 I=13,14
  CALL SA
  CALL INFEL
  CALL INFUNK
  CALL INFNOD
  CALL PATA
  CALL DATIN(0,4HEOF )
  CALL ELCO
  CALL TS
  CALL SK
  CALL BK
  CALL INFBK
  CALL BQ
  CALL BR
  CALL TRIA
  CALL REDUC
  10 CONTINUE
C

```

*aantal bel. gevallen*

*details*

*informatie over de topology*

C  
C NET 1314  
C

CALL SA ← (door SA te "doen" leest de machine de volgende set  
CALL INFUNK Topology in, en weet daarvoor het netnummer)  
CALL BK  
CALL INFBK  
CALL BR  
CALL SR ← verplaatsingen worden berekend  
CALL USR  
CALL DATEX(0,4HUSR) ← uitvoer op regel drukken

C  
C  
↑  
user's format

DO 20 I=13,14  
CALL USENET(I)  
CALL SPM  
CALL SRLC  
CALL USR  
CALL DATEX(0,4HUSR)  
CALL SP ← begin spanningsberekening  
CALL ST  
CALL SIGEX(0,0)  
CALL NPST  
CALL DATEX(0,4HNPST)  
20 CONTINUE  
CALL EXITT(0)  
STOP  
END

£  
TOPOLOGY  
NET(13) (507) (ONDERSTE\_DEEL\_BLADE) ← hoogste knooppuntnummer in net is  
HEXEC27(1) (6) ( 1,6) ( 2,6) ( 3,6) ( 4,6) ( 5,6) ( 6,6) ( 7,6) ( 8,6) ( 9,6)  
(40,6) (41,6) (42,6) (43,6) (44,6) (45,6) (46,6) (47,6) (48,6)  
(79,6) (80,6) (81,6) (82,6) (83,6) (84,6) (85,6) (86,6) (87,6)  
-R( 6) (0) (78) (78) (78) (78) (78) (78) (78) (78) (78)  
(78) (78) (78) (78) (78) (78) (78) (78) (78) (78)  
(78) (78) (78) (78) (78) (78) (78) (78) (78) (78) suppress(1,2,3)(39)  
(1,1)

EXTERNAL(1,2,3) (39) (393,3) } koppelpunten van het HEXEC-deel  
ROTATED BASIS(39) (393,3)  
END NET

END TOPOLOGY  
£DATA  
£NPCO N=13 C=3 \*\_BLAD\_NET\_13

← knoopp. koord. →

	N=13	C=3	*_BLAD_NET_13			
1		-547.8	-455.0	688.2		
2		-582.0	-428.7	704.9		
3		-616.3	-401.7	720.6		
etc., tm:						
505		1125.9	1607.8	1094.7		
506		1109.1	1614.2	1085.2		
507		1092.4	1620.6	1075.7		

← rotatied basis data →

£ROTB	N=13	C=9	* T.B.V. _KOPPELEN						
393		0. 0. 0.	0. 1.	4.44	0.40	0.	-0.23		
396		0. 0. 0.	0. 1.	3.60	0.45	0.	-0.28		
399		0. 0. 0.	0. 1.	3.00	0.48	0.	-0.33		
etc., tm:									
501		0. 0. 0.	0. 1.	0.87	0.97	0.	-1.15		
504		0. 0. 0.	0. 1.	0.77	1.10	0.	-1.30		
507		0. 0. 0.	0. 1.	0.67	1.23	0.	-1.49		

£EOF

← data file delimiter

# B Q I N \* hydr. dig. bel.  
# B Q I N \* massa krachten

TOPOLOGY

NET(14)(363)(BOVENDEEL\_BLAD)  
 QUABC9(1)(6)(1,26)(2,26)(3,26)(14,26)(15,26)(16,26)(27,26)(28,26)(29,26)  
 R(13)(0)(26)(26)(26)(26)(26)(26)(26)(26)(26)(26)  
 QUABC9(1)(1)(339)(340)(341)(352)(353)(354)(363)(362)(361)  
 QUABC9(1)(1)(341)(342)(343)(354)(355)(344)(361)(356)(345)  
 QUABC9(1)(1)(345)(346)(347)(356)(357)(348)(361)(358)(349)  
 QUABC9(1)(1)(349)(350)(351)(358)(359)(360)(361)(362)(363)  
 EXTERNAL(1,2,3,4,5)(39)(1,1) } koppelpunten QUAB deel  
 ROTATED BASIS (39)(1,1)

END NET  
 END TOPOLOGY

&DATA

&NPCO	N=14	C=3	*_BLAD,_NET_14***						
1			231.5	552.2	2432.7	253.9	543.7	2434.7	
2			263.2	662.7	2345.2	312.0	642.4	2350.8	
3			305.3	767.2	2252.2	370.4	739.2	2261.6	
<i>etc., tm:</i>									
360			1281.9	2956.6	987.7	1289.6	2955.7	990.5	
361			1243.3	2980.6	1066.6	1254.8	2979.1	1070.7	
362			1249.2	2995.2	1051.7	1259.0	2994.0	1055.2	
363			1255.5	3009.7	1036.8	1262.9	3008.8	1039.5	

&ROTB	N=14	C=9	* T.B.V. _KOPPELEN							
1	0.	0.	0.	0.	1.	4.44	0.40	0.	-0.23	
2	0.	0.	0.	0.	1.	3.60	0.45	0.	-0.28	
3	0.	0.	0.	0.	1.	3.00	0.48	0.	-0.33	
<i>etc., tm:</i>										
37	0.	0.	0.	0.	1.	0.87	0.97	0.	-1.15	
38	0.	0.	0.	0.	1.	0.77	1.10	0.	-1.30	
39	0.	0.	0.	0.	1.	0.67	1.23	0.	-1.49	

&EOF  
 MAIN NET (1314)(39)(GEHELE BLAD; INGEKL. VERSIE)  
 INSERT NET(13)(39)(393,3)(453,1) } koppel-statement  
 INSERT NET(14)(39)(1,1)(453,1)  
 /\*

\$DQIN (hydr.)  
 \$NPBR (massakr.)

### 5.3 De volledige versie, inleiding

De opbouw van het substruktureren-patroon is zoals geschetst in fig. 16.b van par. 3.3, waarbij uit de netten 11, 12, 13 en 14 een net 101 wordt gevormd, bestaande uit een blad met bijbehorende naaf- en ~~as~~as~~sektor~~sektor.

Net 1001 wordt gevormd door de snedevlakken van 101 te koppelen en representeert daarmee de gehele schroef.

De belasting valt <sup>uiter</sup>intern in drie componenten, de krimp-, de hydrodynamische en de "massa"-belasting.

De krimpbelasting maakt het nodig om twee berekeningen te maken, zoals in par. 4.2 uitvoerig is ingeleid. Run I betreft alleen de as. Analoog aan de benadering van de ingeklemde versie willen wij een vierde belastinggeval introduceren, waarbij de drie eerder genoemde worden gekombineerd.

Om organisatorische redenen, die zullen blijken, is het nodig om zowel run I als run II met alle vier belastinggevallen te draaien. We krijgen het volgende overzicht:

belastinggeval	run I <i>inpA</i>	<i>inpA</i> run II
1	USRP (11)	NPBR (11), gemaakt uit run I, krimpbelasting
2	-	BQIN (13) + BQIN (14), beide hydrod.belasting
3	-	BQIN (13) + NPBR (14), beide massabelasting
4	USRP (11)	NPBR (11) + BQIN (13) + BQIN (14) + BQIN (13) + NPBR (14)

waarin: USRP(11) voorgeschreven verplaatsingen zijn die de basis vormen van de berekening van de spanningen t.g.v. de krimpverbinding.

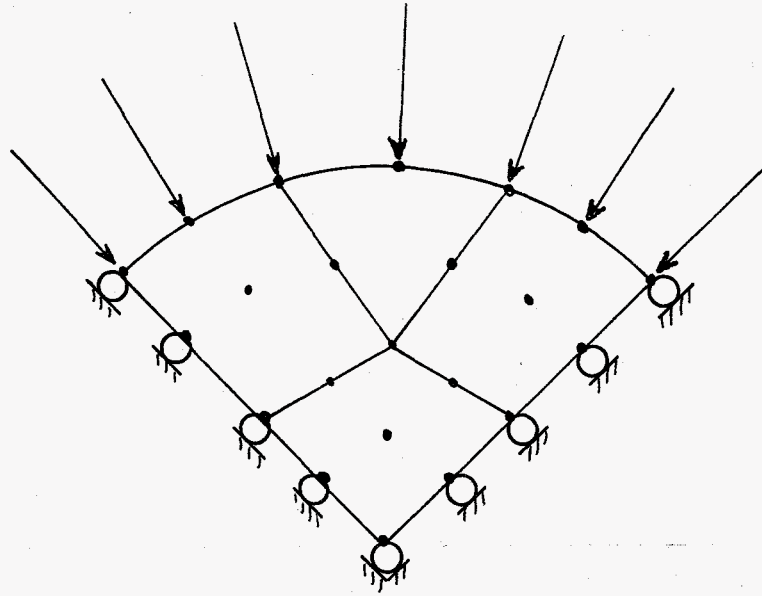
Een overzicht van de in de volledige versie gebruikte knooppuntsnummering toegepast op de diverse nivo's van substrukturering vindt de lezer in Appendix I.

### 5.4 Run I : de krimpverbinding

#### 5.4.1 Inleiding

In run I worden aan de hand van ingevoerde verplaatsingen op het conusvlak van de ~~as~~as~~sektor~~sektor, de knooppuntskrachten -  $F_i$ , alsmede de in de naaf optredende spanningen berekend en weggeschreven op tape ten behoeve van run II. Dankzij de rotatorisch symmetrische belasting kunnen wij volstaan met berekeningen in net 11, dus zonder 101 en 1001.

We kunnen n.l. de randvoorwaarden op de snedevlakken zo kiezen, dat wij een volledige as representeren, en wel door alleen verplaatsingen te onderdrukken in tangentiële richting.



randvoorwaarden as in run I

Om deze randvoorwaarden te kunnen beschrijven is als eis te stellen aan de definitie van het nieuwe assenstelsel voor alle betrokken punten dat de  $y'$ -as zuiver tangentiële loopt. Dit is - zoals zal blijken - het geval voor zowel de voor de conuspunten gehanteerde ROTATED BASIS als die van de zijvlakken (zie hiervoor par. 6.3.6).

Voor de knooppunten in het hart van de as laten we alleen de  $x$ -richting vrij in het oorspronkelijke assenstelsel; dit komt dankzij de symmetrie overeen met de in bovenstaande figuur geschetste randkonditie.

#### 5.4.2 De APC *voor de belasting zie 5.4.4*

De eerste processor die niet voorkomt in de listing van de ingeklemde versie is  $\bar{S}$ R. Dit een zgn. multistep processor, die twee bewerkingen combineert t.w. TRIA (triangulariseren van de stijfheidsmatrix) en SOLV (het oplossen van de vergelijkingen voor alle belastinggevallen). De daaruit gevonden verplaatsingen voeren wij uit op de regeldrukker: DATEX (0, 4 HUSR ), waarin de 0 betekent: de regeldrukker) en USR voor verplaatsingen (small R) in Users formaat.

Het vervolg van de APC betreft het omzetten van de uit de voorgeschreven verplaatsingen voortvloeiende knooppuntskrachten ( $F_i$ ) te voorzien van een - teken, in invoerformaat als uitwendige belasting voor run II (NPBR).

Daarna worden de spanningen berekend en weggeschreven op tape. Voor details zij verwezen naar het kommentaar bij de listing en naar bijlage B.

#### 5.4.3 De Topology en het DATA blok

De beschrijving van de elementen en hun respektievelijke knooppuntnummers is eenvoudig dankzij de regelmatige structuur van net 11.

De eerste groep bevat de HEXEC-elementen, groep twee de 12 PENTAC's.

Het voorvlak (knooppunt 1 t/m 22) is ingeklemd, de zijvlakpunten en de conuspunten hebben ROTATED BASIS en de zijvlakpunten hebben in tangentiale richting (y-richting) onderdrukking van vrijheid.

In het datablok is ondergebracht:

NPCO knooppuntskoordinaat net 11  
 USRP voorgeschreven verplaatsingen, twee belastinggevallen  
 EMOD materiaaleigenschappen  
 ROTB de omschrijving van de nieuwe assenstelsels.

#### 5.4.4 Listing van run I

```

C CCCCCCCCCCCCCCCCCCCCCCCCCCCCCC
C CCCCCCCCCC RUN I CCCCCCCCCC
C CCCCCCCCCCCCCCCCCCCCCCCCCCCCCC
C
C VOLLEDIGE VERSIE ** VOLLEDIGE VERSIE ** VOLLEDIGE VERSIE ****
C
C BELASTINGSGEVALLEN WAARIN DE AS MEEDOET:
C BEL. GEV. 1. DE KRIMPVERBINDING
C BEL. GEV. 4. DE KOMBINATIE VAN 1,2, EN 3
C
C CALL START(4,1)
C CALL SET (4HDIAS,15)
C CALL SET (4HTEST,TRUE.)
C
C
C BEREKENING VAN KNOOPPUNTSKRACHTEN EN SPANNINGEN IN DE AS (NET11); ALS GEVOLG
C VAN VOORGESCHREVEN VERPLAATSINGEN VAN DE CONUS-KNOOPPUNTEM.
C ALLEEN NET11 IS VOLDOENDE, ZIE DE ONDERDRUKTE VERPLAATSINGEN VAN DE ZIJVLAKKI
C DE RESULTATEN WORDEN WEGGESCHREVEN OP TAPE, TE GEBRUIKEN IN RUN II.
C
C NET 11:
C
C CALL SA
C CALL INFEL
C CALL INFUNK
C CALL INFNOD
C CALL PATA
C CALL DATIN (0,4HEOF) ← plaats waar de data-file van het " wordt gelzen
C CALL ELCO
C CALL TS

```

C

```

CALL SK — opstellen stijfheidsmatrix per element
CALL BK — opstellen grote stijfheidsmatrix
CALL INFBK — geeft overzicht, o.a. over de bandstructuur
CALL BR
CALL SP — met II is hier hoofdwel nuw; uit de belasting volgt meteen de verplaatsingen
CALL USR
CALL DATEX(0,4HUSR )
CALL SP
CALL BP
CALL BRR — (uitvoer) knooppuntskrachten
CALL COPYH(4HBRRRL,4HHIM,-1)
CALL COPYH(4HBRRP,4HHANS,-1)
CALL COPYH(4HBRRS,4HJAN,-1)
CALL REFBUK(4HBRRRL)
CALL REFBUK(4HBRRS)
CALL REFBUK(4HBRRP)
CALL ALTLAB(4HWIM,4HBRRRL)
CALL ALTLAB(4HHANS,4HBRRP)
CALL ALTLAB(4HJAN,4HBRRS)
CALL UBRR
CALL ALTLAB(4HUBRR,4HNPBR)
CALL DATEX(0,4HNPBR)
CALL WRTDEL(20,4HDATA)
CALL DATEX(20,4HNPBR)
CALL WRTDEL(20,4HEOSF)
CALL ST
CALL SAVBUK(20,4HSIG )
CALL WRTDEL(20,4HEOF )
CALL GPRINT(4HSIG ,1) — uitvoer van SIG op printer (ter controle)
CALL SIGEX(0,0)
CALL NPST
CALL DATEX(0,4HNPST) — uitvoer gemiddelde spanning per knooppunt
CALL EXITT(0)
STOP
END
    
```

call addh(4HBRRL,4HBRRL,4HBRRL,-1)  
 call addh(4HBRRS,4HBRRS,4HBRRS,-1)

omzetten van knoopp. krachten-uitvoer van deze run in invoer voor run II, alle componenten voorzien van een - teken.  
 Zie appendix B

E

```

TOPOLOGY
NET(11)(550) (Kwart van AS)
HEXEC 27(1)(12)(1,44)(2,44)(3,44)(6,44)(7,44)(8,44)(11,44)(12,44)(13,44)
(23,44)(24,44)(25,44)(28,44)(29,44)(30,44)(33,44)(34,44)(35,44)
(45,44)(46,44)(47,44)(50,44)(51,44)(52,44)(55,44)(56,44)(57,44)
(2)(0)(2)(2)(2)(2)(2)(2)(2)(2)(2)(2)(2)(2)(2)(2)(2)(2)(2)(2)
(2)(2)(2)(2)(2)(2)(2)(2)
HEXEC 27(1)(12)(11,44)(12,44)(13,44)(16,44)(17,44)(18,44)(20,44)(21,44)
(22,44)(33,44)(34,44)(35,44)(38,44)(39,44)(40,44)(42,44)(43,44)
(44,44)(55,44)(56,44)(57,44)(60,44)(61,44)(62,44)(64,44)(65,44)(66,44)
PENTAC18(2)(12)(13,44)(14,44)(15,44)(19,44)(22,44)(18,44)
(35,44)(36,44)(37,44)(41,44)(44,44)(40,44)
(57,44)(58,44)(59,44)(63,44)(66,44)(62,44)
SUPPRESS(1,2,3)(22)(1,1) * HET HELE VOORVLAK
SUPPRESS(2,2)(24)(23,22) * HART VAN DE AS
SUPPRESS(2)(24)(24,22) * ZIJVLAK SB
R(4)(0)(1)
SUPPRESS(2)(24)(28,22) (2,3) * ZIJVLAK BB
R(3)(0)(5)
SUPPRESS(2)(24)(42,22) * ZIJVLAK BB
ROTATED BASIS(24)(24,22) * ZIJVLAK SB
R(4)(0)(1)
ROTATED BASIS(24)(28,22) * ZIJVLAK BB
R(3)(0)(5)
ROTATED BASIS(24)(42,22) * ZIJVLAK BB
END NET
END TOPOLOGY
    
```

R repeat van

groep 1

groep 2

beschrijving van de elementen

prescribe (3) (17) (186, 22)  
 R(4) (0) (5, -1)  
 prescribe (2) (17) (181, 22)  
 prescribe (3) (17) (196, 22)

= de knooppunten 42, 56, 86 etc, 24 stukken



```

EDATA
ENPCO N=11 C=3
... Knoopp. koord.
EUSRP N=11 C=1 S=3 L=1
  voorgeschr. verplaatsingen
EUSRP N=11 C=1 S=3 L=4
  'zelfde als bij L=1
EMOD N=11 C=2 G=A
  1 2.1E5 0.3
EROTB N=11 C=9
  x rotatie basis-data met 11
EEOF
/* } einde IDH-programma
// }

```

belasting geval

wil zeggen: geldt voor alle elementgroepen

## 5.5 Run II , de gehele schreef

### 5.5.1 Inleiding

De ~~gehele schreef~~ Van tape wordt gedurende het programma gelezen: de knooppuntskrachten (NPBR) behorende bij de krimpverbinding, alsmede de spanningen behorende bij die (overdreven) asbelasting. Dit gebeurt vier keer (i.v.m. de vier belastinggevallen) waarbij in de tweede en derde ronde slechts nullen worden gelezen. (Het maken van die stelsels met nullen is o.a. nodig i.v.m. de sommatiehandelingen, die voor elk belastinggeval uitgevoerd worden).

Voor verdere explicatie zie het commentaar bij de listing, waarin opvalt dat in de topologie van de <sup>naaf</sup> assensektor (net 12) de onvermijdelijke onregelmaat in de nummering een vermoeiende beschrijving tot gevolg heeft. Voor de gebruikte nummering, zie Appendix I.

5.5.2 Listing run II

```

C CCCCCCCCCCCCCCCCCCCCCCCCCCCCCCCCCCCCC
C CCCCCCCCCCCCCCCCC RUN II CCCCCCCCCCCC
C CCCCCCCCCCCCCCCCCCCCCCCCCCCCCCCCCCCCC
C
C
C VOLLEDIGE VERSIE ** VOLLEDIGE VERSIE ** VOLLEDIGE VERSIE ***
C DE GEHELE SCHROEF, BEL. GEVALLEN:
C 1: KRIMP (NPBR VAN TAPE, VAN RUN I);
C 2: HYDRODYNAMISCHE BELASTING
C 3: MASSAKRACHTEN
C 4: KOMBINATIE VAN DE BELASTINGEN 1, 2, EN 3
C
C SPANNINGEN IN DE AS ZIJN SOMMATIE VAN SPANN. UIT RUN I EN II
C ( DEZE TRUUK WORDT ONVERMIJDELIJK UITGEVOERD VOOR ALLE BEL. GEV.).
C
C      ↳ bel. gevallen
      CALL START (4,1)
      CALL SET (4HDIAS,15)
      CALL SET (4HTEST,.TRUE.) } instelbare hoeveelheid fouten melding
      CALL SETSHL(4HIFRD,1) — zie appendix, D.4
C
C
CCC GENEREREN VAN SUBSTRUCT. 11,12,13 EN 14:
C
C NET 11:
C
      CALL SA
      CALL INFEL
      CALL INFUNK
      CALL INFNOD
      CALL PATA
      CALL DATIN (0,4HEOF )
      CALL DATIN(20,4HEOSF) ← van tape te lezen: NPBR
      CALL DATEX(0,4HNPBR) ← kontrole
      CALL ELCO
      CALL TS
C
      CALL SK
      CALL BK
      CALL INFBK
      CALL BR
      CALL TRIA
      CALL REDUC
C
C
C NET 12:
C
      CALL SA
      CALL INFEL
      CALL INFUNK
      CALL INFNOD
      CALL PATA
      CALL DATIN (0,4HEOF )
      CALL ELCO
      CALL TS
      CALL SK
      CALL BK
      CALL INFBK
      CALL BR
      CALL TRIA
      CALL REDUC

```

C  
 NET 13 EN 14:

DO 10 I=13,14  
 CALL SA  
 CALL INFEL  
 CALL INFUNK  
 CALL INFNOD  
 CALL PATA  
 CALL DATIN (0,4HEOF )  
 CALL ELCO  
 CALL TS  
 CALL SK  
 CALL BK  
 CALL INFBK  
 CALL BQ — t.b.v. verdeelde belasting  
 CALL BR  
 CALL TRIA  
 CALL REDUC  
 10 CONTINUE

C  
 C  
 C  
 CCC GENEREREN VAN SUBSTR. 101 UIT 11,12, EN 13

C  
 CALL SA  
 DO 20 NET=11,14  
 CALL USENET (NET) } ma koppeling (d.w.v. SA) koppelpara controleren  
 CALL INFCOP  
 20 CONTINUE  
 CALL USENET (101)  
 CALL INFUNK  
 CALL BK  
 CALL INFBK  
 CALL BR  
 CALL DNMAIN — rednaren hoofdnetsnivo (zie app. C)  
 CALL TRIA  
 CALL REDUC

C  
 C  
 CCC GENEREREN VAN HET HOOFDNET 1001:  
 C (SLECHTS DOOR LINKER EN RECHTER ZIJVLAK VAN 101 TE KOPPELEN)

C  
 CALL SA  
 CALL USENET(101) } koppeling controleren  
 CALL INFCOP  
 CALL USENET(1001)  
 CALL INFUNK  
 CALL BK  
 CALL INFBK  
 CALL BR  
 CALL TRIA } te combineren tot SR (smeek)  
 CALL SOLV  
 CALL USR  
 CALL DATEX (0,4HUSR )  
 CALL USENET (101)  
 CALL SPM  
 CALL SRLC  
 CALL USR  
 CALL DATEX (0,4HUSR )  
 CALL UPMAIN (101) — zie app. C  
 CALL USENET(11)  
 CALL SPM } vinden van verplaatsingen voor alle punten  
 CALL SRLC  
 CALL USR  
 CALL DATEX(0,4HUSR )

de  
 terugveg ↓

```

CALL SP
CALL ST
CALL GPRINT(4HSIG ,1)
CALL ALTLAB(4HSIG ,4HBERT)
CALL REFBUK(4HSIG )
CALL RENBUK(20,4HSIG )
CALL GPRINT(4HSIG ,1)
CALL ADDH(4HSIG ,4HBERT,4HTOTS,1)
CALL REFBUK(4HSIG )
CALL GPRINT(4HTOTS,1)
CALL ALTLAB(4HTOTS,4HSIG )
CALL NPST
CALL DATEX(0,4HNPST)
DO 30 NET1=12,14
CALL USENET (NET1)
CALL SPM
CALL SRLC
CALL USR
CALL DATEX (0,4HUSR )
CALL SP
CALL ST
CALL SIGEX(0,0)
CALL NPST
CALL DATEX (0,4HNPST)
30 CONTINUE

```

 $\sigma_{as,II}$ 
 $\sigma_{as,I}$ 
 $\sigma_{as}$ 

vinden en optellen van spanningen  
in as, uit run I (van tape) en  
run II. Zie app. B.

C

```

CALL EXITT(0)
STOP
END

```

E

```

TOPOLOGY
NET(11)(550)(KWART VAN AS)
HEXEC 27(1)(12)(1,44)(2,44)(3,44)(6,44)(7,44)(8,44)(11,44)(12,44)(13,44)
      (23,44)(24,44)(25,44)(28,44)(29,44)(30,44)(33,44)(34,44)(35,44)
      (45,44)(46,44)(47,44)(50,44)(51,44)(52,44)(55,44)(56,44)(57,44)
R      (2)(0) (2)(2)(2)(2)(2)(2)(2)(2)(2)(2)(2)(2)(2)(2)(2)(2)(2)(2)(2)(2)
      (2)(2)(2)(2)(2)(2)(2)(2)(2)
HEXEC 27(1)(12)(11,44)(12,44)(13,44)(16,44)(17,44)(18,44)(20,44)(21,44)
      (22,44)(33,44)(34,44)(35,44)(38,44)(39,44)(40,44)(42,44)(43,44)
      (44,44)(55,44)(56,44)(57,44)(60,44)(61,44)(62,44)(64,44)(65,44)(66,44)
PENTAC18(2)(12)(13,44)(14,44)(15,44)(19,44)(22,44)(18,44)
      (35,44)(36,44)(37,44)(41,44)(44,44)(40,44)
      (57,44)(58,44)(59,44)(63,44)(66,44)(62,44)
SUPPRESS(1,2,3)(22)(1,1) * HET HELE VOORVLAK
EXTERNAL(1,2,3)(24)(24,22) * ZIJVLAKKEN
R(4)(0)(1)
EXTERNAL(1,2,3)(24)(28,22)
R(3)(0)(5)
EXTERNAL(1,2,3)(24)(42,22) * END
EXTERNAL(1,2,3)(17)(186,22) * RESTANT CONUSVLAK
R(4)(0)(5,-1)
EXTERNAL(1,2,3)(17)(197,22) * END
ROTATED BASIS (24)(24,22) * ZIJVLAKKEN
R(4)(0)(1)
ROTATED BASIS (24)(28,22)
R(3)(0)(5)
ROTATED BASIS (24)(42,22) * END
ROTATED BASIS (17)(186,22) * RESTANT CONUSVLAK
R(4)(0)(5,1)
ROTATED BASIS (17)(197,22) * END
END NET
END TOPOLOGY

```

alle externals  
hebben  
rotated basis

DATA

\* data met 11: NPcφ, RφTB, EmφD  
 EOF

## TOPOLOGY

NET(12) (673) (NAAFSECTOR, 54 HEXEC-ELEMENTEN)

HEXEC27 (1) (6) (81,82) (82,82) (83,82) (88,82) (89,82) (90,82) (95,82) (96,82) (97,82)  
 (122,82) (123,82) (124,82) (129,82) (130,82) (131,82) (136,82) (137,82) (138,82)  
 (163,82) (164,82) (165,82) (170,82) (171,82) (172,82) (177,82) (178,82) (179,82)  
 HEXEC27 (1) (6) (83,82) (84,82) (85,82) (90,82) (91,82) (92,82) (97,82) (98,82) (99,82)  
 (124,82) (125,82) (126,82) (131,82) (132,82) (133,82) (138,82) (139,82) (140,82)  
 (165,82) (166,82) (167,82) (172,82) (173,82) (174,82) (179,82) (180,82) (181,82)  
 HEXEC27 (1) (6) (85,82) (86,82) (87,82) (92,82) (93,82) (94,82) (99,82) (100,82) (101,82)  
 (126,82) (127,82) (128,82) (133,82) (134,82) (135,82) (140,82) (141,82) (142,82)  
 (167,82) (168,82) (169,82) (174,82) (175,82) (176,82) (181,82) (182,82) (183,82)  
 HEXEC27 (1) (6) (71,82) (72,82) (73,82) (76,82) (77,82) (78,82) (83,82) (84,82) (85,82)  
 (112,82) (113,82) (114,82) (119,82) (120,82) (121,82) (126,82) (127,82) (128,82)  
 (153,82) (154,82) (155,82) (158,82) (159,82) (160,82) (165,82) (166,82) (167,82)  
 HEXEC27 (1) (6) (73,82) (74,82) (75,82) (78,82) (79,82) (80,82) (85,82) (86,82) (87,82)  
 (114,82) (115,82) (116,82) (121,82) (122,82) (123,82) (128,82) (129,82) (130,82)  
 (155,82) (156,82) (157,82) (160,82) (161,82) (162,82) (167,82) (168,82) (169,82)  
 HEXEC27 (1) (6) ( 97,82) ( 98,82) ( 99,82) (102,82) (103,82) (104,82) (107,82) (108,82)  
 (109,82) (138,82) (139,82) (140,82) (143,82) (144,82) (145,82) (148,82) (149,82) (150,82)  
 (179,82) (180,82) (181,82) (184,82) (185,82) (186,82) (189,82) (190,82) (191,82)  
 HEXEC27 (1) (6) ( 99,82) (100,82) (101,82) (104,82) (105,82) (106,82) (109,82) (110,82)  
 (111,82) (140,82) (141,82) (142,82) (145,82) (146,82) (147,82) (150,82) (151,82) (152,82)  
 (181,82) (182,82) (183,82) (186,82) (187,82) (188,82) (191,82) (192,82) (193,82)  
 HEXEC27 (1) (2) ( 1, 2) ( 2, 2) ( 3, 2) ( 6, 2) ( 7, 2) ( 8, 2) (11, 2) (12, 2) (13, 2)  
 ( 36, 2) ( 37, 2) ( 38, 2) ( 41, 2) ( 42, 2) ( 43, 2) ( 46, 2) ( 47, 2) ( 48, 2)  
 ( 71, 2) ( 72, 2) ( 73, 2) ( 76, 2) ( 77, 2) ( 78, 2) ( 83, 2) ( 84, 2) ( 85, 2)  
 HEXEC27 (1) (2) (11, 2) (12, 2) (13, 2) (16, 2) (17, 2) (18, 2) (21, 2) (22, 2) (23, 2)  
 ( 46, 2) ( 47, 2) ( 48, 2) ( 51, 2) ( 52, 2) ( 53, 2) ( 56, 2) ( 57, 2) ( 58, 2)  
 ( 83, 2) ( 84, 2) ( 85, 2) ( 90, 2) ( 91, 2) ( 92, 2) ( 97, 2) ( 98, 2) ( 99, 2)  
 HEXEC27 (1) (2) (21, 2) (22, 2) (23, 2) (26, 2) (27, 2) (28, 2) (31, 2) (32, 2) (33, 2)  
 ( 56, 2) ( 57, 2) ( 58, 2) ( 61, 2) ( 62, 2) ( 63, 2) ( 66, 2) ( 67, 2) ( 68, 2)  
 ( 97, 2) ( 98, 2) ( 99, 2) (102, 2) (103, 2) (104, 2) (107, 2) (108, 2) (109, 2)  
 HEXEC27 (1) (2) (563, 2) (564, 2) (565, 2) (568, 2) (569, 2) (570, 2) (575, 2) (576, 2)  
 (577, 2) (604, 2) (605, 2) (606, 2) (609, 2) (610, 2) (611, 2) (614, 2) (615, 2) (616, 2)  
 (639, 2) (640, 2) (641, 2) (644, 2) (645, 2) (646, 2) (649, 2) (650, 2) (651, 2)  
 HEXEC27 (1) (2) (575, 2) (576, 2) (577, 2) (582, 2) (583, 2) (584, 2) (589, 2) (590, 2)  
 (591, 2) (614, 2) (615, 2) (616, 2) (619, 2) (620, 2) (621, 2) (624, 2) (625, 2) (626, 2)  
 (649, 2) (650, 2) (651, 2) (654, 2) (655, 2) (656, 2) (659, 2) (660, 2) (661, 2)  
 HEXEC27 (1) (2) (589, 2) (590, 2) (591, 2) (594, 2) (595, 2) (596, 2) (599, 2) (600, 2)  
 (601,41) (624, 2) (625, 2) (626, 2) (629, 2) (630, 2) (631, 2) (634, 2) (635, 2) (636, 2)  
 (659, 2) (660, 2) (661, 2) (664, 2) (665, 2) (666, 2) (669, 2) (670, 2) (671, 2)

EXTERNAL (1,2,3) (14) (5,5) \* CONUSVL., INCL. RANDEN  
 R(2) (0) (603)  
 EXTERNAL (1,2,3) (13) (75,41)  
 R(2) (0) (5)  
 EXTERNAL (1,2,3) (13) (106,41)  
 R(2) (0) (5)  
 EXTERNAL (1,2,3) (13) (87,41)  
 R(3) (0) (7)  
 EXTERNAL (1,2,3) (13) (81,41) \* GRENSVLAK MET BLAD  
 R(3) (0) (7)  
 EXTERNAL (1,2,3) ( 4) (1,1) \* SB-VLAK ZONDER LANGE RANDEN  
 R(2) (0) (35)  
 EXTERNAL (1,2,3) ( 4) (604,1)  
 R(2) (0) (35)  
 EXTERNAL (1,2,3) (13) (71,41)  
 R(4) (0) (1)  
 EXTERNAL (1,2,3) ( 4) (31,1) \* BB-VLAK ZONDER LANGE RANDEN  
 R(2) (0) (35)  
 EXTERNAL (1,2,3) ( 4) (634,1)  
 R(2) (0) (35)  
 EXTERNAL (1,2,3) (13) (107,41)  
 R(4) (0) (1)  
 ROTATED BASIS (14) (5,5) \* ALS ALLE EXTERNALS, BEHALVE GRENSVLAK  
 R(2) (0) (603)

ROTATED BASIS(13)(75,41)  
 R(2)(0)(5)  
 ROTATED BASIS(13)(106,41)  
 R(2)(0)(5)  
 ROTATED BASIS(13)(87,41)  
 R(3)(0)(7)  
 ROTATED BASIS(4)(1,1)  
 R(2)(0)(35)  
 ROTATED BASIS(4)(604,1)  
 R(2)(0)(35)  
 ROTATED BASIS(13)(17,41)  
 R(4)(0)(1)  
 ROTATED BASIS(4)(31,1)  
 R(2)(0)(35)  
 ROTATED BASIS(4)(634,1)  
 R(2)(0)(35)  
 ROTATED BASIS(13)(107,41)  
 R(4)(0)(1)

\$DATA  
 \* data met 12: NPCΦ, E mΦD, RΦTD  
 \$EOF

NET(13)(507)(ONDERSTE\_DEEL\_BLAD)  
 HEXEC27(1)(6)(1,6)(2,6)(3,6)(4,6)(5,6)(6,6)(7,6)(8,6)(9,6)  
 (40,6)(41,6)(42,6)(43,6)(44,6)(45,6)(46,6)(47,6)(48,6)  
 (79,6)(80,6)(81,6)(82,6)(83,6)(84,6)(85,6)(86,6)(87,6)  
 R(6)(0)(78)(78)(78)(78)(78)(78)(78)(78)(78)  
 (78)(78)(78)(78)(78)(78)(78)(78)(78)  
 (78)(78)(78)(78)(78)(78)(78)(78)(78)

EXTERNAL(1,2,3)(39)(393,3)  
 ROTATED BASIS(39)(393,3)  
 END NET  
 END TOPOLOGY

← external(1,2,3)(39)(1,1) ← koppelvlak met met 12  
 ← koppelvlak met 14

\$DATA  
 \* data met 13: NPCΦ, E mΦD, RΦTD, B QIN (hydr. bel.), B QIN (massa bel.)  
 \$EOF

NET(14)(363)(BOVENDEEL\_BLAD)  
 QUABC9(1)(6)(1,26)(2,26)(3,26)(14,26)(15,26)(16,26)(27,26)(28,26)(29,26)  
 R(13)(0)(26)(26)(26)(26)(26)(26)(26)(26)(26)(26)  
 QUABC9(1)(1)(339)(340)(341)(352)(353)(354)(363)(362)(361)  
 QUABC9(1)(1)(341)(342)(343)(354)(355)(344)(361)(356)(345)  
 QUABC9(1)(1)(345)(346)(347)(356)(357)(348)(361)(358)(349)  
 QUABC9(1)(1)(349)(350)(351)(358)(359)(360)(361)(362)(363)  
 EXTERNAL(1,2,3,4,5)(39)(1,1)  
 ROTATED BASIS(39)(1,1)  
 END NET  
 END TOPOLOGY

\$DATA  
 \* data met 14: NPCΦ, E mΦD, RΦTD, B QIN (hydr. bel.), NPBR (massa bel.)  
 \$EOF

TOPOLOGY  
 MAIN NET(101)(491)(KWART VAN DE SCHROEF)  
 INSERT NET(11)(17)(181,22)(1,7) \* CONUSVLAK NET11  
 R(3)(0)(5)(1)  
 INSERT NET(11)(17)(195,22)(4,7)  
 INSERT NET(11)(17)(198,22)(5,7)  
 R(3)(0)(-1)(1) \* END  
 INSERT NET(12)(14)(5,5)(1,1) \* CONUSVLAK NET12  
 R(2)(0)(603)(105)  
 INSERT NET(12)(13)(75,41)(15,7)  
 R(2)(0)(5)(1)

```

INSERT NET(12)(13)( 87,41)( 17, 7)
R(3)(0)(7)(1)
INSERT NET(12)(13)(106,41)( 20, 7)
R(2)(0)(5)(1) * END
INSERT NET(11)( 7)( 27,22)(120, 1) * SB-ZIJVLAK NET11
INSERT NET(11)(24)( 26,22)(127, 1)
R(3)(0)(-1)(24) * END
INSERT NET(11)( 7)( 42,22)(199, 1) * BB-ZIJVLAK NET11
INSERT NET(11)(24)( 38,22)(206, 1)
R(3)(0)(-5)(24) * END
INSERT NET(12)( 4)( 1, 1)(278, 1) * SB-ZIJVLAK NET12
R(3)(0)(35,568)(4,56)
INSERT NET(12)( 4)( 71, 1)(286, 1)
R(14)(0)(41)(4) * END
INSERT NET(12)( 4)( 31, 1)(346, 1) * BB-ZIJVLAK NET12
R(3)(0)(603,-568)(60,-56)
INSERT NET(12)( 4)( 66,41)(350, 1)
R(14)(0)(41)(4) * END
INSERT NET(12)(13)(81,41)(414,3) * GRENSVLAK NET 12
R(3)(0)(7)(1) * END
INSERT NET(13)(39)(1,1)(414,1) * GRENSVLAK NET 13 * END
insert met (13) (39) (393,3) (453,1)
(14) (39) (1,1) (453,1)
EXTERNAL(1,2,3)(17)(1,7) * SB-RAND CONUSVLAK
R(2)(0)(6) * BB-RAND CONUSVLAK
EXTERNAL(1,2,3)(294)(120,1) * RESTANT BEIDE ZIJVLAKKEN
END NET
END TOPOLOGY

```

← opm. : met 101 vraagt geen data

```

TOPOLOGY
MAIN NET(1001)(164)(DE GEHELE SCHROEF)
INSERT NET(101)(17)( 1,7)(76,1) * SB-RAND CONUSVLAK
INSERT NET(101)(17)( 7,7)(76,1) * BB-RAND CONUSVLAK
INSERT NET(101)(17)(278,4)( 1,1) * SB-NAAFDEEL
R(4)(0)(1)(17)
INSERT NET(101)(17)(346,4)( 1,1) * BB-NAAFDEEL
R(4)(0)(1)(17)
INSERT NET(101)( 7)(120,1)(69,1) * KORTE BOVENRAND VRIJE ASDEEL
INSERT NET(101)( 7)(199,1)(69,1) * IDEM, BAKBOORD
INSERT NET(101)(72)(127,1)(93,1) * RESTANT AS, SB
INSERT NET(101)(72)(206,1)(93,1) * IDEM BAKBOORD
END NET
END TOPOLOGY
/*
//

```

## 6. Programmabeschrijving inputgenerator

### 6.1 Inleiding

In hoofdstuk 5 wordt beschreven welke invoergegevens nodig zijn voor het ASKA-programmasysteem. Er is onderscheid te maken in drie groepen; te weten de invoergegevens voor: - de as, net 11

- de naaf, net 12

- het blad, net 13 en 14.

Net 13 en 14 zijn op te vatten als een geheel, omdat de opbouw van de inputgenerator voor deze netten grotendeels dezelfde is. Voor de drie onderscheidde delen zijn aparte programma's geschreven omwille van de overzichtelijkheid. Ze worden nu achtereenvolgens beschreven, onder de respectievelijke namen bladprogramma, naafprogramma en asprogramma.

NB. Er is een poging gedaan om de duidelijkheid in de programmatuur te laten prevaleren boven rekentechnische optimalisering.

### 6.2 Het bladprogramma

#### 6.2.1 Inleiding

Uitgaande van invoerdata, die bij de gebruikelijke ontwerp- en produktiemethoden bekend zijn, alsmede van enkele gekozen parameters (die o.a. de fijnheid van de verdeling vastleggen), genereert het bladprogramma de volgende data:

1. De knooppuntskoördinaten (NPCØ) van de HEXEC 27 en de QUABC 9 elementen.
2. Een plotfiguur van de verdeling in de gestrekte doorsnede.
3. De drukverdeling (per betrokken knooppunt) t.g.v. de hydrodynamische belasting, voor net 13 en 14 (BQIN).
4. De massakrachtenverdeling (rotatiebelasting); voor net 13 in de vorm van BQIN (krachtvektor voor elk hoekpunt van elke HEXEC) en voor net 14 in de vorm van NPBR (krachtvektor per knooppunt, zelf zo goed mogelijk verdeeld, zie Appendix E).
5. De topologie, die ook een functie is van de gekozen fijnheid.

Het programma bevat een aantal procedures, een read-statement en vervolgens de aanroep van de diverse procedures. De uitvoer geschiedt op de printer of op ponskaarten. De data-invoer geschiedt op een tiental ponskaarten, toe te voegen aan het bladprogramma card-deck. Het read-statement in de tekst bevat per parameter een summiere gebruiksaanwijzing. We bespreken de procedures afzonderlijk.

#### 6.2.2 Procedure PROFIEL

##### 6.2.2.1 Inleiding

PROFIEL levert voor een waarde  $x$  (met  $0 < x < 1$ ) bij een gegeven maximale



dikte en welving, en bij gekozen type Arnoldus-profiel, twee punten (een op het bovenvlak en een onder) met ongeveer dezelfde x-koördinaat als de ingelezen x-waarde.

#### 6.2.2.2 Gebruiksaanwijzing

##### 6.2.2.2.1 Procedure Heading

Procedure profiel (X, XØ, YØ, XB, YB, AR, TT, FF);

value X, TT, FF

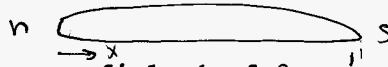
real X, XØ, YØ, XB, YB, TT, FF

integer AR

##### 6.2.2.2.2 Globale parameters: geen

##### 6.2.2.2.3 Formele parameters: (i = invoergrootheid, u = uitvoergrootheid)

(i) X : plaats op neus-staartlijn waar (ongeveer) knooppunten worden gezocht



(i) AR : type Arnoldus-profiel, 1 of 2.

(i) TT : maximale dikte (geschaald tegen de lengte)

(i) FF : maximale welving (geschaald tegen de lengte)

(u) XB, YB: x- en y-koördinaat van punt op bovenzijde van het profiel

(u) XØ, YØ: idem, onderzijde.

} beide  
geschaald  
tegen de  
lengte

##### 6.2.2.3 Achtergrond van de opbouw

De procedure is gebaseerd op de volgende formules. De skeletlijn (camberline) wordt beschreven door:

$$Y_C = \frac{FF}{166.48} \left\{ 2.5 \left( p - q + 0.18 - \frac{x}{5} \right) - r - 0.09297 + 0.3039 x \right\},$$

waarin:

$$p = (0.8-x)^2 \ln |0.8-x|$$

$$q = (1-x)^2 \ln |1-x|$$

$$r = x \ln |x|$$

De loodrecht op de skeletlijn naar boven en naar beneden af te zetten halve dikte is als volgt een functie van x:

$$t = TT \{ A_1 (x-\sqrt{x}) + A_2 (\sqrt{x^3-x}) + A_3 (1-x-\sqrt{1-x}) + A_4 (\sqrt{(1-x)^3-\sqrt{1-x}}) \}$$

Een punt op het profiel wordt dan: ( $x_1$  is ingelezen x)

$$x_p := x_1 + \frac{t \cdot y'_c}{1-(y'_c)^2}$$

$$y_p := y_c \pm \frac{t}{1 - (y'_c)^2}$$

waarin de afgeleide van  $y_c$ :

$$y'_c = \frac{FF}{166.48} \left\{ 5[-pa+qa] -ra - 1.3039 \right\},$$

met

$$\begin{aligned} pa &= (0.8-x) \ln |0.8-x| \\ qa &= (1-x) \ln |1-x| \\ ra &= \ln |x| \end{aligned}$$

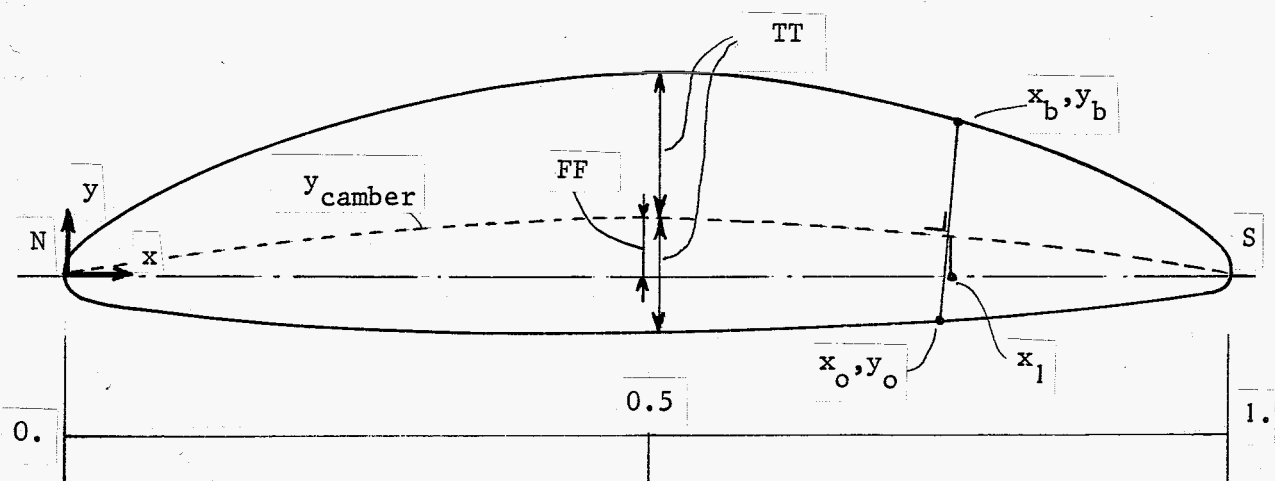
De factoren  $A_1$  t/m  $A_4$  zijn afhankelijk van het type profiel;  $x$  wordt in de procedure bepaald.

Bij AR-1 profielen ligt de grootste dikte niet op  $x=0.5$ , maar is die een functie van de grootste dikte zelf. In de procedure is dit verband terug te vinden in de variabele FAK.

$$FAK = 1 + \frac{TT-0.075}{(TT-0.075)^2 + \frac{TT}{100}}$$

De gevonden twee punten liggen niet precies op dezelfde  $x$ -koördinaat als het startpunt  $x_1$ . Dit is geen bezwaar.

Voorbeeld AR-2 profiel.



#### 6.2.2.4 Opbouw

De opbouw van de procedure volgt direkt uit de achtergrond. De procedure bevat beveiligingen tegen ontaarden van de log-termen in de buurt van  $x=0$

0.8 en 1.0, op een voor de hand liggende manier.

### 6.2.3 Procedure SPLINE

#### 6.2.3.1 Inleiding

SPLINE levert op basis van een in te lezen tij koördinaten van diskrete punten de koëfficiënten voor een vijfdegraads polynoom aanpassing en wel op een manier die wordt beschreven in Appendix A. De functie die bepaald wordt met de door SPLINE te leveren koëfficiënten heeft de eigenschap tweemaal kontinu differentieerbaar te zijn en door de diskrete punten (de zgn. steunpunten) te gaan. SPLINE is met FUNKTIE de basis voor procedure SNYPUNT.

De opbouw en achtergrond van SPLINE volgt uit, respectievelijk staat beschreven in de appendix A.

#### 6.2.3.2 Gebruiksaanwijzing

##### 6.2.3.2.1 Procedure heading

Procedure SPLINE (I, I<sub>1</sub>, I<sub>2</sub>, XI, YI, A, B);

value I<sub>1</sub>, I<sub>2</sub>

integer I, I<sub>1</sub>, I<sub>2</sub>

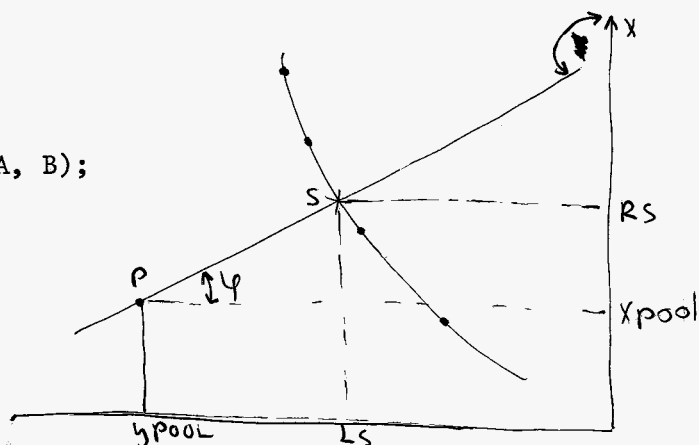
real XI, YI

array A, B [\*,\*]

##### 6.2.3.2.2 Globale parameters: geen

##### 6.2.3.2.3 Formele parameters: (i = invoergrootheid, u = uitvoer)

- (L) (S) (R) I naam van de teller van de gebiedjes tussen de diskrete punten
- (i) I<sub>1</sub> ondergrens van de te beschouwen rij punten
- (i) I<sub>2</sub> bovengrens " " "
- (i) xI de x-waarden van de te beschouwen punten
- (i) yI de y-waarden " " "
- (u) A de zesmaal I koëfficiënten  $a_0^i$  t/m  $a_5^i$
- (u) B de zesmaal I koëfficiënten  $b_0^i$  t/m  $b_5^i$



#### Voorbeeld:

SPLINE (I, 1, AP-1, RR[I], GD[I], coeff RGD, coeff GD); bepaalt de koëfficiënten voor de diskrete punten die de grootste dikte beschrijven. Het gebied loopt van RR[1] (het grensvlak) tot RR[AP] (de grootste bladstraal).

### 6.2.4 Procedure FUNKTIE

#### 6.2.4.1 Inleiding

De real procedure FUNKTIE levert bij gegeven s en I de waarde van het 5e

graads polynoom:

FUNKTIE: = CIO + s(cI1 + s(CI2 + s(CI3 + s(CI4 + s(CI5)))))).

### 6.2.5 Procedure SNYPUNT

#### 6.2.5.1 Inleiding

Deze Boolean procedure probeert in elk interval van de aangeboden diskrete punten een snijpunt te vinden met een rechte lijn, die gedefinieerd wordt door een punt (RPOOL, YPOOL) en een hoek (PHI). Deze laatste aanpak maakte het noodzakelijk om vooraf (afhankelijk van PHI) een keuze te maken voor de beschrijving van de lijn ( $R = A * L + B$  of  $L = A * R + B$ ) om het ontgaan van de gebruikte tangens te voorkomen.

#### 6.2.5.2 Gebruiksaanwijzing

##### 6.2.5.2.1 Procedure heading

```
Boolean procedure SNYPUNT (I, I BEGIN, I EIND, COEFFR, COEFFL, RPOOL,
                           YPOOL, PHI, RS, LS);
    value I BEGIN, I EIND, RPOOL, YPOOL, PHI;
    integer I, I BEGIN, I EIND
    array COEFFR, COEFFL [*,*];
    real RPOOL, YPOOL, PHI, RS, LS ;
```

##### 6.2.5.2.2 Globale parameters

```
zero in AB: Regula Falsi (THE bibliotheek-procedure)
FUNKTIE    : zie boven.
```

##### 6.2.5.2.3 Formele parameters: (i: in, u: uitvoergrootheid)

```
(i) I           : teller, die loopt van I BEGIN tot I waarbij snijpunt
                  wordt gevonden
(i) I BEGIN     : startpunt van het te doorlopen traject
(i) I EIND      : eindpunt
(i) COEFFR      : de x-koëfficiënten, gevuld door SPLINE
(i) COEFFL      : de y-koëfficiënten, gevuld door SPLINE
(i) RPOOL       : de R-waarde van het punt waarmee de rechte wordt
                  gedefinieerd
(i) YPOOL       : de bijbehorende y-waarde
(i) PHI         : de hoek van de rechte met de positieve R-as
(u) RS         : de x-waarde van het te vinden snijpunt
(u) LS         : de y-waarde
```

## 6.2.6 Procedure knooppuntenblad

### 6.2.6.1 Inleiding

Knooppuntenblad levert in de arrays BL, QF en QB de knooppuntskoördinaten af behorende bij de elementverdeling in de gestrekte versie van het blad. Deze koördinaten komen tot stand door procedure profiel toe te passen op punten die gevonden zijn door een verdeling te maken in het vlak van tekening.

### 6.2.6.2 Gebruiksaanwijzing

#### 6.2.6.2.1 Procedure heading

Procedure knooppuntenblad (BL, QF, QB, RR, LLV, LLA, TT, FF, LAGEN, SNY, AP, RPOOL, RTOP, STR);

```

value LAGEN, SNY, AP, RPOOL, RTOP, STR;
array BL, QF, QB [*,*],
       RR, LLV, LLA, TT, FF [*,*];
integer SNY, LAGEN, AP;
real RPOOL, RTOP, STR ;

```

#### 6.2.6.2.2 Globale parameters

Procedure profiel, zie 6.2.2

Procedure snijpunt, zie 6.2.5

Procedure spline, zie 6.2.3

#### 6.2.6.2.3 Formele parameters (i: invoergrootheid, u: uitvoergrootheid)

- (i) RR [1:AP] : de gebruikte "tekeningstralen", met RR[1]: de straal vlak boven de afronding aan de bladwortel en RR[AP] = 1.
- (i) LLV [1:AP] : ongeschaalde afstand trekker tot de neuslijn [mm]
- (i) LLA [1:AP] : idem, staartlijn
- (i) TT [1:AP] : verloop van de maximale dikte [mm]
- (i) FF [1:AP] : idem, welving
- (i) LAGEN : gewenst aantal regelmatige lagen van 6 elementen
- (i) SNIJ : dat deel van lagen wat HEXEC 27-elementen moet worden
- (i) AP : aantal "tekeningstralen"
- (i) ~~RPOOL~~(<1) : straal van punt op staartlijn, die (gedeeltelijk) de positie aangeeft van de scheidingslijn tussen de regelmatige en de onregelmatige verdeling. Zie de achtergrondbeschrijving.
- (i) STR : (grootste) straal van de schroef [mm]
- (u) BL [1:nb1, 1:3] : bevat de knooppuntskoördinaten van de HEXEC 27 elementen
- (u) QF [1:NQ, 1:3] : bevat de lower-geometrie punten van de QUABC-9 elementen
- (u) QB [1:NQ, 1:3] : bevat de upper-geometrie punten
- NBL : aantal HEXEC-knooppunten
- NQ : aantal QUABC 9 knooppunten

### 6.2.6.3 Achtergrond van de opbouw

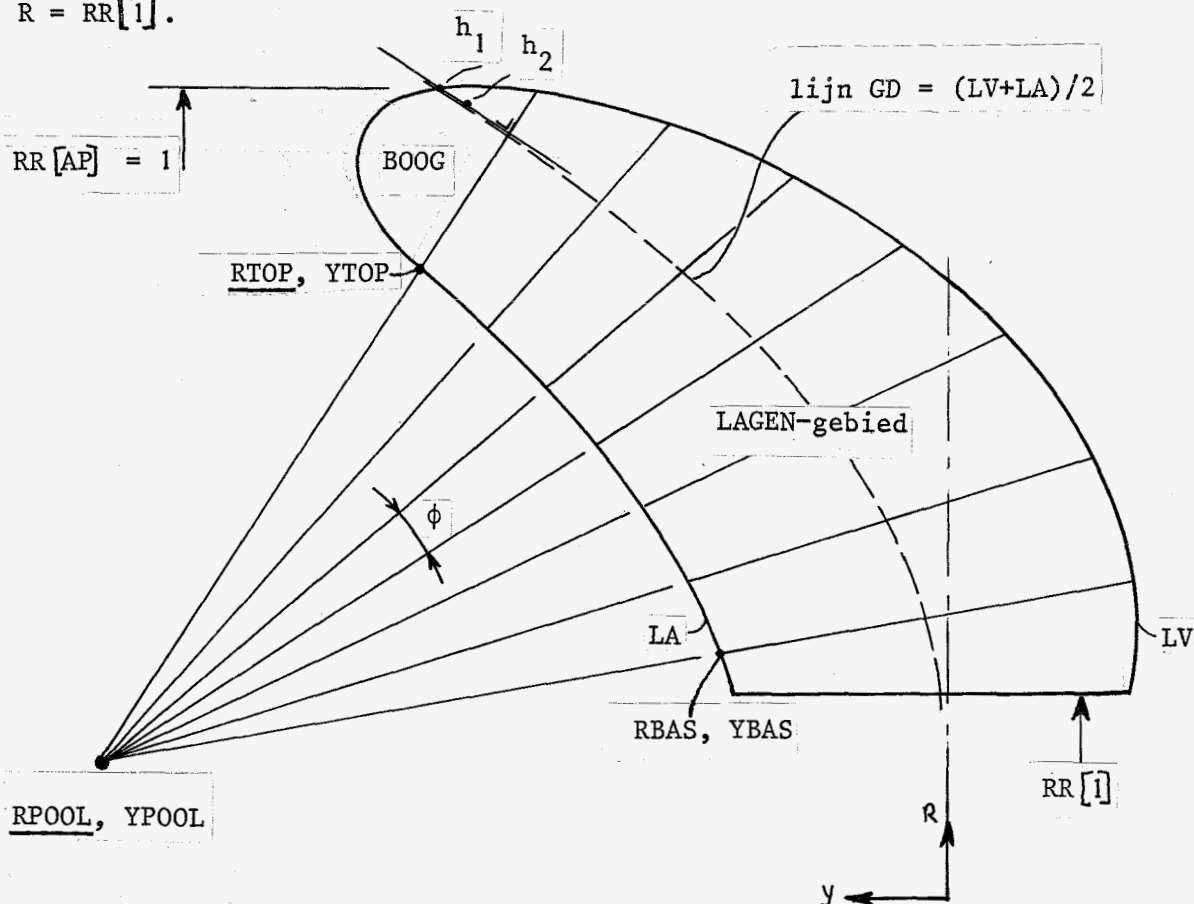
De aansluitkonditie met de naaf brengt ons (na de keuze van de kubusachtige elementen in het blad) op (minstens) een laag van zes HEXEC's onder in het blad.

We kozen voor een overgang "ergens" in het blad naar de dikwandige schaalementen QUABC-9, waarbij de koppelplaats te variëren moet zijn. Een ons inziens elegante verdeling komt dan tot stand door de regelmatige lagen vol te houden tot de top van het blad, en daar een topologisch onveranderlijke verdeling te maken, die de boog redelijk kan beschrijven. Rest te variëren: aantal regelmatige lagen en de plaats van de overgang (LAGEN, resp. SNIJ).

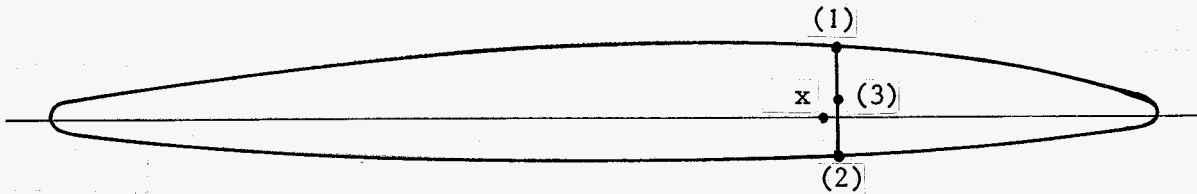
Met de ingelezen RTOP en RPOOL leggen we het gebied van de regelmatige verdeling (verder te noemen het LAGEN-gebied) vast. Zie figuur

De hoogte  $RBAS-RR[1] := 1/LAGEN$  genomen.

De lijn TOP-POOL wordt getrokken loodrecht op de raaklijn van GD (de kromme die het gemiddelde is van LV en LA) in het punt  $R=1$ . De hoek  $\phi$  ligt dan vast door het aantal lagen. Op de rand van de boog hebben we (zoals zal blijken) elf punten nodig. Deze vinden we ook met behulp van een lijnenwaaier. Als alle punten op de krommen LV en LA zijn bepaald, brengen we al deze punten een bedrag LSS naar binnen, aldus de scherpe rand van het blad eliminerend voor de verdeling. (De gebruikte elementen laten die scherpe vorm niet toe.) LSS is genomen 2% van de profiellengte op  $R = RR[1]$ .



Het vastleggen van de elementverdeling in het platte vlak is dan eenvoudig. Daarna wordt voor elk punt uit het platte vlak door middel van procedure profiel een boven- en onderpunt gevonden, en de middenpunten (van de HEXEC elementen) weer uit de middeling van boven- en onderpunt. Zie figuur.



x geeft (1) en (2) door middel van profiel,  
daarna (3) midden tussen (1) en (2).

#### 6.2.6.4 Opbouw

In knooppunten blad zijn vier fasen te onderscheiden.

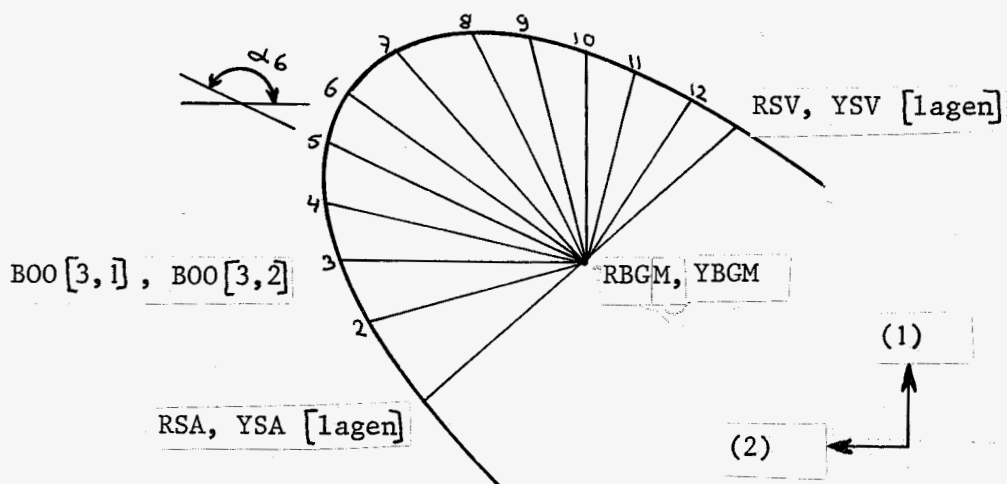
Eerste fase: - dimensieloos meten van LLV, LLA, FF, TT

- maken van de arrays:  $GD [1:AP] := (LV+LA)/2$  (grootste dikte)
- $LL [1:AP] := LA-LV$  (profiellengte)
- LSS: =  $LL [1] / 50$  t.b.v. 2% vermindering aan de rand
- $AP 2 := 2 * AP$ , nodig bij vinden van snijpunten op de rand, LV, LA
- LAGEN en SNIJ worden verdubbeld en zijn <sup>dan</sup> ~~door~~ het aantal lagen met knooppunten (-1; grensvlak telt niet mee).
- Bepalen van coëfficiënten van de 5e graads polynomen door de punten rijen van LV en LA, TT, GD en FF, t.b.v. SNIJPUNT.

Tweede fase: • Maken van grote lijnenwaaier:

- SNIJPUNT (RTOP, LL, I, AP, horizontaal) geeft YTOP
- SNIJPUNT (1, GD, 1, AP, horizontaal) geeft punt  $h_1$
- SNIJPUNT (0,95, GD, 1, AP, horizontaal) geeft punt  $h_2$
- lijnstukje  $h_1-h_2$  geeft richtingscoëfficiëntenlijn door TOP naar POOL (zie figuur)
- $\phi_i := (\phi_{itop} - \phi_{ibas}) / (LAGEN - 1)$
- SNIJPUNT (RPOOL, YPOOL, LL, 1, AP,  $\phi_{ibas} + n * \phi_i$ ) geeft snijpunten op LA, te noemen RSA, YSA [1: LAGEN]
- SNIJPUNT (RPOOL, YPOOL, LL, AP,  $AP-1$ ,  $\phi_{ibas} + h * \phi_i$ ),  $h=1, \dots$  geeft snijpunten op LV, te noemen RSV, YSV [1: LAGEN]
- verminderen met LSS in de richting van de snijlijn.

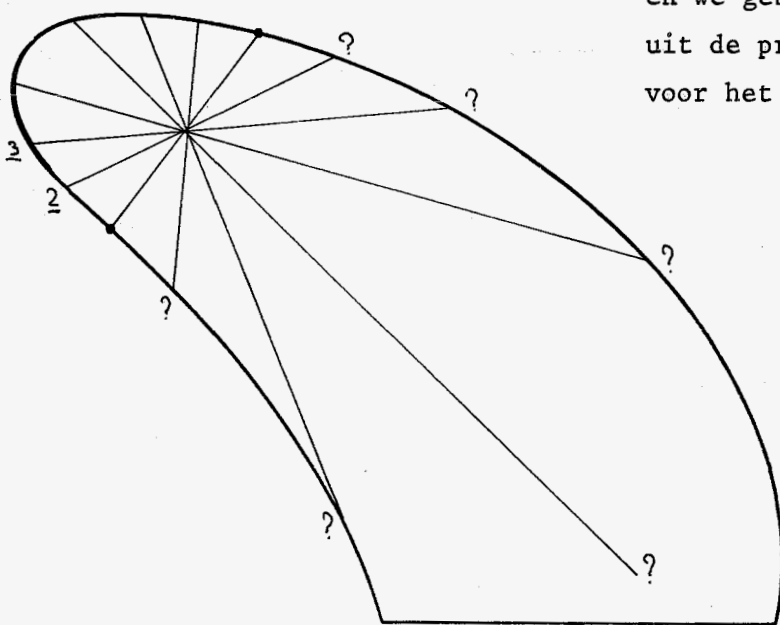
- Maken van lijnen waaier in de boog :
  - vinden van "boogmidden", RBGM, YBGM



- vinden van 11 ekstra punten op de boog:
  - SNIJPUNT (RBGM, YBGM, LL,  $\alpha_i$ ) geeft  $B\emptyset\emptyset[i, 1]$  ,  $B\emptyset\emptyset[i, 2]$

NB. Hoe wordt nu voorkomen, dat verkeerd snijpunt wordt gekozen? Zoals bij 6.2.5 is gezegd worden de (AP-2) stukjes op het blad contour doorlopen vanaf de onderkant van de staartlijn, dus rechtsom.

Snijpunt 2 wordt zonder gevaar gevonden en we gebruiken de daarbij gebruikte I uit de procedure snijpunt als startwaarde voor het vinden van 3 etc.

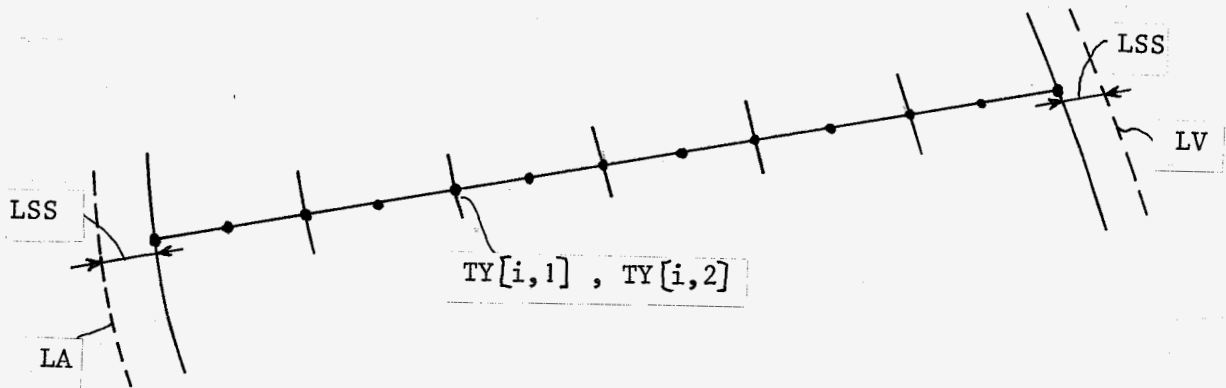




- verminderen van de boogpunten met LSS

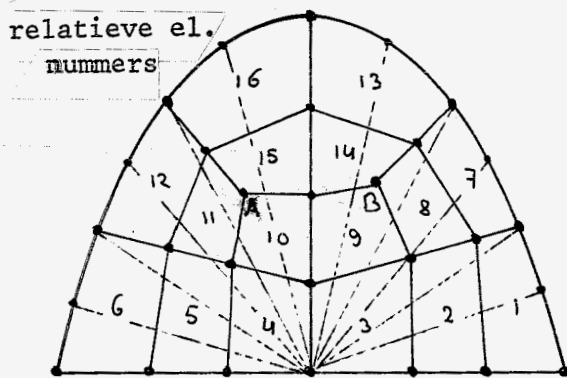
Derde fase Maken van verdere verdeling in het platte vlak

- in het LAGEN-gebied: de gevonden lijnstukken worden in twaalf stukken verdeeld. Gevuld wordt de rij ~~LAGEN+1~~  
TY [1: (LAGEN+1)\* 13, 1:2]

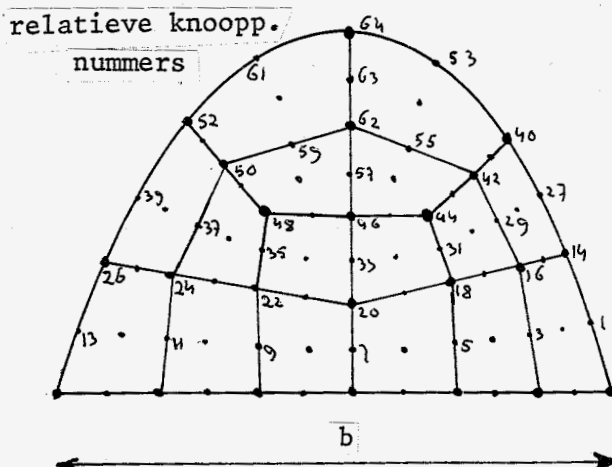


- in het booggebied: de topologie ligt vast.

De plaats van de TOP (door middel van in te lezen RTOP) moet zo zijn gekozen, dat het booggedeelte ongeveer even hoog als breed is (zie figuur ), dan wordt de verdeling mooi.



De twee punten A en B zijn de enige 2 plaatsen in het blad waar drie elementen bij elkaar komen. De daar ontstane hoeken hebben, bij een akseptabele b:h verhouding een redelijke grootte (een hoek van  $\approx 180^\circ$  zou een element doen ontaarden in een driehoekig element).

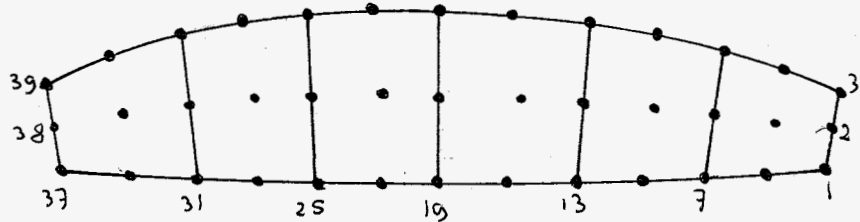
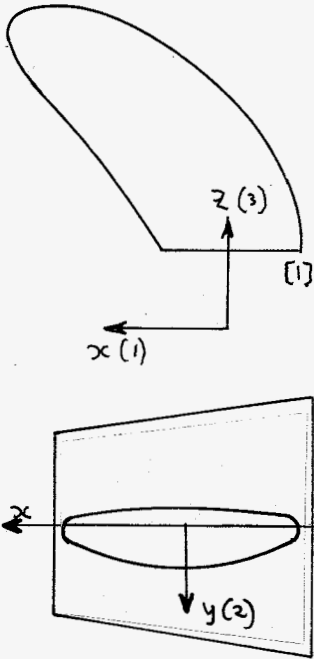


Gevuld wordt de rij TB [1:64, 1:2] volgens bijgaande nummering. Daarna wordt TB toegevoegd aan de rij TY [1:(LAGEN+1)\* 13+64, 1:2]

BL bevat hier dus tijdelijk alle knooppunten, dus ook die van de QUABC

Vierde fase: - vinden van de werkelijke knooppunten in de gestrekte versie  
 Gevuld wordt de rij BL  $[1:(LAGEN+2) \times 39 + 64 \times 3, 1:3]$  met de  $x$ -as horizontaal en in het vlak van tekening,  $z$ -as langs de trekker,  $y$ -as volgens rechterhand regel. Zie figuur  
 Knooppunt no. 1 ligt aan de voet en aan de neuszijde van het blad, aan de onderzijde van het profiel.

- Eerst PROFIEL voor het grensvlak



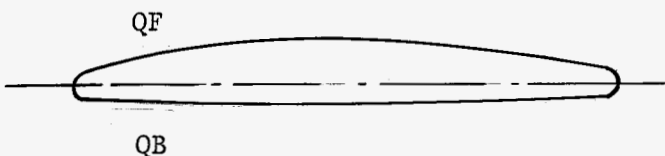
- Daarna voor het gehele blad. Voor elk punt uit de rij TY hebben we geïnterpoleerde waarden van LV, LA, TT en FF nodig. We gebruiken hiervoor SNIJPUNT met horizontale lijnen op hoogte  $TY[n,1]$ .

- Voor het HEXEC-gedeelte worden "tussenspinnen", zoals bijvoorbeeld op het grensvlak de punten, 2,5,8 etc. gevonden door middelen tussen boven- en onderpunt.

BL bevat dan alle HEXEC knooppunten.

in het QUABC 9-gedeelte (dus in het "gebied" LAGEN-SNIJ <sup>wil BL</sup> plus de boog) worden de arrays QF en QB gevuld, waarmee de lower resp. upper-geometriepunten van de QUABC 9 vastliggen.

Let wel: QF beschrijft de bolle zijde van het profiel en daár liggen de upper-geometriepunten van de QUABC 9.



### 6.2.7 Procedure bladtek

#### 6.2.7.1 Inleiding

Bladtek vult de plotterfile "blad" zodanig, dat op een der beschikbare plotmachines een tekening gemaakt kan worden van de elementverdeling zoals die in de gestrekte versie tot stand is gekomen. Zie figuur *op volgende bladzijde*. Hiertoe is gebruik gemaakt van de op de TH beschikbare plotprocedures. In verband hiermee lijkt het niet erg zinnig om een uitgebreide explicatie te geven over de opbouw van de procedure bladtek. Het belang van de procedure is, dat aan de hand van de bladtek-figuur (eventueel na een aantal trials, waarbij de vrije parameters LAGEN, SNIJ, RTOP en RPOOL worden gevarieerd) de verdeling naar de wens van de gebruiker kan worden geoptimaliseerd.

#### 6.2.7.2 Gebruiksaanwijzing

Procedure bladtek (BL, QF, QB, blad);  
       array BL, QF, QB [~~\*~~,~~\*~~]; file blad;

##### 6.2.7.2.2 Globale parameters

procedure map (blad, X1, Y1, X2, Y2) legt de ruimte (in inches) op het papier vast X1, Y1: rechtsonder, X2, Y2 linksboven.

procedure definespace (blad, X3, Y3, X4, Y4) vertelt waar de punten (1) en (2) uit de "map" liggen in termen van het af te beelden plaatje.

procedure scalingfactors (blad, A1, A2) geeft de mogelijkheid om de punten (1) en (2) "op te blazen" of te verkleinen (zinnig bij gebruik plotter met andere papierbreedte).

procedure drawstraightlinepiece (blad, X5, Y5, X6, Y6, A3). Duidelijk. A3 geeft het lijntype.

procedure drawcurve 1 (blad, I, I1, I2, ARRAY I,1 , ARRAY I,2 , A3). Er wordt een (mooie) kromme getrokken door de punten van ARRAY[i,j] tussen I<sub>1</sub> en I<sub>2</sub>.

procedure drawolygon. Analooq aan drawcurve, maar rechte lijnstukjes tussen de punten.

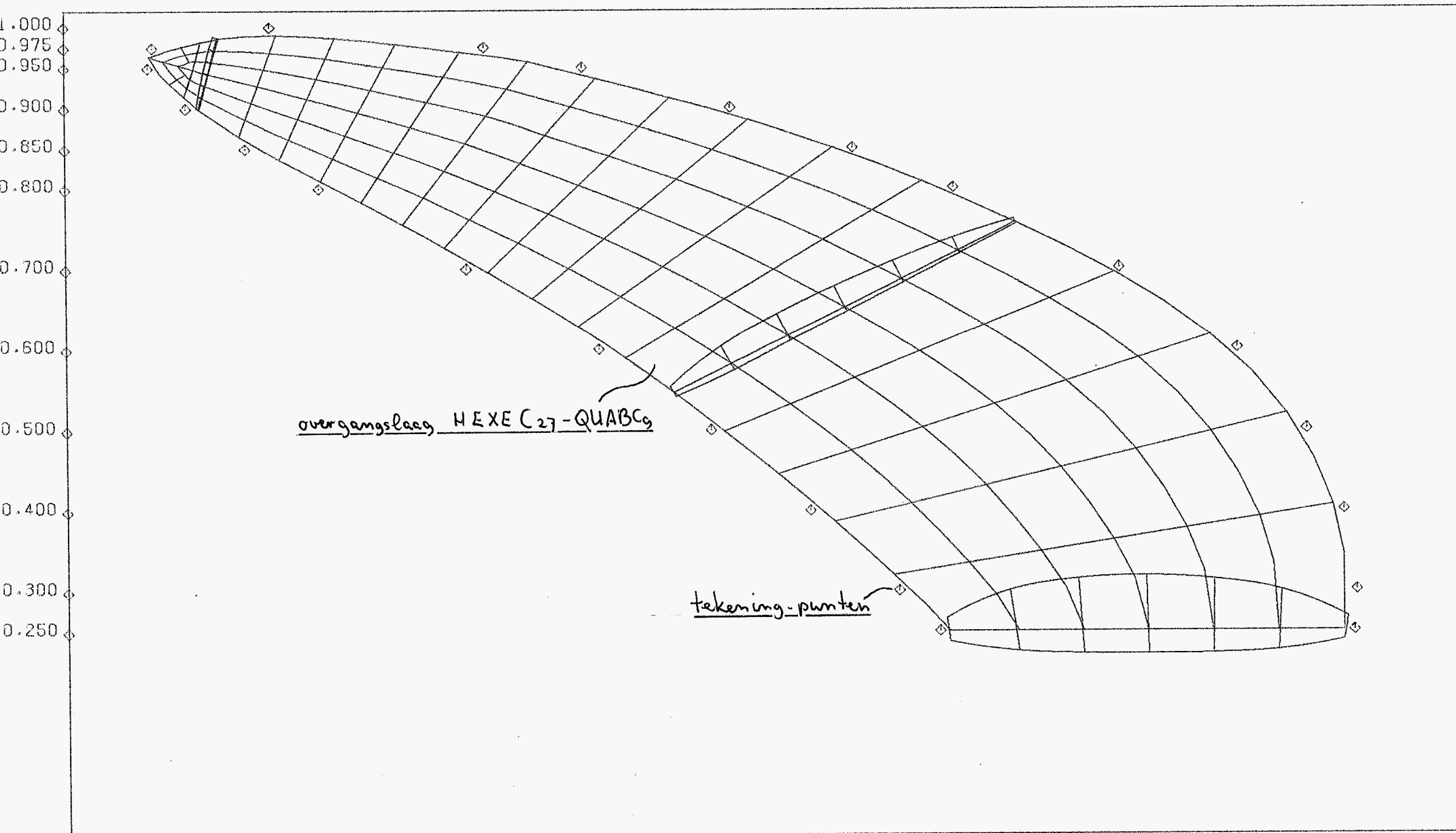
procedures drawpoint, realvalue en pencolor: duidelijk.

procedure closepicture (blad): afsluiting van het bij "map" geopende plaatje.

procedure lock(blad): de gevulde file wordt afgesloten en is voor bewerking gereed.

##### 6.2.7.2.3 Formele parameters: i = invoer, u = uitvoer variabele

- (i) BL : array met HEXEC knooppunten
- (i) QF : upper-geometriepunten QUABC 9
- (i) QB : lower geometriepunten
- (u) BLAD: tekenfile



elementverdeling gestrakte blad

### 6.2.7.3 Achtergrond van de opbouw

Om de keuze van het aantal elementen in het LAGEN gebied en de plaats van overgang naar QUAB te kunnen overzien, zijn naast de "platte" versie ook een drietal dwarsdoorsnedes gegeven. De middelste ligt onder de koppellaag, de bovenste op de grens van het LAGEN-gebied en de BOOG.

### 6.2.7.4 De opbouw

Eerst wordt een procedure curve ( $n_1, n_2, n_3, RY$ ) gedeclareerd, welke in staat is om door de punten  $n_1, n_2$  en  $n_3$  een (2e graads) kromme te tekenen. Daarna wordt het papierformaat en het af te beelden deel van het x-y-vlak gedeclareerd (NB Bij een realistische afbeelding zit in de definities van map en definespace eenzelfde lengte-breedte verhouding).

Vervolgens wordt de gestrekte versie getekend, gebruikmakend van de punten  $BL [1+k * 3, i]$  en  $QB [1, i]$ . Daarna de dwarsdoorsnedes en een aantal punten: de ingelezen waarden voor de neuslijn en de staartlijn (LV, LA).

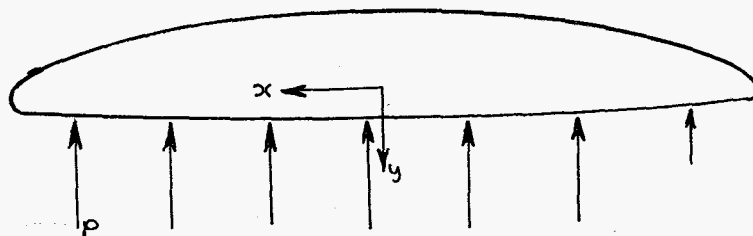
## 6.2.8 Procedure BQHYDRO

### 6.2.8.1 Inleiding

Een tweede procedure die de coördinaten van de knooppunten in de gestrekte versie nodig heeft, is BQHYDRO, die de hydrodynamische belastingsgrootheden produceert in ASKA-formaat, voor zowel de HEXEC's als de QUABC 9's.

Het gebruikte model is zeer eenvoudig: op een bepaalde hoogte in het blad heerst een drukverschil tussen voor- en achterzijde van het blad, welke konstant is voor het gebied neus - 80% (NS-lijn), en daarna lineair naar nul gaat op de plaats van de staart. Zie 4.3.

Voor beide elementtypen beschikt ASKA middels de processor <sup>BQ</sup> over de mogelijkheid voor het introduceren van drukbelasting aan (minstens) een der oppervlakken. De processor BQ vertaalt de per knooppunt opgegeven ter plaatse heersende druk, zo goed mogelijk in knooppuntskrachten. Zie ook bijlage E. De procedure BQHYDRO moet derhalve voor elk knooppunt de ter plaatse heersende hydrostatische druk berekenen. We nemen hiervoor de knooppunten van de onderzijde, en noemen drukken in de richting van het profiel positief (De fout die we maken, doordat we de druk normaal op de NS-lijn berekenen, maar normaal op de onderkontour "afzetten" is in 4.3 besproken).



6.2.8.2 Gebruiksaanwijzing6.2.8.2.1 procedure heading

procedure BQHYDRO (BL, QF, QB, TOER, VSCHIP, PSI, PR, BET, BETI, CIRC, VSV);  
value TOER, VSCHIP, PSI, PR;  
array BL, QF, QB [ $\ast$ , $\ast$ ],  
 BET, BETI, CIRC, VSV [ $\ast$ ];  
real PSI, PR;  
integer TOER, VSCHIP.

6.2.8.2.2 Globale parameters

procedure spline, zie 6.2.3

procedure snijpunt, zie 6.2.5

6.2.8.2.3 Formele parameters (i= invoer)

- (i) BL, QF, QB : de arrays die de knooppunten van HEXEC en QUAB bevatten.
- (i) TOER : toerental van de schroefas, om/min
- (i) VSCHIP : scheepssnelheid in knopen
- (i) PSI : gemiddeld volgstroomgetal (dimensieloos)
- (i) PR : drukcoëfficiënt volgend uit keuze NACA-profiel  
(bij 0.8:1.111)
- (i) BET, BETI [1:AP] : aanstroomhoeken  $\beta$  en  $\beta_1$  in te lezen in booggraden
- (i) CIRC [1:AP] : cirkulatie
- (i) VSV [1:AP] : volgstroomverdeling

6.2.8.3 Achtergronden van de opbouw

De drukverdeling wordt beschreven met behulp van een drukcoëfficiënt te noemen CPR, die een functie is van de straal, de cirkulatie, het toerental, het volgstroomveld, de profiellengte en het verschil van  $\beta_1$  en  $\beta$ . De gebruikte formule luidt: (met CPR gerelateerd aan de diskrete tekeningsstralen, dus  $1 \leq j \leq AP$ ).

$$CPR[j] = \frac{CIRC[j].n.d^2.(104.5)\sqrt{V_a^2 + (\pi.n.d.RR[j])^2}}{\cos(\beta_1[j] - \beta[j]).(3.6).(0.278)(LL[j].str)}.$$

waarin:

- n : toerental/sec, in het programma: toers
- d : diameter schroef, in het programma STR \* 2
- LL[j] : profiellengte, LLA[j] - LLV[j]
- $V_a$  : hulpfactor,  $V_a = VSV[j] * (1 - psi) * VSCHIP$  [m/s]

### 6.2.9.2.2 Globale parameters

procedure spline, zie 6.2.3

procedure snijpunt, zie 6.2.5

### 6.2.9.2.3 Formele parameters i = invoergrootheid, u = uitvoer

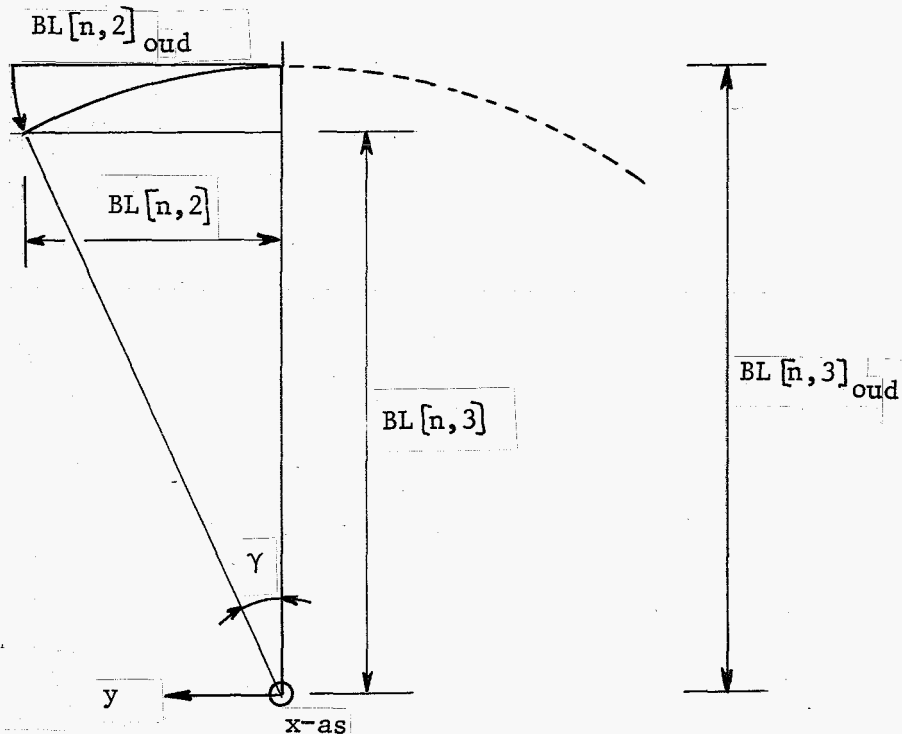
- (i)  $\binom{u}{i}$  BL, QF, QB : de te transformeren knooppuntskoördinaten-arrays
- (i) PRI[1:AP] : de opgegeven diskrete speed-waarden
- (i) RR[1:AP] : de tekeningstralen
- (i) RAKE : de rake in booggraden (naar achter is positief)

### 6.2.9.3 Achtergrond van de opbouw

De transformaties geschieden in de bekende voorgeschreven volgorde, eerst de speed, dan de rake, en vervolgens het kromzetten.

### 6.2.9.4 De opbouw

Na spline (PPI) wordt het aantal booggraden rake vertaald in een tangens, genaamd RAK. Dan wordt voor de rijen BL, QF en QB afzonderlijk per knooppunt de speedhoek  $\phi$  bepaald, de rotatie ( $\phi$ ) en translatie  $BL[n,3] * RAK$  uitgevoerd en daarna met behulp van hoek  $\gamma$  op afstand  $BL[n,3]_{oud}$  van de as van rotatie (x) gebracht. Zie figuur.



Het "krom"zettingen van knooppunten in het blad.

### 6.2.10 Procedure NPCOOTOPPUNCH

Deze procedure genereert de topologie van het blad en de knooppuntskoördinaten in ASKA-formaat naar wens op ponskaart en/of de regeldrukker. (Als deze procedure gebruikt wordt na procedure knooppuntenblad, ontstaat eveneens een listing, welke bruikbaar is (geweest) ter controle in de ontwikkelingsfase). Gebruik, opbouw en achtergrond zijn te voor de handliggend om in detail te worden behandeld. Voor de eisen die aan een korrekte TOPOLOGIE-deklaratie worden gesteld zie de ASKA-manual.

### 6.2.11 Procedure KOPPELGEG

#### 6.2.11.1 Inleiding en achtergrond

Deze procedure genereert de gegevens die nodig zijn voor het koppelen van net 13 aan net 14, de HEXEC-elementen aan de QUAB-elementen. Deze gegevens bestaan uit:

1. topologische informatie:

- a. welk HEXEC-knooppunt zit aan welk (upper-) geometriepunt van de QUABC 9-verdeling,
- b. welke punten een ROTATED BASIS krijgen.

Dit zijn dezelfde punten als die onder a. dus zowel de HEXEC-koppelpunten als de QUABC 9-koppelpunten krijgen een nieuw assenstelsel.

2. de data behorende bij de ROTATED BASIS deklaratie. Hiervoor wordt zowel voor de QUABC 9 als de HEXEC-knooppunten de rijen QF en QB gebruikt. Zie verder Appendix D.

De opbouw en gebruiksaanwijzing van ook deze procedure is eenvoudig.

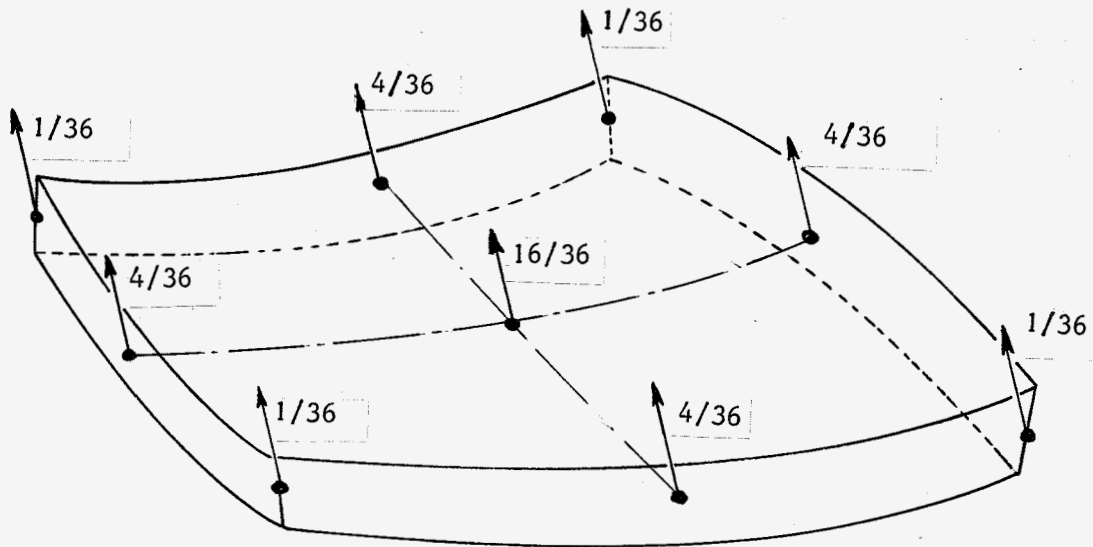
### 6.2.12 Procedure BQMASSA

#### 6.2.12.1 Inleiding

Bij gebrek aan de mogelijkheid om met behulp van ASKA-processor BQ volumekrachten in rekening te brengen bij het elementtype QUABC 9, is door van Beukering (Appendix E) een procedure ELMAKRA geschreven, die voor het QUABC 9-element massakrachten (per knooppunt) ten gevolge van rotatie in rekening brengt. Slordig gezegd komt dit neer op het volgende:

De verdeling van de totale kracht op een element over de 9 knooppunten geschiedt volgens onderstaand patroon; d.w.z. elk knooppunt "krijgt" de aangegeven fraktie van het totaal.





Het slordige van de uitspraak schuilt in 2 aspecten:

1. De gesuggereerde verhouding 1:4:16 geldt slechts voor een blokvormig schaalement van konstante dikte met vierkant boven- en ondervlak. De genoemde procedure compenseert de bijdragen aan de hand van (een benaderende) berekening van het volume van elk kwart van het element.
2. De getekende vektoren zijn alle negen evenwijdig. Dit geldt uiteraard slechts voor parallelle krachtvelden, zoals b.v. de zwaartekracht. In ons geval van centrifugaalkrachten wordt de grootte en de richting mede bepaald door de afstand van het knooppunt tot de as van rotatie de x-as.

Voor de achtergrond en de opbouw van ELMAKRA zij verder verwezen naar Appendix E.

#### 6.2.12.2 ELMAKRA, gebruiksaanwijzing

##### 6.2.12.2.1 procedure heading

```

procedure ELMAKRA, (QB, QF, n1, n2, n3, n4, n5, n6, n7, n8, n9, KR);
    value n1 t/m n9
    integer n1 t/m n9
    array QB, QF, KR [*,*]
  
```

##### 6.2.12.2.2 Globale parameters: zie Appendix E

##### 6.2.12.2.3 Formele parameters: (i: invoer, u: uitvoer)

- (i) QB, QF : de QUABC 9 knooppuntskoördinaten arrays
- (i) n1 t/m n9 : de 9 knooppunten (in "ASKA-volgorde") van het te behandelen element
- (u) KR [\*,\*] : knooppuntskrachtenvektor array, waarbij:
  - KR[n,2] : komponent van knooppunt n in y-richting
  - KR[n,3] : idem, z-richting (x-as: as van rotatie)

6.2.12.3 BQMASSA, gebruiksaanwijzing6.2.12.3.1 procedure heading

```

procedure BQMASSA (BL, QF, QB, out);
      array BL, QF, QB [*,*];
      file out

```

6.2.12.3.2 Globale parameters: ELMAKRA, zie Appendix E.

6.2.12.3.3 Formele parameters:

- (i) BL, QF, QB [\*,\*]: de HEXEC en QUAB knooppuntenkoördinaten arrays  
 (u) out : de uitvoer file

6.2.12.4 BQMASSA, opbouw

Naast het berekenen van knooppuntskrachten voor de QUABC 9-elementen, genereert BQMASSA eveneens:

1. de data voor de processor BQ, ten behoeve van net 13 (de HEXEC-elementen) betreffende de massakrachten (filenaam: BQIN)
2. de data, die gevonden zijn in ELMAKRA, omgezet in ASKA-formaat (filenaam: NPBR, dus "gewone" knooppuntskrachten invoer).

Ad 1

Per element wordt ELMAKRA aangeropen; het array KR wordt sukessievelijk gevuld, de meeste knooppunten op de randen van de elementen krijgen een aantal malen een bijdrage. Daarna wordt KR uitgevoerd in ASKA-formaat.

Ad 2

Om massakrachten bij de HEXEC-elementen te introduceren verlangt de processor BQ voor elk van de 8 hoekpunten van elk element drie (in ons geval 2) componenten van een vektor die een maat is voor de kracht per volume-eenheid. Net als bij ELMAKRA kiezen we hiervoor de afstand tot de x-as.

### 6.3 Het naafprogramma

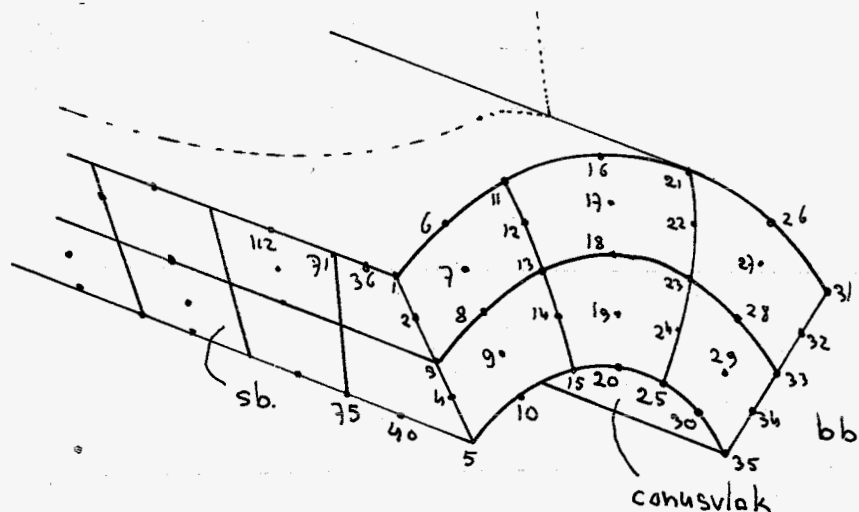
#### 6.3.1 Inleiding

In tegenstelling tot het blad ligt de topologie van de naaf (en de as) volledig vast. Het naafprogramma is hierdoor, en door het ontbreken van te genereren belastinggrootheden, eenvoudiger. Het levert de volgende data:

1. de koördinaten van de 673 knooppunten (NPCO) van de 52 HEXEC-elementen
2. ROTATED BASIS-informatie over de te koppelen punten op zijvlakken en conus-vlak.

(De onveranderlijke topology is uiteraard buiten het programma bepaald). Ook dit programma bestaat uit de deklaratie van een aantal procedures, een read statement en de aanroep van de procedures. De data-invoer beslaat een 25-tal getallen.

De voor het blok gekozen nummering komt voort uit de rekentechnische wens om de grootste verschillen in knooppuntnummers per element zo klein mogelijk te houden. Nummeren "over de kleinste dwarsdoorsneden" is derhalve aan te bevelen. De nummering wordt gedeeltelijk zichtbaar in onderstaande figuur.

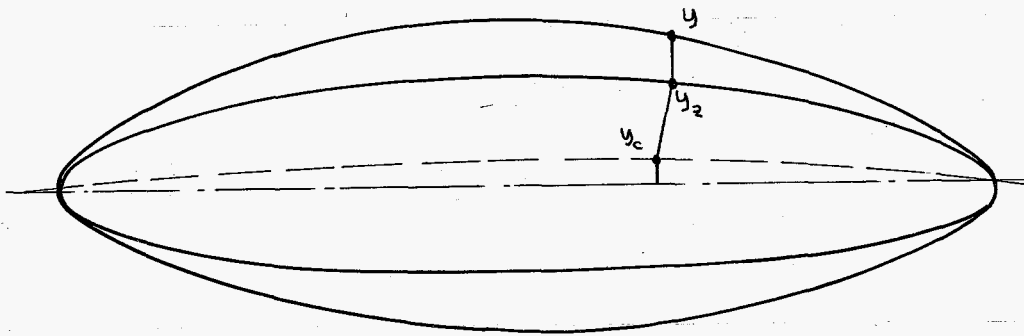


In de heading van het naafprogramma worden de groepen van knooppuntnummers die vaak in het programma gebruikt worden, even apart gedefinieerd: voetp, en grensp.

### 6.3.2 Procedure Profiel

#### 6.3.2.1 Inleiding

Deze procedure is analoog aan die van het bladprogramma, maar bevat een uitbreiding daarop om de afronding aan de bladwortel te kunnen beschrijven. Deze afronding is, in tegenstelling tot de dikteverdeling, gedefinieerd loodrecht op de neus-staartlijn. Zie bijgaande figuur. Die extra bijdrage aan de waarden  $y_B$  en  $y_0$  is verschillend voor boven- en onderkontour en tevens een functie van  $x$  volgens onderstaande formule:



$$y = y_{\text{zonder}} + AA \cdot \sqrt{1 - (2x-1)^2}^3$$

waarin AA de voor boven- c.q. onderrand geldende maximale waarde.

In het programma is eerst sprake van  $x_{ZB}$ ,  $y_{ZB}$ ,  $x_{ZO}$ ,  $y_{ZO}$ , later worden deze met behulp van AB resp. AO veranderd in  $x_B$ ,  $y_B$ ,  $x_0$ ,  $y_0$ .

### 6.3.3 Procedure Knooppunten naaf

#### 6.3.3.1 Inleiding

Deze procedure is de hoofdmoot van het naafprogramma. Het vult succesievelijk het knooppuntenarray  $NA[1:673, 1:3]$ .

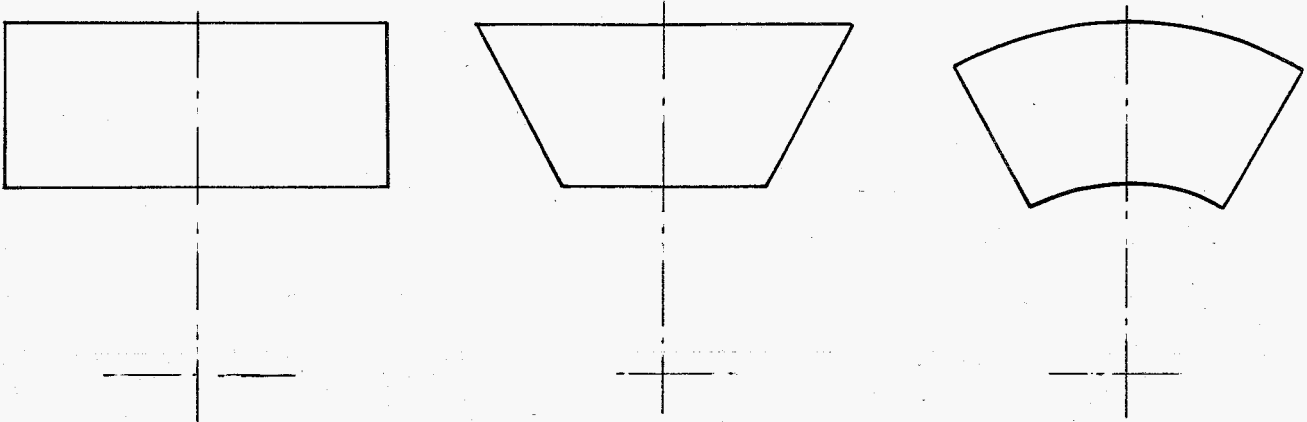
Er is dankbaar gebruik gemaakt van een fiktieve tussenfase: een (scheef) blokvormig lichaam, waarin aan de bovenzijde de bladwortel wordt geformeerd. Als referentiemaat voor het blok wordt de straal RNT gebruikt (straal-naaf-trekker) en de daarbij behorende spoed PIV (pitch voetvlak)

Het transformeren naar de werkelijke vorm wordt gedaan in de procedure echte naaf, en bestaat uit twee fasen:

1. het brengen in trapeziumvorm. De  $y$ -waarde van elk knooppunt wordt geschaald tegen de verhouding van de bij dat punt behorende  $x$ -waarde en de  $x$ -waarde van het referentievlak, t.w. RNT.

2. Het kromzetten van de trapeziumvorm, analoog aan de bewerking in het blad.

De beide transformaties zijn geïllustreerd in onderstaande figuur.



*dit is dus  
bijlage t.o.v.  
afroning v.  
bladcontour*

Door de gekompliceerde opbouw van de in het voetvlak gelegen bladkontour is het noodzakelijk om iteratief snijpunten te vinden met de rechten, zoals die in de verdeling zijn getekend.

Dankzij de blokvorm wordt het regelmatige patroon van het conusvlak en de door middel van middelen te vullen tussenvlakken eenvoudig gegeneerd.

#### 6.3.3.2 Gebruiksaanwijzing

- Formele parameter: de rij NA [1:673, 1:3], te vullen door de procedure zelf.

- Globale parameters:

procedure profiel: zie 6.3.2

procedure mid (n1, n2, nm, I); (mid is opgenomen in knooppuntennaaf)

value n1, n2, nm, I

integer n1, n2, nm, I

mid middelt coördinaten van de punten n1 en n2 van de rij NA.

Met I op 1, 2 of 3 wordt dit gedaan voor resp. de x-koördinaat de x- en y-koördinaat, of voor alle drie.

Dus: mid(16, 20, 17, 2) doet:

'for' i = 1, 2 do NA [17, i] := (NA [16, i] + NA [20, i]) / 2.

procedure zes (n1, n2, n3, n4, n5, n6, n7); (opgenomen in knooppuntennaaf)  
value n1, n7  
integer n1 t/m n7  
zes geeft aan NA[n2 : n6, 1:2] waarden, zodat de knooppunten n1 t/m n7 op gelijke afstand (op een rechte) komen te liggen.

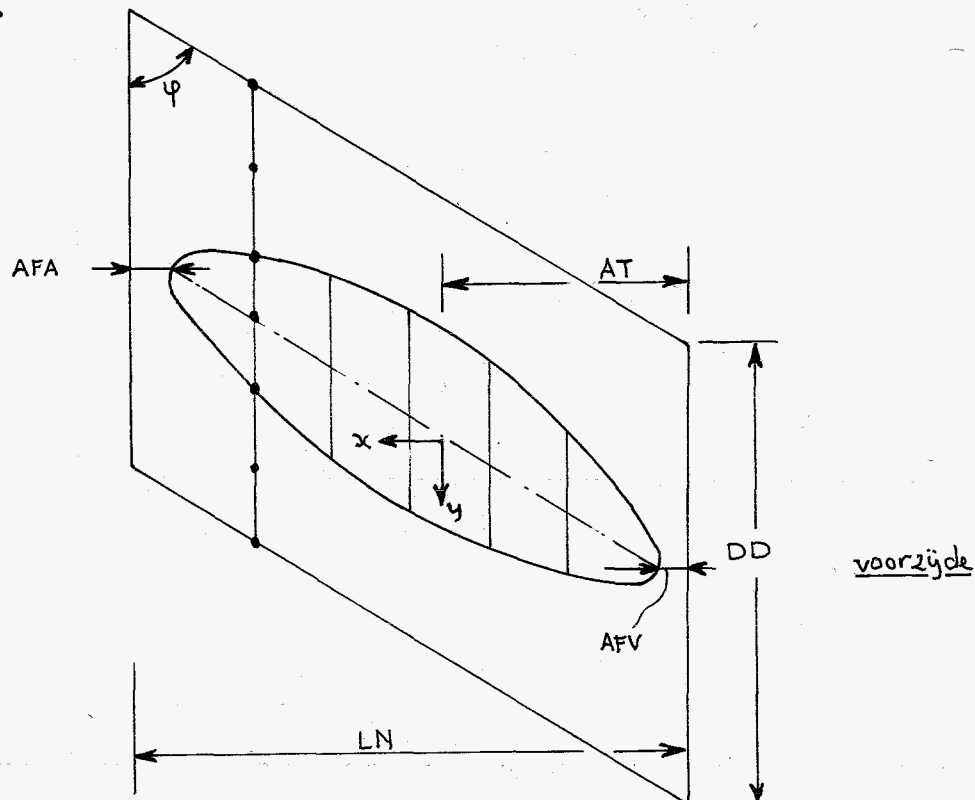
### 6.3.3.3 De opbouw

Na de deklaratie van de variabelen en de procedures mid en zes, volgt de procedure, opgedeeld in vijf fasen, welke achtereenvolgens worden beschreven.

#### Fase 1:

Vorbereidend werk. RAK is de tangens van de opgegeven RAKE hoek. PHI is de scherpe hoek van het blok, de spoedhoek op straal RNT. Zie onderstaande figuur, waar ook diverse andere parameters staan aangegeven.

Zoals bekend is een eis aan de verdeling in het voetvlak (en daaronder) te stellen: elk punt aan de bovenrand moet zijn overeenkomstige hebben aan de onderrand.

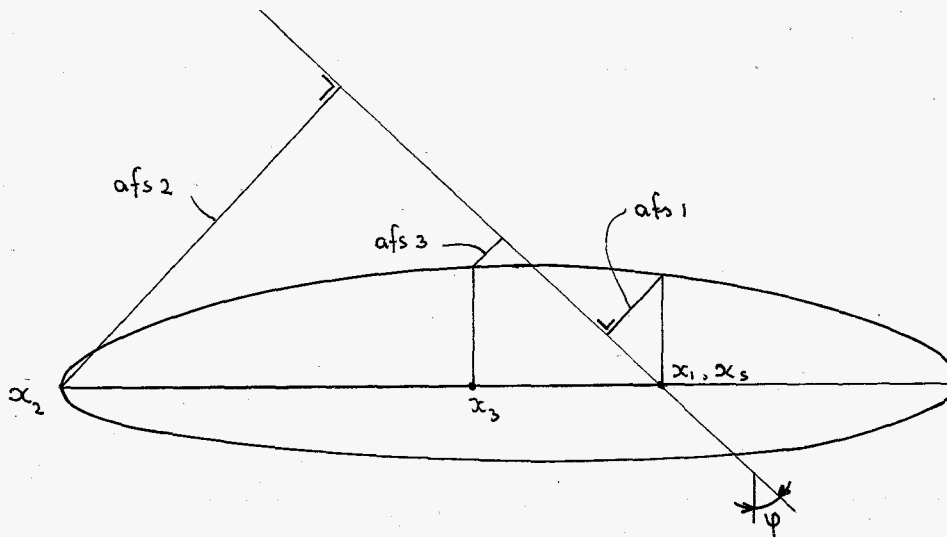


De parameters PERCV en PERCA zijn een maat voor het percentage wat aan de neus resp, staart van het profiel niet wordt meegenomen in de verdeling, analoog aan de aanpak in het bladprogramma

De in PROFIEL benodigde parameters worden geschaald.

Fase 2:

De knooppunten op en in het voetprofiel worden gevonden met behulp van een Regula Falsi-achtige iteratieproces. We zoeken  $2 \times 13$  snijpunten met de dertien evenwijdige lijnen. In onderstaande figuur is een lijn getekend, alsmede de attributen van de eerste iteratieslagen. Per slag berekenen we de afstand van het (door een x-waarde) gevonden punt op de kontour, tot de rechte. Deze vergelijken we met een stapkriterium EPS, en daarna met het teken van de afstand van de vorige slag. Is dit verschillend dan wordt een nieuwe x genomen, die het (met de bijbehorende afstanden gewogen) gemiddelde is van de twee voorlaatste x-waarden.



Het vinden van snijpunten met het profielkontour.

De convergentie is bescheiden, maar het proces is stabiel. Als startwaarden worden gekozen het snijpunt van de rechte met de x-as en het punt  $x=1$  (voor de bovenkontour), resp.  $x=0$  (voor onder).

De eerste punten van het voetvlak zijn hiermee gevuld. De punten 90, 131 etc. <sup>2e bijlage I</sup> worden gevonden met behulp van MID.

Vervolgens gaan we over op het definitieve assenstelsel: de oorsprong in het snijpunt van de trekker met de as van rotatie, de x-as naar achteren wijzend en de z-as vertikaal omhoog, gelijk aan dat van het blad.

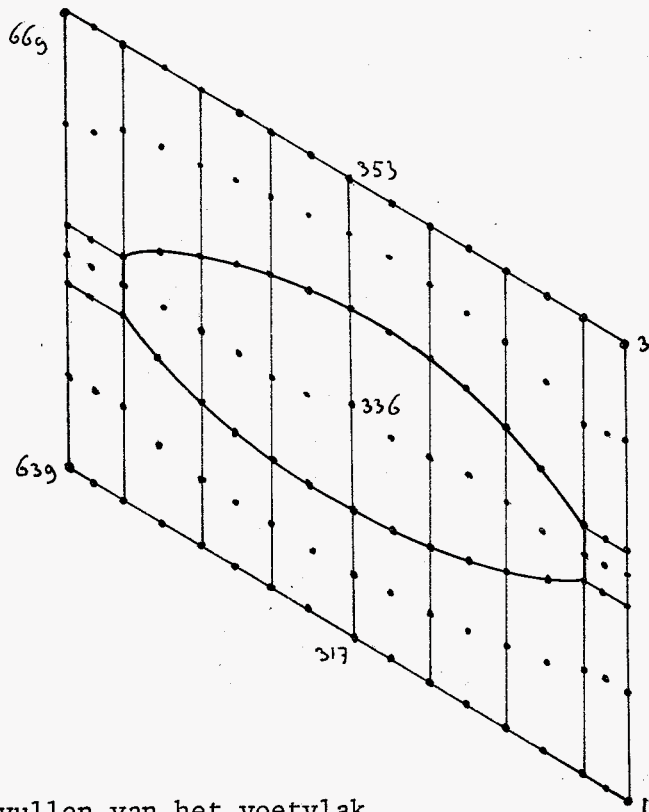
Fase 3:

Op basis van de positie van punt 336 wordt de ruit rondom de profielkontour dusdanig geplaatst, dat de elementen boven en onder het profiel ongeveer even groot worden: 353 en 317 komen op gelijke afstand ( $DD/2$ ) van 336.

De positionering in lengterichting (=langs de x-as) ligt vast door de ingelezen positie van het voetprofiel t.o.v. de z-as (de parameters LVV, LAV:

lengte-voor-voetvlak, lengte-achter-voetvlak).

Voor de betekenis van AFA en AFV zie de figuur op blz. 6.27



Opvullen van het voetvlak

Fase 4:

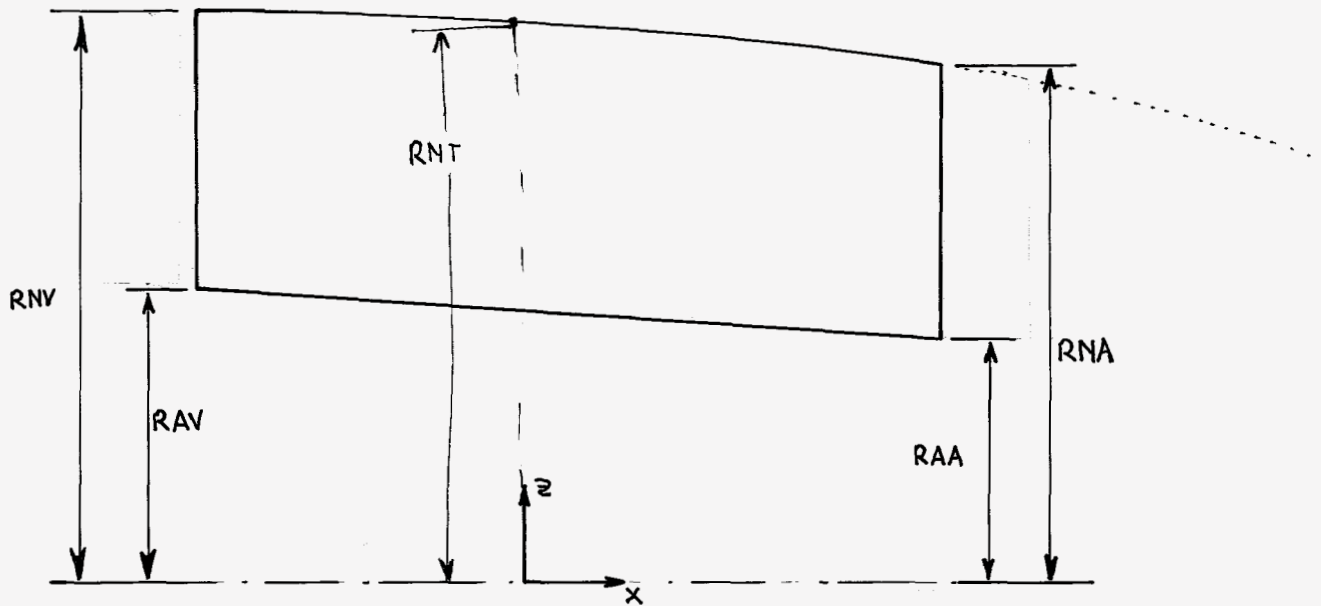
Het conusvlak wordt gevuld. Steunpunten: de vier hoekpunten, die dezelfde x- en y-koördinaten hebben als de hoekpunten van het voetvlak. Het patroon is regelmatig, het opvullen is eenvoudig: na het vullen van de lange zijden worden met ZES de tussenliggende punten gevonden.

Fase 5:

De knooppunten van voet- en conusvlak krijgen een z-waarde. Het voetvlak is bij benadering een paraboloid of een kegel. In de gestrekte versie, zoals de beschouwde blokvorm, wordt de parabool die de doorsnede vastlegt, bepaald door de punten RNV, RNT en RNA. Zie de figuur. Elk punt van het voetvlak van het blok krijgt derhalve de bij de parabool horende z-waarde. Zie de figuur.

blz 6.30





z-waarden voor de punten van het blok

Is het voetvlak een deel van een kegel dan onttaardt de parabool in een rechte; dit levert geen probleem. De middenpunten uit het profiel komen wat lager te liggen in verband met de anders te verwachten te scherpe hoeken, zoals getekend in figuur 21 in paragraaf 3.4.

Het conusvlak is een deel van een kegel, de per knooppunt van het conusvlak toe te schrijven z-waarde is lineair afhankelijk van  $x$ .

De drie coördinaten van de punten van de drie tussenvlakken worden gevonden met behulp van MID ( $n$ ,  $n+4$ ,  $n+2$ , 3) etc.

Alle knooppunten van het blok hebben nu een  $x$ ,  $y$  en  $z$ -coördinaat.

#### 6.3.4 Procedure echte naaf

##### 6.3.4.1 Inleiding

Het motief om de transformaties van de blokvorm naar de werkelijke vorm van de naafsektor te doen in een aparte procedure is, dat tussentijds de coördinaten kunnen worden gecontroleerd: uit te voeren door middel van de procedure NPCOPUNCH of te tekenen door middel van procedure PLOTVOETVLAK. Naast de genoemde transformaties wordt in ECHTE NAAF ook het grensvlak (de aansluiting met het blad) en het vlak tussen grensvlak en voetvlak gevuld.

##### 6.3.4.2 Gebruiksaanwijzing

- Formele parameter: de rij  $NA[*,*]$ , het knooppuntenarray.

##### 6.3.4.2 Opbouw

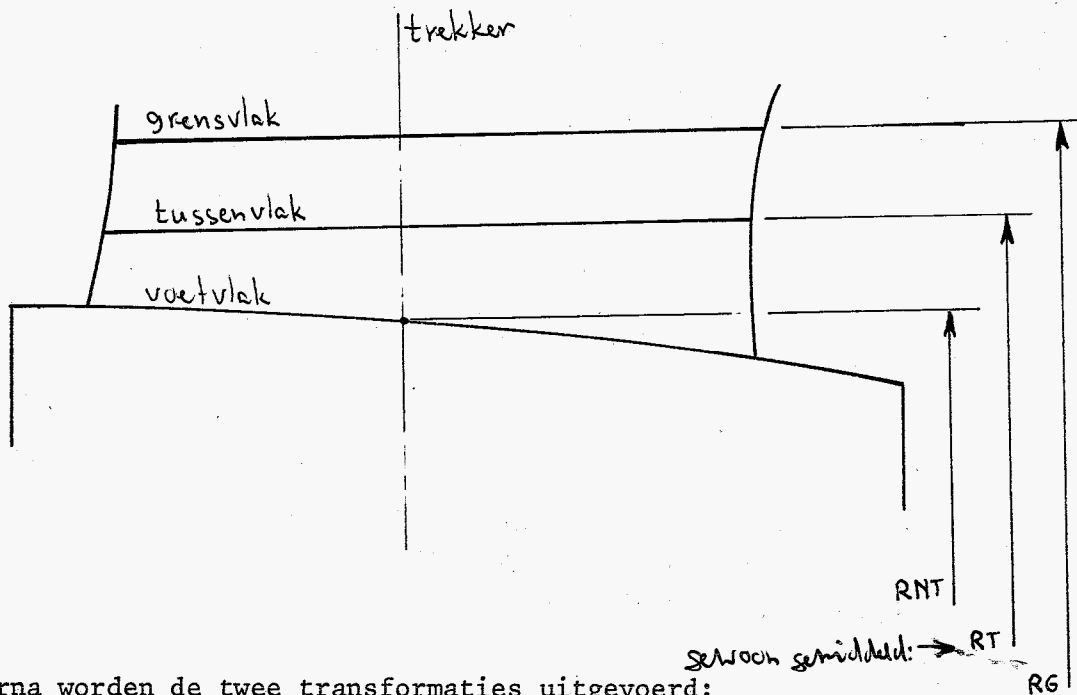
Eerst wordt het grensvlak gevuld op dezelfde wijze als in de procedure knooppuntenblad. Spoed en rake worden geïntroduceerd en de tussenpunten worden gevonden met MID.

Het tussenvlak wordt eveneens gevuld door de coördinaten van het grensvlakprofiel en voetvlakprofiel te middelen.

De coördinaten van het tussenvlak worden "gewogen gemiddeld" en wel op de volgende manier:

$$x_{\text{tussenvl.}} = (2 x_{\text{grensvl.}} + x_{\text{voetvl.}}) / 3, \text{ en}$$

$$y_{\text{tussenvl.}} = (2 y_{\text{grensvl.}} + y_{\text{voetvl.}}) / 3.$$



Daarna worden de twee transformaties uitgevoerd:  
introduktie van trapeziumvorm en kromzetten van het blok.

### 6.3.5 Procedure NPCOPUNCH

Deze procedure genereert de 673 knooppunten en hun bijbehorende coördinaten in ASKA-formaat op ponskaart, of op de printer. Zoals gezegd is NPCOPUNCH ook te gebruiken ter controle van de procedure KNOOPPUNTEN NAAF, en wordt in dat geval dus aangeroepen vóór ECHTE BLAD.

### 6.3.6 Procedure ROTATED BASIS

#### 6.3.6.1 Inleiding

De punten die een geroteerd assenstelsel moeten krijgen zijn:

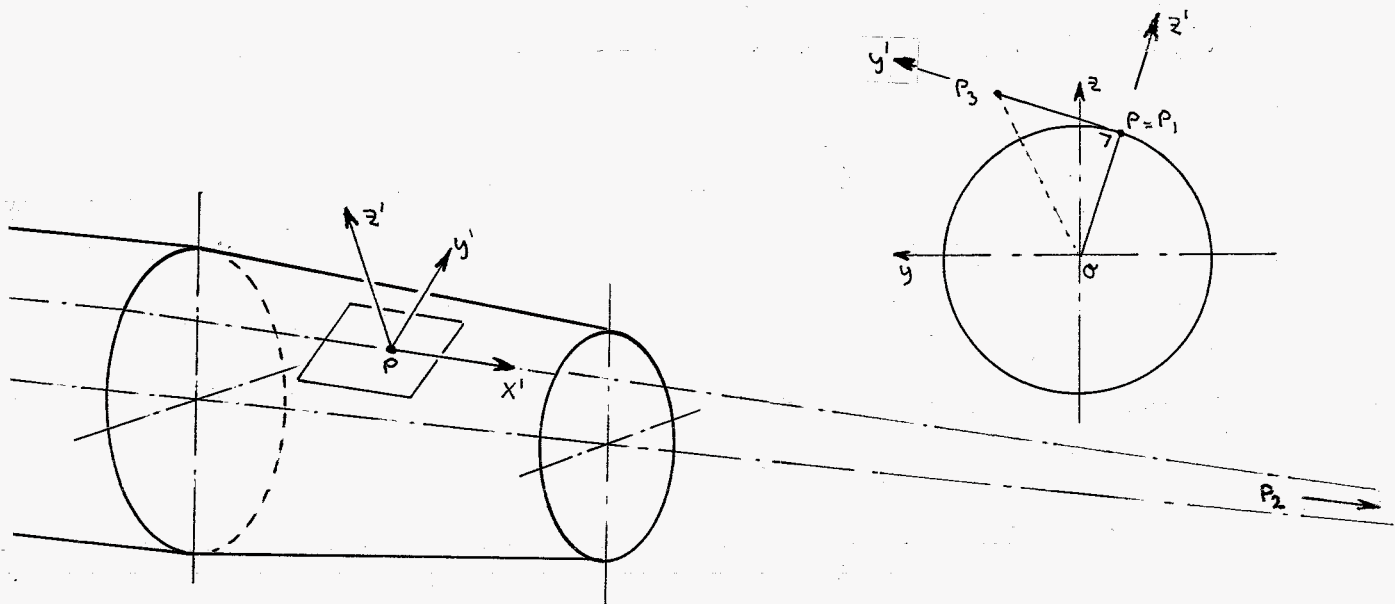
1. de punten op het conusvlak
2. de punten op de zijvlakken

Ad 1: het conusvlak

Doel van het nieuwe assenstelsel is tweeledig:

- we zijn, zoals in paragraaf 4.2 duidelijk wordt gemaakt, geïnteresseerd in knooppuntskrachten en verplaatsingen in het raakvlak van elk conus-knooppunt aan de conus en loodrecht daarop.
- de bij de conuspunten van de assektor in te lezen voorgeschreven verplaatsingen worden doorzichtiger, als het assenstelsel per punt zo gekozen wordt, dat één as loodrecht op het oppervlak staat.

We leggen de oorsprong van het nieuwe stelsel in het betroffen punt, de x-as wijst naar de conustop, de y-as daar loodrecht op en rakend aan de cirkelvormige doorsnijing van de as ter hoogte van de x-waarde van het knooppunt. Zie onderstaande figuur.



De z-as staat dan normaal op het oppervlak.

In ASKA moeten ter bepaling van het nieuwe assenstelsel drie punten worden opgegeven  $P_1$ ,  $P_2$ ,  $P_3$  en wel zo dat:

de lijn  $P_1 \rightarrow P_2$ : nieuwe x-as

de lijn  $P_1 \rightarrow P_3$ : nieuwe y-as

en de z-as loodrecht op het x-y-vlak, volgens de rechterhand regel.

(eigenlijk is de definitie iets ruimer, we gaan hier niet op in).

$P_1$  ligt in het betroffen knooppunt i, dan nemen we  $P_2$  in de conustop (waarvan de x-waarde vooraf berekend wordt) en  $P_3$  op een afstand van  $P_1$  gelijk

aan de straal van  $P_1$ . (Dit levert een makkelijk te berekenen positie van  $P_2$ ; het punt mag natuurlijk elders op die lijn worden gekozen). Zie de figuur.

Dit doen we voor alle punten op het conusvlak. We krijgen:

$$\text{knooppunt } i: \begin{array}{l} P_1 \\ P_2 \\ P_3 \end{array} \left| \begin{array}{llll} \text{NA}[i,1] & \text{NA}[i,2] & \text{NA}[i,3] & \\ \text{[CONUSTOP]} & 0. & 0. & \\ \text{NA}[i,1] & \text{NA}[i,3] + \text{NA}[i,2] & \text{NA}[i,3] - \text{NA}[i,2] & \end{array} \right.$$

### Ad 2: de zijvlakken

Doel van ROTATED BASIS voor de zijvlakpunten is: het introduceren van dezelfde assenstelsels voor elk paar knooppunten die in het net 1001 worden gekoppeld. Zie Appendix C, laatste paragraaf. De voorwaarde die hieruit voortvloeit is: verdraaien van assenstelsel, zodat de z-as loopt door het knooppunt en de x-as onveranderd blijft. De y-as ligt dan weer vast. We krijgen:

$$\text{knooppunt } i: \begin{array}{l} P_1 \\ P_2 \\ P_3 \end{array} \left| \begin{array}{llll} 0. & 0. & 0. & \\ 100. & 0. & 0. & \\ 0. & \text{NA}[i,3] & -\text{NA}[i,2] & \end{array} \right.$$

## 6.4 Het as-programma

### 6.4.1 Inleiding

Dit programma is eenvoudig, dankzij het zeer regelmatige patroon in de elementverdeling. De topologie ligt vast en is "met de hand" gemaakt.

Door het programma wordt gegenereerd:

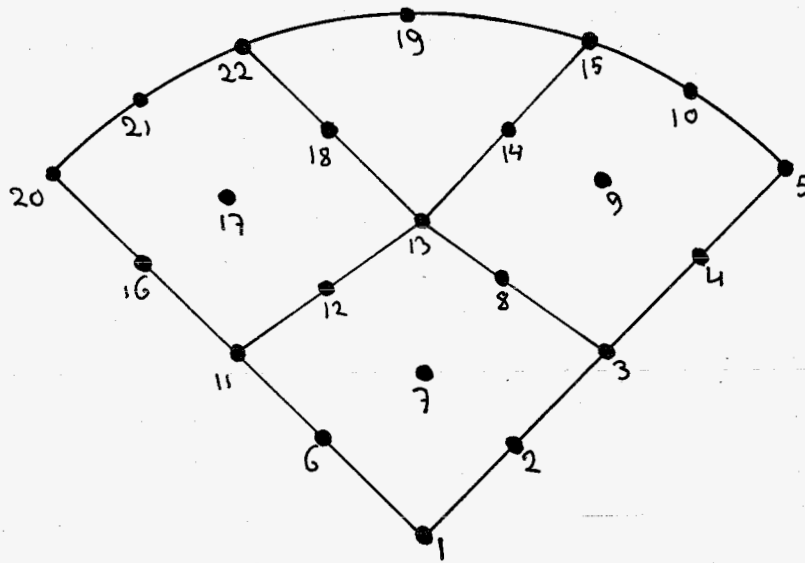
1. NPCO van net 11, de as
2. ROTB data voor de componenten en de zijvlak-punten
3. USRP, voorgeschreven verplaatsingen voor de conuspunten (dankzij handige ROTATED BASES-keuze voor alle punten dezelfde waarde)

Het programma is opgebouwd uit vier procedures, een read statement en de aanroep van de vier procedures.

### 6.4.2 Procedure NODALPOINTSSHAFT

#### 6.4.2.1 Opbouw

Eerst wordt een dwarsdoorsnede gemaakt op een straal van 1, waarin 22 punten worden gepositioneerd volgens onderstaand patroon.



Er zijn in de te maken verdeling (8+4 lagen elementen in lengte-richting) 25 van dergelijke dwarsdoorsnedes te vullen: tesamen  $22 \times 25 = 550$  knooppunten.

De werkelijke grootte van elke dwarsdoorsnede hangt af van de x-positie.

Voor de lengte van het zuiver cilindrische gedeelte (4 lagen elementen) is  $NL/2$ , de halve naaflengte genomen.

De eerste 9 dwarsdoorsnedes krijgen derhalve de straal RAV (straal-as-voor), de andere 16 een straal:  $RAV - (RAV-RAA) * N/16$ , waarbij

RAA = straal - as - achter en

N = de teller van de te doorlopen asdoorsnede.

De hoekverdraaiing per dwarsdoorsnede en het korrekt positioneren t.o.v. de conuspunten van de naaf gebeurt met behulp van REFX, REFY, REFZ en PIV, waarbij de eerste drie de coördinaten zijn van hoekpunt NA [35, I]

Uit het naafprogramma en PIV de in hetzelfde programma gebruikte spoedwaarde op het voetvlak.

Elke dwarsdoorsnede wordt over hoek ALP gedraaid.

#### 6.4.3 Procedure ROTATED BASIS

Analoog aan de in het naafprogramma ontwikkelde verdraaiing van het assenstelsel t.b.v. het koppelen (bij de zijvlakken) en vereenvoudigen van de voorgeschreven verplaatsingen (op het conusvlak), is hier de ROTATED BASIS procedure opgebouwd.

Het voorvlak (AS[1:22, I]) doet niet mee, want voor die knooppunten worden de drie vrijheidsgraden onderdrukt.

Evenmin de punten in het hart van de as (i, 23, etc.) deze laten wij vrij (dus geen ROTB, en geen EXTERNAL).

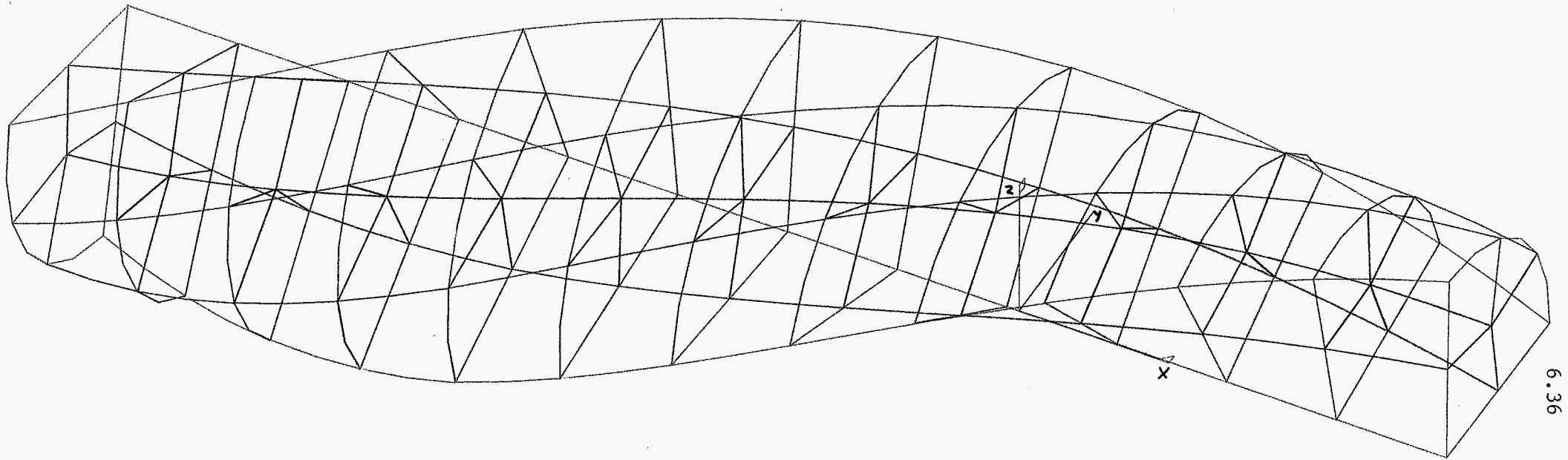
#### 6.4.4 Procedure USRP

Deze genereert de ASKA-invoer voor de beschrijving van de voorgeschreven verplaatsing. De opgegeven grootte OPDRYFLENGTE is de bij de montage voorgeschreven en toegepaste axiale verplaatsing van de schroef t.o.v. de as, zijnde het verschil in dry-fit positie en definitieve positie van de schroef.

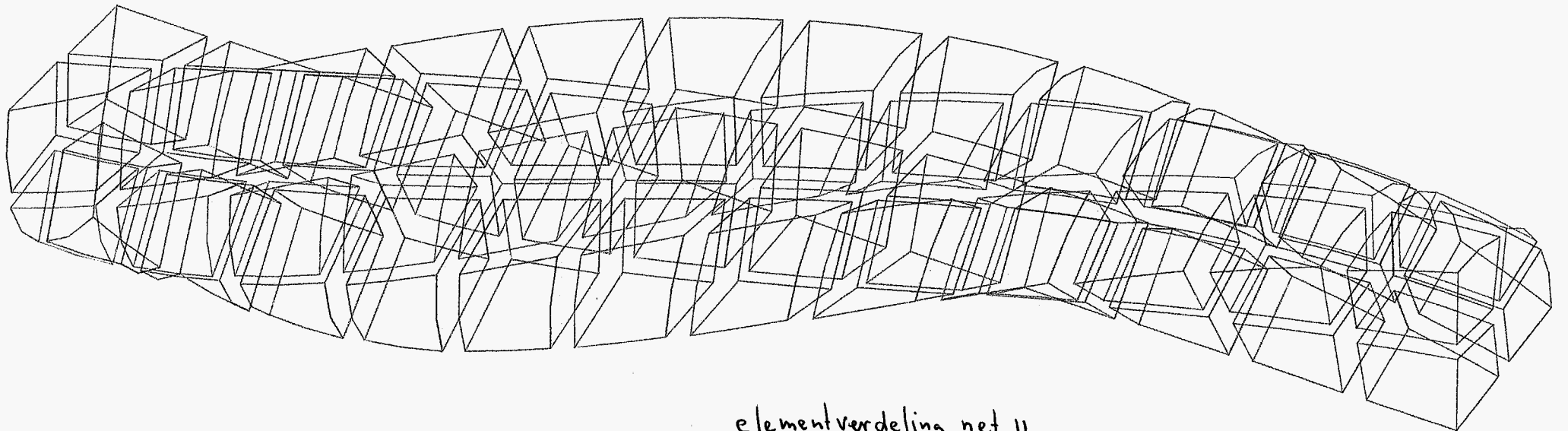
Aan de hand wordt de daarbij behorende verplaatsing loodrecht op het oppervlak berekend (NORMVERPL). Deze laatste is de waarde (met min-teken) die aan het ASKA-USRP datablok kan worden gegeven en wel in kolom 3 (de z-richting). Dankzij de toegepaste ROTATED BASIS is dit derhalve zeer eenvoudig.

#### 6.4.5 Procedure NCOPUNCH

Deze voert de 550 knooppunten uit in het bekende formaat.



6.36



elementverdeling net 11

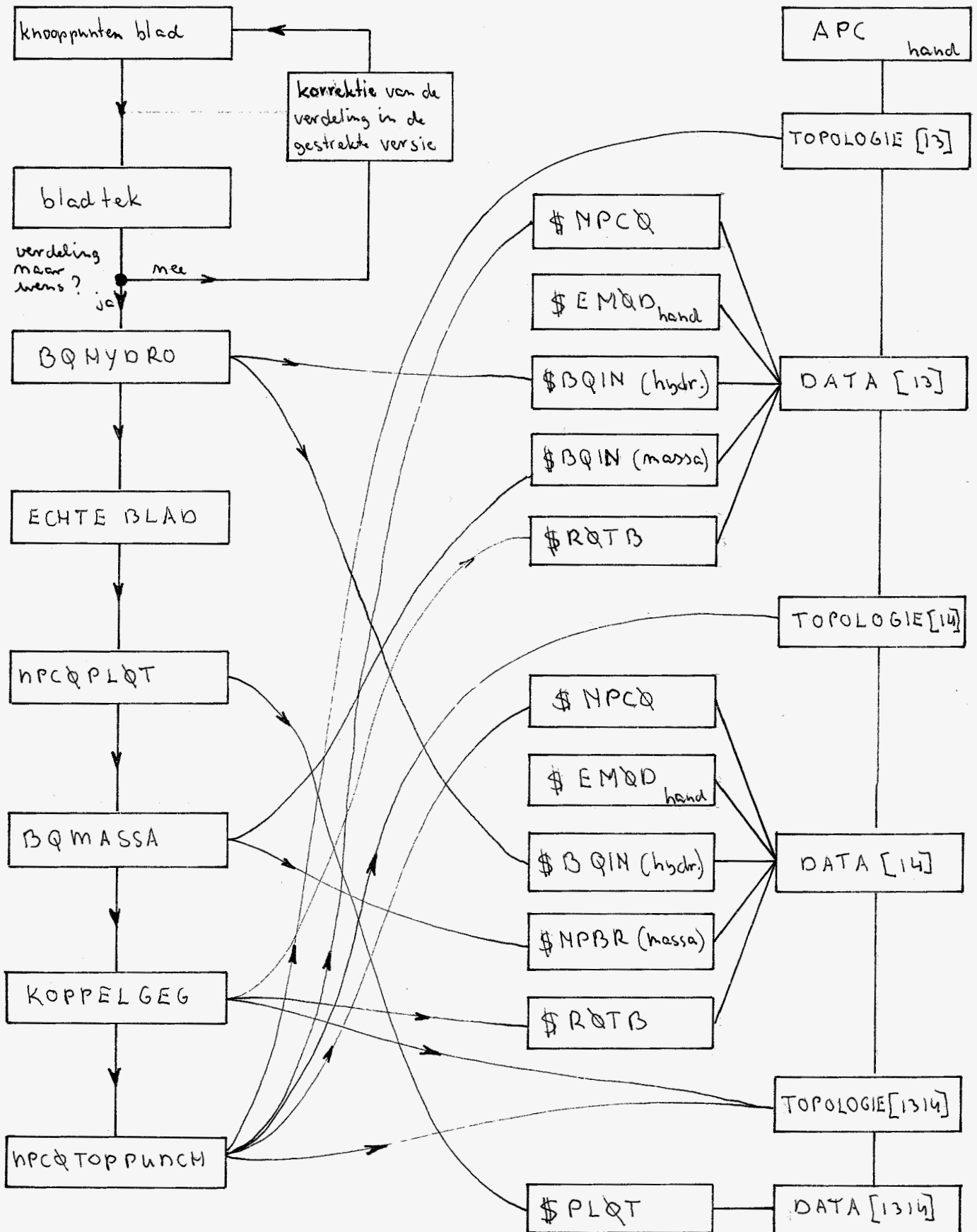
### 6.5 Samenvatting

Op de volgende bladzijden vindt u blokschema's, die de relaties aangeven van de voor elke berekening (ingeklemd blad, gehele schroef, run I, run II) benodigde ASKA-invoer en de door de inputgenerator uitgevoerde gegevens. De niet door de inputgenerator ingevoerde delen van de TOPOLOGY of het DATA blok zijn "met de hand" gemaakt.



input generator  
(bladprogramma)

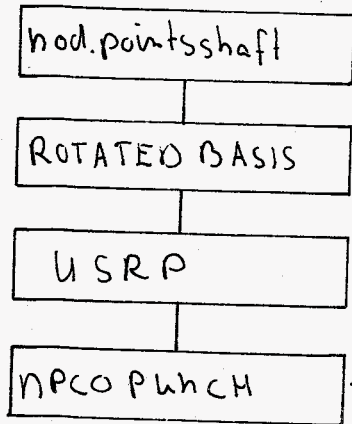
ASKA-invoer



blokschema ingeklemde versie

ASKA invoer run I :

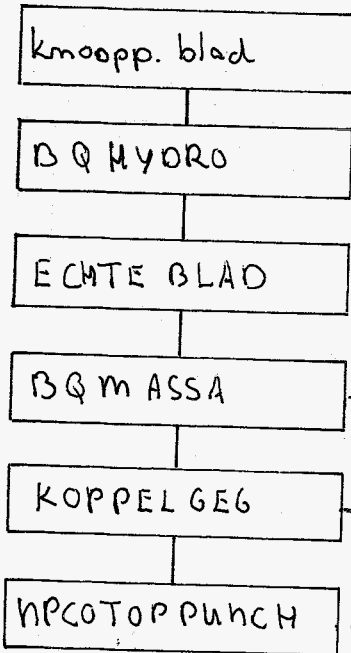
asprogramma:



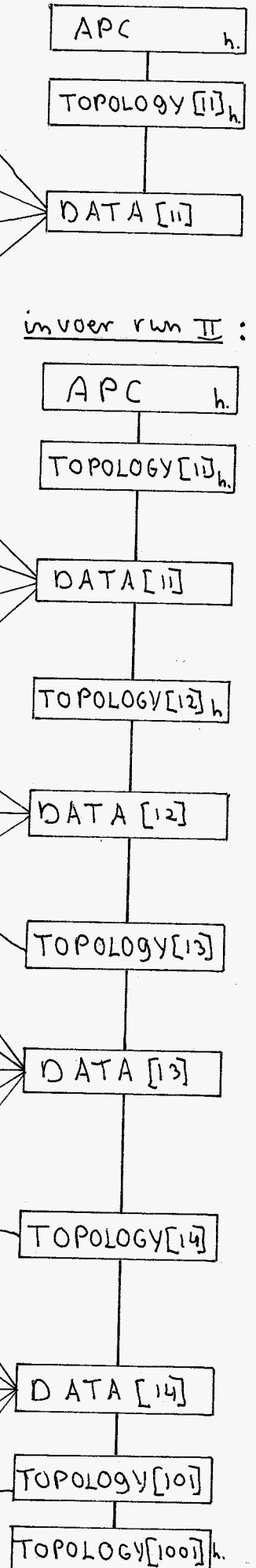
naafprogramma:



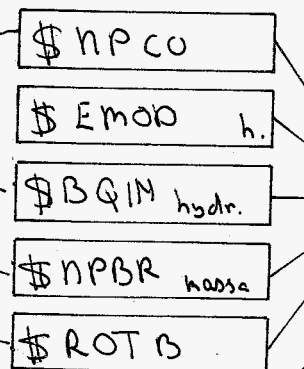
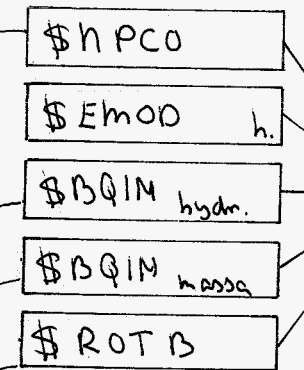
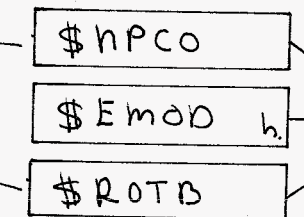
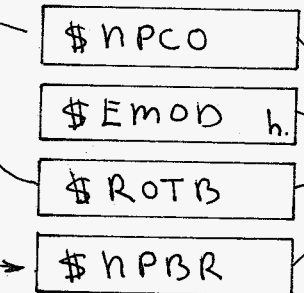
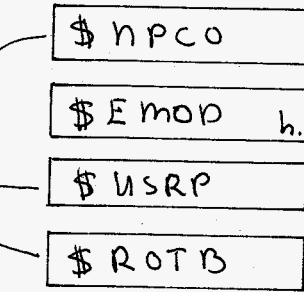
bladprogramma:



invoer run II :



uit run I →



blokschema run I en run II

Bijlage A

Een bijzondere spline funktie

## Bijlage A

### Een bijzondere spline funktie

Een algoritme om door een rij punten een tweemaal differentieerbare kromme te leggen.

#### A.1 Inleiding

Bij de ontwikkeling van het bladprogramma ontstond een behoefte om uit de diverse series diskrete punten (bladkontour, dikteverloop, spoed, welving) funkties te ontwikkelen, om daarmee tussenliggende funktiewaarden te kunnen berekenen.

De aan de funktie te stellen eisen:

- de kromme moet gaan door de diskrete punten (Deze eis komt voort uit aansluitkondities aan de naafsektor)
- het moeten "gladde" funkties zijn, overeenkomend met de gestrookte lijnen die ontstaan bij het gebruik van strooklatten. Wiskundige vertaling: de funktie moet tweemaal kontinu differentieerbaar zijn.
- extra eis bij de bladkontour: deze moet in één funktie te beschrijven zijn, vooral om de dertien boogpunten zó te kunnen vinden, dat een vloeiend verloop aan de top ontstaat.

Aan deze laatste eis kan slechts worden voldaan als we overgaan op een parametervoorstelling.

Met medewerking van Herman <sup>Willems</sup> (afd. Wiskunde, TH) is hiervoor het hier beschreven algoritme gevonden.

#### A.2 Het algoritme

Gegeven is een rij van  $n$  punten  $P_1, P_2, \dots, P_n$ , waarvan de koördinaten bekend zijn:  $(x_1, y_1), (x_2, y_2), \dots, (x_n, y_n)$ .

Gevraagd wordt een parametervoorstelling van  $x$  en  $y$  zodanig dat de geparametiseerde kromme

- door de gegeven punten loopt,
- tweemaal kontinu differentieerbaar is in de onafhankelijke parameter.

Een oplossing:

Tussen de punten  $P_i$  en  $P_{i+1}$  ligt het  $i$ -de interval. We zoeken voor ieder interval een parametervoorstelling voor  $x$  en  $y$  in een onafhankelijke parameter  $s$ . Laat deze parametervoorstellingen polynomen zijn,  $P_x$  en  $P_y$ , in een gemeenschappelijke parameter  $s$ . We noemen  $P_x^i$  en  $P_y^i$  de interpolatiepolynomen in het interval  $i$ .

$$\begin{aligned}
 P_x^i &= a_0^i + a_1^i s + a_2^i s^2 + \dots + a_m^i s^m \\
 P_y^i &= b_0^i + b_1^i s + b_2^i s^2 + \dots + b_m^i s^m
 \end{aligned}
 \tag{1}$$

De parameter  $s$  wordt zodanig genormeerd, dat voor  $s = -1$  en  $s = 1$  de randpunten van het interval worden verkregen.

$$\begin{aligned}
 P_x^i(-1) &= x_i & ; & & P_x^i(+1) &= x_{i+1} & ; \\
 P_y^i(-1) &= y_i & ; & & P_y^i(+1) &= y_{i+1} & ; \quad \text{voor } i=1,2,\dots,n-1
 \end{aligned}
 \tag{2}$$

Kontinuiteit in de eerste en tweede afgeleiden van de kromme in de randpunten leiden tot:

$$\left. \frac{dP_x^i}{ds} \right|_{s=1} = \left. \frac{dP_x^{i+1}}{ds} \right|_{s=-1} ; \quad \left. \frac{d^2 P_x^i}{ds^2} \right|_{s=1} = \left. \frac{d^2 P_x^{i+1}}{ds^2} \right|_{s=-1}
 \tag{3}$$

$$\left. \frac{dP_y^i}{ds} \right|_{s=1} = \left. \frac{dP_y^{i+1}}{ds} \right|_{s=-1} ; \quad \left. \frac{d^2 P_y^i}{ds^2} \right|_{s=1} = \left. \frac{d^2 P_y^{i+1}}{ds^2} \right|_{s=-1}$$

Ofwel in de ste<sup>(un)</sup>punten moeten de afgeleiden  $\dot{x}$ ,  $\ddot{x}$ ,  $\dot{y}$  en  $\ddot{y}$  gedefinieerd zijn.

We noteren de randvoorwaarden als volgt:

$$\begin{aligned}
 P_x^i(-1) &= x_i & \frac{dP_x^i}{ds} /_{s=-1} &= \dot{x}_i & \frac{d^2 P_x^i}{ds^2} /_{s=-1} &= \ddot{x}_i \\
 P_x^i(+1) &= x_{i+1} & \frac{dP_x^i}{ds} /_{s=1} &= \dot{x}_{i+1} & \frac{d^2 P_x^i}{ds^2} /_{s=1} &= \ddot{x}_{i+1} \\
 P_y^i(-1) &= y_i & \frac{dP_y^i}{ds} /_{s=-1} &= \dot{y}_i & \frac{d^2 P_y^i}{ds^2} /_{s=-1} &= \ddot{y}_i \\
 P_y^i(+1) &= y_{i+1} & \frac{dP_y^i}{ds} /_{s=1} &= \dot{y}_{i+1} & \frac{d^2 P_y^i}{ds^2} /_{s=1} &= \ddot{y}_{i+1}
 \end{aligned}
 \tag{4}$$

Vullen we  $P_x$  en  $P_y$  uit (1) hier in, dan krijgen wij voor  $P_x$  en  $P_y$  6 lineaire vergelijkingen met 6 onbekenden, zodat twee polynomen van de 5-de graad op eenduidige wijze kunnen worden bepaald.

$$\begin{aligned} P_x^i &= a_0^i + a_1^i s + a_2^i s^2 + a_3^i s^3 + a_4^i s^4 + a_5^i s^5 \\ P_y^i &= b_0^i + b_1^i s + b_2^i s^2 + b_3^i s^3 + b_4^i s^4 + b_5^i s^5 \end{aligned} \quad (5)$$

(5) invullen in (4) geeft voor het  $i$ -de interval:

$$\begin{aligned} a_0 - a_1 + a_2 - a_3 + a_4 - a_5 &= x_i \\ a_1 + 2a_2 + 3a_3 - 4a_4 + 5a_5 &= \dot{x}_i \\ 2a_2 - 6a_3 + 12a_4 - 20a_5 &= \ddot{x}_i \\ a_0 + a_1 + a_2 + a_3 + a_4 + a_5 &= x_{i+1} \\ a_1 + 2a_2 + 3a_3 + 4a_4 + 5a_5 &= \dot{x}_{i+1} \\ 2a_2 + 6a_3 + 12a_4 + 20a_5 &= \ddot{x}_{i+1} \end{aligned} \quad (6)$$

De polynoomcoëfficiënten zijn hieruit op te lossen. Worden links de coëfficiënten  $a_k^i$  door  $b_k^i$  vervangen voor  $k = 0, 1, \dots, 5$  en rechts  $x$  door  $y$ , dan krijgen we de vergelijkingen voor de coëfficiënten van  $P_y^i$ .

De oplossing is:

$$16 \begin{pmatrix} a_0^i & b_0^i \\ a_1^i & b_1^i \\ a_2^i & b_2^i \\ a_3^i & b_3^i \\ a_4^i & b_4^i \\ a_5^i & b_5^i \end{pmatrix} = \begin{pmatrix} 8 & 5 & 1 & 8 & -5 & 1 \\ -15 & -7 & -1 & 15 & -7 & 1 \\ 0 & -6 & -2 & 0 & 6 & -2 \\ 10 & 10 & 2 & -10 & 10 & -2 \\ 0 & 1 & 1 & 0 & -1 & 1 \\ -3 & -3 & -1 & 3 & -3 & 1 \end{pmatrix} \begin{pmatrix} x_i & y_i \\ \dot{x}_i & \dot{y}_i \\ \ddot{x}_i & \ddot{y}_i \\ x_{i+1} & y_{i+1} \\ \dot{x}_{i+1} & \dot{y}_{i+1} \\ \ddot{x}_{i+1} & \ddot{y}_{i+1} \end{pmatrix} \quad (7)$$

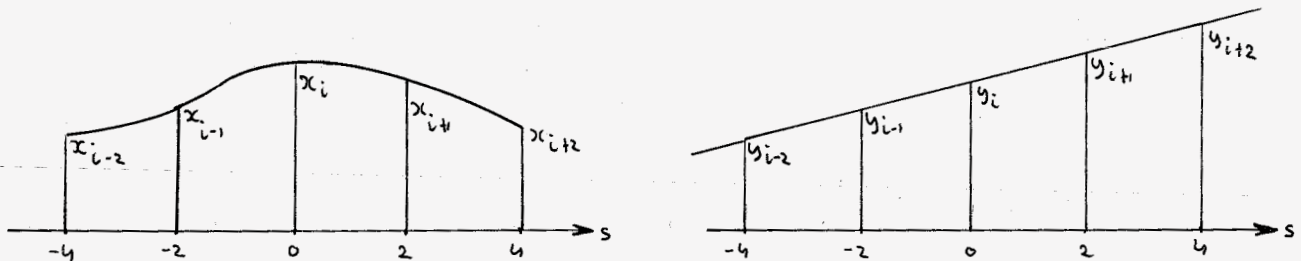
Met behulp van (7) kunnen de polynoomcoëfficiënten eenvoudig uit de randwaarden worden berekend.

Hoe vinden wij echter in de praktijk die randvoorwaarden? De steunpunten zelf zullen in het algemeen gegeven zijn, maar de eerste en tweede afgeleiden moeten op de een of andere manier worden berekend en daarvoor zijn

vele manieren te bedenken. Voor <sup>dit</sup> deze algorithmen is gekozen voor een berekening van de afgeleiden in de steunpunten op grond van vijf punten.

De parameter  $s$  was zodanig genormeerd dat  $s$  met 2 verhoogd werd van punt  $P_i$  naar  $P_{i+1}$  (en met 2 verlaagd werd van  $P_i$  naar  $P_{i-1}$ ). We transformeren  $s$  nu zodanig dat  $s = -4$  voor  $P_{i-2}$ ,  $s = -2$  voor  $P_{i-1}$ ,  $s = 0$  voor  $P_i$ ,  $s = 2$  voor  $P_{i+1}$  en  $s = 4$  voor  $P_{i+2}$ .

Door die vijf opeenvolgende punten wordt een 4-de graads polynoom gelegd.



Definieer:

$$\begin{aligned}
 \Delta x_1 &= x_{i-2} - x_i & \Delta y_1 &= y_{i-2} - y_i \\
 \Delta x_2 &= x_{i-1} - x_i & \Delta y_2 &= y_{i-1} - y_i \\
 \Delta x_3 &= x_{i+1} - x_i & \Delta y_3 &= y_{i+1} - y_i \\
 \Delta x_4 &= x_{i+2} - x_i & \Delta y_4 &= y_{i+2} - y_i
 \end{aligned} \tag{9}$$

Dan vinden wij na berekening van de polynoomcoëfficiënten voor de afgeleiden in  $s=0$ :

$$\begin{aligned}
 \dot{x}_i &= \frac{1}{3} (\Delta x_3 - \Delta x_2) - \frac{1}{24} (\Delta x_4 - \Delta x_1) \\
 \ddot{x}_i &= \frac{1}{3} (\Delta x_3 + \Delta x_2) - \frac{1}{48} (\Delta x_4 + \Delta x_1) \\
 \dot{y}_i &= \frac{1}{3} (\Delta y_3 - \Delta y_2) - \frac{1}{24} (\Delta y_4 - \Delta y_1) \\
 \ddot{y}_i &= \frac{1}{3} (\Delta y_3 + \Delta y_2) - \frac{1}{48} (\Delta y_4 + \Delta y_1)
 \end{aligned} \tag{10}$$

Invullen van (9) in (10) leveren de volgende betrekkingen:

$$48 * \begin{pmatrix} x_i & y_i \\ \dot{x}_i & \dot{y}_i \\ \ddot{x}_i & \ddot{y}_i \\ x_{i+1} & y_{i+1} \\ \dot{x}_{i+1} & \dot{y}_{i+1} \\ \ddot{x}_{i+1} & \ddot{y}_{i+1} \end{pmatrix} = \begin{pmatrix} 0 & 0 & 48 & 0 & 0 & 0 \\ 2 & -16 & 0 & 16 & -2 & 0 \\ -1 & 16 & -30 & 16 & -1 & 0 \\ 0 & 0 & 0 & 48 & 0 & 0 \\ 0 & 2 & -16 & 0 & 16 & -2 \\ 0 & -1 & 16 & -30 & 16 & -1 \end{pmatrix} \begin{pmatrix} x_{i-2} & y_{i-2} \\ x_{i-1} & y_{i-1} \\ x_i & y_i \\ x_{i+1} & y_{i+1} \\ x_{i+2} & y_{i+2} \\ x_{i+3} & y_{i+3} \end{pmatrix}$$

(11)

We kunnen nu direkt de polynoomkoefficienten uit (7) in de steunpunten uitdrukken door de matrices uit (7) en (11) met elkaar te vermenigvuldigen. Het resultaat is dan:

$$768 * \begin{pmatrix} a_0^i & b_0^i \\ a_1^i & b_1^i \\ a_2^i & b_2^i \\ a_3^i & b_3^i \\ a_4^i & b_4^i \\ a_5^i & b_5^i \end{pmatrix} = \begin{pmatrix} 9 & -75 & 450 & 450 & -75 & 9 \\ -13 & 81 & -562 & 562 & -81 & 13 \\ -10 & 78 & -68 & -68 & 78 & -10 \\ 18 & -106 & 228 & -228 & 106 & -18 \\ 1 & -3 & 2 & 2 & -3 & 1 \\ -5 & 25 & -50 & 50 & -25 & 5 \end{pmatrix} \begin{pmatrix} x_{i-2} & y_{i-2} \\ x_{i-1} & y_{i-1} \\ x_i & y_i \\ x_{i+1} & y_{i+1} \\ x_{i+2} & y_{i+2} \\ x_{i+3} & y_{i+3} \end{pmatrix}$$

(12)

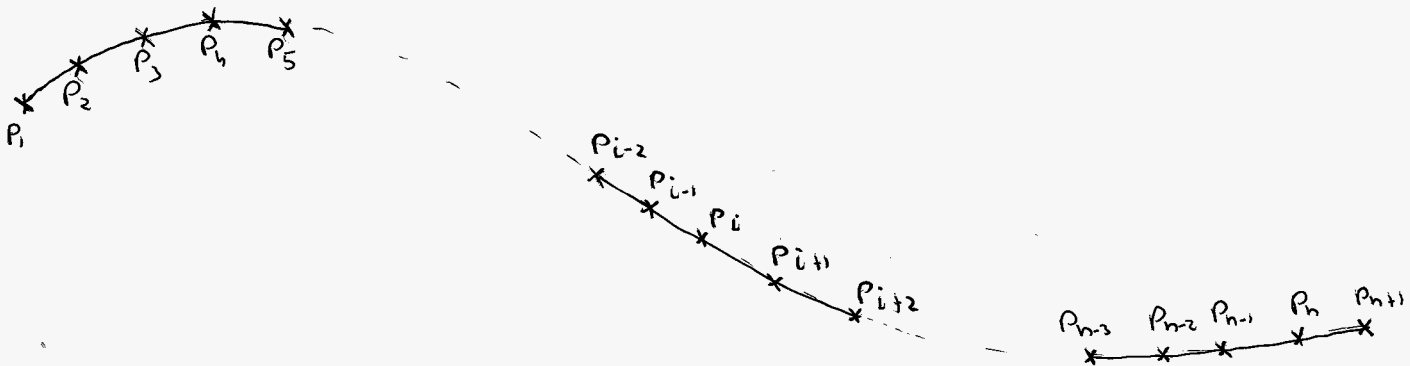
Wil men met deze methode polynoomkoefficienten berekenen voor de intervallen  $1, 2, 3, \dots, n-2, n-1$  dan zal men moeten beschikken over punten  $P_{-1}, P_0, P_{n+1}$  en  $P_{n+2}$ . Een geschikte keuze van deze punten wordt in de volgende tabel getoond. Daarin staan aangegeven de punten die per interval voor de berekeningen nodig zijn:



$P_3$	$P_2$	$P_1$	$P_2$	$P_3$	$P_4$	- 1-ste interval
$P_2$	$P_1$	$P_2$	$P_3$	$P_4$	$P_5$	- 2-de interval
$P_1$	$P_2$	$P_3$	$P_4$	$P_5$	$P_6$	- 3-de interval
	⋮					
$P_{i-2}$	$P_{i-1}$	$P_i$	$P_{i+1}$	$P_{i+2}$	$P_{i+3}$	- i-de interval
	⋮					
$P_{n-5}$	$P_{n-4}$	$P_{n-3}$	$P_{n-2}$	$P_{n-1}$	$P_n$	- (n-3)-de interval
$P_{n-4}$	$P_{n-3}$	$P_{n-2}$	$P_{n-1}$	$P_n$	$P_{n-1}$	- (n-2)-de interval
$P_{n-3}$	$P_{n-2}$	$P_{n-1}$	$P_n$	$P_{n-1}$	$P_{n-2}$	(n-1)-de interval

(13)

In de listing van het bladprogramma is de procedure SPLINE afgedrukt. Zie Appendix H.



Bijlage B

Details uit het ASKA-programmasysteem

## APPENDIX B

### Details uit het ASKA-programmasysteem

#### B.1 Inleiding

Het toepassen van het programmasysteem ASKA op een schaal en onder omstandigheden zoals die gedurende het afstudeerwerk van Klingen, leidt tot "ontdekkinkjes" die belangrijk kunnen zijn voor andere gebruikers. Deze bijlage doet verslag van enkele van deze ervaringen. Achtereenvolgens wordt beschreven:

- het omzetten van berekende knooppuntskrachten in uitwendige belasting
- het optellen van spanningen
- het gebruik van tapes.

#### B.2 Het omzetten van berekende knooppuntskrachten in uitwendige belasting

Deze activiteit was nodig bij de introductie van de krimpbelasting zoals beschreven in par. 4.2.

Uit in de eerste berekening voorgeschreven verplaatsingen ontstaan knooppuntskrachten, te berekenen met behulp van CALL BRR.

Deze processor vult de books BRRL, BRRP, BRRS en BRRC. Het laatste hiervan is in ons geval leeg, wij hebben op het nivo van net 11 geen gekoppelde punten.

Books kunnen voorkomen in twee gedaantes, te weten in het zgn. internal formaat of in user's formaat. Dit laatste is vaak te herkennen aan de u als eerste letter van het label.

Verder moeten wij ons realiseren dat geen boek gekreëerd mag worden als dat reeds bestaat. De aanpak is dan ook als volgt:

1. CALL BRR
2. Kopieer de books BRRL, BRRS, BRRP, door ze een nieuw label te geven (en in ons geval tevens te vermenigvuldigen met -1). Dit gebeurt met CALL COPYH
3. Vernietig de oorspronkelijke books BRRL, BRRS, BRRP, door middel van CALL REFBUK
4. Geef daarna de in 2. gemaakte nieuwe books de vrijgekomen labels door middel van CALL ALTLAB
5. Ga over op user's formaat (UBRR) en verander het label in NPBR.
6. Schrijf voorafgaand aan de uitvoer van NPBR een zgn. delimiter, ten behoeve van het wegschrijven op tape.
7. Voer het boek NPBR uit op tape.
8. Sluit af met een delimiter, bij voorkeur met label EOSF, als er nog meer op de tape moet komen.

De hierbij horende listing ziet er als volgt uit:

```
CALL RP
CALL BRR
CALL COPYH(4HBRRRL,4HWIM,-1)
CALL COPYH(4HBRRRP,4HHANS,-1)
CALL COPYH(4HBRRS,4HJAN,-1)
CALL REFBUK (4HBRRRL)
CALL REFBUK (4HBRRS)
CALL REFBUK (4HBRRRP)
CALL ALTLAB(4HWIM,4HBRRRL)
CALL ALTLAB(4HHANS,4HBRRRP)
CALL ALTLAB(4HJAN,4HBRRS)
CALL UBRR
CALL ALTLAB(4HUBRR,4HNPBR)
CALL DATEX(0,4HNPBR)
CALL WRTDEL(20,4HDATA)
CALL DATEX(20,4HNPBR)
CALL WRTDEL(20,4HEOSF)
```

Bij het lezen van de tape wordt dan gebruik gemaakt van het statement:

```
CALL DATIN (20,4HEOSF)
```

waarbij 20 de tape identifier is, en EOSF de op de tape geschreven delimiter.

Kontroles zijn uit te voeren door tussentijds een boek te laten printen, en wel met behulp van

```
CALL DATEX (0,4H....) , bij een boek van user's format, en
```

```
CALL GPRINT (4H....,1), bij een boek van internal format.
```

De 1 bij GPRINT duidt op een nivo van de inwendige organisatie, bij gebruik van 1 krijgt de gebruiker overzicht van alle aanwezige data.

### B.3 Het optellen van spanningen

Bij het analyseren van een konstruktie waarbij sprake is van diverse belastingkomponenten is het vaak aantrekkelijk om naast de bijdrage die elk der componenten levert aan het totale spanningsbeeld, ook het totale spanningsveld te berekenen.

Dit kan op 2 manieren:

1. Optellen van de spanningen die elke komponent heeft veroorzaakt.
2. Introductie van een nieuw belastinggeval, waar alle belastingkomponenten tesamen worden ingevoerd.

Ad 1

Dit optellen bestaat uit het sommeren van de 6 spanningskomponenten voor elk element en voor elk belastinggeval, te vinden in boek SIG, waarbij elke kolom een belastinggeval representeert (Overzichtelijker is misschien de uitvoering die ontstaat met behulp van CALL SIGEX).

Dit optellen kan niet binnen ASKA, en moet derhalve "met de hand" of met behulp van een eigen programma worden gedaan, gebruik makend van de mogelijkheid van ASKA uitvoer op tape of ponskaarten.

Ad 2

Deze mogelijkheid is veel eenvoudiger te verwezenlijken en levert direkt de gewenste uitvoer. Als nadeel kan gelden dat deze manier een extra set (te dupliceren) belastingsgrootheden vraagt, en enige rekentijd.

Binnen ASKA zijn wel spanningen op te tellen uit twee berekeningsgevallen zoals dit is voorgekomen bij de krimpbelasting. Voorwaarde daarvoor is, dat in beide gevallen het boek SIG een even groot formaat heeft.

Daartoe is het nodig om in beide gevallen evenveel belastinggevallen te hebben, waardoor aan het boek SIG kolommen met nullen worden toegevoegd. Zie het schema in par. 5.3 waaruit blijkt dat in run I een belasting nul heerst in belastinggevallen 2 en 3.

Het overzetten van de spanningen van run I naar run II en het optellen aldaar is gebeurd op de volgende wijze:

run I:

```
CALL ST
CALL SAVBUK(20,4HSIG )
CALL WRTDEL(20,4HEOF )
CALL GPRINT(4HSIG ,1)
CALL SIGEX(0,0)
CALL NPST
CALL DATEX (0,4HNPST)
CALL EXITT(0)
STOP
END
```

run II :

```
CALL SP
CALL ST
CALL GPRINT(4HSIG ,1)
CALL ALTLAB(4HSIG ,4HBERT)
CALL REFBUK(4HSIG )
CALL RENBUK(20,4HSIG )
CALL GPRINT(4HSIG ,1)
CALL ADDH(4HSIG ,4HBERT,4HTOTS,1)
CALL REFBUK(4HSIG )
CALL GPRINT(4HTOTS,1)
CALL ALTLAB(4HTOTS,4HSIG )
CALL NPST
CALL DATEX(0,4HNPST)
```

#### B. 4 Het gebruik van tapes

In de Job Control moet het gebruik van tape worden opgegeven, zowel bij het beschrijven als bij het lezen van de tape. Bij grote berekeningen lijkt het zinvol om tussentijdse berekende data weg te schrijven op tape om in geval van voortijdig afbreken van het programma de eerstvolgende run niet alles opnieuw te laten berekenen. Dit wegschrijven van books (in internal format) kan met behulp van CALL SAVBUK (tapenummer, 4 H label). Het kan in de volgende run van drie tapes worden gelezen met behulp van CALL RENBUK (tapenummer, 4 H label).

De resultaten van de aanroep

CALL SA

worden in ASKA controllists genoemd. Ook deze controllists zijn weg te schrijven en te lezen, respectievelijk met

CALL SAVCON (tapenummer) en

CALL RENCON (tapenummer, netnummer).

Bij het lezen in een andere volgorde als waarin de verschillende books zijn weggeschreven is voorzichtigheid geboden. De tape wordt bij een aanroep SAVBUK afgezocht, startend vanaf de tot dan bereikte positie, die helemaal vooraan, of ter plaatse van een delimiter kan zijn. Er wordt dan naar het book gezocht, op basis van het label en het nummer van het in bewerking zijnde net. Wordt echter een delimiter gevonden, dan wordt het zoeken gestaakt, *en het programma afgebroken*

Het verdient aanbeveling om in gekompliceerde gevallen gebruik te maken van verschillende tapes, b.v. voor verschillende netten, om daarmee het lezen in een andere volgorde dan is weggeschreven te voorkomen.

Bijlage C

Rekursieve substrukturering

## Recursieve substructurering op basis van symmetriebeschouwingen.

### Inleiding

In dit verhaal komen enkele ASKA gebruikerservaringen ter sprake, opgedaan bij een redelijk groot elementenmethode project: de statische analyse van sloopschroeven.

Er is bij de oplossing dankbaar gebruik gemaakt van vier niveau's van substructurering, op basis van de symmetrie in zowel de geometrie als de belasting.

We refereren aan de ASKA-manual.

### Recursieve substructurering

Een substructuur in een elementenverdeling is een verzameling elementen die om een of meer redenen in een bepaalde fase van het oplossen van het probleem, als een geheel opgevat worden.

Redenen voor het werken met substructuren kunnen zijn:

- . de substructuren bestaan uit verschillende typen elementen (niet behorend tot één familie en dus i.h.a. niet zonder meer te koppelen).
- . voor het uitvoeren van detailberekeningen (b.v. bij spannings-konsentraties of bij het plaatselijk optimaliseren van de geometrie) kan het nuttig zijn om een deel van de constructie in een afzonderlijke substructuur onder te brengen.
- . de geometrie van het geheel is te onoverzichtelijk om alle elementen in één net onder te brengen.
- . door handige keuze van de substructurering kan worden voorkomen dat met (door de geometrie gedwongen) onvoordelige knooppunt nummering en dus grote bandbreedte moet worden gerekend.  
(de indruk bestaat dat de winst hierbij alleen in zeer exceptionele gevallen aantrekkelijk groot is).
- . bij symmetrie in de geometrie is de hoeveelheid invoer sterk te beperken terwijl tevens winst te halen is in de rekentijd.

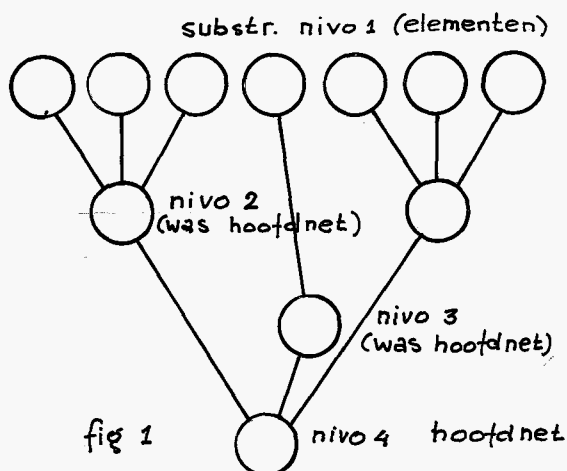
ASKA beschouwt de elementen zelf al als substructuur, nl. van niveau 1. Een aantal elementen vormen tezamen een substructuur van niveau 2. Als er meer dan 1 substr. is op niveau 2, dan



is er tevens (minstens) sprake van een derde niveau, etc. Het hoogste niveau betreft de gehele constructie. Is er sprake van alleen niveau 1 en 2, dan bestaat het definiëren van niveau 2 slechts uit de topologische beschrijving, waarin de verzameling elementen worden gedeklareerd. Is er sprake van meer niveau's, dan is rekenorganisatorisch de essentie als volgt.

Ten behoeve van een hoger niveau worden de vrijheidsgraden van de te koppelen punten z.g. EXTERNAL verklaard, en hiermee wordt verder gerekend. Op dat niveau bestaan de elementen niet meer, maar nog slechts een set vrijheidsgraden, n.l. <sup>van</sup> die van alle te koppelen punten.

Het deklarereren van het volgende niveau bestaat dan uit het koppelen van de te paren knooppunten, met behulp van het z.g. INSERT statement. Het nieuwe niveau heet het hoofdnet. Het recursieve van de bewerking doelt op het opschuiven van de niveau's: eerst worden op niveau 2 de EXTERNALS gedeklareerd, en op niveau 3 wordt gekoppeld (INSERT); zijn er een of meer hogere niveau's, dan wordt niveau 3 verlaagd tot 2, met behulp van het UPMAIN statement, en op niveau 3 gekoppeld, etcetera. Zie figuur 1, waar ook uit blijkt, dat een substructuur een niveau kan "overslaan", en dan later deel uit maakt van een van de substructuren van hoger niveau. Is men geïnteresseerd



in verplaatsingen, knooppuntenkrachten en/of spanningen van nog andere punten dan de koppelpunten van het hoogste niveau (en dat zal bijna altijd het geval zijn), dan zal men terug moeten naar (bv) niveau 1. Dit gebeurt trapsgewijs m.b.v. het statement UPMAIN.

De hieronder afgedrukte listing behoort bij een testprobleem ten behoeve van het eerder genoemde scheepsschroeven onderzoek. Het betreft de representatie van een vierbladsschroef, met vier identieke moten, elk opgebouwd uit een kwart van het (in de berekening meegenomen) asgedeelte, een kwart van de naaf, en een blad. Het genereren van de drie netten 102 tot en met 104 (zie fig. 2), welke identiek zijn (in vorm en

C.3

belasting) aan 101, gebeurt via de statements SAMCON en SAMBUK.

In het testprogramma bestaat net 11 (het asgedeelte), uit 2 PENTA-elementen, net 12 (kwart van de naaf) uit 1 HEXE, en ook net 13 (het blad) uit 1 HEXE. Zie figuur 3.

Naast de nummering op element-niveau is het nodig om de te koppelen knooppunten (die elk een eigen nummer "meebrengen") te nummeren op niveau.

Bijvoorbeeld:

topology

main net (101) (60) (hoofdnet: kwart van de schroef)

.

.

insert net (12) (3) (16,1) (15,1)

.

.

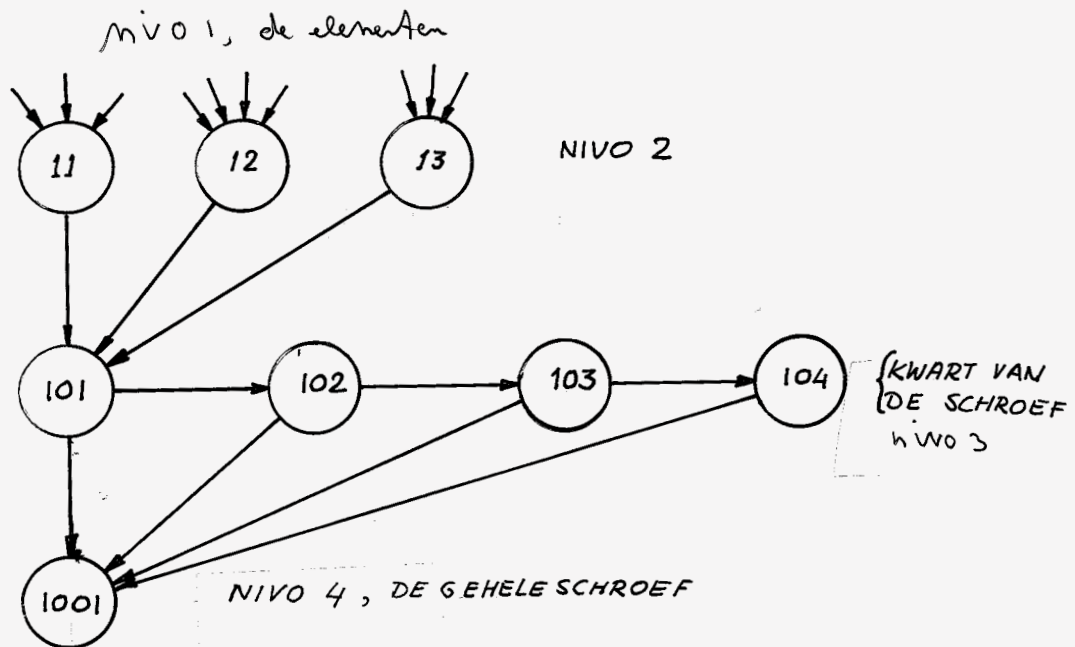


fig 2

Dit betekent: punten 16, 17 en 18 van net 12 worden gekoppeld aan resp. de punten 15, 16, 17 van net 101, welke laatste kennelijk bestaat uit 60 knooppunten.

In dit verband is ook het ROTATED BASIS concept van belang. Om punten van verschillende netten te kunnen koppelen zullen ze namelijk gedefinieerd moeten zijn t.o.v. vergelijkbare assenstelsels, dat wil zeggen niet de oorsprongen hoeven samen te vullen, maar wel de richtingen van de 3 paren assen. (we rekenen met verplaatsingen).

Bij het koppelen van 11, 12 en 13 is dit geen probleem, alle drie zijn ze gedeclareerd t.o.v. het in fig. 3 getekende assenstelsel.

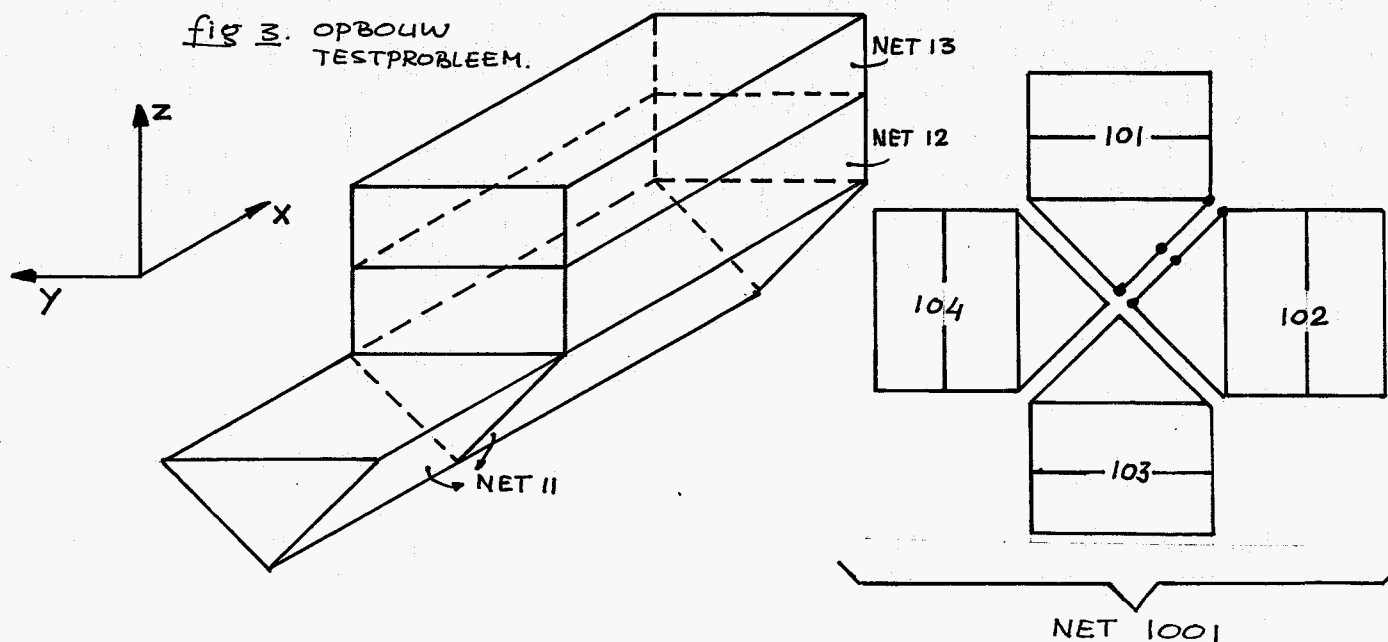
Om bijvoorbeeld 101 net 102 te koppelen moeten we wel ROTATED BASIS toepassen.

Om symmetrie-redenen draait voor de rechterpunten van 101 dat assenstelsel over  $45^\circ$  naar rechts, en voor de linkerpunten het stelsel  $45^\circ$  naar links t.o.v. de oorspronkelijke positie.

(De punten in het hart van de as kunnen de zaak in de war brengen, maar dankzij de symmetrie in geometrie en belasting is hier alleen verplaatsing in x-richting relevant, en die punten zijn dan ook bij net 11 en 101 slechts in x-richting, external verklaard).

Zo ook voor 102 etc., zodat beide punten van elk koppelpaar gedeclareerd zijn t.o.v. vergelijkbare assenstelsels.

mog simpeler: deze zijn in de topologie van net ⑪ suppressed, respectievelijk local.



```

CALL START (2,1)
CALL SET (4HDIAS,15)
CALL SET (4HTEST,.TRUE.)

```

```

C
C
CCC GENEREREN VAN SUBSTRUCT. 11,12,13

```

```

C
C NET 11:
C

```

```

CALL SA
CALL INFEL
CALL INFUNK
CALL INFNOD
CALL PATA
CALL DATIN (0,4HEOF )
CALL ELCO
CALL TS
CALL SK
CALL BK
CALL INFBK
CALL BJ
CALL BR
CALL UBR
CALL DATEX (0,4HUBR )
CALL TRIA
CALL REDUC

```

← t. b. v. initiële rekken , altijd vóór BR

```

C
C
C NET 12:
C

```

```

CALL SA
CALL INFEL
CALL INFUNK
CALL INFNOD
CALL PATA
CALL DATIN (0,4HEOF )
CALL ELCO
CALL TS
CALL SK
CALL BK
CALL INFBK
CALL BR
CALL UBR
CALL DATEX (0,4HUBR )
CALL TRIA
CALL REDUC

```

```

C
C
C NET 13:
C

```

```

CALL SA
CALL INFEL
CALL INFUNK
CALL INFNOD
CALL PATA

```

```

CALL DATIN (0,4HEOF )
CALL ELCO
CALL TS
CALL SK
CALL BK
CALL INFBK
CALL BO ← t.b.v. verdeelde belasting, altijd vóór BR
CALL BR
CALL UBR
CALL DATEX (0,4HUBR )
CALL TRIA
CALL REDUC

```

```

C
C
C
CCC GENEREREN VAN SUBSTR. 101 UIT 11,12, EN 13
C

```

```

CALL SA ← hier wordt o.a. de topology van 101, = de koppeling, verwerkt
DO 25 NET=11,13
CALL USENET (NET)
CALL INFCOP
25 CONTINUE

```

} controle van koppeling 11, 12, 13 aan 101

```

CALL USENET (101)
CALL INFUNK
CALL BK
CALL INFBK
CALL BR
CALL UBR
CALL DATEX(0,4HUBR )
CALL DNMAIN ← hier wordt 101 een nivo verlaagd (moet na BK en na BR)
CALL TRIA
CALL REDUC

```

```

C
X CCC GENEREREN VAN SUBSTR. 102,103,104 GELIJK AAN 101:
C

```

```

X DO 35 NET2= 102,104
X CALL SAMCON(NET2,101) ← maakt (o.a.) topology van (net2) gelijk aan 101
X CALL SAMBUK (4HSKM ,101) ← kopieert stijfheidsmatrix
X CALL SAMBUK (4HBQM ,101) ← kopieert belastingmatrix
X 35 CONTINUE
C

```

```

CCC GENEREREN VAN HET HOOFDNET 1001:
C

```

```

CALL SA
DO 45 NET2=101,104
CALL USENET(NET2)
CALL INFCOP
45 CONTINUE
CALL USENET(1001)
CALL INFUNK
CALL BK
CALL INFBK
CALL BR

```

} als bij 101

X  
X  
X  
X

```

CALL TRIA } samen te voegen tot multiprocessor SR
CALL SOLV }
CALL USR ← verplaatsing van de koppelpunten van 1001
CALL DATEX (0,4HUSR) ← eigenlijk overbodig, later komen alle verplaatsingen
CALL USENET (101)
CALL SPM } vinden de verplaatsingen van de koppelpunten van 101
CALL SRLC }
CALL USR
CALL DATEX (0,4HUSR)
CALL UPMAIN (101) ← hier wordt 101 hoofdnr verklaard.
X DO 55 NET1=11,13
X CALL USENET (NET1) ← dit wordt: call usenet (11) bij de symmetrie-trunk
CALL SPM } vinden van de verplaatsingen van alle knooppunten van 11, 12, 13
CALL SRLC }
CALL USR
CALL DATEX (0,4HUSR)
CALL SP
CALL ST
CALL SIGEX(0,0)
CALL NPST
CALL DATEX (0,4HNPST)
55 CONTINUE
END
    
```

↓  
de  
terugweg

} normale manier om spanningen te vinden en uit te voeren.

} fixeren van voorvlak

} extern: zijvlakken, en grensvlak met 12

} zijvlakken

```

TOPOLOGY
NET(11)(54)(ASSECTOR, 2 PENTAAS)
PENTA18(1)(1)(1)(2)(3)(4)(5)(6)(7)(8)(9)(10)(11)(12)(13)(14)(15)(16)(17)(18)
PENTA18(1)(1)(13)(14)(15)(16)(17)(18)(31)(32)(33)(34)(35)(36)(49)(50)(51)
(52)(53)(54)
SUPPRESS( 2,3)(2)(7,6)
SUPPRESS( 2,3)(2)(31,18)
SUPPRESS(1,2,3)(6)(1,1)
EXTERNAL(1,2,3)(2)(8,6)
R(5)(0)(1)
EXTERNAL(1,2,3)(2)(32,18)
R(5)(0)(1)
EXTERNAL(1)(2)(31,18)
EXTERNAL(1)(2)(7,6)
ROTATED BASIS(3)(2,6)
R(2)(0)(1)
ROTATED BASIS(3)(5,6)
R(2)(0)(1)
ROTATED BASIS(2)(32,18)
R(2)(0)(1)
ROTATED BASIS(2)(35,18)
R(2)(0)(1)
END NET
END TOPOLOGY
$DATA
$NPCO N=11 C=3
1 0. 0. 0.
3 0. 2. 2.
5 0. -2. 2.
13 4. 0. 0.
15 4. 2. 2.
17 4. -2. 2.
49 8. 0. 0.
    
```

	punt P <sub>1</sub>			punt P <sub>2</sub>			punt P <sub>3</sub>		
51	8.	2.	2.						
53	8.	-2.	2.						
REMOTB N=11 C=2 G=A									
1	1.	0.3							
2	0.	0.	0.	1.	0.	0.	0.	1.	-1.
3	0.	0.	0.	1.	0.	0.	0.	1.	-1.
8	0.	0.	0.	1.	0.	0.	0.	1.	-1.
9	0.	0.	0.	1.	0.	0.	0.	1.	-1.
14	0.	0.	0.	1.	0.	0.	0.	1.	-1.
15	0.	0.	0.	1.	0.	0.	0.	1.	-1.
32	0.	0.	0.	1.	0.	0.	0.	1.	-1.
33	0.	0.	0.	1.	0.	0.	0.	1.	-1.
50	0.	0.	0.	1.	0.	0.	0.	1.	-1.
51	0.	0.	0.	1.	0.	0.	0.	1.	-1.
6	0.	0.	0.	1.	0.	0.	0.	1.	1.
5	0.	0.	0.	1.	0.	0.	0.	1.	1.
12	0.	0.	0.	1.	0.	0.	0.	1.	1.
11	0.	0.	0.	1.	0.	0.	0.	1.	1.
18	0.	0.	0.	1.	0.	0.	0.	1.	1.
17	0.	0.	0.	1.	0.	0.	0.	1.	1.
36	0.	0.	0.	1.	0.	0.	0.	1.	1.
35	0.	0.	0.	1.	0.	0.	0.	1.	1.
54	0.	0.	0.	1.	0.	0.	0.	1.	1.
53	0.	0.	0.	1.	0.	0.	0.	1.	1.

Met P<sub>1</sub> in oorsprong:

P<sub>1</sub> → P<sub>2</sub>: nieuwe x-as

P<sub>1</sub> → P<sub>3</sub>: nieuwe y-as

nieuwe z-as: loodrecht op x-y vlak, rechterhand-systeem.

45° draaiing naar rechts

45° draaiing naar links

RETAG C=36 G=A L=1 N=11

1 -.1 -.1 -.1 .0 .0 .0 -.1 -.1 -.1 0. 0. 0. -.1 -.1 -.1 0. 0. 0.  
 < -.1 -.1 -.1 .0 .0 .0 -.1 -.1 -.1 0. 0. 0. -.1 -.1 -.1 0. 0. 0.

REOF

initieële rekken

TOPOLOGY

NET (12) (60) (NAAFSECTOR,1 HEXE)

HEXE27 (1) (1) (16) (17) (18) (19) (20) (21) (22) (23) (24) (34) (35) (36) (37) (38) (39)  
 (40) (41) (42) (52) (53) (54) (55) (56) (57) (58) (59) (60)

EXTERNAL (1,2,3) (3) (16,1) } koppelvlak met as  
 R (3) (0) (18)

EXTERNAL (1,2,3) (3) (22,1) } koppelvlak met blad  
 R (3) (0) (18)

END NET

END TOPOLOGY

EDATA

ENPCO N=12 C=3

16	4.	2.	2.
18	4.	-2.	2.
52	8.	2.	2.
54	8.	-2.	2.
22	4.	2.	4.
24	4.	-2.	4.
58	8.	2.	4.
60	8.	-2.	4.

REMOTB N=12 C=2 G=A

1 0.6 0.3

REOF

TOPOLOGY

NET(13)(66)(BLAD, 1 HEXE)

HEXE27(1)(1)(22)(23)(24)(25)(26)(27)(28)(29)(30)(40)(41)(42)(43)(44)(45)  
(46)(47)(48)(58)(59)(60)(61)(62)(63)(64)(65)(66)

EXTERNAL(1,2,3)(3)(22,1) } koppel vlak met maaf  
R(3)(0)(18)

END NET

END TOPOLOGY

£DATA

£NPCO N=13 C=3

22	4.	2.	4.
24	4.	-2.	4.
58	8.	2.	4.
60	8.	-2.	4.
28	4.	2.	6.
30	4.	-2.	6.
64	8.	2.	6.
66	8.	-2.	6.

£EMOD N=13 C=2 G=A

1 0.6 0.3

£NPBR C=3 N=13 L=1

28	0.	1.	0.
29	0.	1.	0.
30	0.	1.	0.
46	0.	1.	0.
48	0.	1.	0.
64	0.	1.	0.
65	0.	1.	0.
66	0.	1.	0.
47	0.	4.	0.

knooppuntskrachten op boven vlak van blad

£BQIN C=24 N=13 L=2 G=A

1 0. 2. 4. 0. -2. 4. 0. 2. 6. 0. -2. 6. 0. 2. 4. 0. -2. 4.  
< 0. 2. 6. 0. -2. 6.

£EOF

TOPOLOGY

MAIN NET (101)(60)(HOOFDNET: KWART VAN DE SCHROEF)

INSERT NET (11)(5)( 8,1)( 8,1)

INSERT NET (11)(3)(14,18)(14,18)

R(5)(0)( 1)( 1)

INSERT NET(11)(2)(31,18)(31,18)

INSERT NET(11)(2)(7,6)(7,6)

INSERT NET (12)(3)(16,1)(15,1)

R(3)(0)(18)(18)

INSERT NET (12)(3)(22,1)(22,1)

R(3)(0)(18)(18)

INSERT NET (13)(3)(22,1)(22,1)

R(3)(0)(18)(18)

EXTERNAL(1,2,3)(2)(8,1)

EXTERNAL(1,2,3)(2)(11,1)

EXTERNAL(1,2,3)(2)(14,1)

R(3)(0)(18)

koppelen 11, 12, 13 aan 101

nieuwe externals, te koppelen in 1001



```
EXTERNAL (1,2,3) (2) (17,1)
      R(3) (0) (18)
EXTERNAL (1) (2) (7,6)
EXTERNAL (1) (2) (31,18)
END NET
END TOPOLOGY
```



```
TOPOLOGY
MAIN NET(1001) (45) (HOOFDNET: DE GEHELE SCHROEF)
INSERT NET(101) (2) (8,6) (7,1)
```

```
      R(2) (0) (1) (20)
X INSERT NET(102) (2) (8,6) (12,1)
X      R(2) (0) (1) (20)
X INSERT NET(103) (2) (8,6) (17,1)
X      R(2) (0) (1) (20)
X INSERT NET(104) (2) (8,6) (22,1)
X      R(2) (0) (1) (20)
  INSERT NET(101) (2) (32,18) (9,1)
      R(2) (0) (1) (20)
X INSERT NET(102) (2) (32,18) (14,1)
X      R(2) (0) (1) (20)
X INSERT NET(103) (2) (32,18) (19,1)
X      R(2) (0) (1) (20)
X INSERT NET(104) (2) (32,18) (24,1)
X      R(2) (0) (1) (20)
  INSERT NET(101) (2) (11,6) (42,1)
      R(2) (0) (1) (-20)
X INSERT NET(102) (2) (11,6) (27,1)
X      R(2) (0) (1) (-20)
X INSERT NET(103) (2) (11,6) (32,1)
X      R(2) (0) (1) (-20)
X INSERT NET(104) (2) (11,6) (37,1)
X      R(2) (0) (1) (-20)
  INSERT NET(101) (2) (35,18) (44,1)
      R(2) (0) (1) (-20)
X INSERT NET(102) (2) (35,18) (29,1)
X      R(2) (0) (1) (-20)
X INSERT NET(103) (2) (35,18) (34,1)
X      R(2) (0) (1) (-20)
X INSERT NET(104) (2) (35,18) (39,1)
X      R(2) (0) (1) (-20)
  INSERT NET(101) (2) (7,6) (2,1)
X INSERT NET(102) (2) (7,6) (2,1)
X INSERT NET(103) (2) (7,6) (2,1)
X INSERT NET(104) (2) (7,6) (2,1)
  INSERT NET(101) (2) (31,18) (4,1)
X INSERT NET(102) (2) (31,18) (4,1)
X INSERT NET(103) (2) (31,18) (4,1)
X INSERT NET(104) (2) (31,18) (4,1)
```

extra bij toepassen symmetrie trunk:

{ insert net (101) (2) (12,6) (7,1)  
 R(2) (0) (1) (20)

```
END NET
END TOPOLOGY
```

```
/*
//
```

komen te vervallen bij toepassen symmetrie-trunk

Symmetrie beschouwingen

De overeenkomst tussen 101 en 102 t/m 104 is duidelijk: deze substructuren zijn identiek zowel qua geometrie als belasting. Dit impliceert, dat op de vier snedevlakken de vervormingen en knooppuntskrachten eveneens identiek zijn. Zie fig. 5. Knooppuntskracht  $F_1 = F_2$ , beiden aangrijpend onder dezelfde hoek  $\alpha$ .

In deze situatie is het in ASKA mogelijk, om een net 1001 te creëren, met alleen de informatie van net 101. Dit gaat als volgt. Deklareer de knooppunten van de beide zijvlakken van 101: EXTERNAL, en pas ROTATED BASIS toe, op dezelfde manier als hierboven beschreven:

eerst z' naar rechts voor de rechterpunten, etc.

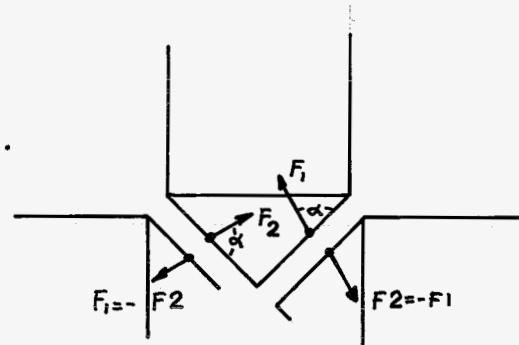
Kreër nu het net 1001 door de linker en de rechterpunten te INSERTen in 1001.

Hier wordt wellicht zeer duidelijk wat er gebeurt bij het koppelen: de respectievelijke vrijheidsgraden worden aan elkaar gelijk gesteld. Zie fig. 6.

De winst is duidelijk: het is niet meer nodig om 102 t/m 104 te creëren, en het hoofdnet bevat (ongeveer) een kwart van het oorspronkelijk aantal vrijheidsgraden.

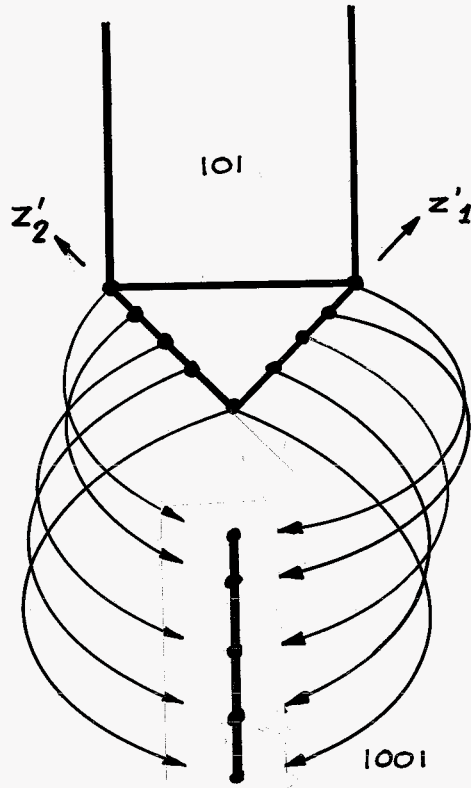
(De rekentijd winst is bij een testprobleem van deze omvang moeilijk te achterhalen).

De bij toepassing van deze truc behorende listing is terug te vinden in de afgedrukte listing, met weglating van de met een kruisje gemerkte regels.



figuur 5

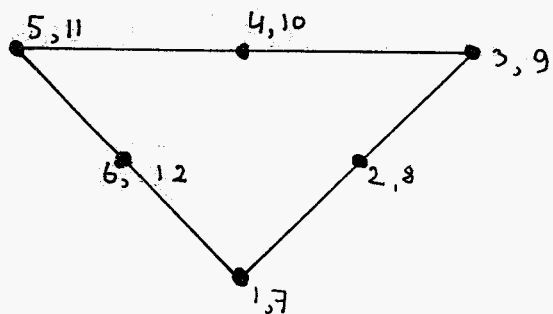
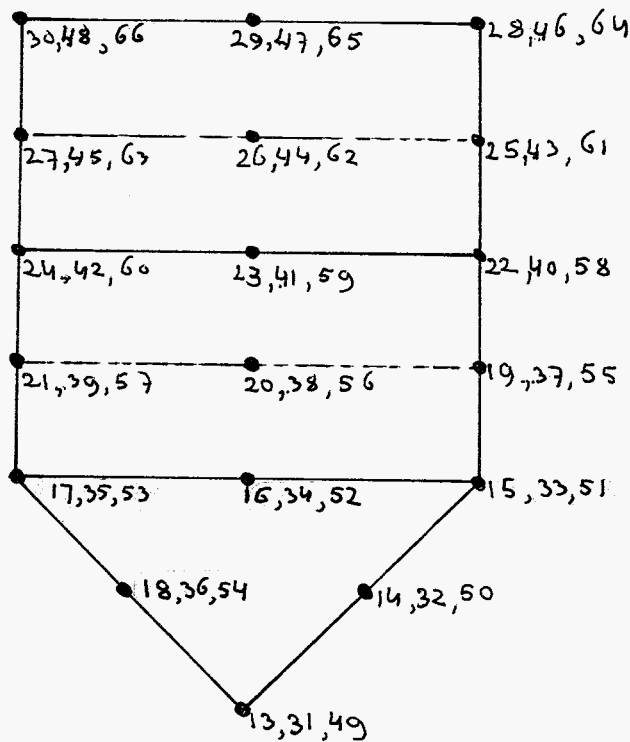
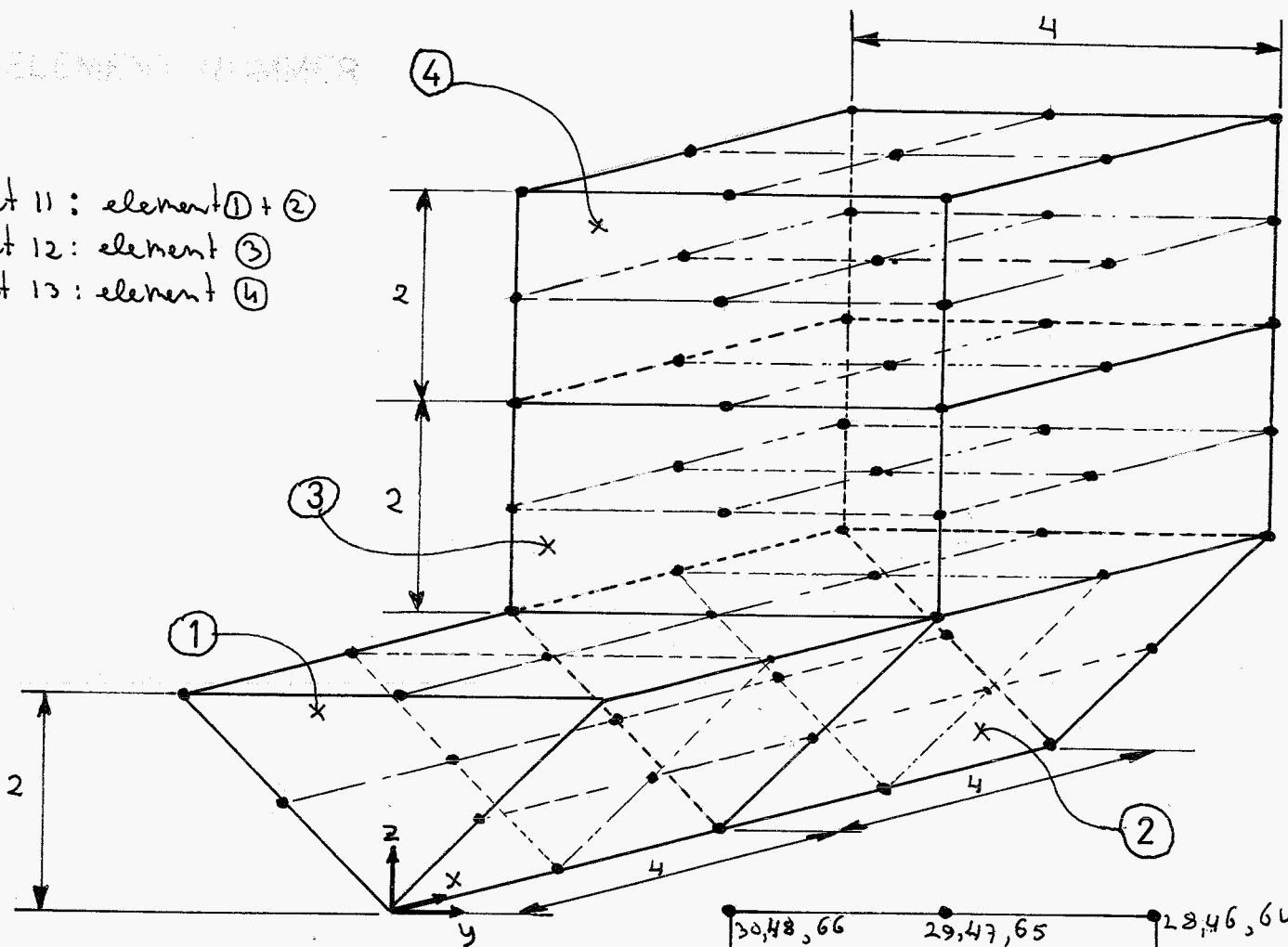
de prijs: per blad verschillende belastingen niet meer mogelijk.



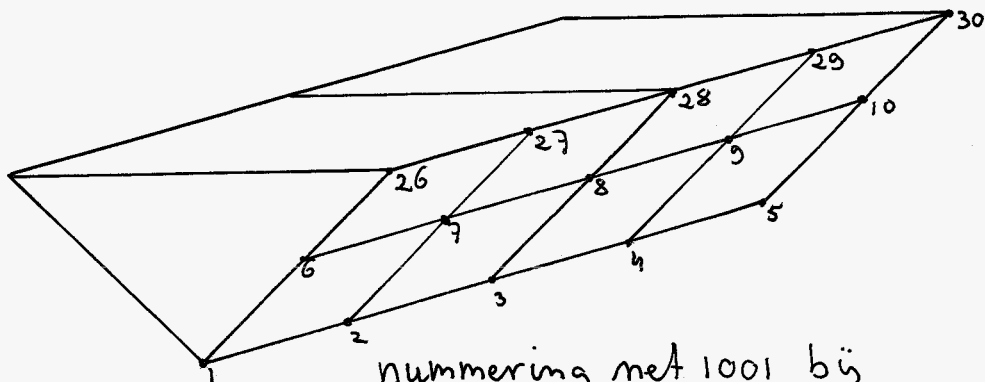
figuur 6

ELEMENT NUMBER

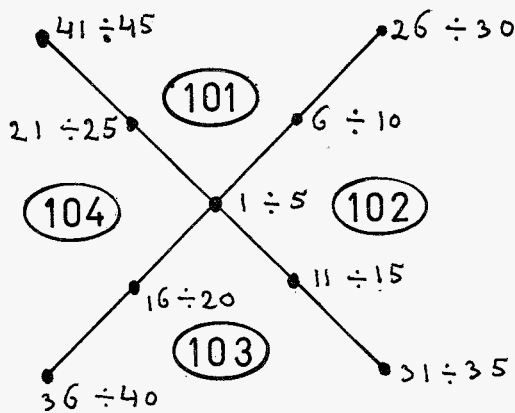
net 11: element ① + ②  
 net 12: element ③  
 net 13: element ④



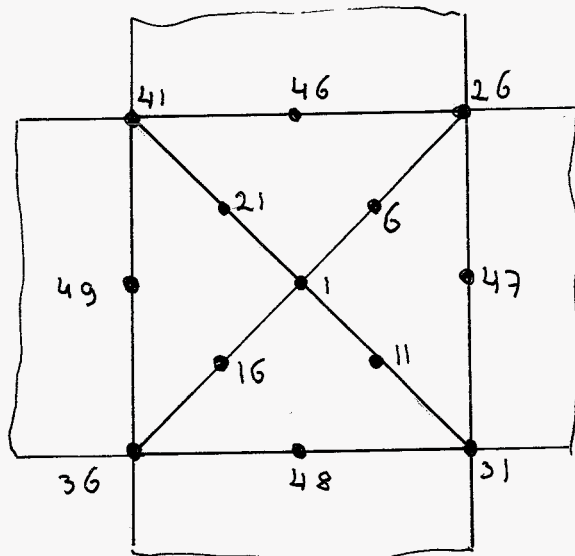
NUMBERING EXTERNALS ON LEVEL 2



nummering met 1001 bij  
toepassen symmetrie-trunk



idem, zonder trunk



Bijlage D

Koppelen HEXEC 27 aan QUABC 9

Het combineren van dikwandige schaalementen met  
volume-elementen in ASKA.

Inleiding

Het combineren van elementen van verschillende families leidt in het algemeen tot koppelproblemen, omdat de sets verplaatsingsgrootheden niet overeenstemmen.

Zonder moeite zijn er echter voorbeelden te vinden, waarbij een konstruktie vraagt om een verdeling, gedeeltelijk in volume-elementen, en elders in plattere elementen, zoals het in ASKA ontwikkelde dikwandig schaalement QUABC9.

Op dit moment (zomer 1976) zijn de door het ISD beschreven koppelingsmogelijkheden beperkt. In dit verslag wordt een ~~schrijfs~~ <sup>redelijk</sup> succesvolle uitbreiding hierop beschreven.

We refereren met name aan de ASKA UM 212 dokumentatie.

De volume-elementen

In principe bieden volume-elementen, zoals PENTAC en HEXEC de gelegenheid om dikwandige schaalementen te beschrijven.

Door de te respekteren lengte-breedte-dikte verhouding leidt dit echter bij dunne vormen snel tot zeer veel elementen en dus tot een groot aantal onbekenden.

Bij het beschreven koppelingsvoorbeeld wordt gebruik gemaakt van HEXEC27, een kubus-achtig element met 3 x 27 vrijheidsgraden u, v, w gerelateerd aan het globale coördinatenstelsel. Zie figuur 1.

Het schaalement

In het UM 214 verhaal worden twee typen schaalementen geïntroduceerd, te weten QUABC9 en QUABX3, welke laatste ontwikkeld is voor axi-symmetrische problemen.

In de hier beschreven koppeling wordt gebruik gemaakt van QUABC9, een <sup>dikwandig schaa-</sup> ~~recht~~ <sup>rechter</sup> achtig element met 9 knooppunten, gelegen in het middenvlak. Zie fig. 2. De plaat-

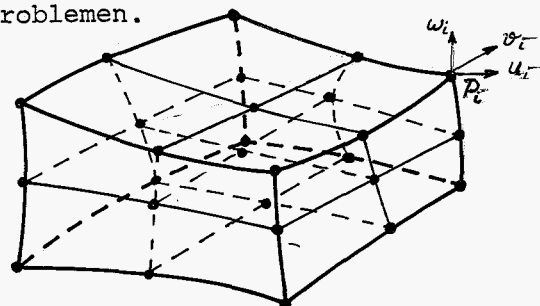


fig 1 HEXEC 27

selijke dikte van het element wordt bepaald door de positie van bij elk knooppunt behorende paar z.g. geometriepunten  $P_{i(u)}$ ,  $P_{i(l)}$

(u=upper, l=lower).

In feite worden de afmetingen en de positie van het element dus geheel bepaald door de coördinaten van de 9 boven- en 9 onderpunten.

(In tegenstelling tot de dunwandige schaalementen, zoals QUAC9 hoeft de lijn  $P_{i(l)} - P_{i(u)}$

niet normaal op het middenvlak te staan).

De vrijheden van de negen echte knooppunten zijn: 3 verplaatsingen (u,v,w) en 2 hoekverdraaiingen ( $\alpha, \beta$ ), gerelateerd aan een lokaal ortogonaal assenstelsel,

waarbij de w-richting loopt van het onder- naar het bovenpunt, en de beide hoekverdraaiingen rond de u-resp. v-richting.\*

Een mogelijke andere set van vrijheden is de volgende:

$$\rho^* = (u_{(u)} \quad v_{(u)} \quad w \quad u_{(l)} \quad v_{(l)})$$

waarbij dus de hoekverdraaiingen vervangen zijn door verplaatsingen van  $P_{i(u)}$  en  $P_{i(l)}$ , loodrecht op de as door

die twee punten.

Uit deze verplaatsings-grootheden blijkt duidelijk het schaal karakter van het element: de rek in w-richting wordt verwaarloosd.

Het werken in ASKA met lokale assenstelsels is mogelijk dankzij het ROTATED BASIS-concept. Daardoor is het mogelijk om verplaatsingen of belastingen voor te schrijven t.o.v. een lokaal stelsel.

Ook bij het koppelen is ROTATED BASIS onmisbaar, zoals zal blijken.

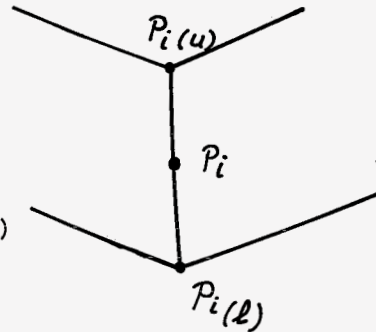
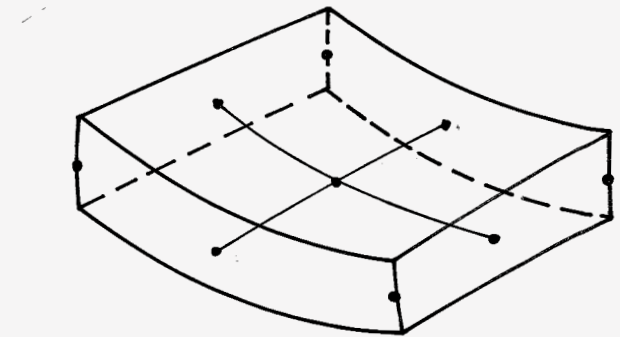
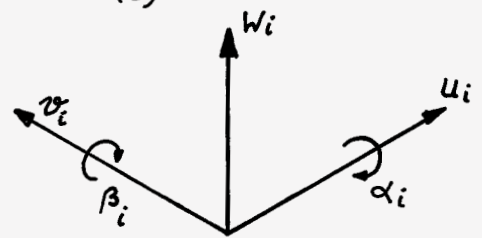


fig 2; QUAC9



\* de richting van u en v zijn willekeurig te kiezen, binnen de conditie van het ortogonale rechtshand-assenstelsel.



Het koppelen

Van de twee meest voor de hand liggende mogelijkheden van koppelen (figuur 3) is op dit moment er slechts een in ASKA toepasbaar.

Geval a: koppeling langs een zijkant van de QUABC9.

Zelfs bij het gebruik van de  $\rho^*$ -verplaatsingsgrootheden, is dit koppelen pas korrekt mogelijk bij gebruik van een "overgangselement", dat aan de onderzijde aansluit op de HEXEC-verplaatsingen, en boven aan de QUABC9.

Dit element is op dit moment in ASKA niet beschikbaar.

Geval b: koppeling langs een oppervlak van de QUABC9, is wel mogelijk, en wel als volgt.

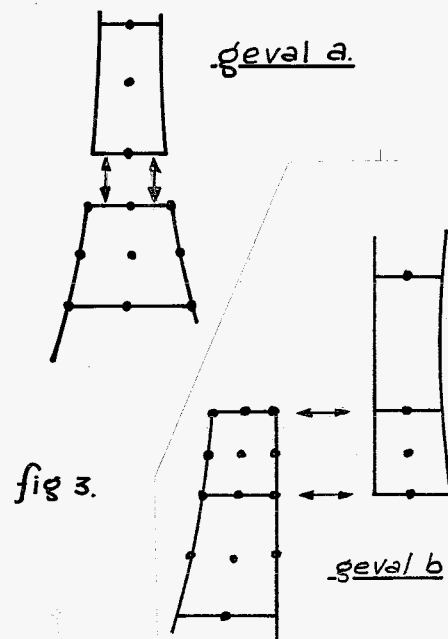


fig 3.

\* ga over op de verplaatsingsgrootheden  $\rho^*$  (d.m.v. een parametersturing in de APC, zie b|2. D4.)

\* bedenk, dat (volgens afspraak) alleen het bovenvlak van de QUABC9 kan worden gekoppeld, en positioneer de elementen dan ook op die manier.

\* pas ROTATED BASIS toe op de 9 betreffende HEXEC knooppunten en op de 9 (midden) knooppunten van de QUABC9: deklareer assenstelsels, waarbij de respectievelijk x, y en z-assen evenwijdig zijn, en de beide z-assen wijzen in de  $p_i(l) - p_i(u)$  richting.

Toch geval a

Het is duidelijk, dat de aansluitmogelijkheid a in veel gevallen gewenst is om de geometrie korrekt te kunnen beschrijven.

Hiertoe is de volgende truuk bedacht: (zie figuur 4) pas geval b toe, maar "verstopt" het te koppelen QUABC9 element in het HEXEC element (beide van dezelfde afmetingen). De koppeling vindt plaats op de upper geometrie punten van de QUABC9.

Het is duidelijk dat dit overgangselement te stijf is.

wijst in de richting van  $\underline{p}_{i(1)} - \underline{p}_{i(u)}$  ?

Noem de verschillen in coördinaten van  $\underline{p}_{i(1)}$  en  $\underline{p}_{i(u)}$

resp.  $X_p, Y_p, Z_p$ , gedefinieerd als

$$X_p = X_u - X_1$$

$$Y_p = Y_u - Y_1$$

$$Z_p = Z_u - Z_1, \text{ en noem het fiktieve punt}$$

met coördinaten  $X_p, Y_p, Z_p : P$ .

We nemen  $p_1$  in de oorsprong. Dan worden de eisen:

z'as: de lijn  $OP$ , x'-as: de lijn  $OP_2$ , y'-as: de lijn  $OP_3$ .

We noemen de bijbehorende vectoren resp.  $\underline{p}, \underline{p}_2, \underline{p}_3$ .

Nu moeten  $(\underline{p}, \underline{p}_2) = 0$

$$(\underline{p}, \underline{p}_3) = 0$$

$$(\underline{p}_2, \underline{p}_3) = 0$$

ofwel

$$X_p \cdot X_2 + Y_p \cdot Y_2 + Z_p \cdot Z_2 = 0 \quad (1)$$

$$X_p \cdot X_3 + Y_p \cdot Y_3 + Z_p \cdot Z_3 = 0 \quad (2)$$

$$X_2 \cdot X_3 + Y_2 \cdot Y_3 + Z_2 \cdot Z_3 = 0 \quad (3)$$

waarbij bekend  $X_p, Y_p, Z_p$ .

We kunnen voor  $P_2$  twee onbekenden kiezen, eerst bijvoorbeeld de richting van de x-as, die alleen aan vgl.

(1) hoeft te voldoen, en daarnaast de afstand van punt 2 tot de oorsprong.

Neem b.v.  $X_2 = 0$  en  $Y_2 = 1$ . Dan wordt (1):

$$Z_2 = - \frac{Y_p}{Z_p} \text{ en dus}$$

$$\underline{p}_2 = (0, 1, - \frac{Y_p}{Z_p})$$

Vergelijking (3) wordt dan

$$Y_3 = \frac{Y_p}{Z_p} \cdot Z_3 \quad (4)$$

Nu kunnen we ook voor  $P_3$  de afstand  $OP_1$  kiezen, bijvoorbeeld impliciet daar  $Y_3 = 1$  te nemen.

Met (4) wordt (2) dan

$$x_p \cdot x_3 + \frac{y_p}{p} + z_p \cdot \frac{z_p}{y_p} = 0, \text{ en dus}$$

$$p_3 = \left( -\frac{y_p}{x_p} - \frac{z_p^2}{x_p y_p}, 1, \frac{z_p}{y_p} \right)$$

Uitgewerkt geeft dit voor knooppunt n van de QUABC9-verzameling:

$$\$R\emptyset TB \ N = 1 \quad C = 9$$

$$\begin{array}{ccccccc} \cdot & & & & & & \\ \cdot & & & & & & \\ n & 0.0.0. & 0. & 1. & \left(-\frac{y_p}{z_p}\right) & \left(-\frac{y_p}{x_p} - \frac{z_p^2}{x_p y_p}\right) & 1. & \left(\frac{z_p}{y_p}\right) \\ \cdot & & & & & & & \\ \cdot & & & & & & & \end{array}$$

Voor het aan dit knooppunt te koppelen HEXEC punt gelden uiteraard dezelfde data.

3. Ter herinnering zij vermeld dat in het in te lezen data block de mogelijkheid bestaat tot het overschrijven van data. Dit komt te pas bij het inlezen van de halve stijfheid voor de te koppelen elementen. Zij b.v. slechts element 54 en 55 betrokken bij de koppeling, dan kan men inlezen:

```
$EMOD      N=1   C=2   G=A
           1    21000.  .3
$EMDO      N=1   C=2   G=1
           54   11500.  .3
           55   11500.  .3
```

### Testprobleem

Het doel van het testen was tweeledig:

- Onderzoeken of het halveren van de resp. stijfheden van de koppel-elementen, reële eigenschappen aan die elementen toekende, met name de continuïteit in het verplaatsingsveld.
- Bij <sup>veranderlijke</sup> ~~verrichte~~ dikte een "gemengde" konstruktie vergelijken met 2 andere, te weten een bestaande uit alleen HEXEC's en een andere bestaande uit alleen QUABC9 elementen.

Daartoe zijn drie kongruente, balkachtige vormen getest. Zie figuur 5.

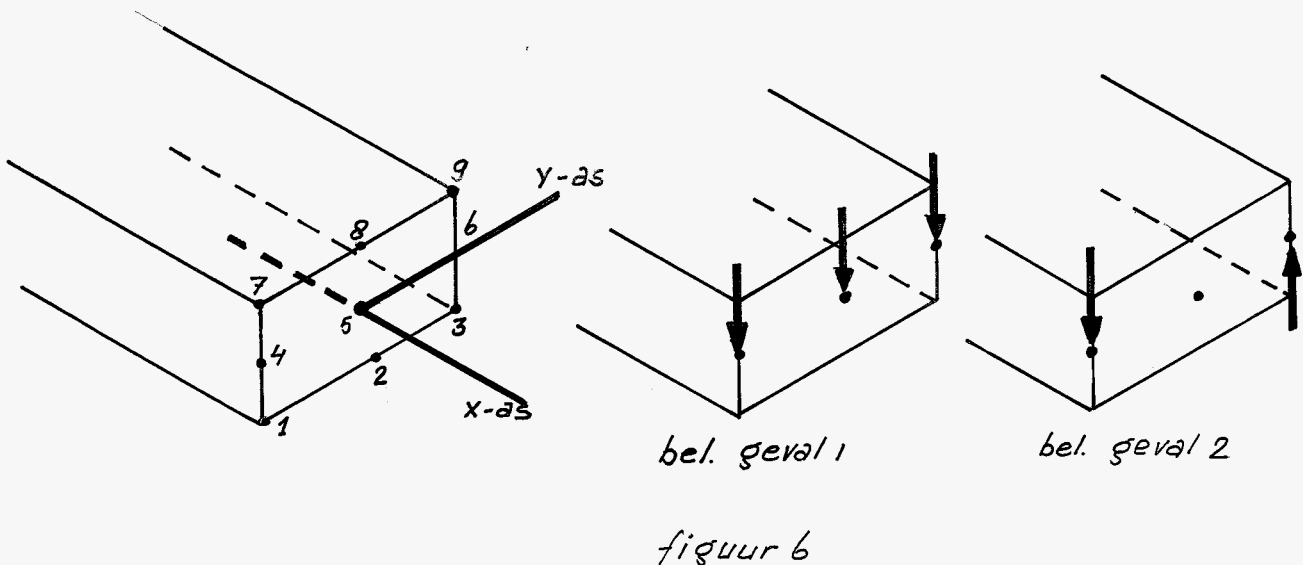
Twee belastingsgevallen: zuivere torsie en zuivere buiging.

Drie diktes: hoogte 2., 1., en 0.2, bij elementlengte 4 en breedte 4.

Voor het koppellement in de gemengde balk is de halve stijfheid ingevoerd.

De bedragen dienen slechts per rij te worden vergeleken.

. Belastingsgeval 1: buiging	HEXE	QUAB	Komb.	Exakt
- balken, hoogte 2: (Zie fig. 6)				
zakking punten 4,5,6 eindvlak	315,7	317,9	323,7	319.4
hoekverdraaiing eindvlak (rond y-as)		108.4	111.6	108.9
zakking midden van balk (x=22)	98.0	99.1	98.3	99.8
- balken, hoogte 1:				
zakking punten 4,5,6	251.6	253.4	253.9	255.6
hoekverdraaiing		86.7	87.3	87.1
zakking midden	78.0	78.9	78.1	79.9
- balken, hoogte 0.2:				
zakking punten 4,5,6	311.9	314.1	312.2	319.4
hoekverdraaiing		107.9	107.4	108.9
zakking midden	96.2	97.4	96.3	99.8



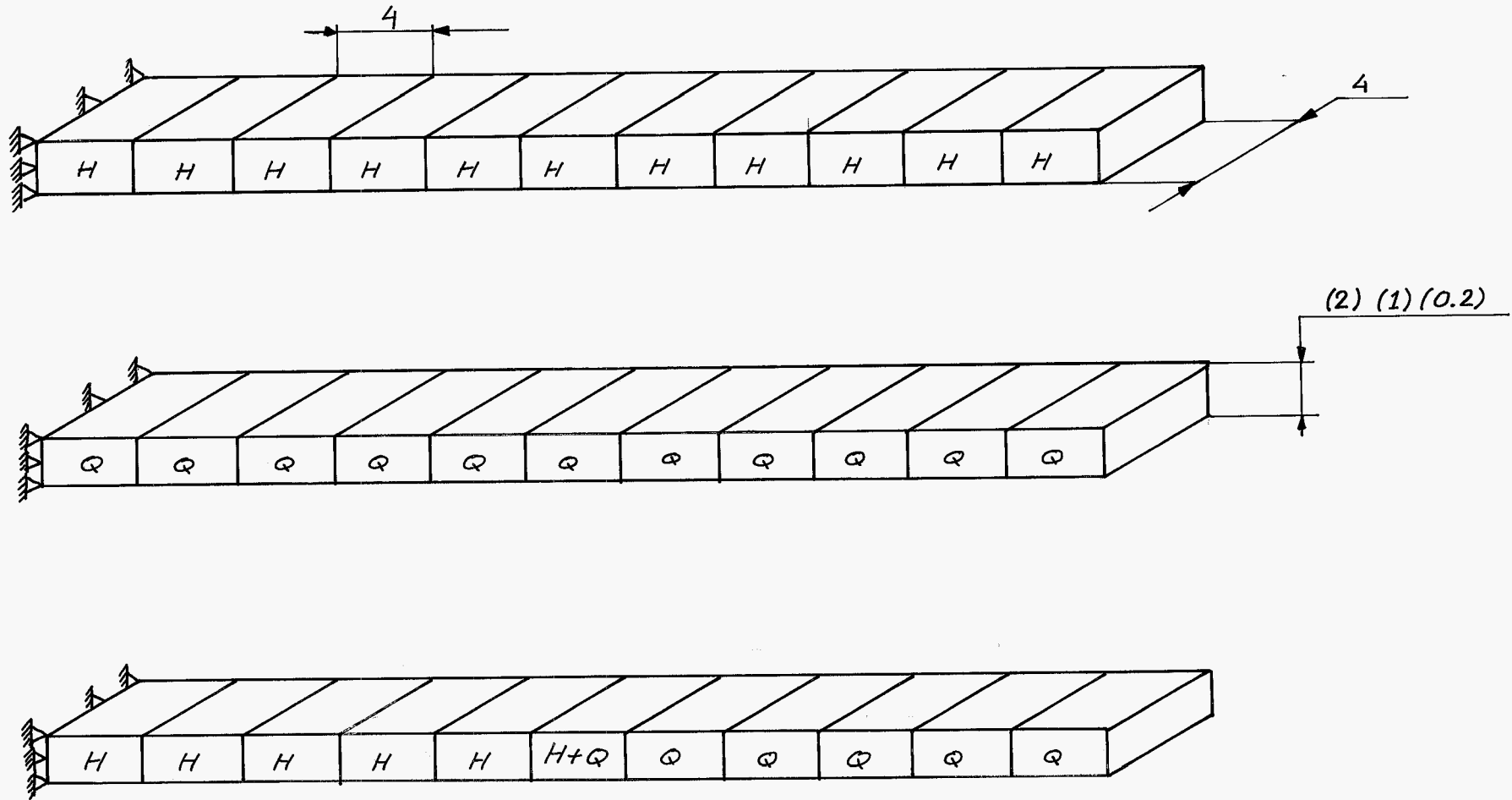


FIGURE 6

. Belastingsgeval 2: torsie

	HEXE	QUAB	Komb.	Exakt
- balken, hoogte 2:				
hoogteverschilpunt				
4 en 6 (eindvl.) . . . . .	107.2	112.1	111.5	125.2
hoekverdraaiing eind-				
vlak (punt 5) . . . . .		54.6	54.3	62.6
verplaatsing eindvlak				
in y-richting . . . . .	0.	0.	4.5	0.
- balken, hoogte 1:				
hoogteverschil punt				
4 en 6 . . . . .	71.6	72.6	72.4	81.4
hoekverdraaiing . . . . .		36.0	36.0	40.7
verpl. y richting . . . . .	0.	0.	0.5	0.
- balken, hoogte 0.2:				
hoogteverschil punt				
4 en 6 . . . . .	83.2	83.2	83.1	85.8
hoekverdraaiing . . . . .		41.6	41.5	42.9
verpl. y-richting . . . . .	0.	0.	$6 \cdot 10^{-3}$	0.

N.B. De verplaatsingen in y-richting zijn per blok  
vergelijkbaar met het afgedrukt hoogteverschil  
tussen punt 4 en 6.

Slotopmerkingen

1. De overeenkomsten in het optredende vervormingspatroon zijn fraai te noemen. Er is geen aanleiding te vinden om andere dan de gebruikte waarden voor de stijfheden van de koppel-elementen te kiezen, hoewel de korrektheid van de werkwijze niet bewezen is.
2. Over de verschillen tussen de resultaten van de HEXEC-balk, de QUABC9-balk, en de exakte oplossing kunnen we het volgende zeggen.  
De beide elementtypen zijn zeer waarschijnlijk niet compatibel op de grensvlakken. Dit feit maakt vergelijking van de resultaten moeilijker, en wel om de volgende reden.  
Bij compatibele verplaatsingsvelden leidt de gevolgde methode ( de verplaatsingsmethode ) steeds tot overschatting van de stijfheid, waarbij de overschatting naar nul konvergeert bij toename van het in de verdeling gebruikte aantal elementen  
Bij niet-kompatibele velden geldt dit niet meer, en bestaat de mogelijkheid, dat bij een bepaalde verdeling de gevonden stijfheid lager is dan de exakte.

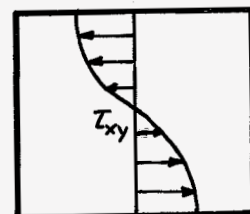
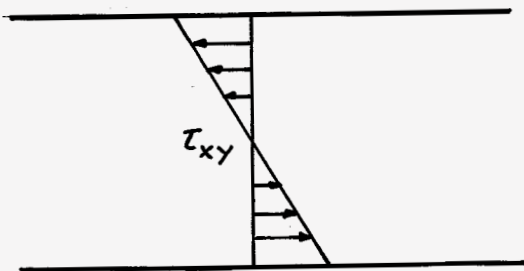
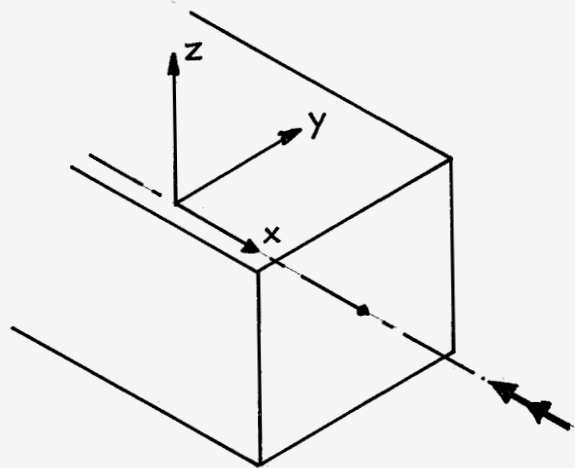
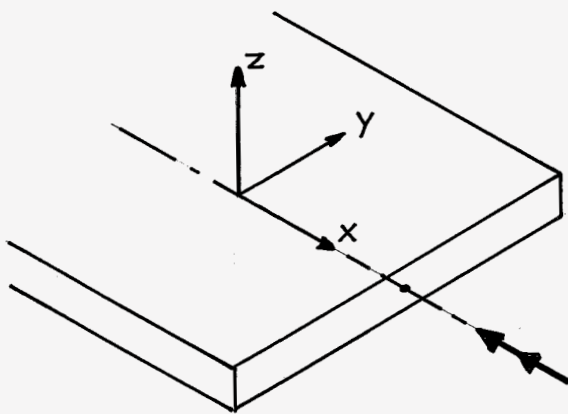
In ons testprobleem zou dit gedeeltelijk of zelfs geheel gekompenseerd kunnen zijn door de te grote stijfheid, die optreedt bij de verhinderd van welving en dwarskontractie ter plaatse van de inklemming.

3. Los van punt 2. kunnen we iets zeggen over de verschillen in de berekende hoekverdraaiingen ten gevolge van de torsiebelasting, afhankelijk van de hoogte van de balk. Het in de elementenmethode veronderstelde verplaatsingsveld zal beter overeenkomen met de werkelijkheid naarmate de hoogte-breedte verhouding meer verschilt van 1. Dan immers is het gebied van de spanningsloze hoeken relatief veel kleiner, en verloopt de schuifspanningskomponent  $\tau_{xy}$  buiten die hoeken slechts weinig in y-richting.

In dat gebied is  $\tau_{xy}$  slechts lineair afhankelijk van de hoogte, terwijl bij de balk met vierkante doorsnede die spanningskomponent sterk verloopt in y-richting, en niet-lineair verloopt in x-richting.

Onderstaande figuur laat dit zien.

Alleen de  $\tau_{xy}$ -component op  $y=0$  is getekend.



Bijlage E

Verdeelde belasting in ASKA





Het betreft element no. 3, waarbij op de knooppunten, die in de topologie als 1e, 7e, 19e en 25e zijn ingelezen een druk staat normaal op oppervlak 5, ter grootte van resp. 18, 12, 14 en 16 drukeenheden.

De getallen 1,7,19 en 25 volgen uit de nummering van de uitgeklapte kubus.

Bij de puntmethode wordt geen oppervlak opgegeven, maar direkt de eigen knooppuntnummers en de bijbehorende druk, en wel in getallen-groepjes van vier. Hetzelfde voorbeeld in de punt-methode:

\$	BQIN	C = 8	S = 25								
	3	1.	7.	19.	25.	18.	12.	14.	16.		

De volgorde van inlezen van de knooppunten is niet belangrijk, maar moet uiteraard overeenstemmen met de volgorde van de opgegeven drukken.

Voor het QUABC 9 element geldt:

De druk kan worden opgegeven op de 9 upper-geometriepunten en de 9 lower-geometriepunten, waarbij voor beide series geldt, dat de positieve richting (ongeveer) samenvalt met de positieve z-richting, dat is van  $P_{i,1}$  naar  $P_{i,u}$ . (Ongeveer want de druk is gedefinieerd loodrecht op het oppervlak ter plaatse, terwijl de z-as (de verbinding van lower- en upperpunt) niet loodrecht op het oppervlak hoeft te staan).

Voorbeeld:

\$	BQIN	N = 13	C = 9	S = 10								
	7.	8.1	8.0	7.9	8.4	8.3	8.1	8.6	8.0	7.6		

Het betreft element 7, de eerste 9 kolommen bevat nullen ( $S=10$ ) en de 9 gevulde kolommen betreffen de lowerpunten.

De waarden zijn positief, dus de druk is hier positief, het oppervlak in. Zie blz. 27 van het ASKA-rapport.

### E.3 Volumebelasting HEXEC

Deze wordt opgegeven door de *komponenten van de* kracht per eenheid van volume  $\rho \omega^2 r$  in te lezen voor alle acht hoekpunten. We krijgen derhalve 24 reals:

$$\begin{array}{l} \$ \text{ BQIN} \quad C = 24 \\ 17 \quad (F_{1x}, F_{1y}, F_{1z}, F_{1x}, \dots, F_{7z}, F_{8x}, F_{8y}, F_{8z}) \end{array}$$

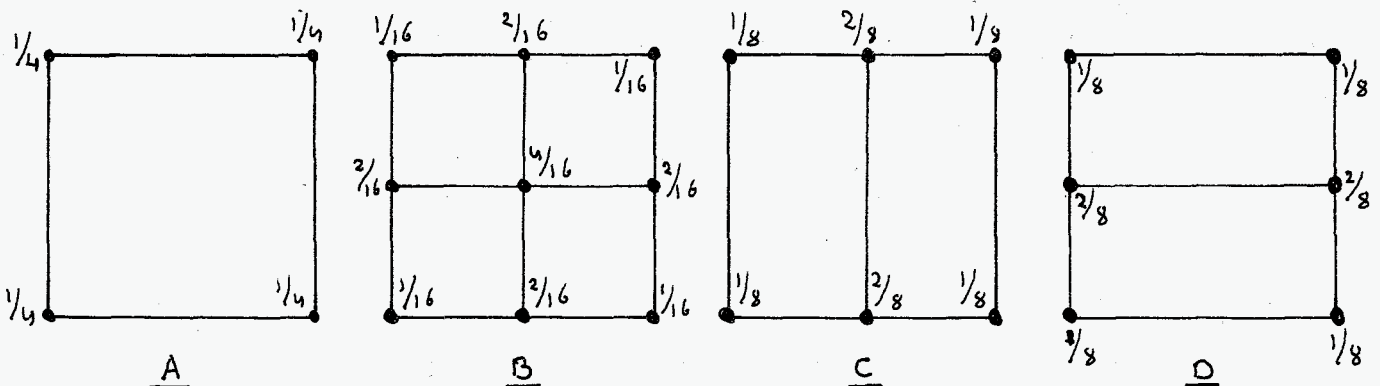
In ons geval van rotatie rond de x-as zijn de componenten  $F_{1x}, F_{2x}$  etc. nul.

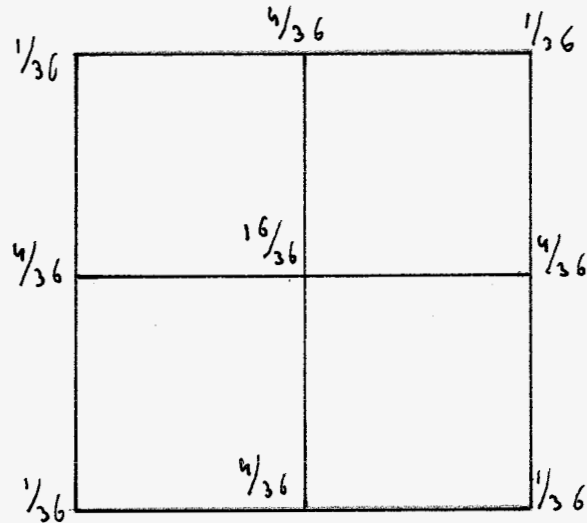
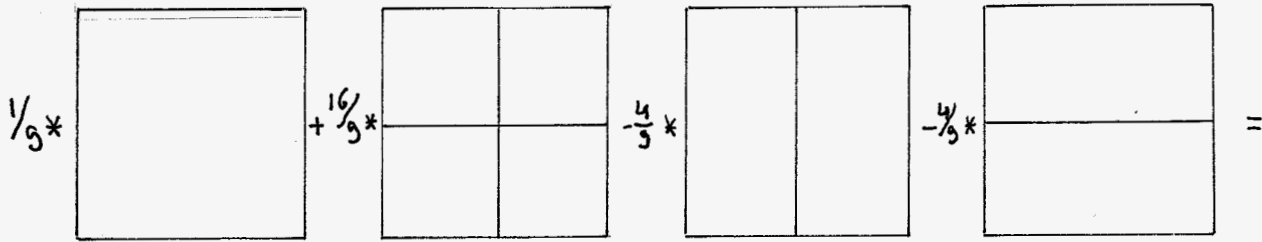
### E.4 Volumebelasting QUABC 9

Om zelf knooppuntskrachten te genereren op basis van volumekrachten is het in ieder geval nodig om te weten hoe bij de ideale elementvorm de knooppuntskrachten zich verhouden bij de representatie van een (homogeen) volumekrachten-veld.

Uit een eenvoudige test met een QUABC 9 element, voorzien van een homogene drukbelasting is gebleken dat de verhouding van de bijbehorende knooppuntskrachten 1:4:16 is. Zie figuur en tekst par. 6.2.12.1. Op basis hiervan is ELMAKRA ontworpen. Deze procedure vult een array  $KR[*,*]$ , behorende bij een knooppuntenarray. KR bevat na afloop de krachtvectoren in y- en z-richting van de knooppunten van alle elementen die massakrachten ondervinden t.g.v. rotatie rond de x-as.

De verhouding 1:4:16 *krachten wa te bemerkstelligen* door superpositie van een aantal "elementaire" verdelingen. Zie onderstaand schema, waarin de vier te gebruiken componenten staan afgebeeld.





De werkwijze is als volgt:

Gegeven een te bewerken element. We zoeken vermenigvuldigingsfactoren behorende bij elk der vier verdelingen zodanig dat in de gesommeerde versie de verhouding 1:4:16 terug te vinden is.

(Als versie C en D dezelfde faktor hebben, krijgen alle vier de knooppunten halverwege de ribben een evengrote bijdrage).

De op te lossen vergelijkingen zijn:

$$\frac{1}{4} \cdot f_A + \frac{1}{16} \cdot f_B + \frac{1}{8} \cdot f_C + \frac{1}{8} \cdot f_D = 1/36$$

$$\frac{2}{12} \cdot f_B + \frac{2}{8} \cdot f_C = 4/36$$

$$\frac{4}{16} \cdot f_B = 16/36$$

en ook:  $\frac{2}{16} \cdot f_B + \frac{2}{8} \cdot f_D = 4/36$

Hieruit volgt:

$$f_A = 1/9$$

$$f_B = 16/9$$

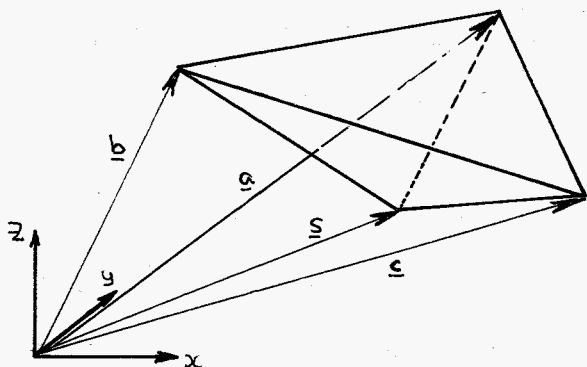
$$f_C = f_D = -4/9$$

Hoe bepalen wij nu zo goed mogelijk het volume van een blokachtig element (deeltje)?

Wij moeten onze toevlucht zoeken in de sommatie van viervlakken, omdat de zijvlakken van het kubusachtige deeltje zadelvlakken (kunnen zijn: de vier knooppunten liggen dan niet in één vlak).

Centraal in ELMAKRA werkt de procedure "bijdrage viervlak", waarin voor een viervlak opgespannen door de vektoren, s, a, b, en c het produkt  $IV$  r wordt bepaald.

( $IV$  = volume viervlak, r = afstand x-as tot zwaartepunt).



$$IV = \frac{1}{6} \text{Det} (\underline{s}-\underline{a}, \underline{s}-\underline{b}, \underline{s}-\underline{c})$$

$$R_i = \frac{\underline{s}_i + \underline{a}_i + \underline{b}_i + \underline{c}_i}{4}; \quad i = 2, 3$$

Een prisma met een vierhoek als basis is opgebouwd gedacht uit 5 viervlakken. Zodoende ontstaat, door binnen de procedure "bijdrage prisma" 5 maal "bijdrage viervlak" aan te roepen de bijdrage van dit prisma. Door nu "bijdrage prisma" aan te roepen voor de elementbrokjes zoals in de eerste figuur is getekend en te sommeren zoals beschreven, ontstaan de 2 9 krachtvektor-komponenten, die een benaderende maat zijn voor de volumekrachten t.g.v. rotatie rond de x-as.

ELMAKRA is opgenomen in de blad-programma procedure BQMASSA die de uitvoer verzorgt in ASKA-formaat. Zie pag. 6.2.12.

Bijlage F

Overwegingen bij de keuze van drie-dimensionale  
elementen in ASKA

## Overwegingen bij de keuze van volume-elementen in ASKA

### 1. Inleiding

Uit de binnen ASKA, zie [1], beschikbare elementen dient een verantwoorde keuze te worden gemaakt t.b.v. het analyseren van de schroef. De volgende aspecten zijn daarbij van belang:

1. de aard van de spanningstoestand in de schroef en het beschouwde gedeelte van de schroefas
2. een goede beschrijving van de geometrie van de constructie
3. de kwaliteit van het element m.b.t. de nauwkeurigheid van de resultaten.
4. de mogelijkheden voor het koppelen van elementen van verschillende type
5. de benodigde rekentijd
6. voor het blad: de mogelijkheid binnen ASKA voor het in rekening brengen van verdeelde oppervlakte- en volumebelasting
7. de "hanteerbaarheid" van het element m.b.t. het verschaffen van invoergegevens.

De spanningstoestand in de as, de naaf, de bladwortel en het aangrenzende bladgedeelte zijn duidelijk drie-dimensionaal, zodat we hier 3-D-elementen zullen moeten toepassen. Voor het blad kunnen wellicht schaalelementen een toepassing vinden.

### 2. Mogelijke keuze van de 3-D-elementen

De in ASKA-beschikbare 3-D-elementen zijn: (zie [1])

- de TET 4-familie (TET 4, PERTET 4, PELTET 4, HETET 4)
- de TET 10-familie (TET 10, PERTET 10, PELTET 10, HETET 10)
- PENTA 6
- PENTA 18 en PENTAC 18
- HEXE 8
- HEXE 27 en HEXEC 27.

De TET-4 familie valt af wegens de beperkte eigenschappen van deze elementen (per element zijn slechts konstante spanningen mogelijk).

Gebaseerd op de konklusies van het testrapport PRGL-TEST-R71-1 (zie hiervoor de twee laatste bladzijden van deze appendix) kunnen we het volgende schrijven: De elementen PENTA 6 en HEXE 8 vervallen wegens de in het rapport genoemde tekortkomingen.

De keuze tussen de resterende elementen laten we voorlopig open; bij een gelijk aantal vrijheidsgraden blijken HEXE 27 en HEXEC 27 wat nauwkeuriger te zijn dan PENTA 18, PENTAC 18 en de TET 10 familie; HEXE 27, HEXEC 27 en PENTAC 18 vereisen een ca. tweemaal zo grote rekentijd als PENTA 18 en de TET 10 familie, zie het testrapport.

Voor het nauwkeurig beschrijven van de geometrie kan, wegens de plaatselijk sterk gekromde oppervlakken met duidelijk minder elementen worden volstaan, indien elementen met gekromde zijvlakken (PENTAC 18, HEXEC 27) worden toegepast.

Wegens de nauwkeurigheid in de resultaten van het testprobleem valt de keuze dan op de HEXEC 27.

(De enige plaats waar een rij PENTAC 18 is gebruikt is in de as en wel om redenen die in 3.4 zijn beschreven).

De overige in 1. genoemde gezichtspunten leveren voor deze keuze geen problemen:

- HEXEC 27 en PENTAC 18 zijn goed koppelbaar, de sets vrijheidsgraden op de grensvlakken komen overeen. De afwijking t.g.v. het niet compatibel zijn van de respektievelijke zijvlakken is van dezelfde orde als de afwijking die optreedt bij de koppeling van HEXEC's onderling.
- oppervlaktebelasting en volumebelasting kunnen in rekening worden gebracht (m.b.v. de processor BQ)
- de geometrie van de elementen kan eenvoudig gedefinieerd worden door het opgeven van de coördinaten der knooppunten.

### 3. Keuze van de elementen voor het blad

Voor het blad is aanvankelijk ook gekozen voor HEXEC 27 elementen. Vooral bij high-skew schroeven blijkt de bladtip echter dermate dun te worden, dat bij een beperkt aantal elementen, de elementen te dun worden.

Bovendien kan wegens de spanningstoestand in het blad, wellicht met minder rekentijd vergende schaalementen worden volstaan.

De mogelijkheden binnen ASKA daarvoor zijn de dunwandige schaalementen

SHEBA 3 en SHEBA 6 en het dikwandige schaalement QUABC 9. Indien wij

- teneinde de rekenkosten te beperken - in een zo groot mogelijk deel van het blad schaalementen kiezen, worden die elementen vrij dik. Onze keuze valt derhalve op QUABC 9.

Bovendien zijn de SHEBA elementen voor de gebruiker moeilijk te hanteren, daar de geometrie van de elementen op nogal vermoeiende wijze (eerste en tweede afgeleiden) moet worden beschreven.

Met betrekking tot de nauwkeurigheid en de rekentijd zijn nog nauwelijks testrapporten beschikbaar. De rekentijd voor QUABC 9 zal echter *waarschijnlijk* *be-* duidend kleiner zijn dan voor HEXEC 27 (45 vrijheidsgraden versus 81), terwijl de nauwkeurigheid voldoende lijkt voor de bladtip.

(Enige indruk van QUABC 9 in vergelijking met HEXE 27 krijgt men uit de resultaten, beschreven in Appendix D).



Voor de overige onder 1. genoemde gezichtspunten merken wij op:

- QUABC 9 is een gekromd element en kan derhalve de bladgeometrie goed beschrijven
- de koppeling van QUABC 9 aan HEXEC 27 levert problemen (van voorbijgaande aard) op, in Appendix D is aangegeven hoe we deze moeilijkheden hebben omzeild
- met processor BQ kunnen we wel een drukbelasting beschrijven maar (nog) geen volumebelasting. In Appendix E is een voorlopige oplossing voor dit probleem beschreven.
- de geometrie van de elementen kan eenvoudig beschreven worden door de deklaratie van de geometriepunten.

### Conclusies en opmerkingen.

Uit tabel 1 en 2 volgt dat het PENTA 6 element hier slechte resultaten oplevert terwijl de rekentijd voor de gekozen constructie net zo hoog is als bij gebruik van PENTA 18 en PERTET 10 elementen. Dit is niet zo verwonderlijk omdat de verplaatsingsfuncties onvolledige tweede graads polynomen zijn. Een lineair verloop van de spanningen binnen het element kan dus niet exact worden weergegeven. Het gebruik van dit element is dus af te raden.

Ook het element HEXE 8 is niet aan te bevelen, de resultaten zijn vrij onnauwkeurig en de rekentijden zijn voor ons voorbeeld meer dan 50 procent hoger dan voor PERTET 10 en PENTA 18. Ze zijn zelfs hoger dan voor HEXE 27.

Het element PENTA 18 komt wat rekentijd en nauwkeurigheid betreft praktisch overeen met PERTET 10. Dit element lijkt zeer bruikbaar maar een duidelijke voorkeur voor dit element boven de uit tretaëders opgebouwde elementen PERTET 10 en PELTET 10 is niet aangetoond.

De resultaten van de PENTAC 18 elementen zijn niet beter dan van de PENTA 18 elementen; de rekentijd is echter ongeveer twee maal zo hoog. Het tijdsverschil ontstaat voornamelijk doordat de processor SK in het geval van tabel 5 een circa 7 maal langere tijd opeist. De reden hiervan is waarschijnlijk dat voor PENTAC 18 numerieke integratie over het element wordt toegepast en voor PENTA 18 niet. Dit element kunnen we dus voor het gebruik niet aanbevelen.

De HEXE 27 en de HEXEC 27 geven wat nauwkeuriger resultaten dan de PENTA 18 en de PERTET 10 elementen. De rekentijden zijn echter circa <sup>100</sup>50 procent hoger en voor HEXE 27 en HEXEC 27 praktisch gelijk. Het HEXEC 27 element is niet nauwkeuriger dan het HEXE 27 element. Voor eenzelfde aantal vrijheidsgraden zijn de HEXE 27 elementen dus nauwkeuriger dan de PENTA 18 of de PERTET 10 elementen; voor eenzelfde rekentijd is het nog de vraag welke nauwkeuriger zijn.

Voor PENTA 18 en HEXE 27 zijn de coëfficiënten  $\alpha_{MV}$  en  $\alpha_{MM}$  in tabel 1 hoger dan de analytische oplossing; dit komt doordat de benaderde constructie verzwakt is t.o.v. de werkelijke constructie door het benaderen van de gekromde oppervlakken door platte vlakken.

### Literatuur.

- [ 1 ] TIMOSHENKO, S. Strength of Materials I Hfdst. 12  
 v. Nostrand Company, Princeton, New Jersey (1955).

Bijlage G

Verslag assemblagetest



Report of keyless propeller  
assembly test.

Date of test : August 28, 1975.

Nr.

afdeling

Calculations

opgeg. door

par.

R. Bos

aant. bl.

datum

6

3-9-1975

bedrijf

V. M. IJ. /

Bouw Nr. / ~~Order Nr. / Project Nr.~~ 884

## 1. Situation

Propeller horizontally positioned. Sternshaft vertically lowered into propeller boss.

S. K. F. nut turned on.

Clock sensor for travel measurement on top of propeller.

S. K. F. piston area = 2200 sq. cm.

Required initial dry fit load 114,4 tonnes, required by Lloyd's.

Dead weight of shaft and nut =  $37 + 0,8 = 37,8$  tonnes.

Ambient temperature =  $20,8^{\circ}\text{C}$

Required pull-up = 12,9 mm, according to approved push-up diagram.

## 2. First Mounting

a) Initial axial hydraulic pressure = 
$$\frac{(114,4 - 37,8) \cdot 10^3}{2200}$$
  
34,8 kgf/sq. cm.

This gives the correct position of surface contact and is considered as the starting point for the oil shrink.

## b) Oil Pressure Shrink

Readings see next sheet.

1<sup>st</sup> mounting

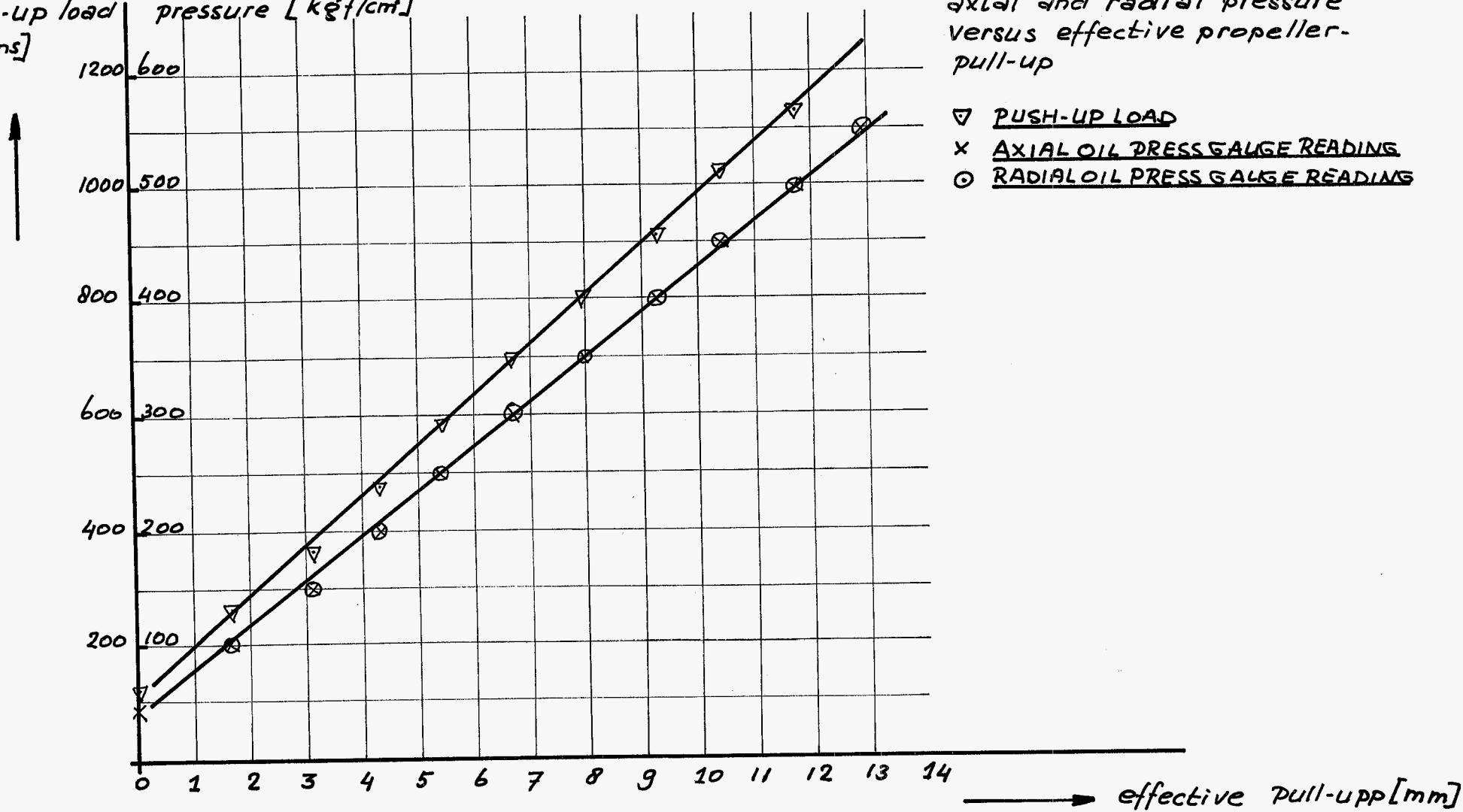
### PROPELLER ASSEMBLY

total  
push-up load  
[tons]

hydraulic  
pressure [kgf/cm<sup>2</sup>]

Push-up load, hydraulic  
axial and radial pressure  
versus effective propeller-  
pull-up

- ▽ PUSH-UP LOAD
- x AXIAL OIL PRESS GAUGE READING
- ⊙ RADIAL OIL PRESS GAUGE READING



2<sup>nd</sup> mounting

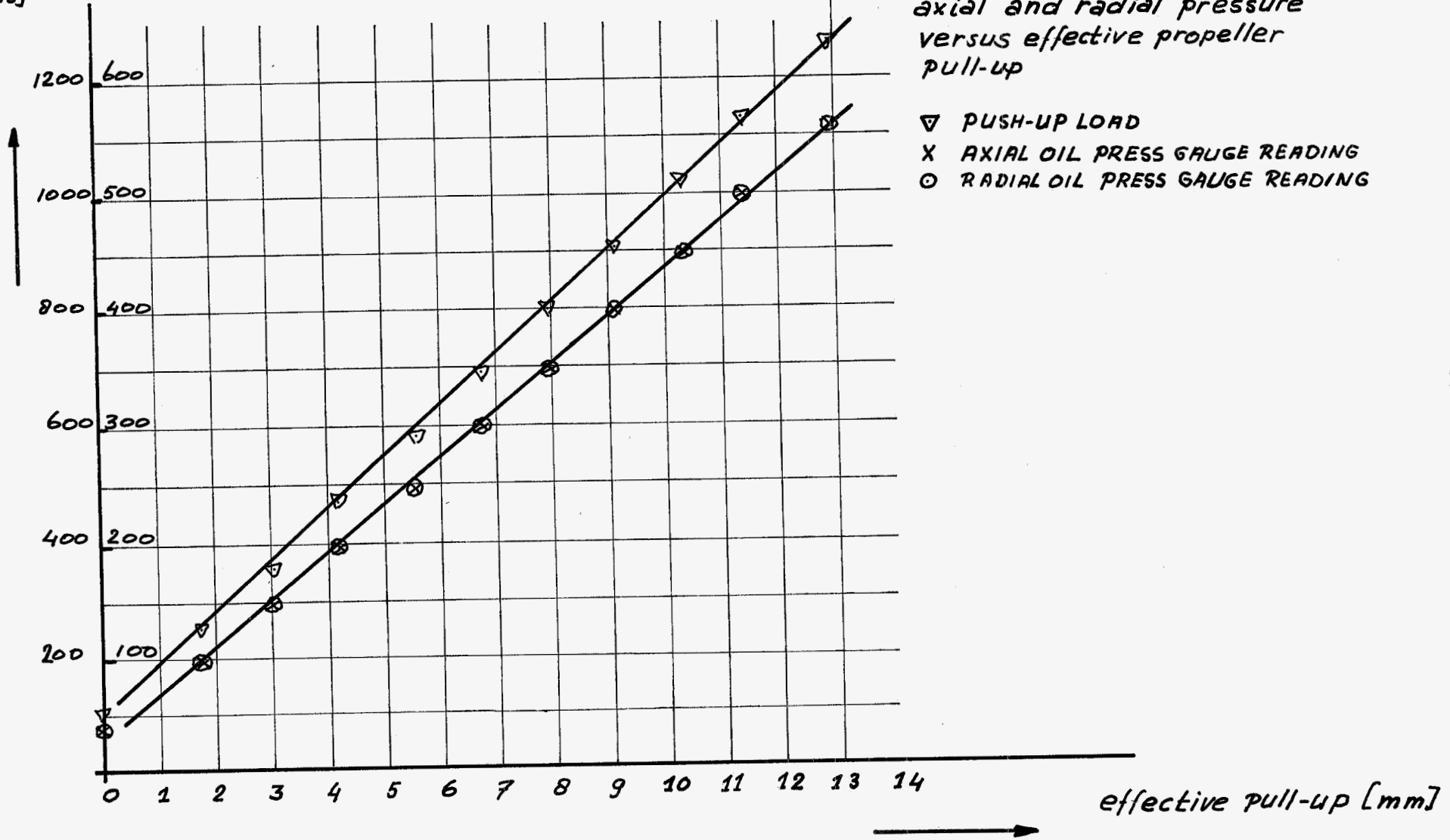
PROPELLER ASSEMBLY

Push-up load, hydraulic axial and radial pressure versus effective propeller pull-up

- ▽ PUSH-UP LOAD
- X AXIAL OIL PRESS GAUGE READING
- RADIAL OIL PRESS GAUGE READING

total push-up load [tons]

hydraulic pressure [kgf/cm<sup>2</sup>]



Readings

Axial oil press. kgf/sq. cm.	Total push-up tonnes	Radial oil press. kgf/sq. cm.	Pull-up mm	Remarks
34,8	114,4	-	0	start
100	257,8	100	1,65	
150	367,8	150	3,10	
200	477,8	200	4,30	
250	587,8	250	5,40	
300	697,8	300	6,65	
350	807,8	350	7,95	
400	917,8	400	9,25	
450	1027,8	450	10,40	
500	1137,8	500	11,70	
550	1247,8	550	12,90	end

See sheet 4.

Radial and then axial hydraulic pressure released.  
Clock reset at 0 mm.

3. Second Mountinga) Dry Cone Force Fit

Axial hydraulic pressure = 34,8 kgf/sq. cm.

## b) Oil pressure shrink.

Readings

Axial oil press. kgf/sq. cm	Total push-up tonnes	Radial oil press kgf/sq. cm	Pull-up mm	Remarks
34,8	114,4	-	0	start
100	257,8	100	1,75	
150	367,8	150	3,05	
200	477,8	200	4,10	
250	587,8	250	5,55	
300	697,8	300	6,75	
350	807,8	350	7,95	
400	917,8	400	9,10	
450	1027,8	450	10,35	
500	1137,8	500	11,40	
560	1269,8	560	12,90	end

See sheet 5.

Radial and then axial hydraulic pressure released.  
Clock pointer remains at 12,90mm.

Bijlage H

Listing van blad-, naaf- en asprogramma



```

? JOB JANKLINGEN ; QUEJ E=3; USER=0216S2417BERT; PROCESSTIME=300; BEGIN
? COMPILE W/ME/JAN/KLINGEN/BERGE/TASTA WITH BEATHE
? COMPILER FILE NEWTAPE (KIND=PUNCH, BLOCKSIZE=0)
? FILE IN (KIND=READER)
? FILE OUT (KIND=PRINTER)
? FILE UIT (KIND=PRINTER)
? FILE BLAD (KIND=PLOTTER30)
$ 'SET' LIST
? DATA
$ 'RESET' LIST
$ 'SET' THELIBRARY
' BEGIN'
$ 'INCLUDE' "DRAWPROCEDURES"
' FILE' IN,UIT,BLAD,OUT;
' ARRAY' PPI, FF, GD, BET, BETI, CIRC, VSV, CPR [0:15],
D, RR[0:25],
COEFFRLL, COEFFLL [1:30,0:5],
COEFFRPPI, COEFFPPI, COEFFRFF, COEFFFF,
COEFFRTT, COEFFTT, COEFFRBET, COEFFBET,
COEFFRBETI, COEFFBETI, COEFFRCIRC, COEFFCIRC,
COEFFRCPR, COEFFCPR,
COEFFRVSV, COEFFVSV, COEFFRGD, COEFFGD [1:15,0:5],
BLI[1:1500,1:3], QF, QB[1:400,1:3],
PHEX, PFACE, PBACK[1:800],
RRV, RRA, LAN, LVN [1:20],
TT, LLV, LLA, LL, YY, TWA, TWB, TWC, TWD,
ALPHA[0:25], STATUSE[0:5], RCE[0:40];
' INTEGER' AP, LAGEN, SNY, RAKE, AR, NG, NT, NBL, NQ, AP2,
J, N, M, TOER, VSCHIP, I;
' REAL' X, XB, XO, YB, YO, L, T, F, LV, LA, GGD, PI,
STR, RG, RB, RD, AT, LS, RTOP, RPOOL, YPOOLCOR,
EPS, PR, PSI, DUM;

' PROCEDURE' PROFIEL (X, XO, YO, XB, YB, AR, TT, FF);
' VALUE' X, TT, FF; ' REAL' X, XO, XB, YO, YB, TT, FF;
' INTEGER' AR;

%% PROFIEL LEVERT (BIJ EEN GEGEVEN KEUZE VAN HET ARNOLDUS-PROFIEL, DE
%% DIKTE TT EN DE WELVING FF), BIJ EEN GEGEVEN X TUSSEN 0 EN 1 TWEE
%% PUNTEN: XO, YO (X- EN Y-COORDINAAT VAN PUNT OP ONDERZIJDE VAN HET
%% PROFIEL) EN XB, YB (IDEM, AAN BOVENZIJDE = RUGZIJDE).
%% DE TWEE PUNTEN HEBBEN ONGEVEER DEZELFDE X-COORDINAAT ALS DE INGE-
%% LEZEN X, FF EN TT WORDEN OP SCHAAL LL (=LENGTE VAN HET PROFIEL) IN-
%% GELEZEN.

' BEGIN' ' REAL' P, PA, Q, QA, R, RA, T, YC, YAC, FAK, A1, A2, A3, A4;
' IF' AR=1 ' THEN' FAK:=1+(TT-0.075)/SQRT((TT-0.075)**2+0.01*TT)
' ELSE' FAK:=0;
A1:=-0.76304+0.5*(2.7170+0.76304)*FAK;
A2:=-0.26012+0.5*(-3.2705+0.26012)*FAK;
A3:=-0.76304+0.5*(-1.6005+0.76304)*FAK;
A4:=-0.26012+0.5*(1.2557+0.26012)*FAK;
' IF' X>0.8-EPS ' AND' X<0.8+EPS ' THEN' P:=PA:=0
' ELSE'
' BEGIN' P:=(0.8-X)**2*LN(ABS(0.8-X));
PA:=(0.8-X)*LN(ABS(0.8-X));
' END';

' IF' X>1-EPS ' THEN' Q:=QA:=0
' ELSE' ' BEGIN' Q:=(1-X)**2*LN(1-X);
QA:=(1-X)*LN(1-X);
' END';

' IF' X<EPS ' THEN' R:=RA:=0
' ELSE' ' BEGIN' R:=X*LN(X);

```

```

      'END';
YC:=(FF*1.302 )*(2.5*(P -Q+0.18-X/5)-R-0.09297+0.3039*X);
YAC:=(FF*1.302 )*(5*(QA -PA)-RA-1.3039);
' IF 'X>EPS 'AND' 'X<1-EPS ' THEN'
  'BEGIN' T:=TT*(A1*(K -SQRT(X)) +A2*(SQRT(X**3)-SQRT(X)) +
    A3*(1-X-SQRT(1-X)) +A4*(SQRT((1-X)**3)-SQRT(1-X)));
    YB:=YC+T/SQRT(1-YAC**2);
    XB:= X+T*YAC /SQRT(1+YAC**2);
    YB:= YC-T/SQRT(1-YAC**2)
  'END'
' ELSE ' T:=X0:=Y0:=XB:=YB:=0;
' END' PROFIEL;

```

```

%
' PROCEDURE ' SPLINE(I, I1, I2, XI, YI, A, B);
' VALUE ' I1, I2;
' INTEGER ' I, I1, I2;
' REAL ' XI, YI;
' REAL ' ' ARRAY ' A, B[1,0];
' BEGIN'
  ' INTEGER ' J, NUMBOFINT;
  ' REAL ' X1, X2, X3, X4, X5, X6, Y1, Y2, Y3, Y4, Y5, Y6;
  ' REAL ' ' ARRAY ' X, Y[I:I2-I1+1];
  ' DEFINE ' A0=A[I,0]#, A1=A[I,1]#, A2=A[I,2]#,
    A3=A[I,3]#, A4=A[I,4]#, A5=A[I,5]#,
    B0=B[I,0]#, B1=B[I,1]#, B2=B[I,2]#,
    B3=B[I,3]#, B4=B[I,4]#, B5=B[I,5]#;
  NUMBOFINT:= I2-I1;
  ' FOR ' I:=I1 ' STEP ' 1 ' UNTIL ' I2
  ' DO ' ' BEGIN ' X[I-I1+1]:=XI; Y[I-I1+1]:=YI ' END ' ;
  ' FOR ' I:=1 ' STEP ' 1 ' UNTIL ' NUMBOFINT
  ' DO ' ' BEGIN '
    ' IF ' I=1 ' THEN'
    ' BEGIN ' X1:=X5:=X[3]; X2:=X4:=X[2]; X3:=X[1]; X6:=X[4];
      Y1:=Y5:=Y[3]; Y2:=Y4:=Y[2]; Y3:=Y[1]; Y6:=Y[4];
    ' END ' % FIRST INTERVAL, 4 BASIC POINTS
    ' ELSE ' ' IF ' I=2 ' THEN'
    ' BEGIN ' X2:=X3; X1:=X3:=X4; X4:=X5; X5:=X6; X6:=X[5];
      Y2:=Y3; Y1:=Y3:=Y4; Y4:=Y5; Y5:=Y6; Y6:=Y[5];
    ' END ' % SECOND INTERVAL, 5 BASIC POINTS
    ' ELSE ' ' IF ' I=NUMBOFINT-1 ' THEN'
    ' BEGIN ' X1:=X2; X2:=X3; X3:=X4; X4:=X5; X5:=X6; X6:=X4;
      Y1:=Y2; Y2:=Y3; Y3:=Y4; Y4:=Y5; Y5:=Y6; Y6:=Y4;
    ' END ' % LAST-BUT-ONE INTERVAL, 5 BASIC POINTS
    ' ELSE ' ' IF ' I=NUMBOFINT ' THEN'
    ' BEGIN ' X1:=X2; X2:=X3; X3:=X4; X4:=X5; X5:=X6; X6:=X2;
      Y1:=Y2; Y2:=Y3; Y3:=Y4; Y4:=Y5; Y5:=Y6; Y6:=Y2;
    ' END ' % LAST INTERVAL, 4 BASIC POINTS
    ' ELSE '
    ' BEGIN ' X1:=X2; X2:=X3; X3:=X4; X4:=X5; X5:=X6; X6:=X[I+3];
      Y1:=Y2; Y2:=Y3; Y3:=Y4; Y4:=Y5; Y5:=Y6; Y6:=Y[I+3];
    ' END ' ; % ALL OTHER INTERVALS, 6 BASIC POINTS
    A0:=( 9*X1 -75*X2+450*X3+450*X4 -75*X5 +9*X6)/768;
    B0:=( 9*Y1 -75*Y2+450*Y3+450*Y4 -75*Y5 +9*Y6)/768;
    A1:=( -13*X1 +81*X2-562*X3+562*X4 -81*X5 +13*X6)/768;
    B1:=( -13*Y1 +81*Y2-562*Y3+562*Y4 -81*Y5 +13*Y6)/768;
    A2:=( -10*X1 +78*X2 -68*X3 -68*X4 +78*X5 -10*X6)/768;
    B2:=( -10*Y1 +78*Y2 -68*Y3 -68*Y4 +78*Y5 -10*Y6)/768;

```

```

A3:=( 18*X1 -106*X2+228*X3-228*X4+106*X5-18*X6)/768;
B3:=( 18*Y1 -106*Y2+228*Y3-228*Y4+106*Y5-18*Y6)/768;
A4:=(      X1  -3*X2  +2*X3  +2*X4  -3*X5  +X6)/768;
B4:=(      Y1  -3*Y2  +2*Y3  +2*Y4  -3*Y5  +Y6)/768;
A5:=( -5*X1  +25*X2  -50*X3  +50*X4  -25*X5  +5*X6)/768;
B5:=( -5*Y1  +25*Y2  -50*Y3  +50*Y4  -25*Y5  +5*Y6)/768;
'END';
'END' OF SPLINE;

```

```

'REAL' 'PROCEDURE' FUNKTIE(S, I, J, CIJ);
%% FUNKTIE BEPAALT BIJ GEGEVEN S EN I DE WAARDE VAN HET VIJFDE-GRADS
%% POLYNOM: FUNKTIE= CIO+S*(CI1+S*(CI2+S*(CI3+S*(CI4+S*(CI5)))));

```

```

'VALUE' S, I;
'REAL' S, CIJ;
'INTEGER' I, J;
'BEGIN' 'REAL' F;
  F:=0;
  'FOR' J:=5 'STEP' -1 'UNTIL' 0 'DO' F:=CIJ+S*F;
  FUNKTIE:=F;
'END' FUNKTIE;

```

```

'BOOLEAN' 'PROCEDURE' SNIJPUNT(I, IBEGIN, IEIND, COEFFR, COEFFL, RPOOL,
                                YPOOL, PHI, RS, LS);

```

```

%% SNIJPUNT ZOEKT HET INTERVAL I VANAF I=IBEGIN TOT MAXIMAAL
%% I=IEIND, WAARVOOR EEN SNIJPUNT (RS,LS) VAN DE LIJN (RPOOL,YPOOL,
%% PHI) EN DE KROMME MET COEFFICIENTEN COEFFR[I,J],COEFFL[I,J] BESTAAT
%% VOOR EEN S MET -1<=S<=1.
%% PHI[RAD] IS DE HOEK VANAF DE NEGATIEVE L-AS TOT DE RECHTE.
%% IS SNIJPUNT=TRUE, DAN LEVERT DE PROCEDURE ZINVOLLE WAARDEN AF VOOR
%% I, RS, EN LS.

```

```

'VALUE' IBEGIN, IEIND, RPOOL, YPOOL, PHI;
'INTEGER' I, IBEGIN, IEIND;
'REAL' 'ARRAY' COEFFR, COEFFL[1,0];
'REAL' RPOOL, YPOOL, PHI, RS, LS;

```

```

'BEGIN'
  'INTEGER' J; 'REAL' S, A, B;
  I:=IBEGIN;
  'IF' ABS(PHI)<3.14159/4
  'THEN' 'BEGIN'
    %% R=A*L+B
    A:=-TAN(PHI); B:=-YPOOL*A+RPOOL;
    'WHILE' 'NOT' (SNIJPUNT:=ZERO IN AB(FUNKTIE(S, I, J,
    A*COEFFL[I,J]-COEFFR[I,J])+B,S,-1-2-6,1+2-6
    ,2-8,2-8)) 'AND' I<IEIND
      'DO' I:=I+1;
    'END'
  'ELSE' 'BEGIN'
    %% L=A*R+B
    A:=-COTAN(PHI); B:=YPOOL-A*RPOOL;
    'WHILE' 'NOT' (SNIJPUNT:=ZERO IN AB(FUNKTIE(S, I, J,
    A*COEFFR[I,J]-COEFFL[I,J])+B,S,-1-2-6,1+2-6
    ,2-8,2-8)) 'AND' I<IEIND
      'DO' I:=I+1;
    'END';
  RS:=FUNKTIE(S, I, J, COEFFR[I,J]);
  LS:=FUNKTIE(S, I, J, COEFFL[I,J]);
'END' SNIJPUNT;

```

```

'PROCEDURE' KNOOPPUNTEN BLAD (BL,DF,OB,RR,LLV,LLA,TT,FF,LAGEN,
                              SNY,AP,RPOOL,RTOP,STR);
'VALUE' LAGEN, SNY, AP, RPOOL, RTOP, STR;

```

```
'ARRAY' BL, QF, QB[*,*],
RR, LLV, LLA, TT, FF [*];
'INTEGER' SNY, LAGEN, AP;
'REAL' RPOOL, RTOP, STR;
%%% KNOOPPUNTEN BLAD LE VERT DE KNOOPPUNTS COORDINATEN VAN DE HEXEC-ELE-
%%% MENTEN AF IN BL[1:NBL, 1:3], EN DE UPPER- RESP. LOWERPUNTEN VAN DE
%%% QUABC9-ELEMENTEN AF IN RESP. QF[1:NQ+77, 1:3], EN QB[IDEM], ALLEMAAL
%%% OVEREENKOMEND MET DE GESTREKTE DOORSNEDE.
'BEGIN'
```

```
'REAL' LVT, LAT, FFT, TTT, % TIJDELIJKE BLADPARAMETERS
PHI, SPHI, CPHI, TPHI, TRUUK, GAM, FAK,
YPOOL, RBAS, YBAS, YTOP,
YH1, YH2, RH1, RH2, PHIBAS, PHITOP, RBGM, YBGM,
ALPHA,
YG, RCG, RCTOP, RCBAS, LSS;
'ARRAY' RSV, RSA, YSV, YSA [0:40],
BDO [1:13, 1:2],
TY[1:LAGEN*26+77, 1:2], TBI[1:64, 1:2],
BETA, GAMMA, DELTA[0:8];
'INTEGER' I, K, T, P, PP, Q;
```

```
%%%%%%%%%% FASE 1 %%%%%%%%%%%
WRITE(OUT, <"AANTAL_HEXEC-LAGEN_IS_" , I2, />, SNY);
WRITE(OUT, <"AANTAL_QUABC-LAGEN_IS_" , I2, />, LAGEN-SNY);
WRITE(OUT, <"INGELEZEN_YPOOLCORRECTIE_IS_" , F 5.3, />, YPOOLCOR);
'FOR' K:=1 'STEP' 1 'UNTIL' AP 'DO' 'BEGIN'
TT[K]:= TT[K]/STR;
FF[K]:= FF[K]/STR;
LLV[K]:= -LLV[K]/STR;
LLA[K]:= LLA[K]/STR; LL[K]:= LLA[K]-LLV[K];
GDE[K]:= (LLV[K]+LLA[K])/2;
'END';
```

```
LSS:= LL[1]/50;
LAGEN:= LAGEN*2;
SNY:= SNY*2;
AP2:= 2*AP;
SPLINE(I, 1, AP2-1, 'IF' I<=AP 'THEN' RRC[I] 'ELSE' RR[AP2-I],
'IF' I<=AP 'THEN' LLA[I] 'ELSE' LLV[AP2-I], COEFFRLL, COEFFLL);
SPLINE(I, 1, AP, RRC[I], GDE[I], COEFFRGD, COEFFGD);
SPLINE(I, 1, AP, RRC[I], TTC[I], COEFFRTT, COEFFTT);
SPLINE(I, 1, AP, RRC[I], FFC[I], COEFFRFF, COEFFFF);
```

```
%%%%%%%%%% FASE 2 %%%%%%%%%%%
%% VINDEN VAN DE POOL: (RPOOL IS INGELEZEN)
SNIJPUNT(I, 1, AP-1, COEFFRLL, COEFFLL, RTOP, 0, 0, RTOP, YTOP);
RG:= RRC[1];
SNIJPUNT(I, 1, AP-1, COEFFRGD, COEFFGD, 1, 0, 0, RH1, YH1);
SNIJPUNT(I, 1, AP-1, COEFFRGD, COEFFGD, 0.95, 0, 0, RH2, YH2);
YPOOL:= (RPOOL-RTOP)*(RH1-RH2)/(YH2-YH1)+YTOP-YPOOLCOR;
WRITE(OUT, <"RPOOL=" , F8.4, X4, "YPOOL=" , F8.4, />, RPOOL, YPOOL);
WRITE(OUT, <"RTOP=" , F8.4, X4, "YTOP=" , F8.4, />, RTOP, YTOP);
```

```
% MAKEN VAN LIJNENWAAIER DOOR POOL:
% ( MET BAS OP LLA);
RBAS:= RG+1.00/LAGEN;
SNIJPUNT(I, 1, 3, COEFFRLL, COEFFLL, RBAS, 0, 0, RBAS, YBAS);
RCTOP:= (YTOP-YPOOL)/(RTOP-RPOOL); PHITOP:= ARCTAN(RCTOP);
RCBAS:= (YBAS-YPOOL)/(RBAS-RPOOL); PHIBAS:= ARCTAN(RCBAS);
WRITE(OUT, <"RBAS=" , F8.4, X4, "YBAS=" , F8.4, />, RBAS, YBAS);
WRITE(OUT, <"RCTOP=" , F8.4, X4, "RCBAS=" , F8.4, />, RCTOP, RCBAS);
PHI:= (PHITOP-PHIBAS)/(LAGEN-1);
'FOR' N:=1 'STEP' 1 'UNTIL' LAGEN 'DO'
'BEGIN'
RCIN:= TAN(PHIBAS+(N-1)*PHI);
ALPHA:= 3.14159/2+(PHIBAS+(N-1)*PHI);
```

```

SNIJPUNT(I,1,AP,COEFFRLL,COEFFLL,RPOOL,YPOOL,ALPHA,
RSA[N],YSA[N]);
SNIJPUNT(I,AP-1,AP-2,COEFFRLL,COEFFLL,RPOOL,YPOOL,ALPHA,
RSV[N],YSV[N]);
RSV[N]:= *-LSS/SQRT(1+RC[N]**2);
RSA[N]:= *+LSS/SQRT(1+RC[N]**2);
YSA[N]:= *+LSS*RC[N]/SQRT(RC[N]**2+1);
YSV[N]:= *-LSS*RC[N]/SQRT(RC[N]**2+1);
'END';
RBGM:=(RSV[LAGEN]+RSA[LAGEN])/2;
YBGM:=(YSV[LAGEN]+YSA[LAGEN])/2;
P:=1;
'FOR'K:=2'STEP'1'UNTIL'12'DO'
'BEGIN'
PHI:=ARCTAN(RC[LAGEN])-(K-1)*3.14159/12+3.14159/2;
SNIJPUNT(I,P,AP-2,COEFFRLL,COEFFLL,RBGM,YBGM,PHI,BOO[K,1],BOO[K,2]);
BOO[K,1]:=*+LSS*SIN(PHI);
BOO[K,2]:=*-LSS*COS(PHI);
P:=I;
'END';

```

```

%%%%%%%%%% FASE 3 %%%%%%%%%%%
% SNY BEPAALT DE PLAATS VAN DE OVERGANG VAN HEXEC NAAR QUABC9
'FOR'N:=1'STEP'1'UNTIL'LAGEN'DO' 'FOR'K:=1'STEP'1'UNTIL'13'DO'
'BEGIN' TY[(N)*13+K,1]:=RSV[N]+(RSA[N]-RSV[N])*(K-1)/12;
TY[(N)*13+K,2]:=YSV[N]+(YSA[N]-YSV[N])*(K-1)/12;
'END';

```

```

T:=LAGEN*13;
NBL:=(SNY+3)*39;
NQ:=(LAGEN-SNY)*13;
% PLAATSBEPAALING PUNTEN BINNEN DE BOOG:
'FOR'I:=1,2'DO' 'BEGIN'
TB[13,I]:=BOO[2,I]; TB[39,I]:=BOO[4,I]; TB[52,I]:=BOO[5,I];
TB[61,I]:=BOO[6,I]; TB[64,I]:=BOO[7,I]; TB[53,I]:=BOO[8,I];
TB[40,I]:=BOO[9,I]; TB[27,I]:=BOO[10,I]; TB[1,I]:=BOO[12,I];
TB[26,I]:=BOO[3,I]; TB[14,I]:=BOO[11,I];
TB[46,I]:=(TB[64,I]+TY[I+7,I])/2;
TB[20,I]:=(TB[46,I]+TY[I+7,I])/2;
TB[62,I]:=(TB[64,I]+TB[46,I])/2;
'FOR'K:=1'STEP'1'UNTIL'5'DO' 'BEGIN'
TB[14+K,I]:=(K*TB[20,I]+(6-K)*TB[14,I])/6;
TB[20+K,I]:=(K*TB[26,I]+(6-K)*TB[20,I])/6;
'END';
'FOR'K:=2'STEP'1'UNTIL'12'DO'
TB[K,I]:=(TB[K+13,I]+TY[T+K,I])/2;
TB[48,I]:=(TB[20,I]*2+TB[52,I])/3;
TB[44,I]:=(TB[20,I]*2+TB[40,I])/3;
TB[33,I]:=(TB[20,I]+TB[46,I])/2; TB[57,I]:=(TB[46,I]+TB[62,I])/2;
TB[63,I]:=(TB[62,I]+TB[64,I])/2; TB[45,I]:=(TB[46,I]+TB[44,I])/2;
TB[31,I]:=(TB[44,I]+TB[13,I])/2; TB[47,I]:=(TB[46,I]+TB[48,I])/2;
TB[35,I]:=(TB[48,I]+TB[22,I])/2; TB[34,I]:=(TB[35,I]+TB[33,I])/2;
TB[32,I]:=(TB[31,I]+TB[33,I])/2; TB[42,I]:=(TB[44,I]+TB[40,I])/2;
TB[50,I]:=(TB[48,I]+TB[52,I])/2; TB[37,I]:=(TB[35,I]+TB[39,I])/2;
TB[38,I]:=(TB[37,I]+TB[39,I])/2; TB[36,I]:=(TB[35,I]+TB[37,I])/2;
TB[29,I]:=(TB[31,I]+TB[27,I])/2; TB[30,I]:=(TB[29,I]+TB[31,I])/2;
TB[28,I]:=(TB[27,I]+TB[29,I])/2; TB[43,I]:=(TB[42,I]+TB[44,I])/2;
TB[41,I]:=(TB[40,I]+TB[42,I])/2; TB[55,I]:=(TB[45,I]+TB[53,I])/2;
TB[59,I]:=(TB[47,I]+TB[61,I])/2; TB[49,I]:=(TB[48,I]+TB[50,I])/2;
TB[51,I]:=(TB[50,I]+TB[52,I])/2; TB[60,I]:=(TB[59,I]+TB[61,I])/2;
TB[58,I]:=(TB[47,I]+TB[59,I])/2; TB[56,I]:=(TB[45,I]+TB[55,I])/2;
TB[54,I]:=(TB[53,I]+TB[55,I])/2;
'FOR'K:=1'STEP'1'UNTIL'64'DO'

```

```

          TY[13+T+K,I]:=TB[K,I];
'END' ALLE PUNTEN;
% NU BEVAT DE RIJ TY[1:T+64,1:2] DE COORDINATEN VAN MIDDENPUNTEN;

%%%%%%%%%% FASE 4 %%%%%%%%%%
% PUNTEN OP HET GRENSVLAK:
'FOR' K:=1 'STEP' 3 'UNTIL' 37 'DO' 'BEGIN'
  PROFIEL((4*(K-1)/3+1)/50, BL[K,1], BL[K,2], BL[K+2,1], BL[K+2,2], AR,
    TTE[1]/LL[1], FF[1]/LL[1]);
  'FOR' I:=1,2 'DO' BL[K+1,I]:=(BL[K,I]+BL[K+2,I])/2;
  'END';
'FOR' K:=1 'STEP' 1 'UNTIL' 39 'DO' 'BEGIN'
  BL[K,1]:= * *LL[1]* STR +LLV[1]* STR;
  BL[K,2]:= * *(STR*LL[1]);
  BL[K,3]:= RG*STR;
  'END';

% MAKEN VAN BACK_ EN FACE_ PUNTEN VOOR DHET HELE BLAD:

'FOR' N:=T+77 'STEP' -1 'UNTIL' 14 'DO' 'BEGIN'
  SNIJPUNT(I,1,AP-1,COEFFRLL,COEFFLL,TY[N,1],0,0,TY[N,1],LAT);
  SNIJPUNT(I,AP,AP-2,COEFFRLL,COEFFLL,TY[N,1],0,0,TY[N,1],LVT);
  SNIJPUNT(I,1,AP,COEFFRF,COEFFFF,TY[N,1],0,0,TY[N,1],FFT);
  SNIJPUNT(I,1,AP,COEFFRT,COEFFTT,TY[N,1],0,0,TY[N,1],TTT);
  PROFIEL((TY[N,2]-LVT)/(LAT-LVT),BL[3*N-2,1],BL[3*N-2,2],
    BL[3*N,1],BL[3*N,2],AR,TTT/(LAT-LVT),
    FFT/(LAT-LVT));
  'END';

'FOR' L:=-2,0 'DO' 'BEGIN'
  BL[3*N+L,1]:= * *(LAT-LVT)*STR+LVT*STR;
  BL[3*N+L,2]:= * *(LAT-LVT)*STR;
  BL[3*N+L,3]:=TY[N,1]*STR;
  'END';

'END';

% COMPLETEREN TOT SNIJVLAK;
'FOR' N:=NBL/3 'STEP' -1 'UNTIL' 14 'DO'
  'FOR' I:=1,2,3 'DO' BL[3*N-1,I]:=(BL[3*N,I]+BL[3*N-2,I])/2;
% DE PUNTEN VOOR DE QUABC WORDEN OPGESLAGEN IN DE RIJEN QF EN QB;
'FOR' N:=1 'STEP' 1 'UNTIL' N0+77 'DO' 'FOR' I:=1,2,3 'DO' 'BEGIN'
  QB[N,I]:=BL[SNY*39+3*N-2,I];
  QF[N,I]:=BL[SNY*39+3*N,I];
  'END';

'END' KNOOPPUNTEN BLAD;

'PROCEDURE' BLADTEK(BL,QF,QB,BLAD);
  'ARRAY' BL,QF,QB(*,*) ;
  'FILE' BLAD;
'BEGIN' 'INTEGER' N1,N2,N3,K,L,M,I,P,Q;
  'ARRAY' HU[1:39,1:3],CUR[1:39,1:3];
  'REAL' SI,CO;

  'PROCEDURE' CURVE(N1,N2,N3,RY);
    'INTEGER' N1,N2,N3; 'ARRAY' RY(*,*) ;
    'BEGIN' 'INTEGER' C,I; C:=C+1;
    'FOR' N:=N1,N2,N3 'DO' 'BEGIN'
      'FOR' I:=1,3 'DO' CUR[C,I]:=RY[N,I]/STR;
      C:=C+1; 'END';
    DRAWPOLYGON(BLAD,C,1,3,CUR[C,1],CUR[C,3],1);
  'END' PROCEDURE CURVE;

'FOR' Q:=1,2,3 'DO'
'FOR' P:=1,2,3,4 'DO'
'BEGIN'

```

```

MAP(BLAD,(P-1)*4.25,(Q-1)*2.95,P*4.25,Q*2.95);
DEFINESPACE(BLAD,1.47,-0.15,-0.48,1.207);
PENCOLOR(BLAD,1);
% DE LIJNSTUKKEN IN HET BLAD:
'FOR'K:=0'STEP'2'UNTIL'LAGEN*2'DO'
  DRAWSTRAIGHTLINEPIECE(BLAD,BL[1+K*39,1]/STR,BL[1+K*39,3]/STR,
    BL[37+K*39,1]/STR,BL[37+K*39,3]/STR,1);
'FOR'K:=0'STEP'2'UNTIL'LAGEN*2+2'DO'
  'FOR'L:=1'STEP'6'UNTIL'37'DO'
    CURVE(L+K*39,L+(K+1)*39,L+(K+2)*39,BL);
  M:=NQ+26;
  'FOR'K:=1'STEP'2'UNTIL'11,
    27'STEP'2'UNTIL'37,49'DO'
    CURVE(K+M,K+M+1,K+M+2,QB);
  CURVE(M+37,M+46,M+49,QB); CURVE(M+49,M+42,M+29,QB);
  CURVE(M+49,M+44,M+33,QB); CURVE(M+51,M+40,M+27,QB);
  CURVE(M+39,M+48,M+51,QB);
% EINDE ELEMENTVERDELING GESTREKT BLAD;
% TEKENEN VAN DE DWARSDOORSNEDES:
% HULPARRAY HU; RCSN ENRCLA ZIJN DE RESP. RICHT. COEFF.;
% GRENSVLAK:
PENCOLOR(BLAD,2);
DRAWCURVE 1(BLAD,I,0,6,BL[6*I+1,1]/STR,BL[6*I+1,2]/STR+RG,1);
DRAWCURVE 1(BLAD,I,0,6,BL[6*I+3,1]/STR,BL[6*I+3,2]/STR+RG,1);
'FOR'L:=0'STEP'2'UNTIL'12'DO'
  DRAWPOLYGON(BLAD,I,1,3,BL[L*3+I,1]/STR,BL[L*3+I,2]/STR+RG,1);
% SNIJVLAK HEXECS _ QJABC:
'FOR'K:=1'STEP'1'UNTIL'39'DO' 'BEGIN'
  HU[K,3]:=BL[SNY*78+K,3]/STR;
  HU[K,2]:=BL[SNY*78+K,2]/STR;
  HU[K,1]:=BL[SNY*78+K,1]/STR;
  'END';
  SI:=SIN(ARCTAN(RC[SNY*2]));
  CO:=COS(ARCTAN(RC[SNY*2]));
'FOR'K:=1'STEP'1'UNTIL'39'DO' 'BEGIN'
  HU[K,1]:=* + HU[K,2]*CO;
  HU[K,3]:=* - HU[K,2]*SI;
  'END';
DRAWCURVE 1(BLAD,I,0,6,HU[6*I+3,1],HU[6*I+3,3],1);
DRAWCURVE 1(BLAD,I,0,6,HU[6*I+1,1],HU[6*I+1,3],1);
'FOR'L:=0'STEP'2'UNTIL'12'DO'
  DRAWPOLYGON(BLAD,I,1,3,HU[3*L+I,1],HU[3*L+I,3],1);
% DOORSNIJDING OP HOOGTE 'LAGEN':
'FOR'K:=1'STEP'2'UNTIL'25'DO'
'BEGIN'
  'FOR'I:=1,2,3'DO' 'BEGIN'
    HU[K,I]:=QB[26*(LAGEN-SNY)+(K+1)/2,I]/STR;
    HU[K+1,I]:=QB[26*(LAGEN-SNY)+(K+1)/2,I]/STR;
  'END';
'END';
SI:=SIN(ARCTAN(RC[LAGEN*2]));
CO:=COS(ARCTAN(RC[LAGEN*2]));
'FOR'K:=1'STEP'1'UNTIL'26'DO' 'BEGIN'
  HU[K,1]:=* + HU[K,2]*CO;
  HU[K,3]:=* - HU[K,2]*SI;
  'END';
DRAWCURVE 1(BLAD,I,0,6,HU[4*I+2,1],HU[4*I+2,3],1);
DRAWCURVE 1(BLAD,I,0,6,HU[4*I+1,1],HU[4*I+1,3],1);
'FOR'L:=0'STEP'4'UNTIL'24'DO'
DRAWSTRAIGHTLINEPIECE(BLAD,HU[L+1,1],HU[L+1,3],HU[L+2,1],HU[L+2,3],1);
% EINDE DRIE DOORSNEDES;
% DIVERSEN:
PENCOLOR(BLAD,1);
'FOR'J:=1'STEP'1'UNTIL'AP'DO' 'BEGIN'

```

```

DRAWPOINT(BLAD,LLV[J] ,RR[J],5);
DRAWPOINT(BLAD,LLA[J] ,RR[J],5);
DRAWPOINT(BLAD,1.36,RR[J],5);
DRAWREALVALUE(BLAD,1.44,RR[J] ,1.37,RR[J],0,"F",5,3,RR[J]);
      'END';
DRAWSTRAIGHTLINEPIECE(3 LAD,-0.37,0,-0.37,1.02,1);
DRAWSTRAIGHTLINEPIECE(3 LAD,1.36 ,1.02,1.36,0,1);
DRAWSTRAIGHTLINEPIECE(3 LAD,1.36 ,1.02,-0.37,1.02,1);
DRAWSTRAIGHTLINEPIECE(3 LAD,1.36 ,0 , -0.37,0,1);
DRAWSTRAIGHTLINEPIECE(3 LAD,1.47,-0.15,-0.48,-0.15,1);
DRAWSTRAIGHTLINEPIECE(3 LAD,-0.48,-0.15,-0.48,1.207,1);
DRAWSTRAIGHTLINEPIECE(3 LAD,1.47,1.207,1.47,-0.15 ,1);
DRAWSTRAIGHTLINEPIECE(3 LAD,1.47,1.207,-0.48,1.207,1);
CLOSEPICTURE(BLAD);
'END';
LOCK(BLAD);
'END' BLADTEK;

'PROCEDURE' BQHYDRO(BL, QF, QB, TOER, VSCHIP, PSI, PR, BET, BETI, CIRC, VSV);
'VALUE' TDER, VSCHIP, PSI, PR;
'ARRAY' BL, QF, QB [*,*],
        BET, BETI, CIRC, VSV [*];
'REAL' PSI, PR;
'INTEGER' TOER, VSCHIP;

%% BQHYDRO LEVERT VOOR ELK OPPERVLAKKIG KNOOPPUNT VAN DE HEXECS IN HET
%% BLAD EN ELK KNOOPPUNT VAN DE QUABC9-ELEMENTEN DE GROOTTE VAN HET
%% DRUKVERSCHIL, BEREKEND OP DE NEUS-STAARTLIJN TER PLAATSE.
%% BQHYDRO MOET DAN OOK KOMEN DIREKT NA KNOOPPUNTEN BLAD.

'BEGIN' 'ARRAY' DRUK[1:600];
      'REAL' VA, VSCHIPMET, TOERS, DUM, LV, LA;
      'INTEGER' K,L,J,M,A,B,C,EL,AL,I;
      VSCHIPMET:= 0.5144*VSCHIP; % OMZETTING KNOPEN IN METER/SEC.
      TOERS:= TOER/60 ; % TOERS IS PER SEKONDE
'FOR' J:=1'STEP'1'UNTIL'AP-1'DO'
  'BEGIN' VA:= VSV[J]*(1-PSI)*VSCHIPMET;
          CPR[J]:=CIRCI[J]*TOERS*4*STR**2*104.5*SQRT(VA**2+(3.14159*
          TOERS*2*STR*RR[J])**2)/(COS((BETI[J]-BET[J])/57.29)
          *3.6*0.278*(LLA[J]-LLV[J])*STR);
          CPR[J]:= * * PR; % BIJ NACA 0.8 IS PR=1.111
WRITE(OUT,<"CPR[" ,I2," ]=" ,E9.2, />,J,CPR[J]);
'END'; SPLINE(I,1,AP ,RR[I],CPR[I],COEFFRCPR,COEFFCPR);

%% DE HEXEC'S: (DE KOPPELLAAG WORDT BY QUAB IN REKENING GEBRACHT)

M:=0;
WRITE(OUT,<"$BQIN",X3," N=13",X2," S=25",X2," C=5",X2," G=1",X2," L=2",
      X2,"*_HY)RODYN._BELASTING_HEXEC", />);
'FOR' K:=1'STEP'1'UNTIL' SNY 'DO'
'FOR' L:=1'STEP'6'UNTIL' 37'DO'
  'BEGIN' M:=M+1;
          A:=(K-1)*78+L; % A IS HET NUMMER UIT DE RIJ BL;
          SNIJPUNT(I,1,AP-1,COEFFRCPR,COEFFCPR,BL[A,3],0,0,DUM,DRUK[M]);
          SNIJPUNT(I,1,AP ,COEFFRLL,COEFFLL,BL[A,3],0,0,DUM,LA);
          SNIJPUNT(I,AP,AP-1,COEFFRLL,COEFFLL,BL[A,3],0,0,DUM,LV);
          'IF' BL[A,1] > (LA-(LA-LV)/5)
          'THEN' DRUK[M]:= * *(LA-BL[A,1]/STR)/(LA-(LA-LV)/5);
  'END';
'FOR' K:=1'STEP'1'UNTIL' SNY 'DO'
'FOR' L:=1'STEP'1'UNTIL' 6'DO'
  'BEGIN' B:=(K-1)*6+L;

```



```
WRITE(OUT,<X7,I3,X2,"-5",X3,E9.2,X2,E9.2,X2,E9.2,X2,E9.2,/>,  
B,DRUK[B+K],DRUK[B+K-1],DRUK[B+K+7],DRUK[B+K+6]);
```

13L

```
'END';
```

```
%% DE QUABC9'S: (INCLUSIEF DE KOPPELLAAG)
```

```
WRITE(OUT,<"$BQIN",X3,"N=14",X2,"S=10",X2,"C=9",X2,"G=1",X2,"L=2",  
X2,"*_HYDRODYN._BELASTING_QUABC9"/>);
```

```
'FOR' N:= N0+77 'STEP' 1 'UNTIL' 1 'DO'
```

```
'BEGIN'
```

```
SNIJPUNT(I,1,AP-1,CDEFFRCP,CDEFFCPR,QF[N,3],0,0,DUM,DRUK[N]);
```

```
SNIJPUNT(I,1,AP,CDEFFRL,CDEFFLL,QF[N,3],0,0,DUM,LA);
```

```
SNIJPUNT(I,AP,AP2-2,CDEFFRL,CDEFFLL,QF[N,3],0,0,DUM,LV);
```

```
'IF' QF[N,1] > (LA-(LA-LV)/5)
```

```
'THEN' DRUK[N]:= * *(LA-QF[N,1])/(LA-(LA-LV)/5);
```

```
'END';
```

```
'FOR' K:=0 'STEP' 1 'UNTIL' LAGEN-SNY+1 'DO'
```

```
'FOR' L:=1 'STEP' 1 'UNTIL' 6 'DO'
```

```
'BEGIN' EL:= K*6+L;
```

```
A:= K*26+2*L-1; B:= A+13; C:= A+26;
```

```
WRITE(OUT,<X7,I3,X3,5(E9.2,X2),/X6,"1",X7,4(E9.2,X2)/>,EL,
```

```
DRUK[A],DRUK[A+1],DRUK[A+2],DRUK[B],DRUK[B+1],
```

```
DRUK[B+2],DRUK[C],DRUK[C+1],DRUK[C+2]);
```

```
'END';
```

```
AL:=C-11;
```

```
WRITE(OUT,<X7,I3,X3,5(E9.2,X2),/X6,"1",X7,4(E9.2,X2)/>,EL+1,
```

```
DRUK[AL+1],DRUK[AL+2],DRUK[AL+3],DRUK[AL+14],DRUK[AL+15],
```

```
DRUK[AL+16],DRUK[AL+25],DRUK[AL+24],DRUK[AL+23]);
```

```
WRITE(OUT,<X7,I3,X3,5(E9.2,X2),/X6,"1",X7,4(E9.2,X2)/>,EL+2,
```

```
DRUK[AL+3],DRUK[AL+4],DRUK[AL+5],DRUK[AL+16],DRUK[AL+17],
```

```
DRUK[AL+6],DRUK[AL+23],DRUK[AL+18],DRUK[AL+7]);
```

```
WRITE(OUT,<X7,I3,X3,5(E9.2,X2),/X6,"1",X7,4(E9.2,X2)/>,EL+3,
```

```
DRUK[AL+7],DRUK[AL+8],DRUK[AL+9],DRUK[AL+18],DRUK[AL+19],
```

```
DRUK[AL+10],DRUK[AL+23],DRUK[AL+20],DRUK[AL+11]);
```

```
WRITE(OUT,<X7,I3,X3,5(E9.2,X2),/X6,"1",X7,4(E9.2,X2)/>,EL+4,
```

```
DRUK[AL+11],DRUK[AL+12],DRUK[AL+13],DRUK[AL+20],DRUK[AL+21],
```

```
DRUK[AL+22],DRUK[AL+23],DRUK[AL+24],DRUK[AL+25]);
```

```
'END' BQHYDR0;
```

```
'PROCEDURE' NPCOOTOPPPUNCH (OUT,BL,QF,QB,LAGEN,SNY);
```

```
'VALUE' LAGEN,SNY;
```

```
'ARRAY' BL,QF,QB[*,*];
```

```
'FILE' OUT;
```

```
'INTEGER' LAGEN,SNY;
```

```
'BEGIN'
```

```
'INTEGER' A,B;
```

```
WRITE(OUT,<"NET(13)(",I3,") (ONDERSTE_DEEL_BLAD)"/>,NBL);
```

```
WRITE(OUT,<"HEXEC27(1)(6)",3(9("(",I2,"",6)"/>),'FOR' A:=0,39,78 'DO'
```

```
'FOR' B:=1 'STEP' 1 'UNTIL' 9 'DO' [A+B];
```

```
WRITE(OUT,<X6,"R(",I2,")(0)",9("(",78)"/>,2(X14,9("(",78)"/>,SNY+1);
```

```
WRITE(OUT,<"$NPC0",X3,"N=13",X2,"C=3",X3,"*_BLAD_NET_13"/>);
```

```
WRITE(OUT,<*(X6,I3,3(X4,F8.1),/)>,NBL,'FOR' N:=1 'STEP' 1 'UNTIL' NBL 'DO'
```

```
[N, BL[N,1],3 BL[N,2],BL[N,3]]);
```

```
WRITE(OUT,<"NET(14)(",I3,") (BOVENDEEL_BLAD)"/>,N0+77);
```

```
WRITE(OUT,<"QUABC9(1)(6)(1,26)(2,26)(3,26)(14,26)(15,26)(16,26)
```

```
(27,26)(23,26)(29,26)"/>);
```

```
WRITE(OUT,<X6,"R(",I3,")(0)(26)(26)(26)(26)(26)(26)(26)(26)"/>,
```

```
LAGEN-SNY+2);
```

```
A:=(LAGEN-SNY+2)*26;
```

```
WRITE(OUT,<"QUABC9(1)(1)",9("(",I3,")"/>,
```

```
A+1,A+2,A+3,A+14,A+15,A+16,A+25,A+24,A+23);
```

```
WRITE(OUT,<"QUABC9(1)(1)",9("(",I3,")"/>,
```

```
A+3,A+4,A+5,A+16,A+17,A+6,A+23,A+18,A+7);
```

```
WRITE(OUT,<"QUABC9(1)(1)",9("(",I3,")"/>,
```

```

A+7, A+8, A+9, A+18, A+19, A+10, A+23, A+20, A+11);
WRITE(OUT, <"QUABC9(1)(1)", 9("(", I3, ")") />,
      A+11, A+12, A+13, A+20, A+21, A+22, A+23, A+24, A+25);
WRITE(OUT, <"$N$ CD", X3, "N=14", X2, "C=3", X3, "*_BLAD, _NET_14***"/>);
WRITE(OUT, <*(X6, I3, X4, F10.1, F10.1, F10.1, F15.1, F10.1, F10.1, /)>,
      NQ+77, 'FOR' N:=1 'STEP' 1 'UNTIL' NQ+77 'DO' [N, QF[N,1], QF[N,2], QF[N,3],
      QB[N,1], QB[N,2], QB[N,3]]);
'END' NPCOOTOPPUNCH;

```

```

'PROCEDURE' ECHE BLAD(BL, QB, QF);
  'ARRAY' BL, QB, QF[*,*];
'BEGIN' 'REAL' PHI, SPHI, CPHI, TRUUK, RAK, GAMMA, PI;
  'INTEGER' I;
SPLINE(I, 1, AP, RREI], P II II]/STR, COEFFRPPI, COEFFPPI);
RAK := TAN(RAKE*3.14159/180);
% EERST DE RIJ BL:
'FOR' N:= NBL 'STEP' -1 'UNTIL' 1 'DO' 'BEGIN'
SNIJPUNT(I, 1, AP-1, COEFF RPPI, COEFFPPI, BL[N,3]/STR, 0, 0, DUM, PI);
PHI := ARCTAN(PI*STR/(6.28318*BL[N,3]));
SPHI := SIN(PHI); CPHI := COS(PHI); TRUUK := BL[N,1];
BL[N,1] := * *SPHI-BL[N,2]*CPHI+ BL[N,3]*RAK;
BL[N,2] := * *SPHI+TRUUK*CPHI;
GAMMA := BL[N,2]/BL[N,3];
BL[N,2] := BL[N,3]*SIN(GAMMA);
BL[N,3] := * *COS(GAMMA);
'END';

```

```

% DE RIJEN QF EN QB:
'FOR' N:= NQ+77 'STEP' -1 'UNTIL' 1 'DO' 'BEGIN'
SNIJPUNT(I, 1, AP-1, COEFF RPPI, COEFFPPI, QF[N,3]/STR, 0, 0, DUM, PI);
PHI := ARCTAN(PI*STR/(6.28318*QF[N,3]));
SPHI := SIN(PHI); CPHI := COS(PHI);
TRUUK := QF[N,1];
QF[N,1] := * *SPHI-QF[N,2]*CPHI+ QF[N,3]*RAK;
QF[N,2] := * *SPHI+TRUUK*CPHI;
GAMMA := QF[N,2]/QF[N,3];
QF[N,2] := QF[N,3]*SIN(GAMMA);
QF[N,3] := * *COS(GAMMA);
TRUUK := QB[N,1];
QB[N,1] := * *SPHI-QB[N,2]*CPHI+ QB[N,3]*RAK;
QB[N,2] := * *SPHI+TRUUK*CPHI;
GAMMA := QB[N,2]/QB[N,3];
QB[N,2] := QB[N,3]*SIN(GAMMA);
QB[N,3] := * *COS(GAMMA);
'END';

```

```

'END' ECHE BLAD;

```

```

'PROCEDURE' BQMASSA (BL, QB, QF);
  'ARRAY' BL, QB, QF [*,*];
%% ANALDOG AAN DE BQ-PROCESSOR IN ASKA, VINDT BQMASSA KNOOPPUNTSKRACHT-
%% TEN VOOR DE QUAB-ELEMENTEN, (OP BASIS VAN EVENWICHTSBESCHOUWINGEN
%% VERDEELD OVER DE KNOOPPUNTEN) ONTSTAAN T.G.V. ROTATIE.
%% DIT BLOK WORDT INGELEZEN BIJ: $NPBR L=3 N=14.
%% TEVENS LEVERT BQMASSA DE INVDER VOOR DE MASSAKRACHTEN VAN NET 13, DE
%% HEXEC'S ONDER DE KOP: $BQIN L=3 N=13.
%% TE PLAATSEN NA ECHE BLAD..
'BEGIN' 'INTEGER' K, L, A, B, C, EL, AL;
  'ARRAY' KR [1:1000, 2:3];

```

```

'PROCEDURE' ELMAKRA(QB, QF, N1, N2, N3, N4, N5, N6, N7, N8, N9, KR);
'VALUE' N1, N2, N3, N4, N5, N6, N7, N8, N9; 'INTEGER' N1, N2, N3, N4, N5, N6, N7, N8, N9;
'REAL' 'ARRAY' QB, QF, KR[*,*];
% GEEFT EEN BYDRAGE VOLUME MAAL STRAAL ZWAARTEPUNT AAN EEN MASSAKRACHTEN

```

```

% MATRIX PER ELEMENT IN DE VERHOUDING N1:N2:N5=1:4:16 .
% AS VAN DRAAIING IS DE X-AS.
' BEGIN' 'INTEGER' I,J;
' REAL' 'PROCEDURE' ABSDET (A1,B1,C1,I); 'REAL' A1,B1,C1; 'INTEGER' I;
' BEGIN' 'REAL' 'ARRAY' A(3,C1:3);
  'FOR' I:=1,2,3 'DO' ' BEGIN' A[I]:=A1;B[I]:=B1;C[I]:=C1 'END';
  ABSDET:=ABS(A[1]*B[2]*C[3]+A[2]*B[3]*C[1]+A[3]*B[1]*C[2]-
    A[3]*B[2]*C[1]-A[1]*B[3]*C[2]-A[2]*B[1]*C[3])
' END' ABSDET;
' PROCEDURE' BYDRAGEVIERV LAK(S,A,B,C,KY,KZ); 'ARRAY' S,A,B,C[*]; 'REAL' KY,KZ;
% BEPAALT HET PRODUKT VOLUME MAAL ZWAARTEPUNTSAFSTAND T.O.V. DE X-AS
% VAN HET VIERV LAK OPGE SPANNEN DOOR DE VEKTOREN S-A,S-B EN S-C
' BEGIN' 'REAL' IV; 'INTEGER' I; 'REAL' 'ARRAY' R(2:3);
  IV:=ABSDET(A[I]-S[I],B[I]-S[I],C[I]-S[I],I)/6;
  'FOR' I:=2,3 'DO' R[I]:=(A[I]+B[I]+C[I]+S[I])/4;
  KY:=IV*R[2]/4; KZ:=IV*R[3]/4;
' END' BYDRAGE VIERV LAK;
' PROCEDURE' BYDRAGE PRISMA(QB,QF,K1,K2,K3,K4,KR,FACTOR);
' VALUE' K1,K2,K3,K4,FACTOR; 'INTEGER' K1,K2,K3,K4; 'REAL' FACTOR;
' REAL' 'ARRAY' QB,QF,KR[*,*];
% GEEFT DE BYDRAGE VAN EEN PRISMA GEVORMD DOOR BOVENVLAK QB[K1,K2,K3,K4]
% EN ONDERVLAK QF[K1,K2,K3,K4] AAN EEN MASSAKRACHTENMATRIX KR BY ROTATIE
% OM DE X-AS VERMENIGVULDIGD MET EEN FACTOR
' BEGIN' 'REAL' KY,KZ;
' PROCEDURE' GEEF BYDRAGE (KR,K1,K2,K3,K4,KY,KZ,FACTOR);
' VALUE' K1,K2,K3,K4,KY,KZ,FACTOR; 'INTEGER' K1,K2,K3,K4; 'REAL' KY,KZ,FACTOR;
' REAL' 'ARRAY' KR[*,*];
' BEGIN' KY:=KY*FACTOR; KZ:=KZ*FACTOR;
  KR[K1,2]:=**KY;KR[K1,3]:=**KZ;KR[K2,2]:=**KY;KR[K2,3]:=**KZ;
  KR[K3,2]:=**KY;KR[K3,3]:=**KZ;KR[K4,2]:=**KY;KR[K4,3]:=**KZ
' END' GEEF BYDRAGE;
BYDRAGE VIERV LAK (QB[K1,*],QB[K4,*],QB[K2,*],QF[K1,*],KY,KZ);
GEEF BYDRAGE (KR,K1,K4,K2,K1,KY,KZ,FACTOR);
BYDRAGE VIERV LAK (QB[K2,*],QB[K4,*],QB[K3,*],QF[K3,*],KY,KZ);
GEEF BYDRAGE (KR,K2,K4,K3,K3,KY,KZ,FACTOR);
BYDRAGE VIERV LAK (QF[K1,*],QF[K2,*],QF[K3,*],QB[K2,*],KY,KZ);
GEEF BYDRAGE (KR,K1,K2,K3,K2,KY,KZ,FACTOR);
BYDRAGE VIERV LAK (QF[K1,*],QF[K4,*],QF[K3,*],QB[K4,*],KY,KZ);
GEEF BYDRAGE (KR,K1,K4,K3,K4,KY,KZ,FACTOR);
BYDRAGE VIERV LAK (QF[K1,*],QB[K2,*],QF[K3,*],QB[K4,*],KY,KZ);
GEEF BYDRAGE (KR,K1,K2,K3,K4,KY,KZ,FACTOR);
' END' BYDRAGE PRISMA;
BYDRAGE PRISMA (QB,QF,N1,N2,N5,N4,KR,16/9);
BYDRAGE PRISMA (QB,QF,N3,N6,N5,N2,KR,16/9);
BYDRAGE PRISMA (QB,QF,N9,N8,N5,N6,KR,16/9);
BYDRAGE PRISMA (QB,QF,N7,N4,N5,N8,KR,16/9);
BYDRAGE PRISMA (QB,QF,N1,N3,N9,N7,KR,1/9);
BYDRAGE PRISMA (QB,QF,N1,N3,N6,N4,KR,-4/9);
BYDRAGE PRISMA (QB,QF,N4,N6,N9,N7,KR,-4/9);
BYDRAGE PRISMA (QB,QF,N1,N2,N8,N7,KR,-4/9);
BYDRAGE PRISMA (QB,QF,N2,N3,N9,N8,KR,-4/9);
' END' ELMAKR;

%% EERST DE QUAB (INCLUSIEF DE KOPPELLAAG) :
WRITE(OUT,<"$NPBR",X3," N=14",X2," L=3",X2," S=2",X2," C=2",X3," * _MASSAKRACH
TEN_QUAB9"/>);
' FOR' K:=0 'STEP' 1 'UNTIL' (LAGEN-SNY) +1 'DO'
' FOR' L:=1 'STEP' 1 'UNTIL' 6 'DO'
  ' BEGIN' A:=K*26+2*L-1;
    B:=A+13;
    C:=A+26;
    ELMAKRA (QB,QF,A,A+1,A+2,B,B+1,B+2,C,C+1,C+2,KR);
  ' END';
AL:=C-11;

```

```
ELMAKRA(QB,QF,AL+1,AL+2,AL+3,AL+4,AL+5,AL+6,AL+7,AL+8,AL+9,AL+10,AL+11,AL+12,AL+13,AL+14,AL+15,AL+16,AL+17,AL+18,AL+19,AL+20,AL+21,AL+22,AL+23,AL+24,AL+25,AL+26,AL+27,AL+28,AL+29,AL+30,AL+31,AL+32,AL+33,AL+34,AL+35,AL+36,AL+37,AL+38,AL+39,AL+40,AL+41,AL+42,AL+43,AL+44,AL+45,AL+46,AL+47,AL+48,AL+49,AL+50,AL+51,AL+52,AL+53,AL+54,AL+55,AL+56,AL+57,AL+58,AL+59,AL+60,AL+61,AL+62,AL+63,AL+64,AL+65,AL+66,AL+67,AL+68,AL+69,AL+70,AL+71,AL+72,AL+73,AL+74,AL+75,AL+76,AL+77,AL+78,AL+79,AL+80,AL+81,AL+82,AL+83,AL+84,AL+85,AL+86,AL+87,AL+88,AL+89,AL+90,AL+91,AL+92,AL+93,AL+94,AL+95,AL+96,AL+97,AL+98,AL+99,AL+100);
'FOR' N:=1 'STEP' 1 'UNTIL' (LAGEN-SNY)*13+77 'DO'
  WRITE(OUT,<X7,I3,X5,E10.3,X3,E10.3,/>>N,KR(IN,2)*2+0,KR(IN,3)*2+0);
```

```
%% NU DE HEXEC'S: (ZONDER DE KOPPELLAAG)
WRITE(OUT,<"$BQIN" X3,"N=13",X2,"L=3",X2,"S=2",X2,"C=2",X2,"G=1",X3,"*_
  MASSAKRACHTEN_HEXEC27"/>);
'FOR' K:=0 'STEP' 1 'UNTIL' SNY 'DO'
'FOR' L:=1 'STEP' 1 'UNTIL' 6 'DO'
'BEGIN' A:=6*(L-1)+K*78+1;
  B:=A+78;
  EL:=L+K*6;
  WRITE(OUT,<X7,I3,X2,2(X3,"0.",X2,E10.3,X2,E10.3),/,
    2(X6,"1",X3,3(X3,"0.",X2,E10.3,X2,E10.3),/)>>EL,BL(A,2),
    BL(A,3),
    BL(A+2,2),BL(A+2,3),BL(A+6,2),BL(A+6,3),BL(A+8,2),BL(A+8,3),
    BL(B,2),BL(B,3),BL(B+2,2),BL(B+2,3),BL(B+6,2),BL(B+6,3),
    BL(B+8,2),BL(B+8,3));
'END';
'END' BQMASSA;
```

```
'PROCEDURE' NPCOPLOTHEK 8;
%% THE BEHOEVE VAN PLOTTEN BIJ PHILIPS VAN HET BLAD WORDT EEN NET 414
%% GEMAAKT, BESTAANDE UIT NEXE-8 ELEMENTEN DIE OVEREENKOMEN MET DE VORM
%% VAN DE QUABC9, PLUS HET ORGINELE NET 13;
'BEGIN' 'ARRAY' HE8(NBL: NBL+400,1:3);
  'INTEGER' AA,BB,A,B,I,N,T,AL;
WRITE(OUT,<"NET(414) (" I3,")(TOTALE _BLAD_T.B.V. _PLOTTEN_BIJ_PHILIPS)"/>
  ,BB:=((LAGEN-SNY)+3)*14+4+NBL);
WRITE(OUT,<"HEXEC27(1)(6)",3(9("(",I2,"6)",/)>,'FOR' A:=0,39,78 'DO'
  'FOR' 8:=1 'STEP' 1 'UNTIL' 9 'DO' [A+B]);
WRITE(OUT,<X6,"R(" I2,")(0)",13(" (78)",/),X9,14(" (78)",/)>,SNY+1);
N:=NBL;
WRITE(OUT,<"HEXEB(2)(6)",8("(",I3,"2)",/)>,N+1,N+2,N+4,N+3,N+15,
  N+16,N+18,N+17);
WRITE(OUT,<X6,"R(" I2,")(0)",8(" (14)",/)>,LAGEN-SNY+2);
B:=BB-18;
WRITE(OUT,<"HEXEB(2)(1)",8("(",I3,")",/)>,
  B+1,B+2,B+4,B+3,B+17,B+18,B+16,B+15);
WRITE(OUT,<"HEXEB(2)(1)",8("(",I3,")",/)>,
  B+3,B+4,B+6,B+5,B+15,B+16,B+8,B+7);
WRITE(OUT,<"HEXEB(2)(1)",8("(",I3,")",/)>,
  B+9,B+7,B+8,B+10,B+11,B+15,B+16,B+12);
WRITE(OUT,<"HEXEB(2)(1)",8("(",I3,")",/)>,
  B+11,B+15,B+16,B+12,B+13,B+17,B+18,B+14);
'FOR' N:=1 'STEP' 1 'UNTIL' (LAGEN-SNY)+3 'DO'
  'FOR' L:=1 'STEP' 2 'UNTIL' 13 'DO'
    'FOR' I:=1,2,3 'DO'
      'BEGIN' T:=L+(N-1)*14;
        HE8(T+NBL,I):=QB(T+(N-1)*12,I);
        HE8(T+NBL+1,I):=QF(T+(N-1)*12,I);
      'END';
AL:=((LAGEN-SNY)+3)*14+NBL;
'FOR' I:=1,2,3 'DO'
  'BEGIN' HE8(AL+1,I):=QB((LAGEN-SNY)*26+75,I);
    HE8(AL+2,I):=QF((LAGEN-SNY)*26+75,I);
    HE8(AL+3,I):=QB((LAGEN-SNY)*26+77,I);
    HE8(AL+4,I):=QF((LAGEN-SNY)*26+77,I);
  'END';
WRITE(OUT,<"$NPCO" X3,"N=414",X2,"C=3"/>);
WRITE(OUT,<*(X6,I3,3(X4,F8.1),/)>>NBL,'FOR' N:=1 'STEP' 1 'UNTIL' NBL 'DO'
  [N,BL(N,1),BL(N,2),BL(N,3)];
'FOR' N:=NBL+1 'STEP' 1 'UNTIL' AL+4 'DO'
```

```

WRITE(OUT,<X7,I3,X4,F8.1,X2,F8.1,X2,F8.1/>,N,HE8(N,1),HE8(N,2),HE8(N,3))
;
'END' NPCOPLOTHEX8 ;
'PROCEDURE' KOPPELGEG;
%%% KOPPELGEG LEVERT TOPOLOGY- EN DATA INVOER VOOR ASKA, MET NAME T.B.V.
%%% DE KOPPELING VAN NET 13 AAN NET 14, INCLUSIEF DE NODIGE ROTATED BA-
%%% SIS DATA. DE GETALLEN ZIJN AFN. VAN DE GEOMETRIE EN HET AANTAL HEXEC
%%% -KNOOPPUNTEN. DE NUMMERING IN HET 101 BEGINT HIERBIJ BIJ 358; DE
%%% EERSTE 357 EXTERNALS ZITTEN IN DE AS EN DE NAAF EN OP HET GRENSVLAK
%%% NAAF-BLAD.
'BEGIN' 'INTEGER' I,N;
      'REAL' DX, DY, DZ, ZP2, XP3, ZP3;
WRITE(OUT,<"***NET13**"/>);
WRITE(OUT,<"EXTERNAL(1,2,3)(39)("I3,"3)"/>,NBL-114);
WRITE(OUT,<"ROTATED",X1,"BASIS(39)("I3,"3)"/>,NBL-114);
WRITE(OUT,<"$ROTB",X2,"N=13",X2,"C=9",X4,"*",X1,"T.B.V._KOPPELEN"/>);
WRITE(OUT,<"***NET14**"/>);
WRITE(OUT,<"EXTERNAL(1,2,3,4,5)(39)(1,1)"/>);
WRITE(OUT,<"ROTATED",X1,"BASIS",X1,"(39)(1,1)"/>);
WRITE(OUT,<"$ROTB",X2,"N=14",X2,"C=9",X4,"*",X1,"T.B.V._KOPPELEN"/>);
'FOR' N:=3 'STEP' 3 'UNTIL' 117 'DO'
  'BEGIN'
    I:= N/3;
    DX:= QF[I,1]-Q3[I,1];
    DY:= QF[I,2]-Q3[I,2];
    DZ:= QF[I,3]-Q3[I,3];
    ZP2:= -DY/DZ;
    XP3:= -DZ*2/(DX*DY)-DY/DX;
    ZP3:= DZ/DY;
    WRITE(OUT,<X7,I3,X5,"0.",X2,"0.",X2,"0.",X4,"0.",X2,"1.",X2,F6.2,X4,
      F6.2,X2,"0.",X2,F6.2/>,NBL-117+N,ZP2,XP3,ZP3);
    WRITE(OUT,<X7,I2,X5,"0.",X2,"0.",X2,"0.",X4,"0.",X2,"1.",X2,F6.2,X4,
      F6.2,X2,"0.",X2,F6.2/>,I,ZP2,XP3,ZP3);
  'END';
WRITE(OUT,<"***NET101**"/>);
WRITE(OUT,<"INSERT",X1,"NET(13)(39)("I3,"3)(453,1)"/>,NBL-114);
WRITE(OUT,<"INSERT",X1,"NET(14)(39)(1,1)(453,1)"/>);
'END' KOPPELGEG;

READ(IN,/) AP, % AANTAL TEKENINGSTRALEN, VANAF AFRONDING, INCL. R=1
STR, % STRAAL VAN DE SCHROEF. [MM]
RB, RD, % STRAAL NAAF VOORZYDE, RESP. ACHTERZYDE. [MM]
AT, % AFSTAND VOORZYDE NAAF TOT TREKKEROORSPRONG. [MM]
LS, % LENGTE VAN DE NAAF. [MM]
TOER, % TOERENTAL. [OMW/MIN]
VRSCHIP, % SCHEEPSSNELHEID IN KNOPEN (GEHEEL GETAL).
PSI, % GEMIDDELD VOLGSTROOMGETAL [ ].
PR, % DRUKCOEFFICIENT UIT NACA - VERHAAL [ ].
'FOR' J:=1 'STEP' 1 'UNTIL' AP 'DO' RRC[J], % TEKENINGSTRALEN, GESCHAALD NAAR 1.
'FOR' J:=1 'STEP' 1 'UNTIL' AP 'DO' PPII[J], % SPOEDVERLOOP, ABSOLUUT [MM].
'FOR' J:=1 'STEP' 1 'UNTIL' AP 'DO' TTI[J], % DIKTEVERLOOP, ABSOLUUT [MM].
'FOR' J:=1 'STEP' 1 'UNTIL' AP 'DO' LLV[J], % LENGTE VOOR, T.O.V. RECHTE TREKKER
'FOR' J:=1 'STEP' 1 'UNTIL' AP 'DO' LLA[J], % LENGTE ACHTER, IDEM
'FOR' J:=1 'STEP' 1 'UNTIL' AP 'DO' FFI[J], % WELVING, OOK ABSOLUUT [MM].
'FOR' J:=1 'STEP' 1 'UNTIL' AP 'DO' BETI[J], % AANSTROOMHOEK BETA [RAD].
'FOR' J:=1 'STEP' 1 'UNTIL' AP 'DO' BETII[J], % EXTRA AANSTROOMHOEK BETA-I [RAD].
'FOR' J:=1 'STEP' 1 'UNTIL' AP 'DO' CIRCI[J], % CIRCULATIE
'FOR' J:=1 'STEP' 1 'UNTIL' AP 'DO' MSVI[J], % VOLGSTROOMVERDELING.
EPS, % KLEIN GETAL, NEEM 3-8.
RAKE, % RAKE IN GEHELE GRADEN; NAAR ACHTER IS POSITIEF
AR, % ARNOLDUS-PROFIEL: SYMETRISCH=1, ANDERS =2.
LAGEN, % AANTAL REGELM. ELEMENTLAGEN; BEGIN B.V. BIJ 15.
SNY, % AANTAL HEXEC-LAGEN; BEGIN BV. BIJ 6;

```

RTOP, % HOOGSTE PUNT LAGEN-GEBIED OP LA; NEEM BV. 0.9  
RPOOL, % HOOGTE POOL VAN DE WAAIER T.B.V. GLOBALE VERDELING  
% BEGIN B.V. MET RPOOL=0.25  
YPOOLCOR);% GESCHAALDE RPOOLCORRECTIE; POS=RICHTING TREKKER;

BLU

KNOOPPUNTENBLAD(BL,QF,QB,RR,LLV,LLA,TT,FF,LAGEN,SNY,AP,RPOOL,RTOP,STR);  
SCALINGFACTORS(BLAD,7.2,7.2); BLADTEK(BL,QF,QB,BLAD);  
BQHYDRO (BL,QF,QB,TDER,VSCHIP,PSI,PR,BET,BETI,CIRC,VSV);  
ECHTE BLAD(BL,QB,QF);  
NPCOPLOTHEX8;  
BQMASSA(BL,QB,QF);  
KOPPELGEG;  
NPCOOTOPPUNCH (OUT,BL,QF,QB,LAGEN,SNY);

'END'.

? DATA IN

12,3300,562,680,850,1300,120,25,0.266,1.111,  
0.25,0.3,0.4,0.5,0.6,0.7,0.8,0.85,0.9,0.95,0.975,1.0,  
6538,6699,6942,7089,7143,7196,6951,6819,6656,6458,6350,6240,  
318.4,286.8,229,178.8,135,96.6,65.3,51.6,39.5,29,24,20,  
770,780,730,580,300,-180,-855,-1265,-1765,-2370,-2770,-3645,  
925,1090,1450,1855,2310,2850,3450,3750,3990,4145,4125,3645,  
63.2,63.6,59.9,52.6,43.3,34.2,27.9,22.5,25,20.8,20.3,20,  
27.878,27.702,25.760,23.256,20.946,18.885,17.097,16.286,15.520,14.791,  
14.440,14.100,  
50.748,46.397,39.361,33.907,29.469,25.714,22.391,20.782,19.271,17.853,  
17.199,16.400,  
0.0399,0.0439,0.0508,0.0568,0.0607,0.0620,0.0596,0.0568,0.0522,0.0452,  
0.0395,0.032,  
0.581,0.692,0.848,0.944,1.009,1.052,1.081,1.091,1.098,1.102,1.103,1.104,  
0.001,0,2,16,5,0.89,0.15,0.1,  
?END JOB

```

WRITE(OUT,<X7,I3,X4,F8.1,X2,F8.1,X2,F8.1/>,N,HE8(N,1),HE8(N,2),HE8(N,3))
;
'END' NPCOPLOTHEX8 ;
'PROCEDURE' KOPPELGEG;
%% KOPPELGEG LEVERT TOPOLOGY- EN DATA INVOER VOOR ASKA, MET NAME T.B.V.
%% DE KOPPELING VAN NET 13 AAN NET 14, INCLUSIEF DE NODIGE ROTATED BA-
%% SIS DATA. DE GETALLEN ZIJN AFN. VAN DE GEOMETRIE EN HET AANTAL HEXEC
%% -KNOOPPUNTEN. DE NUMMERING IN HET 101 BEGINT HIERBIJ BIJ 358; DE
%% EERSTE 357 EXTERNALS ZITTEN IN DE AS EN DE NAAF EN OP HET GRENSVLAK
%% NAAF-BLAD.
'BEGIN' 'INTEGER' I,N;
      'REAL' DX, DY, DZ, ZP2, XP3, ZP3;
WRITE(OUT,<"***NET13**"/>);
WRITE(OUT,<"EXTERNAL(1,2,3)(39)(",I3,",3)"/>,NBL-114);
WRITE(OUT,<"ROTATED",X1,"BASIS(39)(",I3,",3)"/>,NBL-114);
WRITE(OUT,<"$ROTB",X2,"N=13",X2,"C=9",X4,"*",X1,"T.B.V._KOPPELEN"/>);
WRITE(OUT,<"***NET14**"/>);
WRITE(OUT,<"EXTERNAL(1,2,3,4,5)(39)(1,1)"/>);
WRITE(OUT,<"ROTATED",X1,"BASIS",X1,"(39)(1,1)"/>);
WRITE(OUT,<"$ROTB",X2,"N=14",X2,"C=9",X4,"*",X1,"T.B.V._KOPPELEN"/>);
'FOR' N:=3 'STEP' 3 'UNTIL' 117 'DO'
  'BEGIN'
    I:= N/3;
    DX:= QF[I,1]-Q3[I,1];
    DY:= QF[I,2]-Q3[I,2];
    DZ:= QF[I,3]-Q3[I,3];
    ZP2:= -DY/DZ;
    XP3:= -DZ*2/(DX*DY)-DY/DX;
    ZP3:= DZ/DY;
    WRITE(OUT,<X7,I3,X5,"0.",X2,"0.",X2,"0.",X4,"0.",X2,"1.",X2,F6.2,X4,
      F6.2,X2,"0.",X2,F6.2/>,NBL-117+N,ZP2,XP3,ZP3);
    WRITE(OUT,<X7,I2,X5,"0.",X2,"0.",X2,"0.",X4,"0.",X2,"1.",X2,F6.2,X4,
      F6.2,X2,"0.",X2,F6.2/>,I,ZP2,XP3,ZP3);
  'END';
WRITE(OUT,<"***NET101**"/>);
WRITE(OUT,<"INSERT",X1,"NET(13)(39)(",I3,",3)(453,1)"/>,NBL-114);
WRITE(OUT,<"INSERT",X1,"NET(14)(39)(1,1)(453,1)"/>);
'END' KOPPELGEG;

READ(IN,/) AP, % AANTAL TEKENINGSTRALEN, VANAF AFRONDING, INCL. R=1
STR, % STRAAL VAN DE SCHROEF. [MM]
RB,RD, % STRAAL NAAF VOORZYDE, RESP. ACHTERZYDE. [MM]
AT, % AFSTAND VOORZYDE NAAF TOT TREKKEROORSPRONG. [MM]
LS, % LENGTE VAN DE NAAF. [MM]
TOER, % TOERENTAL. [OMW/MIN]
VSCHIP, % SCHEEPSSNELHEID IN KNOPEN (GEHEEL GETAL).
PSI, % GEMIDDELD VOLGSTROOMGETAL [ ].
PR, % DRUKCOEFFICIENT UIT NACA - VERHAAL [ ].
'FOR' J:=1 'STEP' 1 'UNTIL' AP 'DO' RRCJJ, % TEKENINGSTRALEN, GESCHAALD NAAR 1.
'FOR' J:=1 'STEP' 1 'UNTIL' AP 'DO' PPIIJJ, % SPOEDVERLOOP, ABSOLUUT [MM].
'FOR' J:=1 'STEP' 1 'UNTIL' AP 'DO' TTIJJ, % DIKTEVERLOOP, ABSOLUUT [MM].
'FOR' J:=1 'STEP' 1 'UNTIL' AP 'DO' LLVLIJJ, % LENGTE VOOR, T.O.V. RECHTE TREKKER
'FOR' J:=1 'STEP' 1 'UNTIL' AP 'DO' LLALIJJ, % LENGTE ACHTER, IDEM
'FOR' J:=1 'STEP' 1 'UNTIL' AP 'DO' FFIJJ, % WELVING, OOK ABSOLUUT [MM].
'FOR' J:=1 'STEP' 1 'UNTIL' AP 'DO' BETLIJJ, % AANSTROOMHOEK BETA [RAD].
'FOR' J:=1 'STEP' 1 'UNTIL' AP 'DO' BETIJJ, % EXTRA AANSTROOMHOEK BETA-I [RAD].
'FOR' J:=1 'STEP' 1 'UNTIL' AP 'DO' CIRCIJJ, % CIRCULATIE
'FOR' J:=1 'STEP' 1 'UNTIL' AP 'DO' MSVIJJ, % VOLGSTROOMVERDELING.
EPS, % KLEIN GETAL, NEEM 3-8.
RAKE, % RAKE IN GEHELE GRADEN; NAAR ACHTER IS POSITIEF
AR, % ARNOLDUS-PROFIEL: SYMETRISCH=1, ANDERS =2.
LAGEN, % AANTAL REGELM. ELEMENTLAGEN; BEGIN B.V. BIJ 15.
SNY, % AANTAL HEXEC-LAGEN; BEGIN BV. BIJ 6;

```

RTOP, % HOOGSTE PUNT LAGEN-GEBIED OP LA; NEEM BV. 0.9  
RPOOL, % HOOGTE POOL VAN DE WAAIER T.B.V. GLOBALE VERDELING  
% BEGIN B.V. MET RPOOL=0.25  
YPOOLCOR);% GESCHAALDE RPOOLCORRECTIE; POS=RICHTING TREKKER;

BLU

KNOOPPUNTENBLAD(BL,QF,QB,RR,LLV,LLA,TT,FF,LAGEN,SNY,AP,RPOOL,RTOP,STR);  
SCALINGFACTORS(BLAD,7.2,7.2); BLADTEK(BL,QF,QB,BLAD);  
BQHYDRO (BL,QF,QB,TDER,VSCHIP,PSI,PR,BET,BETI,CIRC,VSV);  
ECHTE BLAD(BL,QB,QF);  
NPCOPLOTHEX8;  
BQMASSA(BL,QB,QF);  
KOPPELGEG;  
NPCOOTOPPUNCH (OUT,BL,QF,QB,LAGEN,SNY);

'END'.

? DATA IN

12,3300,562,680,850,1300,120,25,0.266,1.111,  
0.25,0.3,0.4,0.5,0.6,0.7,0.8,0.85,0.9,0.95,0.975,1.0,  
6538,6699,6942,7089,7143,7196,6951,6819,6656,6458,6350,6240,  
318.4,286.8,229,178.8,135,96.6,65.3,51.6,39.5,29,24,20,  
770,780,730,580,300,-180,-855,-1265,-1765,-2370,-2770,-3645,  
925,1090,1450,1855,2310,2850,3450,3750,3990,4145,4125,3645,  
63.2,63.6,59.9,52.6,43.3,34.2,27.9,22.5,25,20.8,20.3,20,  
27.878,27.702,25.760,23.256,20.946,18.885,17.097,16.286,15.520,14.791,  
14.440,14.100,  
50.748,46.397,39.361,33.907,29.469,25.714,22.391,20.782,19.271,17.853,  
17.199,16.400,  
0.0399,0.0439,0.0508,0.0568,0.0607,0.0620,0.0596,0.0568,0.0522,0.0452,  
0.0395,0.032,  
0.581,0.692,0.848,0.944,1.009,1.052,1.081,1.091,1.098,1.102,1.103,1.104,  
0.001,0.2,16,5,0.89,0.15,0.1,  
?END JOB



```
? JOB JANKLINGEN, QUEUE=3; USE R=U216S241/BERT; BEGIN
? COMPILE W/HE/JAN/KLINGEN/BERGE/TASTA WITH BEATHE
? FILE IN (KIND = READER)
? FILE FIGUUR (KIND = PLOTTER11)
? FILE BLOK (KIND = PLOTTER11)
? FILE OUT (KIND = PRINTER)
? DATA
```

MAI

```
$ 'RESET' LIST
' BEGIN'
$ 'INCLUDE' "DRAWPROCEDURES"
' FILE' IN, OUT, FIGUUR;
' ARRAY' NAI1:675,1:31, % KNOOPPUNTEN ARRAY
        STATUSIO:51; % HULPARRAY T.B.V. TEKENEN
' INTEGER' Z, AR, N;
' REAL' NL, AT, RN, RNT, RNA, RAV, RAA, PIV, PIG, LAV, LVV, LAG, LVG,
        XO, XB, YO, YB, EPS,
        TV, TG, ABV, AOV, ABT, AOT, STR, RG, FV, FG, RAKE;
' DEFINE' VOETP = N:=1 'STEP' 5 'UNTIL' 66,604 'STEP' 5 'UNTIL' 669,
        71 'STEP' 41 'UNTIL' 563, 76 'STEP' 41 'UNTIL' 568,
        83 'STEP' 41 'UNTIL' 575, 90 'STEP' 41 'UNTIL' 582,
        97 'STEP' 41 'UNTIL' 589, 102 'STEP' 41 'UNTIL' 594,
        107 'STEP' 41 'UNTIL' 599 #;
' DEFINE' GRENSP = N:=95 'STEP' 41 'UNTIL' 587,88 'STEP' 41 'UNTIL' 580,
        81 'STEP' 41 'UNTIL' 573 #;
```

```
' PROCEDURE' PROFIEL (X, XO, YO, XB, YB, AR, TT, FF, AAO, AAB);
' VALUE' X, AR, TT, FF, AAO, AAB;
' REAL' X, XO, YO, XB, YB, TT, FF, AAO, AAB;
' INTEGER' AR;
' BEGIN' 'REAL' P, PA, Q, QA, R, RA, FAK, T, YC, YAC, XZO, YZO, XZB, YZB, AB, AO,
        A1, A2, A3, A4;
        ' IF 'AR' 'EQL' 1 ' THEN'
            FAK := 1 + (TT - 0.075) / SQRT((TT - 0.075)**2 + 0.01 * TT)
            ' ELSE' FAK := 0;
            A1 := -0.76304 + 0.5 * (2.7170 + 0.76304) * FAK;
            A2 := -0.26012 + 0.5 * (-3.2705 + 0.26012) * FAK;
            A3 := -0.76304 + 0.5 * (-1.6005 + 0.76304) * FAK;
            A4 := -0.26012 + 0.5 * (1.2557 + 0.26012) * FAK;
            ' IF 'X' 'GTR' 0.8 - EPS ' AND 'X' 'LSS' 0.8 + EPS ' THEN' P := PA := 0
            ' ELSE' ' BEGIN' P := ((0.8 - X)**2) * LN(ABS(0.8 - X));
                    PA := (0.8 - X) * LN(ABS(0.8 - X)); ' END';
            ' IF 'X' 'LSS' EPS ' THEN' Q := QA := 0 ' ELSE' ' BEGIN' Q := X * LN(X); QA := LN(X);
                    ' END';
            ' IF 'X' 'GTR' 1 - EPS ' THEN' R := RA := 0 ' ELSE' ' BEGIN' R := ((1 - X)**2) * LN(1 - X);
                    RA := (1 - X) * LN(1 - X); ' END';
            YC := (FF * 1.302) * (2.5 * (P - R + 0.18 - X / 5) - Q - 0.09297 + 0.3039 * X);
            YAC := (FF * 1.302) * (5 * (RA - PA) - QA - 1.3039);
            ' IF 'X' 'GTR' EPS ' AND 'X' 'LSS' 1 - EPS ' THEN' ' BEGIN'
                T := TT * (A1 * (X - SQRT(X)) + A2 * (SQRT(X**3) - SQRT(X)) + A3 * (1 - X - SQRT(1 - X)) +
                    A4 * (SQRT((1 - X)**3) - SQRT(1 - X)));
                YZB := YC + T / SQRT(1 - YAC**2);
                XZO := X - T * YAC / SQRT(1 + YAC**2);
                XZB := X + T * YAC / SQRT(1 + YAC**2);
                YZO := YC - T / SQRT(1 - YAC**2) ' END';
            ' ELSE' T := YZO := YZB := XZO := XZB := 0; ' IF 'X = 1 ' THEN' XO := XB := 1
            ' ELSE' ' BEGIN' XO := XZO; XB := XZB; ' END';
            AO := AAO * SQRT(ABS(1 - (2 * XZO - 1)**2)**3);
            AB := AAB * SQRT(ABS(1 - (2 * XZB - 1)**2)**3);
            YO := (YZO - AO);
            YB := (YZB + AB);
' END' PROFIEL MET ALLES DIMENSIEL OOS;
```

```

'PROCEDURE' NP COPUNCH(NA); 'REAL' 'ARRAY' NA(1,1); 'BEGIN'
WRITE(OUT,<673(X6,I3,(X2,F8.1)/)>,'FOR' N:=1 'STEP' 1 'UNTIL' 673 'DO'
EN,NA(N,1),NA(N,2),NA(N,3));
'END';

'PROCEDURE' PLOTVOETVLAK(FIGUUR,NA);
'REAL' 'ARRAY' NA(1,1); 'FILE' FIGUUR;
'BEGIN' 'REAL' X01,X1,Y01,Y1,XORIGIN; 'INTEGER' AANTAL,K,M,N1,N2,N3,
H,I;
'ARRAY' CUR(1:15,1:3);

'PROCEDURE' CURVF(N1,N2,N3,M);
'INTEGER' N1,N2,N3,M;
'BEGIN' 'INTEGER' I,C,H; C:=1;
'FOR' H:=N1+M,N2+M,N3+M 'DO'
'BEGIN' 'FOR' I:=1,2 'DO' CUR(I,I):=NA(H,I);
C:=C+1; 'END';
DRAWCURVE1(FIGUUR,C,1,3,CUR(C,2),CUR(C,1),1);
'END' CURVF;

'FOR' M:=0 'STEP' 1 'UNTIL' 4 'DO' 'BEGIN'
MAP(FIGUUR,XORIGIN),XORIGIN+20*(NA(31,2)-NA(1,2))/(NA(669,1)-NA(1,1)
),20);
XORIGIN:=XORIGIN+20*(NA(669,2)-NA(1,2))/(NA(669,1)-NA(1,1));
DEFINESPACE(FIGUUR,NA(31,2)+200,NA(1,1)-400,NA(1,2)-200,NA(669,1)+
400);
'FOR' N:=1,639 'DO'
DRAWSTRAIGHTLINEPIECE(FIGUUR,NA(N,2),NA(N,1),NA(N+30,2),NA(N+30,1),1);
'FOR' N:=1,31 'DO'
DRAWSTRAIGHTLINEPIECE(FIGUUR,NA(N,2),NA(N,1),NA(N+638,2),NA(N+638,1),1);
'FOR' N:=1,11,21,31,639,649,659,669,71 'STEP' 82 'UNTIL' 563,83 'STEP' 82
'UNTIL' 575,97 'STEP' 82 'UNTIL' 589,107 'STEP' 82 'UNTIL' 599 'DO'
'BEGIN' H:=N+M;
DRAWPOINT(FIGUUR,NA(H,2),NA(H,1),14);
'END';
'FOR' N:=6,16,26,36 'STEP' 5 'UNTIL' 66,604 'STEP' 5 'UNTIL' 634,644,654,664,
148 'STEP' 82 'UNTIL' 588,102 'STEP' 41 'UNTIL' 594,
112 'STEP' 82 'UNTIL' 522,
138 'STEP' 82 'UNTIL' 548,76 'STEP' 41 'UNTIL' 609,
124 'STEP' 82 'UNTIL' 534,90 'STEP' 41 'UNTIL' 582 'DO'
'BEGIN' H:=M+N;
DRAWPOINT(FIGUUR,NA(H,2),NA(H,1),1);
'END';
X HET PLOTEN VAN DE PROFIEL-CONTOUR:
'FOR' N:=83,97 'DO' 'BEGIN' H:=M+N;
INITCURVEPOINTS(NA(H,2),NA(H,1),NA(H+41,2),NA(H+41,1),STATUS);
'FOR' I:=82 'STEP' 41 'UNTIL' 492 'DO'
NEXTPOINTONCURVE(FIGUUR,NA(H+I,2),NA(H+I,1),1,STATUS);
FINISHCURVE(FIGUUR,1,STATUS); 'END';
'FOR' N:=153 'STEP' 82 'UNTIL' 481 'DO' 'BEGIN' H:=M+N;
DRAWSTRAIGHTLINEPIECE(FIGUUR,NA(H,2),NA(H,1),NA(H+36,2),NA(H+36,1),1);
'END';
CURVF(575,614,649,M); CURVF(589,624,659,M); CURVF(575,582,589,M);
CURVF(71,76,83,M); CURVF(97,102,107,M); CURVF(83,90,97,M);
CURVF(11,46,83,M); CURVF(21,56,97,M);
CURVF(563,568,575,M); CURVF(589,594,599,M);
CLOSEPICTURE(FIGUUR);
'END';
LOCK(FIGUUR);
'END' PROCEDURE PLOTVOETVLAK;
'PROCEDURE' KNOOPPUNTEN NA AF(NA); 'ARRAY' NA(*,*)
'BEGIN'

```

```

'REAL' LV, LG, AN, AS, NV, SV, STEEK, STDD, STILL,
PHI, SPHI, CPHI, TPHI,
AFV, AFA, A, B, PERCV, PERCA,
PHIG, SPHIG, CPHIG, TPHIG,
XS, X1, X2, X3, AFS1, AFS2, AFS3,
DD, LL, RAK, TRUUK,
HULP;

'INTEGER' N, K, I, T ;
'LABEL' LAO, LAB;

'PROCEDURE' MID(N1, N2, NM, I);
'VALUE' N1, N2, NM, I;
'INTEGER' N1, N2, NM, I;
'BEGIN' 'INTEGER' K;
'FOR' K:=1 'STEP' 1 'UNTIL' I 'DO' NAI(N1, K) := (NAI(N1, K) + NAI(N2, K)) / 2;
'END' MID;

'PROCEDURE' ZES(N1, N2, N3, N4, N5, N6, N7);
'VALUE' N1, N7;
'INTEGER' N1, N2, N3, N4, N5, N6, N7;
'BEGIN' 'INTEGER' K;
'FOR' K:=1, 2 'DO' 'BEGIN'
NAI(N3, K) := (2 * NAI(N1, K) + NAI(N7, K)) / 3;
NAI(N5, K) := (2 * NAI(N7, K) + NAI(N1, K)) / 3;
'END';
MID(N1, N3, N2, 2); MID(N3, N5, N4, 2); MID(N5, N7, N6, 2);
'END' ZES;

%%%%%%%%%%%%%%%%%%%%%%%%%%%%%%%%%%%%%%%%%%%%%%%%%%%%%%%%%%%%%%%%%%%%%%%%%%
FA SE 1 %%%%%%%%%%%
RAK := TAN(RAKE * 3.14159 / 180);
LV := LAV + LVV; LG := LAG + LVG;
PHI := ARCTAN(PIV / (2 * 3.14159 * RNT)); SPHI := SIN(PHI); CPHI := COS(PHI);
PHIG := ARCTAN(PIG / (2 * 3.14159 * RG)); SPHIG := SIN(PHIG); CPHIG := COS(PHIG);
LL := NL / SPHI; TPHI := TAN(PHI); TPHIG := TAN(PHIG);
PERCV := 0.02;
PERCA := 0.02;
DD := 2 * 3.14159 * RNT / Z;
FV := * / LV; TV := * / LV; ABV := * / LV; ADV := * / LV; % SCHALEN VAN PROFIEL-
FG := * / LG; TG := * / LG; ABT := * / LV; ADT := * / LV; % -PARAMETERS
%%%%%%%%%%%%%%%%%%%%%%%%%%%%%%%%%%%%%%%%%%%%%%%%%%%%%%%%%%%%%%%%%%%%%%%%%%
FA SE 2 %%%%%%%%%%%
%% DE LIJNEN DOOR HET VOETPROFIEL: (ALLE PNT. VOORLOPIG OP R = RNM)
STEEK := (LV / STR - PERCV - PERCA) / 12;
'FOR' N := 0 'STEP' 1 'UNTIL' 12 'DO'
'BEGIN' XS := PERCV + N * STEEK;
X1 := XS;
PROFIEL(X1, XO, YO, XB, YB, AR, TV, FV, ADV, ABV);
AFS1 := YB * CPHI - (XB - XS) * SPHI;
X2 := 1;
AFS2 := (X1 - 1) * SPHI;
AFS3 := 2 * EPS;
LAB: X3 := X1 + (X2 - X1) * ABS(AFS1) / (ABS(AFS1) + ABS(AFS2));
'WHILE' ABS(AFS3) > EPS 'DO'
'BEGIN' PROFIEL(X3, XO, YO, XB, YB, AR, TV, FV, ADV, ABV);
AFS3 := YB * CPHI - (XB - XS) * SPHI;
'IF' AFS3 > 0 'THEN' X1 := X3
'ELSE' X2 := X3; 'GOTO' LAB;
'END';
NAI(97 + N * 41, 1) := XB * LV - LVV;
NAI(97 + N * 41, 2) := -YB * LV;
X1 := XS;
PROFIEL(X1, XO, YO, XB, YB, AR, TV, FV, ADV, ABV);
AFS1 := YO * CPHI - (XO - XS) * SPHI;
X2 := 0;
AFS2 := X1 * SPHI;

```

```

AFS3:= 2*EPS;
LAD: X3:=X1+ (X2-X1)*ABS(AFS1/(ABS(AFS1)+ABS(AFS2)));
      'WHILE' ABS(AFS3) > EPS 'DO'
      'BEGIN' PROFIEL(X3,X0,Y0,X8,Y8,AR,TV,FV,ADV,ABV);
            AFS3:=Y0*CPHI-(X0-X8)*SPHI;
            'IF' AFS3 > 0 'THEN' X2:=X3
            'ELSE' X1:=X3; 'GOTO' LAD;
      'END';
NAC(83+N*41,1):= X0*LV - LVV;
NAC(83+N*41,2):=-Y0*LV;
MID(83+N*41, 97+N*41,99+N*41,2);
'END';
%%% ROTATIE EN INTRODUKTIE VAN DE RAKE:
'FOR' GRENSP 'DO'
'BEGIN' TRUUK:= NAC(N+2,1);
        NAC(N+2,1):= * * SPHI-NAC(N+2,2)*CPHI+ RAK*RN;
        NAC(N+2,2):= * * CPHI+ TRUUK *SPHI;
'END';
%%%%%%%%%%%%%%%%%%%%%%%%%%%%%%%%%%%%%%%%%%%%%%%%%%%%%%%%%%%%%%%%%%%%%%%%%%
NAC(353,2):=NAC(336,2)-D/2;
NAC(317,2):=NAC(336,2)+D/2;
NAC(31,2):=NAC(353,2)-(NAC(353,1)+AT)*TPHI;
NAC(669,2):=NAC(31,2)+NL*TPHI;
NAC(1,2):=NAC(31,2)-D;
NAC(639,2):=NAC(669,2)-D;
AFV:=AT+NAC(90,1);
AFA:=NL-AT-NAC(582,1);
'FOR' N:=1 'STEP' 5 'UNTIL' 31 'DO'
  'BEGIN' NAC(N,1):= -AT;
          NAC(N+63,1):= NL-AT; 'END';
'FOR' N:=71 'STEP' 41 'UNTIL' 563 'DO'
  'BEGIN' NAC(N,1):=NAC(N+36,1):=NAC(1,1)+AFV+STEEK*((N-71)/41);
          NAC(N,2):=NAC(N+1,2)+(NAC(N,1)-NAC(1,2))/TPHI;
          NAC(N+36,2):= * +D;
          MID(N,N+12,N+5,2);
          MID(N+25,N+36,N+31,2);
  'END';
NAC(6,2):=NAC(76,2)-AFV/TPHI; NAC(11,2):=NAC(83,2)-AFV/TPHI;
NAC(16,2):=NAC(90,2)-AFV/TPHI; NAC(21,2):=NAC(97,2)-AFV/TPHI;
NAC(26,2):=NAC(102,2)-AFV/TPHI;
NAC(644,2):=NAC(568,2)+AFA/TPHI; NAC(649,2):=NAC(575,2)+AFA/TPHI;
NAC(654,2):=NAC(582,2)+AFA/TPHI; NAC(659,2):=NAC(589,2)+AFA/TPHI;
NAC(664,2):=NAC(594,2)+AFA/TPHI;
'FOR' N:=36,41,624,629,634 'DO' MID(N-35,N+35,N,2);
'FOR' N:=56,61,66 'DO' MID(N-35,N+41,N,2);
'FOR' N:=604,609 'DO' MID(N-41,N+35,N,2);
MID(11,83,46,2); MID(16,90,51,2); MID(582,654,619,2);
MID(575,649,614,2);
%%% EINDE OPVULLEN VOETVLAK:
%%%%%%%%%%%%%%%%%%%%%%%%%%%%%%%%%%%%%%%%%%%%%%%%%%%%%%%%%%%%%%%%%%%%%%%%%%
'FOR' N:=1,31,639,669 'DO' 'FOR' I:=1,2 'DO' NAC(N+4,I):=NAC(N,I);
%%% VULLEN VAN LANGE RANDEN VAN CONUSVLAK:
K:=1;
'FOR' N:=40,75 'STEP' 41 'UNTIL' 608 'DO'
'BEGIN' 'FOR' I:=1,2 'DO' NAC(N,I):=(16-K)/16*NAC(5,I)+K/16*NAC(643,I);
        K:=K+1;
'END';
K:=1;
'FOR' N:=70 'STEP' 41 'UNTIL' 603,638 'DO'
'BEGIN' 'FOR' I:=1,2 'DO' NAC(N,I):=(16-K)/16*NAC(35,I)+K/16*NAC(673,I);
        K:=K+1;
'END';
'FOR' N:=5,40,608,643 'DO' ZES(N,N+5,N+10,N+15,N+20,N+25,N+30);
'FOR' N:=116 'STEP' 41 'UNTIL' 526 'DO' ZES(N,N+5,N+12,N+19,N+26,N+31,N+36);

```

```

ZES(75,80,87,94,101,105,111);
ZES(567,572,579,586,593,598,603);
%%% EINDE OPVULLEN CONJ SVLAK
%%%%%%%%%% FA SE 5 %%%%%%%%%%%
%% Z-WAARDEN VOOR HET VOET VLAK: (PARABOOL DOOR RNV,RNT,RNA)
A:=LL/(RNV**2-RNA**2);
B:= RNT**2 *A;
'FOR' VOETP 'DO' NAIN,3 ]:= SQRT((NAIN,1]+B)/A);
%% EXTRA DOORZAKKING MIDDEN PUNTEN VAN VOETPROFIEL:
'FOR' N:=131 'STEP' 41 'UNTIL' 541 'DO' NAIN,3 ]:=* -(NAIN+7,2]-NAIN,2]);
%% CONUSVLAK:
'FOR' VOETP 'DO'
'BEGIN' NAIN+4,3 ]:= RAV -(NAIN+4,1]+AT)/LL*(RNV-RNA);
%% TUSSENVLAKKEN:
MID(N,N+4,N+2,2);
MID(N,N+2,N+1,2);
MID(N+2,N+4,N+3,2);
NAIN+2,3 ]:=(NAIN,3]+NAIN+4,3 ])/2;
NAIN+3,3 ]:=(NAIN+4,3 ]+NAIN+2,3 ])/2;
NAIN+1,3 ]:=(NAIN,3]+NAIN+2,3 ])/2;
'END';

```

NP COPUNCH(NA);

```

%% INTRODUKTIE TRAPEZIUMVORM:
'FOR' VOETP 'DO' 'FOR' K:=0,1,2,3,4 'DO' NAIN+K,2 ]:=* *NAIN+K,3 ]/RNT;
%%%%%%%%%% FA SE 6 %%%%%%%%%%%
%% GRENSVLAK:
N:=81 ;
'FOR' K:=1 'STEP' 3 'UNTIL' 37 'DO'
'BEGIN' PROFIEL((4*(K-1)/3+1)/50,NAIN,1 ],NAIN,2 ],NAIN+14,1 ],NAIN+14,2 ],
AR,TG,FG,0,0);
NAIN,1 ]:=**LG-L VG;
NAIN,2 ]:=**(-LG);
TRUUK:= NAIN,1 ];
NAIN,1 ]:=**SPHIG-NAIN,2 ]*CPHIG+RAK*RG;
NAIN,2 ]:=**CPHIG+TRUUK*SPHIG;
NAIN,3 ]:=RG;
NAIN+14,1 ]:=**LG-LVG;
NAIN+14,2 ]:=**(-LG);
TRUUK:=NAIN+14,1 ];
NAIN+14,1 ]:=**SPHIG-NAIN+14,2 ]*CPHIG+RAK*RG;
NAIN+14,2 ]:=**CPHIG+TRUUK*SPHIG;
NAIN+14,3 ]:=RG;
MID(N,N+14,N+7,3);
N:=N+41;
'END';

```

```

%% TUSSENVLAK:
'FOR' GRENSP 'DO' MID(N,N+2,N+1,3);
%%%%%%%%%% FA SE 7 %%%%%%%%%%%
'FOR' N:=1 'STEP' 1 'UNTIL' 673 'DO'
'BEGIN' HULP:= NAIN,2 ]/NAIN,3 ];
NAIN,2 ]:=NAIN,3 ]*SIN(HULP);
NAIN,3 ]:= **COS(HULP);
'END';

```

'END' KNOOPPUNTEN NAAF;

```

'PROCEDURE' ROTATED BASIS(NA,OUT);
'ARRAY' NAI*,*]; 'FILE' OUT;
'BEGIN' 'REAL' CONUSTOP;
'INTEGER' K,N;
CONUSTOP:= NL/(RAV-RAA)*RAV-AT;
WRITE(OUT,<"$ROTB",X3," N=12",X3," C=9",/>);

```

NAE

```

* FOR' VOETP'DO'
WRITE(OUT,<X6,I3,X4,3(F7.1,X2),X4,F7.1,X2,2("0.",X2),X3,3(F7.1,X2),X5,
  "***",X1,"CONUSPUNTEN"/>,N,NAI(N,1),NAI(N,2),NAI(N,3),CONUSTOP,NAI(N,1)
  ,NAI(N,2)-NAI(N,3),NAI(N,2)+NAI(N,3));
* FOR'N:=1,36,71*STEP'41*UNTIL'604,639'DO'*FOR'K:=0,1,2,3'DO'
  WRITE(OUT,<X6,I3,X4,3("0.",X3),X2,"1.",X3,"0.",X3,"0.",X5,"0.",F8.5,
    X3,F8.5,X5,"***",X1,"STUURBOORD-ZYVLAKPUNT"/>,N+K,NAI(N+K,3)/RNV
    ,-NAI(N+K,2)/RNV);
* FOR'N:= 31,66*STEP'41*UNTIL'599,634,669'DO'*FOR'K:=0,1,2,3'DO'
  WRITE(OUT,<X6,I3,X4,3("0.",X3),X2,"1.",X3,"0.",X3,"0.",X5,"0.",F8.5,
    X3,F8.5,X5,"***",X1,"BAKBOORD-ZYVLAKPUNT"/>,N+K,NAI(N+K,3)/RNV
    ,-NAI(N+K,2)/RNV);
* END' ROTATED BASIS;

```

```

READ(IN,/, Z , % AANTAL BLADEN
AR , % TYPE ARNOLDUS PROFIEL; SYMMETRISCH=1, ANDERS=2
LAG, % LENGTE ACHTER, GRENSVLAK
LVG, % LENGTE VOOR , GRENSVLAK
LAV, % LENGTE ACHTER, VOETVLAK
LVV, % LENGTE VOOR , VOETVLAK
NL , % LENGTE VAN NAAF [MM] (ALLE LENGTEMATEN: MM)
AT , % AFST. VOORZIJDE TOT TREKKER ZONDER RAKE
RNV, % STRAAL NAAF VOORZIJDE
RNT, % IDEM, T.P.V. (RECHTE) TREKKER
RNA, % IDEM, ACHTER
RAV, % STRAAL AS VOOR
RAA, % IDEM, ACHTER
PIV, % SP.OED OP VOETVLAK, NEEM HIERVOOR R= RNM
PIG, % SP.OED OP GRENSVLAK
TV , % MAX. DIKTE VOETVLAK
TG , % IDEM, GRENSVLAK
ABV, % AFRONDING BOVENZIJDE VOETVLAK
ADV, % IDEM, ONDERZIJDE (=DRUKZIJDE)
STR, % STRAAL VAN DE SCHROEF [MM]
RG, % STRAAL GRENSVLAK, LET OP: ONGESCHAALD INLEZEN [MM]
RAKE, %
FV, % WELVING VOETVLAK
FG, % WELVING GRENSVLAK
EPS); % KLEIN GETAL; NEEM BV. 2-4;

```

```

KNOOPPUNTEN NAAF(NA);
ROTATED BASIS(NA,OUT);
* END'.

```

```

?DATA IN
6,2,925.0,770.0,700.0,700.0,1300,450,678.5,600,562,759,696,6310,
6538,380,318.4,50,70,3300,825,-16,63,66,2-3,
?END JOB

```

```

? JOB JANKLINGEN ; QUEUE=2 ; USER=U216S241/BERT ; PRINTLIMIT=600 ; BEGIN
? COMPILE W/WE/JAN/KLINGEN/BERGE/TASTA WITH BEATHE
? FILE IN (KIND =READER )
? FILE OUT(KIND=PRINTER )
$ 'RESET' LIST
? DATA
' BEGIN' 'FILE' IN, OUT;
$ 'INCLUDE' "DRAWPROCEDURES"
  'ARRAY' AS [0:55 0, 1:3];
  'INTEGER' Z, N;
  'REAL' REFZ, REFY, REFZ, PIV, NL, RAV, RAA, AT, OPDRYFLENGTE;

```

```

'PROCEDURE' NODALPOINTS SHAFT(AS); 'ARRAY' ASC[*,*]; 'BEGIN'
  'REAL' ZETA, ALP, SI, C, G, HELP; 'INTEGER' I, M, N;
  % FIRST CREATE NOMINAL CROSS SECTION; RADIUS 1
  ZETA := 6.2832/Z;
  ASC[19, 2] := ASC[1, 2]; ASC[1, 3] := ASC[13, 2] := ASC[7, 2] := 0;
  ASC[13, 3] := 0.6; ASC[7, 3] := 0.3; ASC[19, 3] := 1;
  ASC[5, 2] := SIN(ZETA/2); ASC[5, 3] := COS(ZETA/2);
  ASC[15, 2] := SIN(ZETA/5); ASC[15, 3] := COS(ZETA/6);
  ASC[10, 2] := SIN(ZETA/3); ASC[10, 3] := COS(ZETA/3);
  'FOR' I:=2, 3 'DO' 'BEGIN'
    ASC[3, I] := ASC[5, I]/2; ASC[2, I] := ASC[5, I]/4;
    ASC[4, I] := 3*ASC[5, I]/4;
    ASC[8, I] := (ASC[3, I] + ASC[13, I])/2;
    ASC[9, I] := (ASC[10, I] + ASC[8, I])/2;
    ASC[14, I] := (ASC[15, I] + ASC[13, I])/2;
    ASC[22, I] := (2*I-5)*ASC[15, I];
    ASC[21, I] := (2*I-5)*ASC[10, I];
    ASC[20, I] := (2*I-5)*ASC[5, I];
    ASC[18, I] := (2*I-5)*ASC[14, I];
    ASC[17, I] := (2*I-5)*ASC[9, I];
    ASC[16, I] := (2*I-5)*ASC[4, I];
    ASC[12, I] := (2*I-5)*ASC[8, I];
    ASC[11, I] := (2*I-5)*ASC[3, I];
    ASC[6, I] := (2*I-5)*ASC[2, I]; 'END';
  % FILL UP ARRAY AS ; PROPER RADIUS AND AX. POSITION;
  'FOR' N:=1 'STEP' 1 'UNTIL' 8 'DO' 'FOR' M:=1 'STEP' 1 'UNTIL' 22 'DO'
  'FOR' I:=2, 3 'DO'
    ASC[N*22+M, I] := ASC[M, I]*RAV;
  'FOR' N:=9 'STEP' 1 'UNTIL' 24 'DO' 'FOR' M:=1 'STEP' 1 'UNTIL' 22 'DO'
  'FOR' I:=2, 3 'DO'
    ASC[N*22+M, I] := ASC[M, I]*(RAV-(RAV-RAA)*(N-8)/16);
  'FOR' M:=1 'STEP' 1 'UNTIL' 22 'DO' 'FOR' I:=2, 3 'DO'
ASC[M, I] := * * RAV;
  'FOR' N:=0 'STEP' 1 'UNTIL' 24 'DO' 'FOR' M:=1 'STEP' 1 'UNTIL' 22 'DO'
  ASC[N*22+M, 1] := 3/2*NL/24*N-(NL/2-REFX);
  % ROTATE EACH CROSS SECTION, USING HUBPITCH AND REF.POINT 35 OF HUB;
  'FOR' N:=0 'STEP' 1 'UNTIL' 24 'DO'
  'BEGIN' ALP := ZETA/2 + 3.1416/2 + ARCTAN(REFZ/REFY) - ((N-8)*3.1416*NL)/
    (3*PIV);
    SI := SIN(ALP); CO := COS(ALP);
    'FOR' M:=1 'STEP' 1 'UNTIL' 22 'DO' 'BEGIN' HELP := ASC[N*22+M, 2];
      ASC[N*22+M, 2] := * * CO - ASC[N*22+M, 3]*SI;
      ASC[N*22+M, 3] := * * CO + HELP*SI; 'END';
  'END';
'END' NODALPOINTS SHAFT;

```

```

'PROCEDURE' NPCOPUNCH(AS); 'ARRAY' ASC[*,*];
'BEGIN'
WRITE(OUT, <"NPCO", X4, " N=11", X4, " C=3", " ***", X1, "ASSEKTOR"/>);
'FOR' N:=1 'STEP' 1 'UNTIL' 550 'DO'

```

```

WRITE(OUT, <X7, I3, X3, F7.1, X3, F7.1, X3, F7.1 />, N, ASE[N,1], ASE[N,2],
      ASE[N,3]);
'END' NPCOPUNCHAS;

'PROCEDURE' ROTATED BASIS (AS);
'ARRAY' ASE[*,*];
'BEGIN' 'REAL' CONUSTOP; 'INTEGER' I, K, N;
CONUSTOP := RAV / (RAV - RAA) * NL + AT;
%% CONUSPUNTEM;
WRITE(OUT, <"$ROTB", X3, " N=11", X3, " C=9", X4, "***", X1, " ASSEKTOR", X1, " EERST"
      X1, " DE", K, " CONUSPUNTEM" />);
'FOR' I := 8 'STEP' 1 'UNTIL' 24 'DO'
'FOR' K := 5, 10, 15, 19, 22, 21, 20 'DO'
'BEGIN' N := K + 22 * I;
      WRITE(OUT, <X6, I3, 3(X2, F6.1), X3, F6.0, 2(X2, "0."), X2, 3(F7.1, X2)
            />, N, ASE[N,1], ASE[N,2], ASE[N,3], CONUSTOP
            , ASE[N,1], ASE[N,3] + ASE[N,2], ASE[N,3] - ASE[N,2]);
'END';

'FOR' K := 2, 3, 4, 5 'DO'
'FOR' I := 1 'STEP' 1 'UNTIL' 7 'DO'
'BEGIN' N := K + 22 * I;
      WRITE(OUT, <X6, I3, 3(X2, "0."), X4, "100.", 2(X2, "0."), X4, "0.", 2(F8.1
            ), X2, "***", X1, " SB-PUNT " />, N, -ASE[N,3], ASE[N,2]);
'END';

'FOR' K := 2, 3, 4 'DO'
'FOR' I := 8 'STEP' 1 'UNTIL' 24 'DO'
'BEGIN' N := K + 22 * I;
      WRITE(OUT, <X6, I3, 3(X2, "0."), X4, "100.", 2(X2, "0."), X4, "0.", 2(F8.1
            ), X2, "***", X1, " SB-PUNT " />, N, -ASE[N,3], ASE[N,2]);
'END';

'FOR' K := 6, 11, 16, 20 'DO'
'FOR' I := 1 'STEP' 1 'UNTIL' 7 'DO'
'BEGIN' N := K + 22 * I;
      WRITE(OUT, <X6, I3, 3(X2, "0."), X4, "100.", 2(X2, "0."), X4, "0.", 2(F8.1
            ), X2, "***", X1, " BB-PUNT " />, N, -ASE[N,3], ASE[N,2]);
'END';

'FOR' K := 6, 11, 16 'DO'
'FOR' I := 8 'STEP' 1 'UNTIL' 24 'DO'
'BEGIN' N := K + 22 * I;
      WRITE(OUT, <X6, I3, 3(X2, "0."), X4, "100.", 2(X2, "0."), X4, "0.", 2(F8.1
            ), X2, "***", X1, " BB-PUNT " />, N, -ASE[N,3], ASE[N,2]);
'END';
'END' ROTATED BASIS;

'PROCEDURE' USRP;
'BEGIN' 'REAL' NORMVERPL;
      'INTEGER' N, K, I;
NORMVERPL := OPDRYFLENGTE * SIN(ARCTAN((RAV - RAA) / NL));
WRITE(OUT, <"$USRP", X3, " N=11", X3, " L=1", X3, " C=1", X3, " S=3" />);
'FOR' I := 8 'STEP' 1 'UNTIL' 24 'DO'
'FOR' K := 5, 10, 15, 19, 22, 21, 20 'DO'
'BEGIN' N := K + 22 * I;
      WRITE(OUT, <X6, I3, X4, F8.5 />, N, -NORMVERPL);
'END';
'END' USRP;

READ(IN, />Z, RAV, RAA, NL, PIV, AT, REF X, REF Y, REF Z, OPDRYFLENGTE);

```



NODALPOINTSSHAFT(AS);

ROTATED BASIS (AS);

USRP;

NPCOPUNCH(AS);

'END'.

? DATA IN

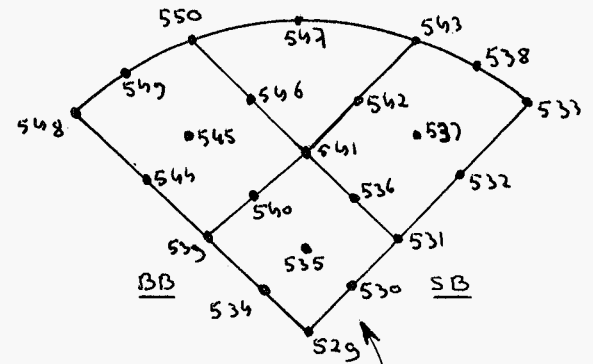
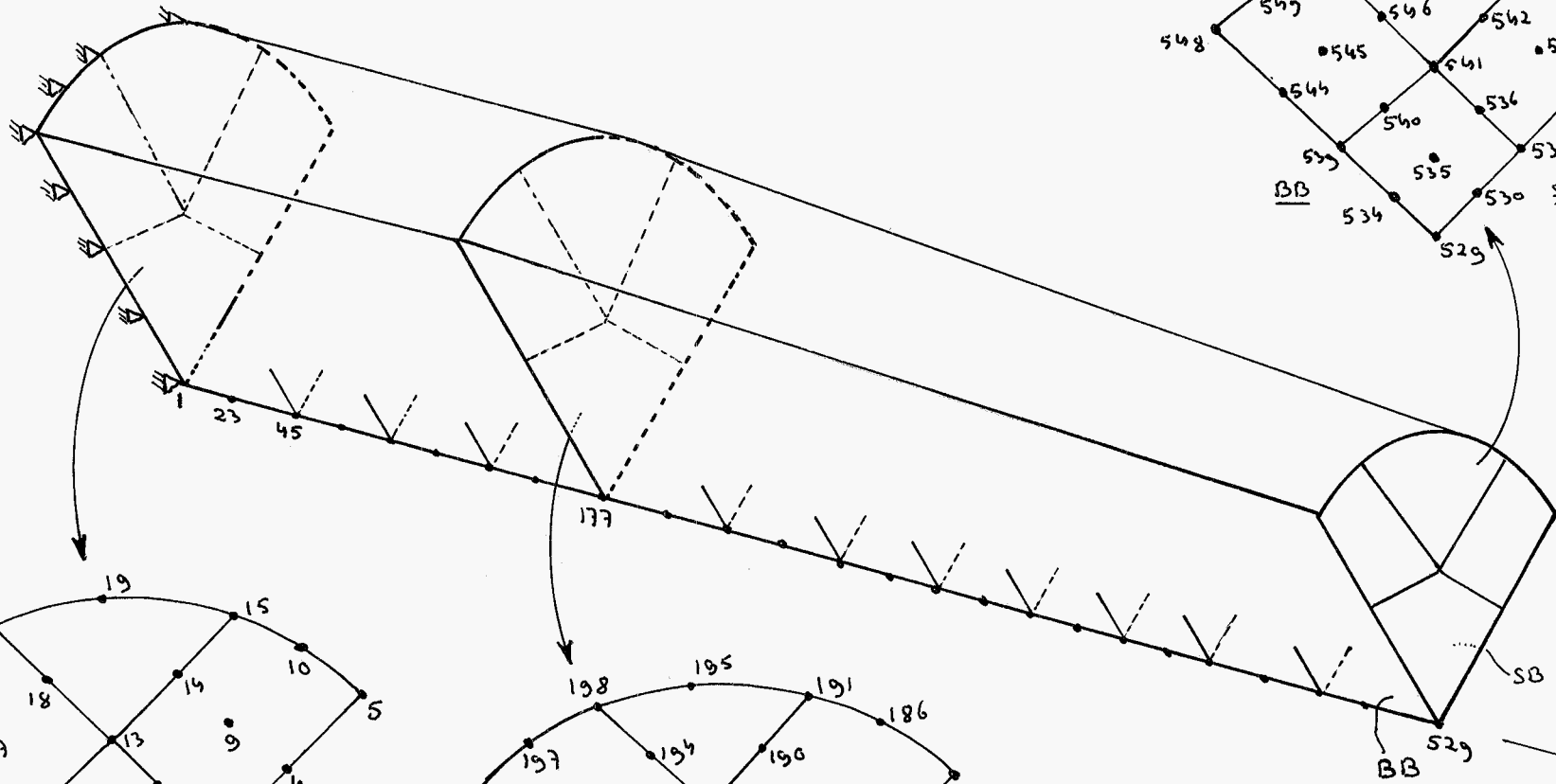
6, 379.5, 348, 1300, 63 10, 450, -450, -200.0, 300.0, 18.4,

? END JOB

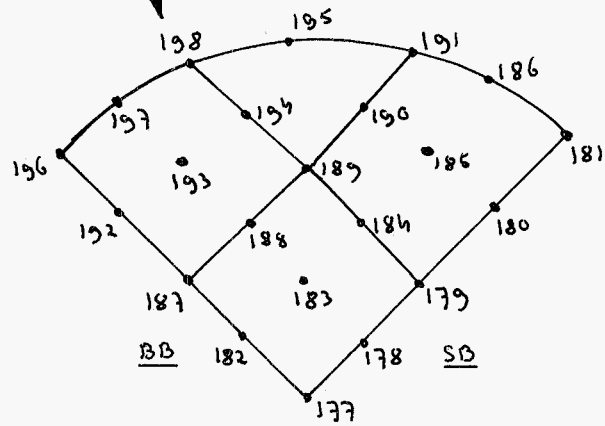
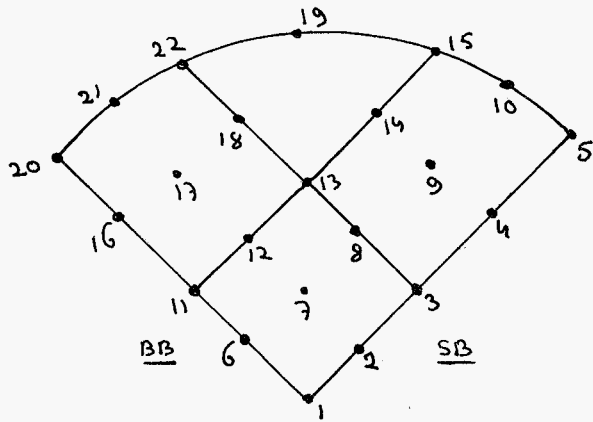
Bijlage I

Overzicht toegepaste knooppuntenummering  
in de volledige versie

voor



I

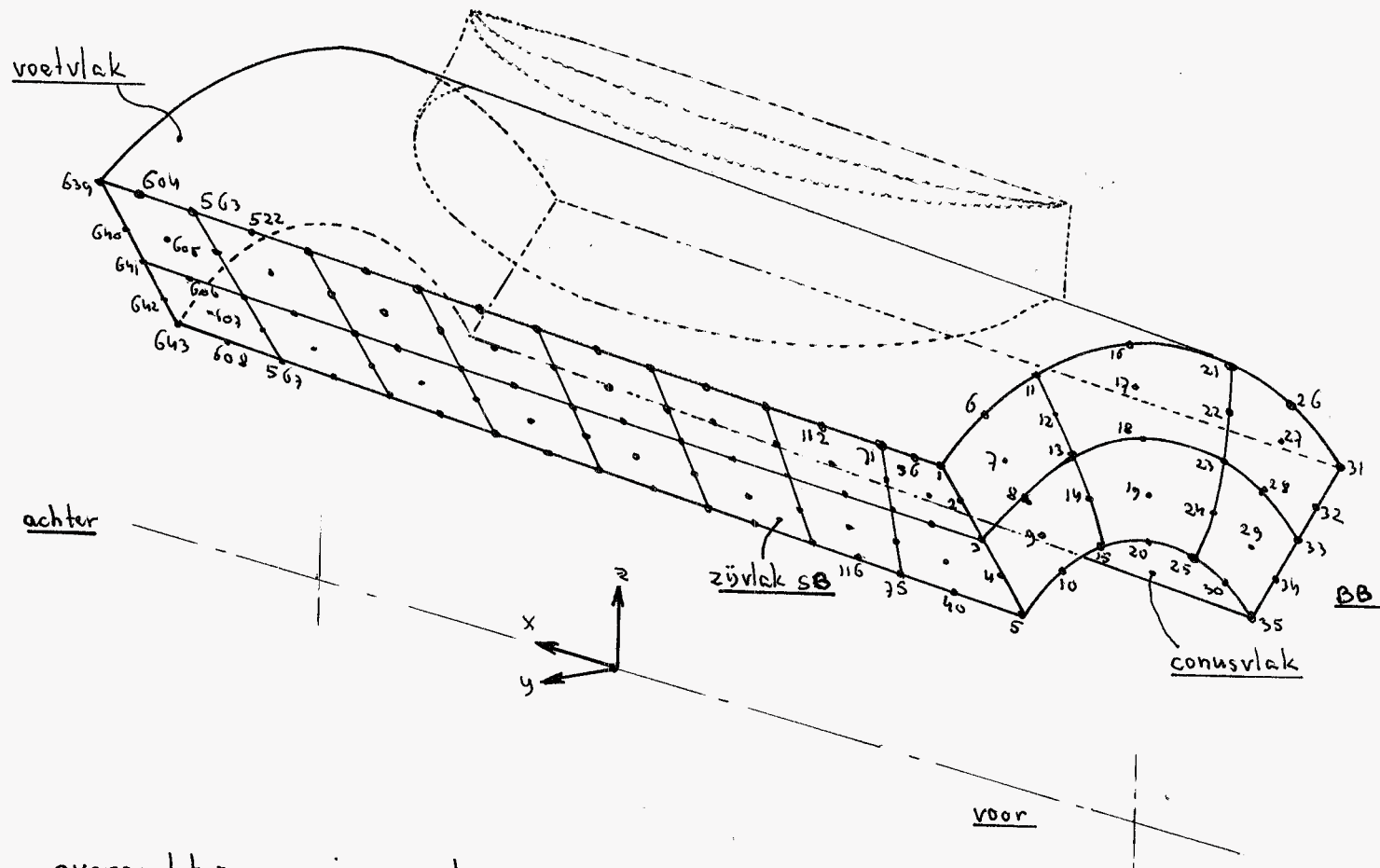


achter

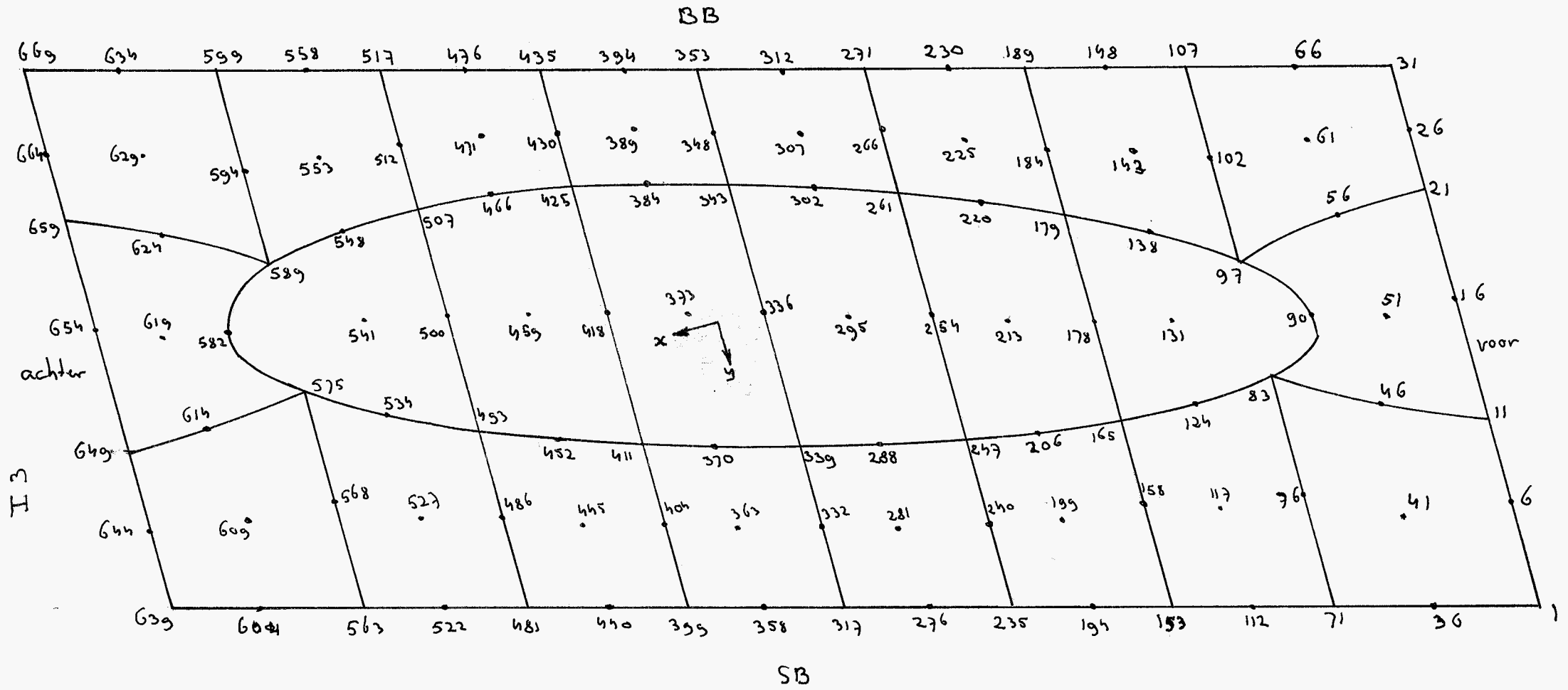
BB SB x

knooppuntenummering net 11

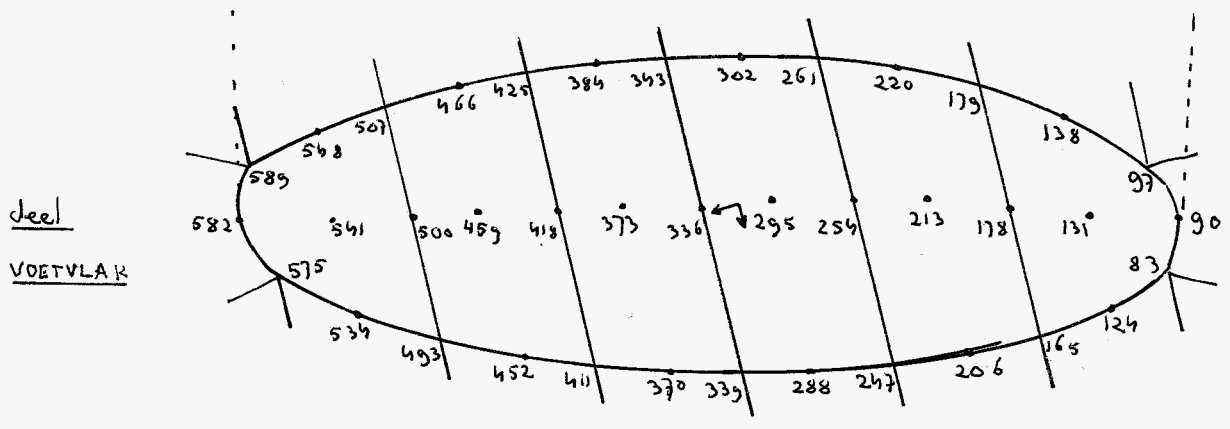
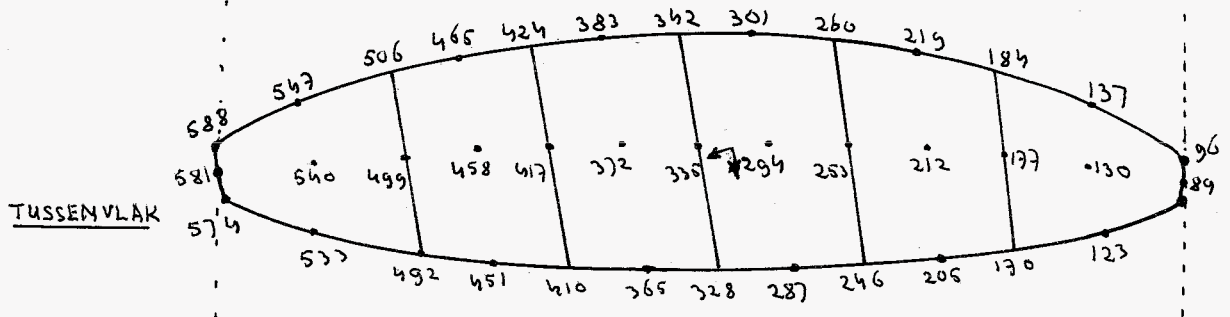
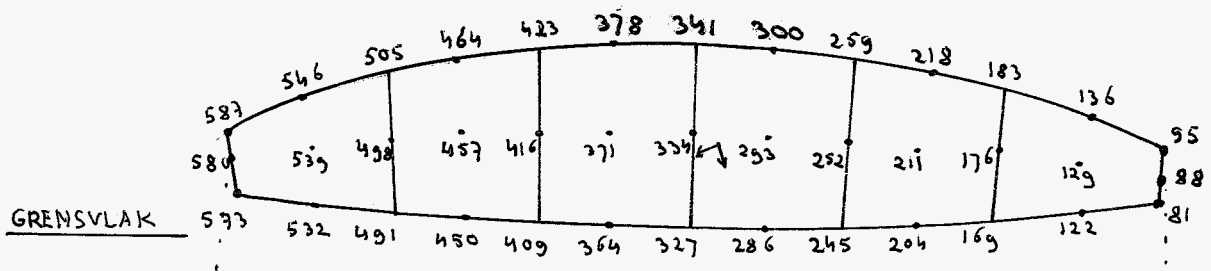
I 2



overzicht nummering net 12



knooppuntennummering voetvlak haafsektor



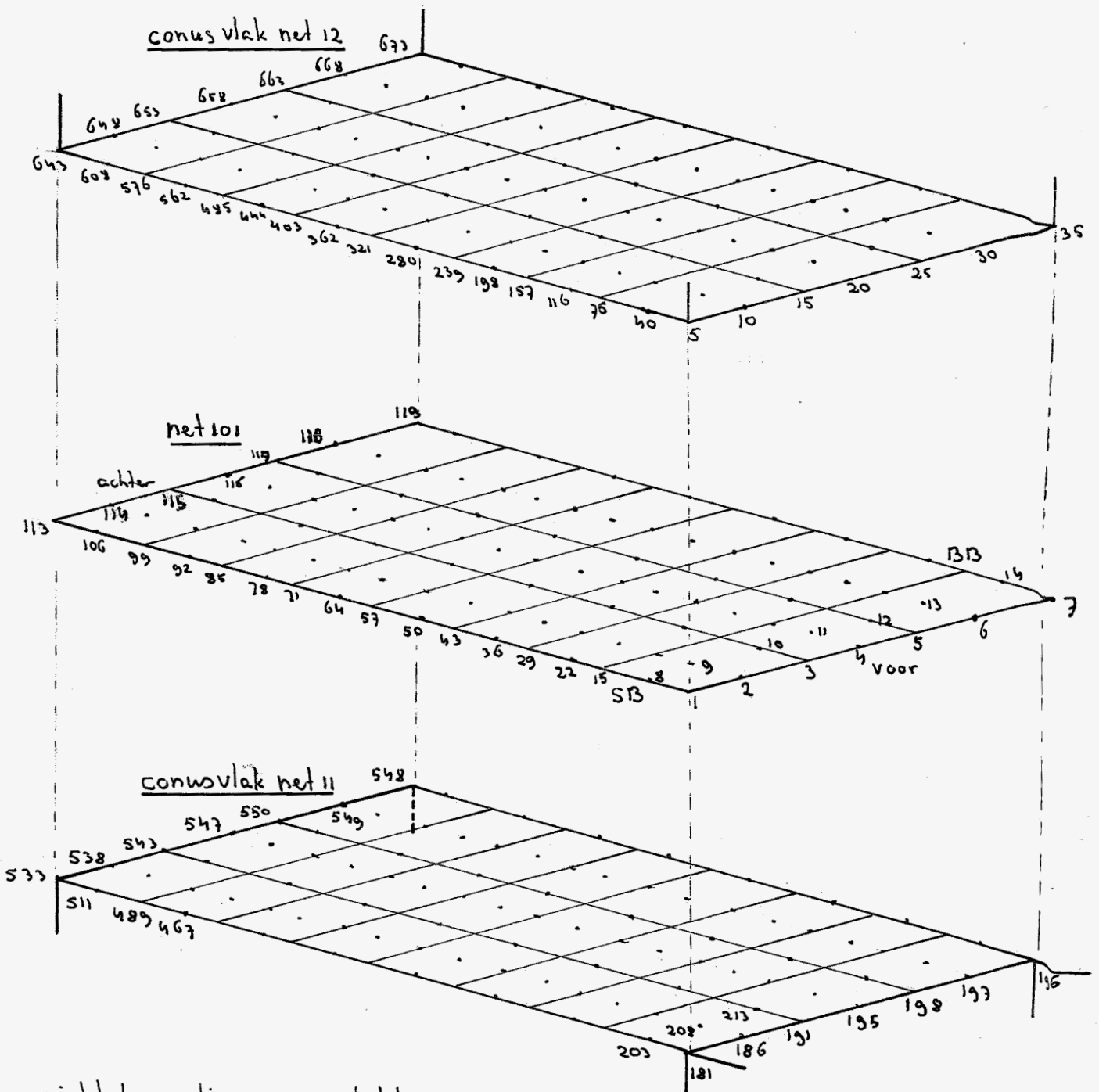
CONUSVLAK

BB

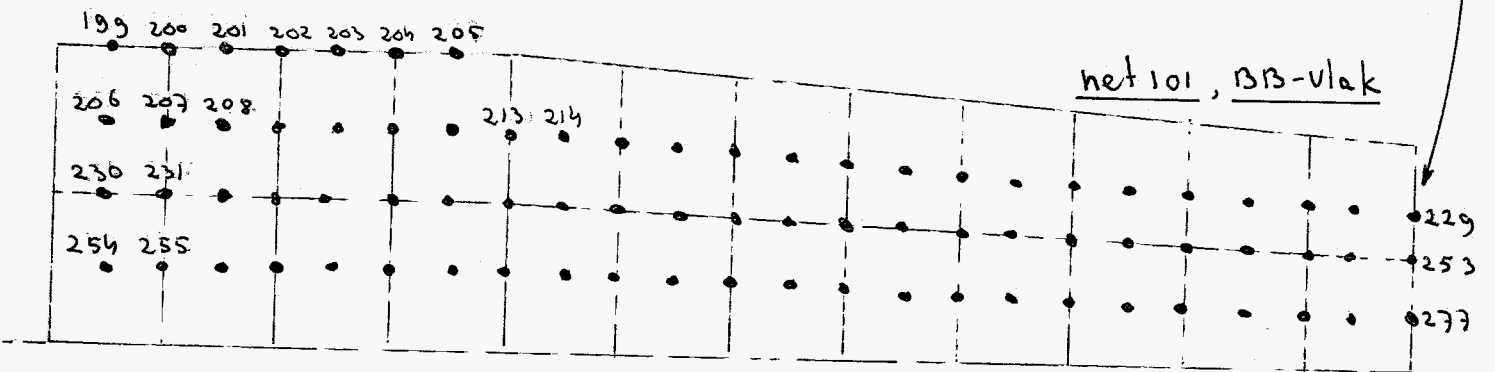
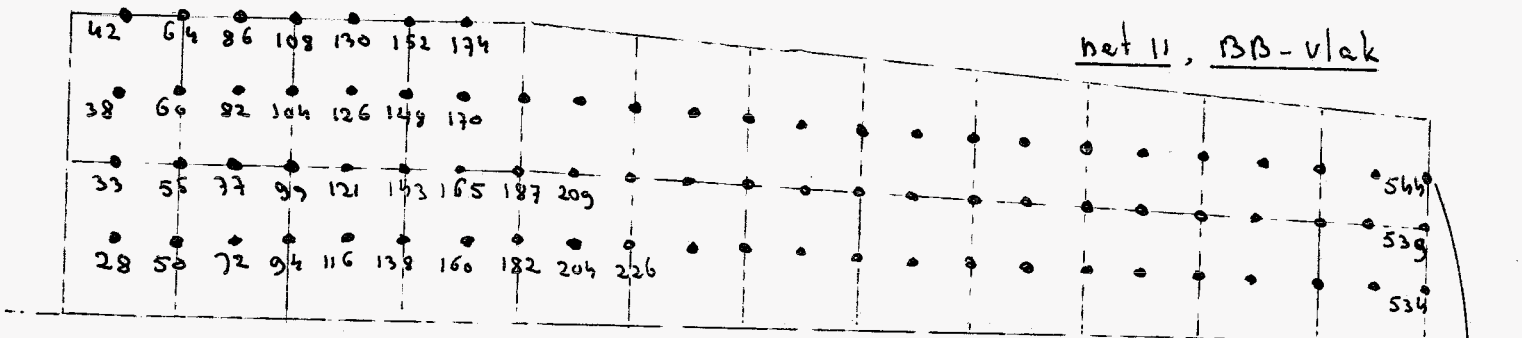
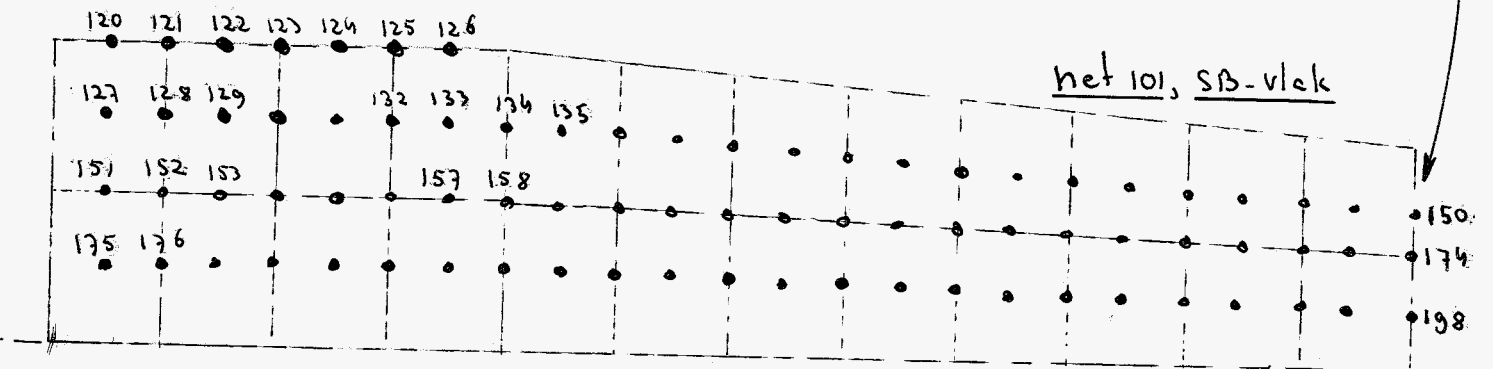
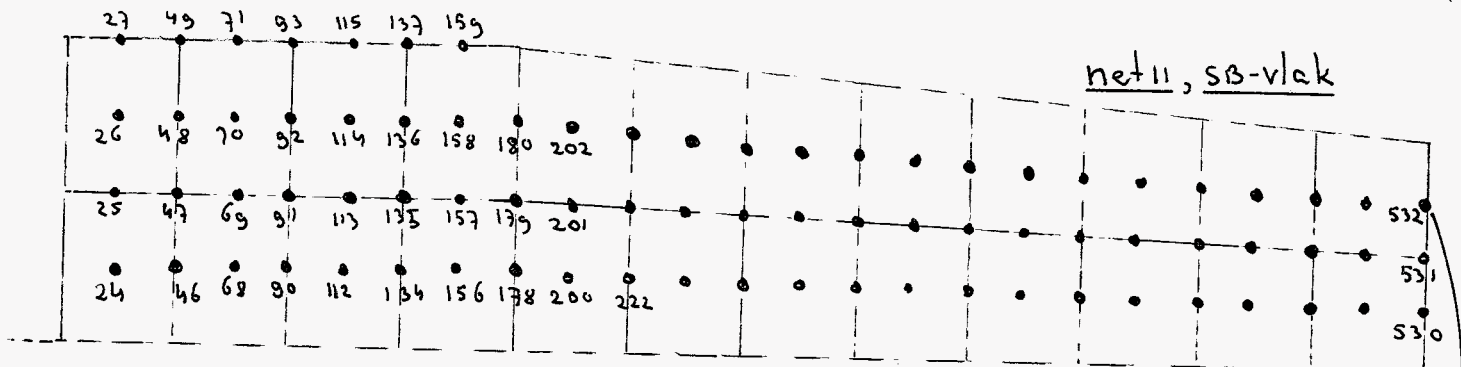
673	638	603	562	521	480	439	398	357	316	275	234	193	152	112	70	35
668	633	598	557	516	475	434	393	352	311	270	229	188	147	106	65	30
663	628	593	552	511	470	429	388	347	306	265	224	183	142	101	60	25
658	623	586	545	504	463	422	381	340	299	258	217	176	135	94	55	20
653	618	579	538	497	456	415	374	333	292	251	210	169	128	87	50	15
648	613	572	531	490	449	408	367	326	285	244	203	162	121	80	45	10
643	608	567	526	485	444	403	362	321	280	239	198	157	116	75	40	5

SB

knooppuntennummering maafsektor



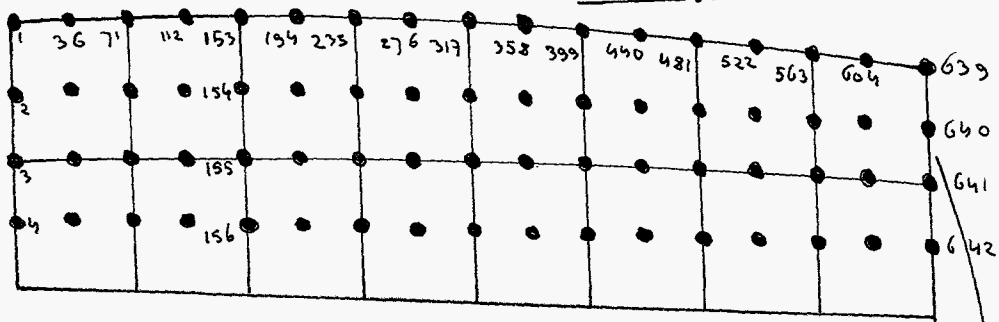
overzicht koppeling conus-vlakken  
aan net 101



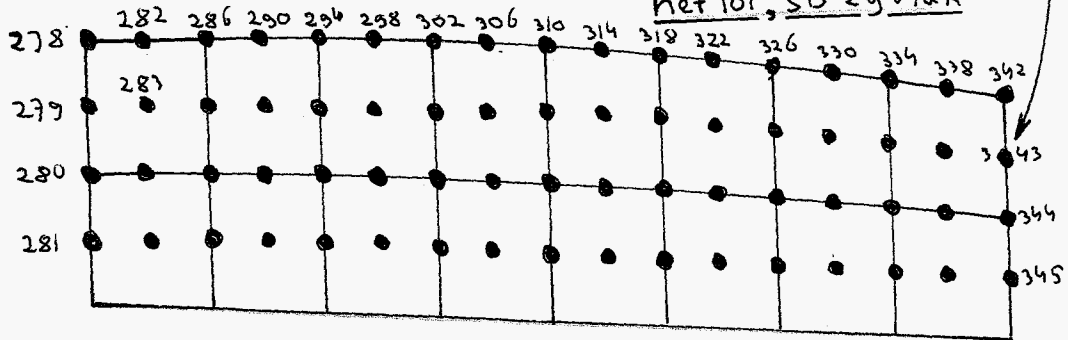
overzicht koppeling assektor-zijvlakken aan net 101



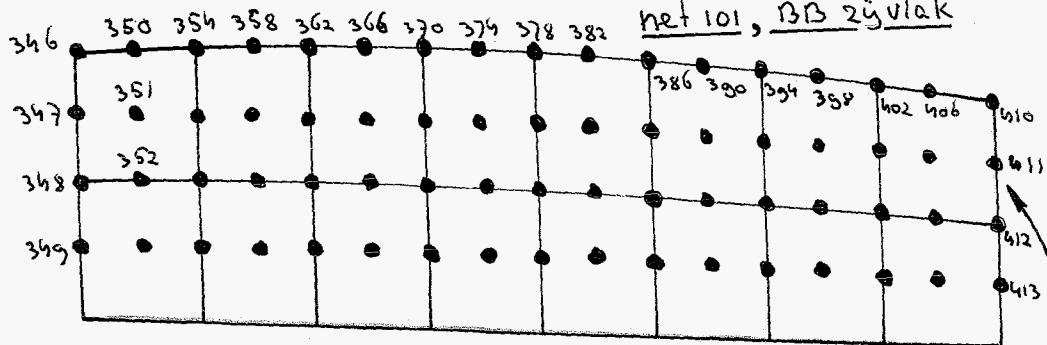
net 12, SB zijvlak



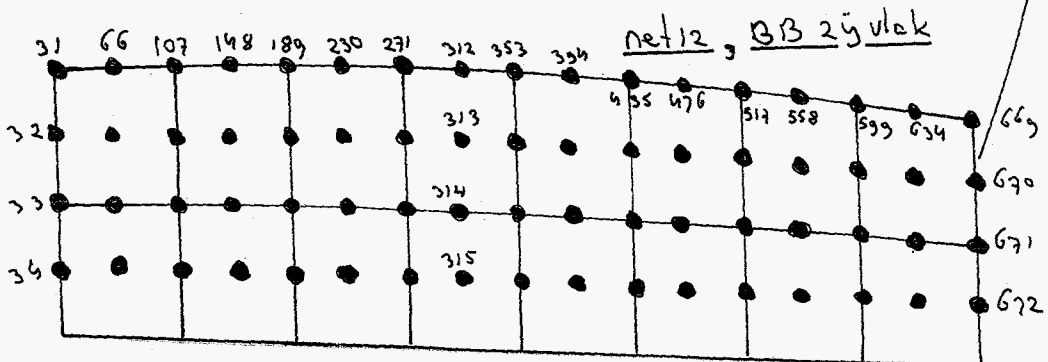
net 101, SB zijvlak



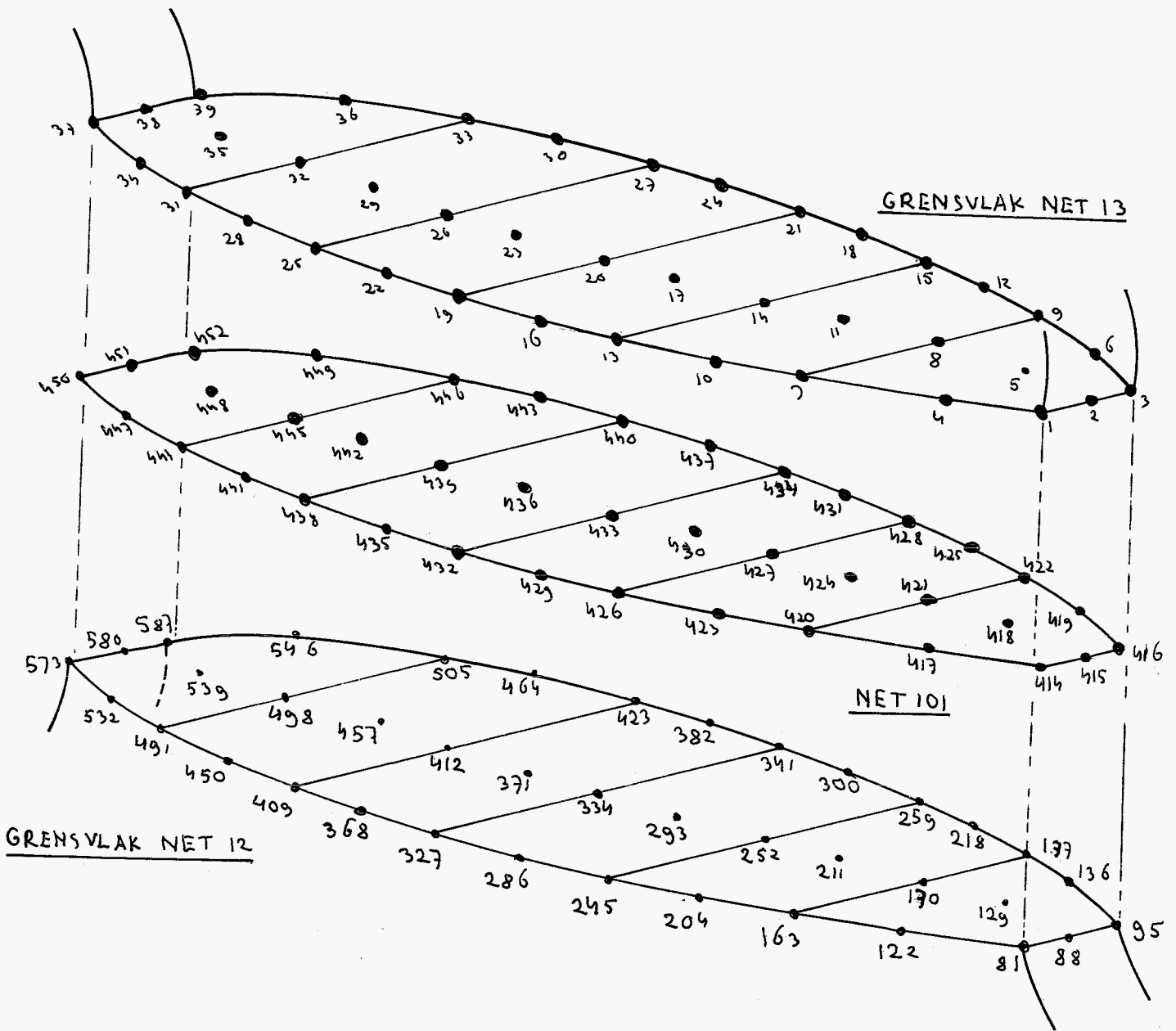
net 101, BB zijvlak



net 12, BB zijvlak



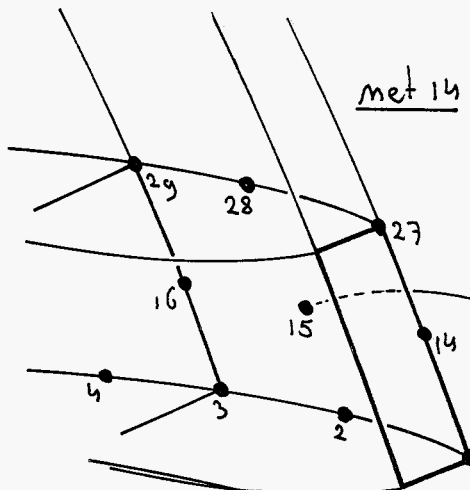
overzicht koppeling zijvlakken net 12 aan net 101



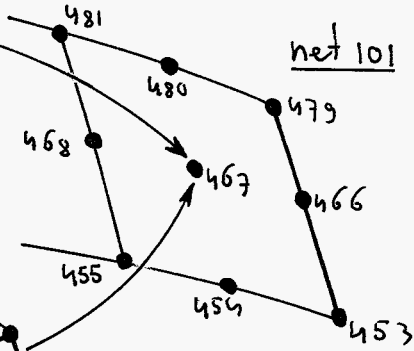
koppeling grensvlakken

I 9

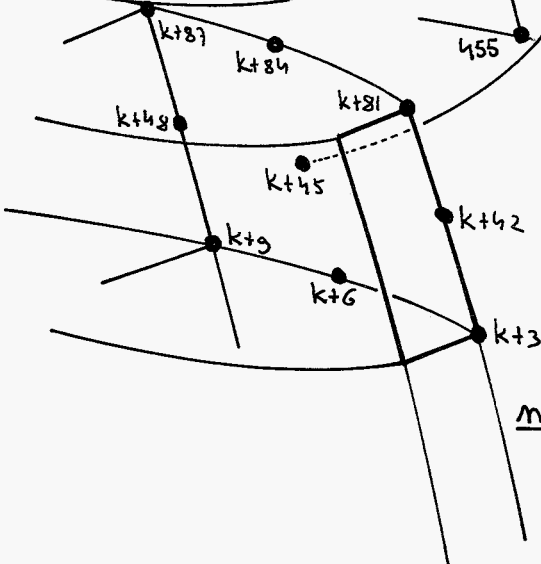
net 14



net 101



net 13



dubbellaag MEXEC-QUAB

